



**COMMISSION GEOLOGIQUE DU CANADA
GEOLOGICAL SURVEY OF CANADA**

**DOSSIER PUBLIC 2560
OPEN FILE 2560**

**La géochimie des tills de la région
de Big Bald Mountain, Nouveau-Brunswick**

**Till geochemistry of the Big Bald Mountain area,
New Brunswick**

A. Doiron

1993



COOPERATION

COOPERATION
AGREEMENT ON
MINERAL DEVELOPMENT

ENTENTE DE
COOPERATION SUR
L'EXPLOITATION MINÉRALE

Contribution to Canada-New Brunswick Cooperation Agreement on Mineral Development 1990-1995, a subsidiary agreement under the Economic and Regional Development Agreement. Project funded by the Geological Survey of Canada.

Contribution à l'Entente de coopération Canada-Nouveau Brunswick sur l'exploitation minière 1990-1995 dans le cadre de l'Entente de développement économique et régional. Ce projet a été financé par la Commission géologique du Canada.

Canada

New  Nouveau
Brunswick



**COMMISSION GÉOLOGIQUE DU CANADA
GEOLOGICAL SURVEY OF CANADA**

**DOSSIER PUBLIC
OPEN FILE
2560¹**

**LA GÉOCHIMIE DES TILLS DE LA RÉGION DE BIG BALD
MOUNTAIN, NOUVEAU-BRUNSWICK**

***TILL GEOCHEMISTRY OF THE BIG BALD MOUNTAIN AREA,
NEW BRUNSWICK***

A. Doiron²

**FÉVRIER / FEBRUARY
1993**

- 1 Contribution à l'Entente de coopération Canada - Nouveau-Brunswick sur l'exploration minérale (1990-1995). / *Contribution to the Canada-New Brunswick Cooperation Agreement on Mineral Development (1990-1995).*
- 2 Centre géoscientifique de Québec, 2700 rue Einstein, C.P. 7500, Sainte-Foy, Québec, G1V 4C7
Quebec Geoscience Centre, 2700 Einstein St., P.O. Box 7500, Sainte-Foy, Québec, G1V 4C7.

TABLE DES MATIERES

1	Introduction
1	Localisation et accès
2	Travaux antérieurs
2	Géologie de la roche en place
8	Géologie du Quaternaire
9	Directions de l'écoulement glaciaire
11	Transport glaciaire
11	Méthodologie sur le terrain
12	Méthodologie de laboratoire
12	Analyse par activation neutronique instrumentale
13	Fluorescence par rayon X
14	Représentation cartographique des résultats
14	Commentaire des résultats analytiques
15	Remerciements
17	Bibliographie
	Annexes
	1a Analyse géochimique du till, fraction < 63 µm (silt et argile); analyse par activation neutronique instrumentale; partie a.
	1b Analyse géochimique du till, fraction < 63 µm (silt et argile); analyse par activation neutronique instrumentale; partie b.

CONTENTS

1	Introduction
1	Location and Access
2	Previous Works
2	Bedrock Geology
8	Quaternary Geology
9	Glacial Flow Direction
11	Glacial Transport
11	Field Methods
12	Laboratory Methods
12	Instrumental Neutron Activation Analyses
13	X-ray Fluorescence
14	Cartographic Results Presentation
14	Discussion on Analytical Results
15	Acknowledgements
17	Bibliography
	Appendix
	1a Geochemical analyses of till, < 63 µm fraction (silt and clay); Analyses by instrumental neutron activation; part a.
	1b Geochemical analyses of till, < 63 µm fraction (silt and clay); Analyses by instrumental neutron activation; part b.

- 2 Analyse géochimique du till, fraction < 63 µm (silt et argile); analyse par fluorescence par rayon X.
- 3a Reproduction d'analyses pour comparaison des résultats; analyse géochimique du till, fraction < 63 µm (silt et argile); analyse par activation neutronique instrumentale; partie a.
- 3b Reproduction d'analyses pour comparaison des résultats; analyse géochimique du till, fraction < 63 µm (silt et argile); analyse par activation neutronique instrumentale; partie b.
- 4 Reproduction d'analyses pour comparaison des résultats; analyse géochimique du till, fraction < 63 µm (silt et argile); analyse par fluorescence par rayon X.
- 5 Cartes de la géochimie des tills et tableaux de données statistiques; classes de centiles de concentration.
- 6 Carte géologique de la roche en place (échelle approximative 1:170,000). En pochette.
- 7 Carte de localisation des échantillons (échelle approximative 1:170,000). En pochette.
- 8 Carte avec une grille UTM (échelle approximative 1:170,000). En pochette.

Figures

- 3 1 Carte de localisation montrant les zones tectonostratigraphiques du Nouveau-Brunswick.
- 4 2 Géologie de la roche en place.
- 10 3 Microformes d'érosion levées au cours de ce projet.

- 2 Geochemical analyses of till, < 63 µm fraction (silt and clay); Analyses by X-ray fluorescence.
- 3a Duplicate analyses for reproducibility tests; Geochemical analyses of till, < 63 µm fraction (silt and clay); Analyses by instrumental neutron activation; part a.
- 3b Duplicate analyses for reproducibility tests; Geochemical analyses of till, <63 µm fraction (silt and clay); Analyses by instrumental neutron activation; part b.
- 4 Duplicate analyses for reproducibility tests; Geochemical analyses of till, <63 µm fraction (silt and clay); Analyses by X-ray fluorescence.
- 5 Till geochemistry maps and statistical tables; percentile classes of concentration.
- 6 Bedrock Geology map, (approximate scale 1:170,000). In pocket.
- 7 Samples Location Map, (approximate scale 1:170,000). In pocket.
- 8 UTM Grid Map, (approximate scale 1:170,000). In pocket.

Figures

- 3 1 Location map showing New Brunswick Tectinostratigraphics Zones.
- 4 2 Bedrock Geology.
- 10 3 Glacial Erosion Microforms mapped during this project.

Cartes

- 1 Géochimie de la fraction <0.063 mm du till; éléments: Cu, Pb, Zn, Au, Ag, As, W, Sb, Mo (échelle 1: 50 000).
- 2 Géochimie de la fraction <0.063 mm du till; éléments: Co, Ni, Cr, U, Ba, Nb,Rb, Sr, Fe (échelle 1: 50 000).
- 3 Géochimie de la fraction <0.063 mm du till; éléments: Sc, Sm, Ta, Tb, Th, V, Y, Yb, Zr (échelle 1: 50 000).
- 4 Géochimie de la fraction <0.063 mm du till; éléments: Br, Ca, Ce, Cs, Eu, Ga, Hf, Ho, La, Lu, Na, Nd (échelle 1: 50 000).

Maps

- 1 Geochemistry of the <0.063 mm fraction of till; elements: Cu, Pb, Zn, Au, Ag, As, W, Sb, Mo (scale 1: 50 000).
- 2 Geochemistry of the <0.063 mm fraction of till; elements: Co, Ni, Cr, U, Ba, Nb, Rb, Sr, Fe (scale 1: 50 000).
- 3 Geochemistry of the <0.063 mm fraction of till; elements: Sc, Sm, Ta, Tb, Th, V, Y, Yb, Zr (scale 1: 50 000).
- 4 Geochemistry of the <0.063 mm fraction of till; elements: Br, Ca, Ce, Cs, Eu, Ga, Hf, Ho, La, Lu, Na, Nd (scale 1: 50 000).

INTRODUCTION

Le Canada et le Nouveau-Brunswick ont conclu, à la fin de juin 1991, une entente de coopération sur l'exploitation minérale en vigueur du premier avril 1990 au 31 mars 1995. Le programme des géosciences vise la stimulation de l'exploration minérale en fournissant des renseignements géologiques nouveaux ou mis à jour. L'un des éléments du programme des géosciences porte sur les études régionales de la géologie du Quaternaire et consiste à établir des cartes géologiques des sédiments quaternaires et à obtenir des informations détaillées sur la géochimie et la provenance des tills.

À titre de contribution à cette entente de coopération, ce rapport présente les résultats des analyses géochimiques des tills recueillis dans la région de Big Bald Mountain (SNRC 21-O/1). Les annexes comprennent des banques de données incluant les résultats d'analyse et les coordonnées des sites d'échantillonnage. Ces mêmes résultats sont représentés sur quatre cartes à l'échelle du 1: 50,000. Un traitement de ces données a permis de dresser pour chaque élément une carte où des pastilles ont des diamètres variables correspondant à des classes de centile de concentration (annexe 5). Chacune de ces cartes est accompagnée d'un tableau comprenant divers paramètres statistiques propres à cet élément.

LOCALISATION ET ACCES

La région de Big Bald Mountain est située dans le comté de Northumberland, au nord-ouest de Newcastle. La carte est délimitée par les latitudes 47°00' et 47°15' N, par les longitudes 66°00' et 66°30' W et elle correspond au feuillet cartographique 21-O/1 (SNRC). On peut y accéder soit par le sud-est, depuis Newcastle, en empruntant les routes 425 ou 430, soit par le nord-est, depuis Bathurst par la route 430. Un dense réseau de chemins forestiers, vieux de quelques dizaines d'années dans certains secteurs et en pleine expansion dans d'autres, donne accès

INTRODUCTION

At the end of June, 1991, the governments of Canada and New Brunswick concluded a cooperative agreement on mineral development, effective from April 1st 1990 to March 31st 1995. The agreement's Geoscience Program aims at stimulating mineral exploration by providing new or updated geological information. A project within the Geoscience Program involves completing regional Quaternary geological studies, specifically mapping of Quaternary sediments and obtaining detailed information on till provenance and geochemistry.

This report presents geochemical results from till sampled in the Big Bald Mountain area (NTS 21-O/1). Project results, including geochemical results and sample locations, are found in the appendices. Data are also presented in four 1:50 000 scale maps that accompany this report. A dot map for each element analysed was produced with the dot dimension being proportional to the concentration of the element (appendix 5). Each of these maps is accompanied by a table presenting elemental statistical data.

LOCATION AND ACCESS

The Big Bald Mountain area is located in Northumberland County, northwest of Newcastle. The map area is bounded by latitude 47°00' and 47°15' N and longitude 66°00' and 66°30' W, which corresponds to NTS map sheet 21-O/1. The area is accessible from the southeast (Newcastle) by provincial highways 425 and 430, or from the north (Bathurst) by highway 430. A dense network of logging roads, of variable age covers most of the map area. These logging roads are used predominately by the lumber industry and for tourist activities, such as

à une grande partie de la région. Ce réseau a été mis en place afin de répondre surtout aux besoins de l'industrie forestière ainsi qu'à l'industrie touristique axée sur la pêche sportive et la chasse.

TRAVAUX ANTÉRIEURS

Gauthier (1979, 1980, 1982, 1983) et Rampton et al. (1984) ont effectué la cartographie des formations superficielles du secteur présentement étudié. Les travaux de Gauthier (1982) portaient sur le nord du Nouveau-Brunswick, au nord du 47° parallèle nord, alors que ceux de Rampton et al. (1984) constituaient une synthèse des connaissances portant sur la géologie du Quaternaire de l'ensemble du Nouveau-Brunswick.

Des résultats d'analyse géochimique d'échantillons de sédiments de ruisseau et d'eau ont été publiés en 1989 (Friske et Hornbrook, 1989) pour la moitié est de la carte 21-O/1. La mise en évidence de certaines anomalies géochimiques a activé, dans les mois suivants la publication de ces résultats, certaines activités d'exploration minière.

Des études portant cette fois sur la géochimie des tills ont été effectuées par Lamothe (1988, 1989, 1990a, 1990b, 1990c, 1990d, 1990e, 1991). Les travaux de ce dernier s'étendaient sur l'ensemble de la zone tectonostratigraphique de Miramichi reconnue pour son potentiel minéral (Zn, Pb, Cu, Ag). La présente étude géochimique d'exploration s'inscrit dans la foulée des travaux de Lamothe et porte sur un secteur peu étudié antérieurement suite aux difficultés d'accès.

GÉOLOGIE DE LA ROCHE EN PLACE

La région étudiée est localisée dans la partie nord-est de l'orogène appalachienne et est incluse

fishing and hunting.

PREVIOUS WORK

The surficial geology has been mapped by Gauthier (1979, 1980, 1982, 1983) and Rampton et al. (1984). Gauthier's (1982) work covered northern New Brunswick above latitude 47° while Rampton et al. (1984) published a synthesis of Quaternary deposits of New Brunswick.

The results of the geochemical analyses of stream sediments and water samples in the eastern half of NTS 21-O/1 were published in 1989 (Friske and Hornbrook, 1989). Some anomalies detected by this work resulted in enhanced short term mineral exploration activity.

Till geochemistry studies in the Miramichi tectonostratigraphic zone, known for its Zn, Pb, Cu and Ag mineral potential, have been completed by Lamothe (1988, 1989, 1990a, 1990b, 1990c, 1990d, 1990e, and 1991). The present study follows Lamothe's work and provides information on previously inaccessible unsampled areas.

BEDROCK GEOLOGY

The study area is located in the northeastern part of the Appalachian orogen and includes part of

dans la zone tectonostratigraphique de Miramichi tel que définie par Ruitenberg et al.(1977) (fig. 1). Selon les subdivisions proposées par Williams (1979), cette région chevauche cette fois les 2 zones tectonostratigraphiques de Gander et de Dunnage.

the Miramichi tectonostratigraphic zone as defined by Ruitenberg et al. (1977) (fig. 1). According to Williams (1979), the region overlaps two tectonostratigraphic zones: the Gander and Dunnage.

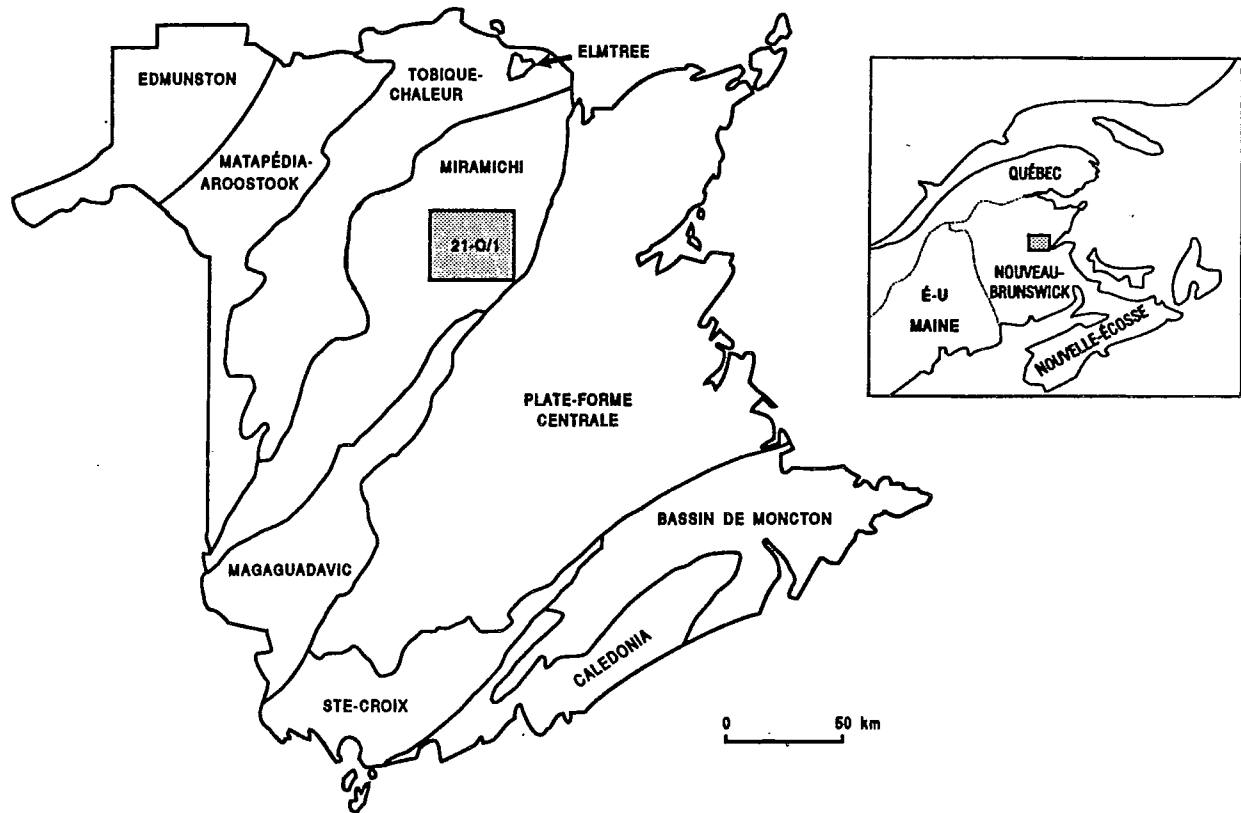
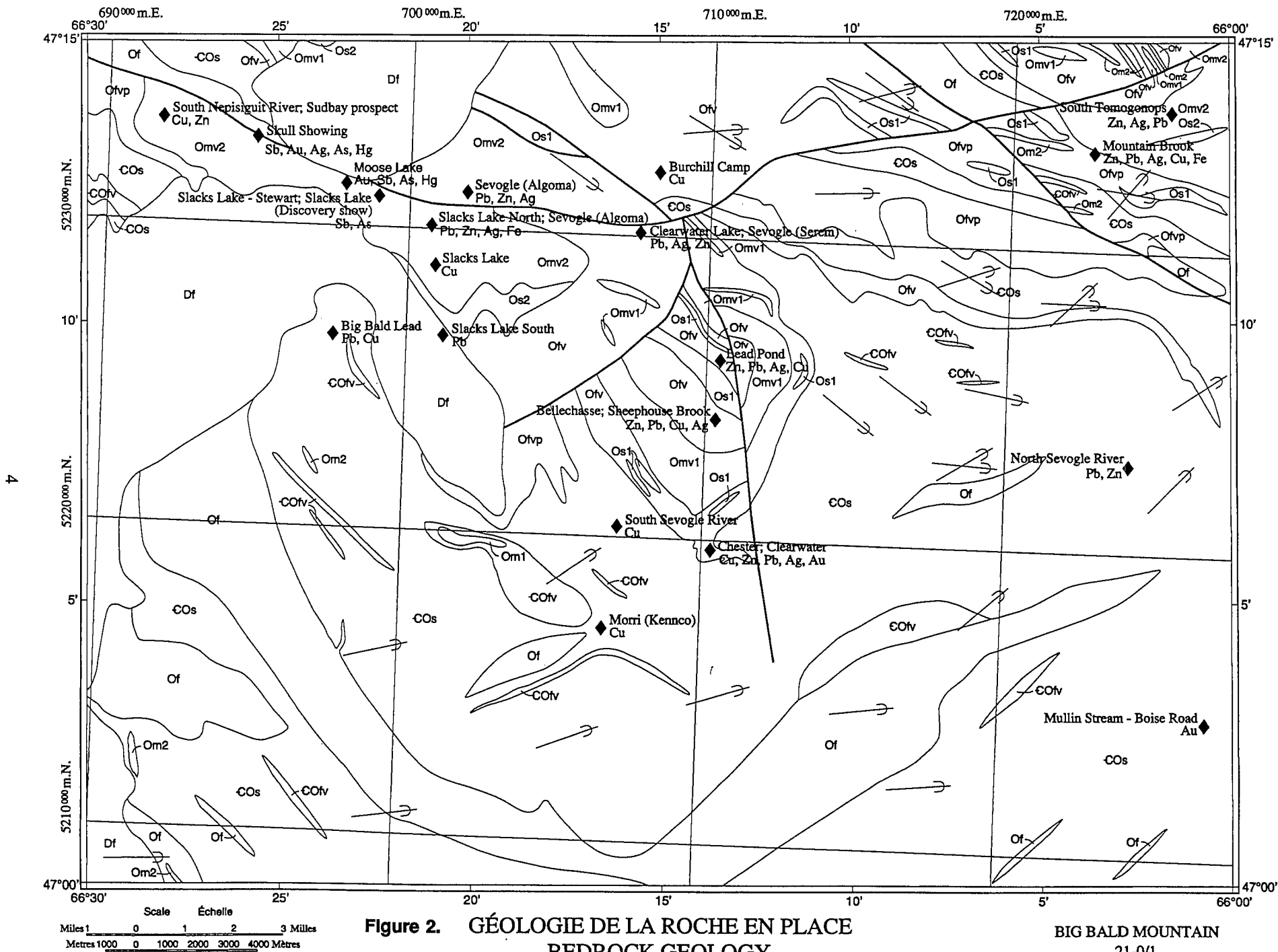


Figure 1. Carte de localisation montrant les zones tectonostratigraphiques du Nouveau-Brunswick (d'après Ruitenberg et al.,1977).La région étudiée est en grisé. *Location map showing the tectonostratigraphic zones of New Brunswick (after Ruitenberg et al., 1977). Study area is shaded.*

Les principaux travaux de cartographie de la roche en place ont été effectués par Shaw (1938), Anderson (1970) Irrinki (1986), et Whalen (1988, 1990). Les limites et les unités géologiques utilisées dans ce rapport proviennent de la carte d'Irrinki (1986)(fig.2).

Principal existing bedrock geology maps include those by Shaw (1938), Anderson (1970), Irrinki (1986) and Whalen (1988, 1990). The geological base map used in this report is taken from Irrinki (1986) (fig. 2).



**Figure 2. GÉOLOGIE DE LA ROCHE EN PLACE
BEDROCK GEOLOGY**

**BIG BALD MOUNTAIN
21-0/1**

L É G E N D E

DÉVONIEN

Df Granite à biotite, gris et rose, à grain moyen à grossier, équilgranulaire à subporphyrique

ORDOVICIEN

Om₂ gabbro ophitique, vert foncé à gris foncé et à grain moyen à grossier; diabase grise-verte à grain fin

Of Granite massif à bien folié, gris pâle à rose pâle, à grain moyen à grossier, équilgranulaire à subporphyrique

Om₁ Granite gneissique, gris pâle à vert foncé, à grain grossier

Séquence volcanique mafique

Omv₂ Basalte amygdalaire, gris-vert, localement en coussin, porphyrique; tuf basaltique; un peu de schiste graphitique noire et de schiste hématitique rouge.

Os₂ Schiste pyritique et graphitique noir.

Séquence volcanique felsique

Os₁ Schiste pyritique et graphitique gris foncé; grauwacke volcanoclastique à grain fin; un peu de schiste à chlorite et de formation ferrifère.

Omv₁ Basalte amygdalaire schisteux, gris-vert; un peu de schiste gris à marron et de formation ferrifère.

Ofv Rhyolite aphanitique grise pâle à rose et tuf rhyolitique; un peu de rhyolite porphyrique grise et chamois et de rhyolite rubanée.

Ofvp Rhyolite porphyrique grise pâle à rose.

CAMBRO-ORDOVICIEN

Séquence sédimentaire quartzique

COfv Rhyolite schisteuse, grise pâle à rose, porphyrique à aphanitique; un peu de roches sédimentaires tufacées.

COs Quartzite grise pâle à moyen, à grain fin à moyen et à lits minces à moyen interstratifiés avec des phyllites grises pâles à foncées et à litage fin à moyen.

SYMBOLES

 Limite géologique (approximative)

 Faille (approximative)

 Indice minéralisé

 Sens de l'écoulement glaciaire

Géologie d'après:

Irrinki, R.R., 1986: Geology of Big Bald Mountain map area, (NTS 21 O/1), New Brunswick; Mineral Resources Division, Department of Forest, Mines and Energy, New Brunswick, Map Report 86-2, 55 p.

LEGEND

DEVONIAN

Df Grey and pink, medium- to coarse-grained, equigranular to subporphyritic biotite granite

ORDOVICIAN

Om₂ Dark green to dark grey, medium- to coarse-grained, ophitic gabbro; grey-green, fine-grained diabase

Of Light grey to light pink, medium- to coarse-grained, equigranular to subporphyritic, massive to well foliated granite

Om₁ Light grey to dark green, coarse-grained gneissic granite

Mafic Volcanic Sequence

Omv₂ Grey-green, locally pillowed, porphyritic, amygdaloidal basalt; basaltic tuff; minor black graphitic slate and red hematitic slate

Os₂ Black graphitic, pyritic slate

Felsic Volcanic Sequence

Os₁ Dark grey, graphitic, pyritic slate; grey, fine-grained volcanoclastic greywacke, minor chlorite schist and iron formation

Omv₁ Grey-green, schistose, amygdaloidal basalt; minor grey to maroon slate and iron formation

Ofv Light grey to pink, aphanitic rhyolite and rhyolitic tuff; minor grey and buff porphyritic rhyolite, and banded rhyolite

Ofvp Light grey to pink porphyritic rhyolite

CAMBRIAN - ORDOVICIAN

Quartzose Sedimentary Sequence

COfv Light grey to pink, porphyritic to aphanitic, schistose rhyolite; minor tuffaceous sedimentary rocks

COs Light to medium grey, fine- to medium-grained, thin- to medium-bedded quartzite interbedded with light to dark grey, thin- to medium-bedded phyllite

SYMBOLS

 Geological boundary (approximate)

 Fault (approximate)

 Mineral occurrence

 Glacial striae

Geology after:

Irrinki, R.R., 1986: Geology of Big Bald Mountain map area, (NTS 21 O/1), New Brunswick; Mineral Resources Division, Department of Forest, Mines and Energy, New Brunswick, Map Report 86-2, 55 p.

La roche en place est principalement constituée de roches métasédimentaires et métavolcaniques cambro-ordoviciennes du groupe de Tétagouche ainsi que de roches intrusives granitiques et gabbroïques ordoviciennes, siluriennes et dévoniennes.

La base du groupe de Tétagouche est constituée d'une séquence sédimentaire de quartzose. Celle-ci comprend des quartzites et des phyllites interstratifiés (E_Os) ainsi que des rhyolites schisteuses et des roches sédimentaires tufacées (E_Ofv). Ces roches occupent la moitié sud du secteur étudié.

Les séquences de roches métavolcaniques mafiques et felsiques du groupe de Tétagouche affleurent au centre et dans la partie nord de la région étudiée. Elles forment l'extrémité sud d'un complexe volcanique à prédominance felsique, fortement déformé et auquel sont associés les gisements de sulfures massifs de Zn-Pb-Ag-Cu du district Bathurst-Newcastle. Rappelons que de ces gisements provenaient en 1989 près de 70% de la valeur de la production minérale du Nouveau-Brunswick (Fyffe, 1990).

La séquence médiane du groupe de Tétagouche est composée de roches volcaniques felsiques. Elle comprend des rhyolites porphyriques (Ofvp), des rhyolites et des tufs rhyolitiques (Ofv), des basaltes schisteux (Omv₁) ainsi que des ardoises et des grauwackes (Os₁) qui s'intercalent au sein des roches volcaniques felsiques.

Une séquence de roches volcaniques mafiques occupe le sommet du groupe de Tétagouche et est constituée de basalte et de tuf basaltique (Omv₂) ainsi que d'ardoises noires (Os₂).

Des gabbro gneissiques (Om₁) d'âge ordovicien affleurent pour leur part sur une très faible superficie dans le centre ouest du secteur étudié.

Des granites foliés (Of) ordoviciens, surtout présent dans la moitié sud de la région, se présentent sous la forme de plusieurs masses distinctes. Selon Fyffe et al. (1977) et Poole

The bedrock is composed mainly of metasedimentary and metavolcanic rocks of the Cambro-Ordovician Tetagouche Group and granitic and gabbroic intrusive rocks of Ordovician and Siluro-Devonian age.

A quartzite sequence forms the base of the Tetagouche Group. It includes interbedded quartzites and shales (E_Os), rhyolite schists and sedimentary tuffaceous rocks (E_Ofv). These rocks occur in the southern half of the study area.

The mafic metavolcanic rock sequences outcrop in the central and northern part of the area. They form the southern extremity of a strongly deformed volcanic complex dominated by felsic rocks associated with Zn-Pb-Ag-Cu massive sulphide deposits of the Bathurst-Newcastle district. According to Fyffe (1990), nearly 70% of New Brunswick's mineral production is obtained from these base metal deposits.

The middle sequence of the Tetagouche Group consist of felsic volcanic rocks, including: porphyritic rhyolites (Ofvp), rhyolites (Ofv), basaltic schists (Omv₁) and slates and greywackes (Os₁) interbedded with felsic volcanic rocks.

A mafic volcanic sequence, mainly basalts and basaltic tuffs (Omv₂) interbedded with black slates (Os₂), forms the top of the Tetagouche Group.

Small outcrops of Ordovician gneissic gabbro (Om₁) are locally present in the west-central part of the study area.

Ordovician foliated granites (Of), mostly present in the southern part of the region, occur as many distinct masses. Fyffe et al. (1977) and Poole (1980) consider those rocks related to felsic

(1980), ceux-ci seraient apparentés aux roches volcaniques felsiques du groupe de Tétagouche.

Des dykes mafiques (Om_2) ordoviciens sont présents dans le coin nord-est et dans le coin sud-ouest de la carte.

Enfin, des granites siluriens (Bevier, 1988) sont présents dans la moitié ouest de la carte (Df) et font partie de la suite granitique de North Pole Stream (Whalen, 1988).

La région étudiée a été affectée par 4 phases de plissements (Irrinki, 1986). Les trois premières phases seraient reliées à l'Orogénèse Taconique et la dernière à l'Orogénèse Acadienne.

La faille Tomogonops traverse d'est en ouest la partie supérieure de la carte. La faille de Little River, orientée NW-SE recoupe le coin NE de la carte. elle est possiblement le prolongement de la faille Upsalquitch-Sevogle. D'autres failles importantes orientées N-S, NE-SW et NW-SE occupent la partie centrale de la carte.

GÉOLOGIE DU QUATERNAIRE

Dans le cadre d'une campagne d'exploration minérale, il peut être intéressant d'étudier la composition géochimique, minéralogique et pétrographique des tills à la condition de pouvoir retracer la source des constituantes intéressantes. L'emplacement actuel de ces constituantes est en fait la résultante d'un transport glaciaire et ce dernier a pu varier de direction de vitesse et de durée. Pour circonscrire la source d'une anomalie, il est donc important de connaître les diverses directions d'écoulement glaciaire successives, entre autre par l'étude des microformes d'érosion glaciaire et par l'étude de la pétrographie des cailloux erratiques présents dans le till en y associant les zones d'affleurement connues.

volcanics of the Tétagouche Group.

Ordovician mafic dykes (Om_2) are present in the northeastern and southwestern part of the map area.

Finally, Silurian granites (Bevier, 1988) are found in the western part of the map (Df) and are part of the North Pole Stream granitic suite (Whalen, 1988).

The study area has been affected by 4 episodes of folding (Irrinki, 1986). The first three are related to the Taconian orogenesis, the last to the Acadian orogenesis.

The Tomogonop fault crosses the northern portion of the map from east to west. The NW-SE Little River fault can be found in the NE portion of the map area. This fault is possibly the extension of the Upsalquitch-Sevogle fault. Other important N-S, NE-SW and NW-SE faults are found in the centre of the map area.

QUATERNARY GEOLOGY

From a mineral exploration point of view, study of the geochemical, mineralogical and petrographical composition of tills may be useful, assuming that till provenance can be established to source. The actual emplacement of till constituents is the direct result of glacial transport, which may have changed direction, speed and/or duration over time. To retrace the source of a till anomaly, it is then important to determine successive glacial flow events by studying glacial erosion, microforms and clast petrography in association with known outcrops.

DIRECTIONS DE L'ÉCOULEMENT GLACIAIRE

Dans le cadre de ses travaux, Gauthier (1979, 1980, 1982, 1983) a défini les diverses directions de l'écoulement glaciaire par la compilation des stries glaciaires et par l'étude de la dispersion des erratiques. Les travaux subséquents de Rampton et al. (1984), de Lamothe (sous presse) et ceux de Doiron (présente étude) ont permis de confirmer les travaux de Gauthier en y ajoutant quelques données, souvent liées à l'accessibilité à de nouveaux secteurs suite à la construction de routes (fig.3).

Dans le centre et le centre-nord de la région étudiée, les stries relevées démontrent un écoulement glaciaire vers l'est et le sud-est. Dans la bordure est de la carte, au pied des hautes terres, les traces de ce mouvement sont brusquement oblitérées par des stries et des surfaces de till profilées montrant un écoulement tardif vers le nord-est, dans l'axe de la vallée de Curventon-Bathurst. En se dirigeant vers le coin sud-ouest de la zone étudiée, ce mouvement nord-est se réoriente progressivement vers l'est, en contournant les reliefs majeurs des hautes terres. Quelques autres rares sites de stries montrent un écoulement ancien vers le nord qui serait possiblement pré-Wisconsinien tardif (Doiron, 1992; Lamothe, sous-presse).

Dans la partie nord-est de la région étudiée, de nombreux recoupements de stries montrent que l'écoulement glaciaire qui s'effectuait vers le nord-est (N040°) s'est progressivement réorienté vers l'est (N095°). Il est possible que pendant la phase tardive de Bantalor, le retrait progressif des glaces provenant des centres de dispersion d'Escuminac et de Gaspereau ait permis aux glaces provenant de l'ouest de s'écouler librement vers l'est. Ces glaces pouvaient provenir des centres de dispersion des Monts Notre-Dame ou de la ligne de partage glaciaire du nord du Maine ou encore, pour la partie est du secteur étudié, de centres de dispersion locaux situés dans la bordure est des hautes terres de Miramichi (Gauthier, 1983; Rampton et al.,

GLACIAL FLOW DIRECTIONS

Gauthier (1979, 1980, 1982, 1983) defined the various glacial flows in the map area from striae orientations and erratic dispersal compilations. Subsequent works by Rampton et al. (1984), Lamothe (in press) and Doiron (this study) confirm Gauthier's conclusions and add new data, particularly for areas recently made accessible through new road construction (fig. 3).

In the central and north-central part of the study area, striae display a east-southeast glacial flow direction. Along the eastern limit of the map area, at the foothills of the highland's, this movement is abruptly obliterated by striae and streamlined till surfaces showing a late flow toward the northeast, in the Curventon-Bathurst valley axis. Toward the southwest corner of the map area, this movement is progressively redirected toward the east and controlled by topographic features. Rare striae sites suggest the presence of a northerly flow, possibly of late pre-Wisconsinan age (Doiron, 1992; Lamothe, in press).

In the northeastern part of the study area, some multiple striae sites show a northeastern flow (N 040°) progressively reoriented toward the east (N 095°). It is possible that during the late Bantalor phase, ice retreat from the Escuminac, and the Gaspereau dispersal centres allowed ice from the west to flow freely toward the east. The source of the ice could be either the Monts Notre-Dame dispersal centre, the North Maine ice divide, or, for the eastern part of the study area, local dispersal centres on the eastern edge of the Miramichi Highlands (Gauthier, 1983; Rampton et al., 1984; Rappol, 1989; Pronk et al., 1989; Lamothe, 1991).

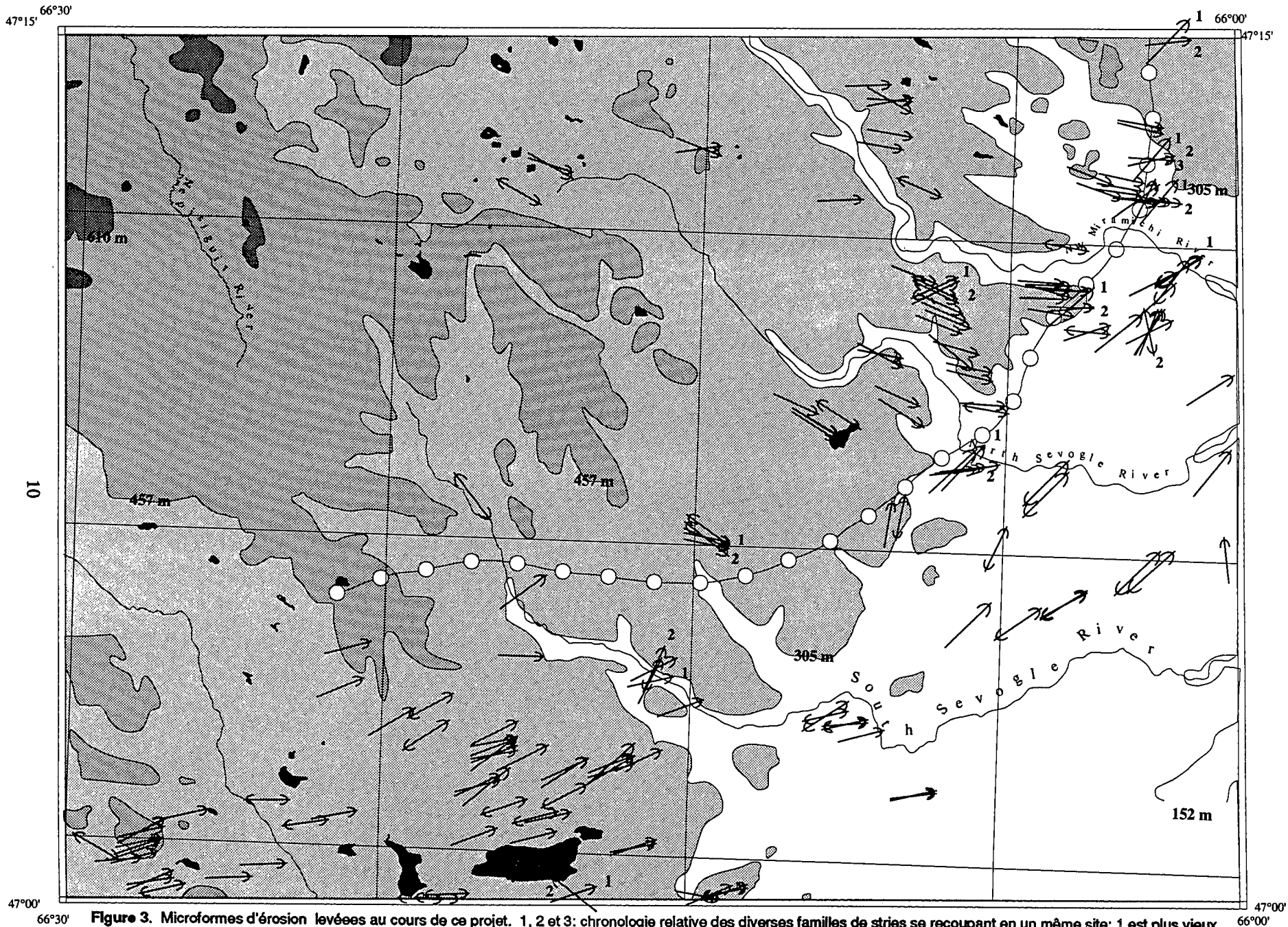


Figure 3. Microformes d'érosion levées au cours de ce projet. 1, 2 et 3: chronologie relative des diverses familles de stries se recoupant en un même site; 1 est plus vieux que 2, etc. La ligne reliant des cercles blancs sépare deux domaines distincts d'écoulement glaciaire: du côté N-W de la limite, écoulement vers le S-E; du côté S-E de la limite, écoulement vers le N-E.

Figure 3. Glacial erosion microforms mapped during this project. 1, 2 and 3: relative chronology of crosscutting striae groups on the same outcrop; 1 is older than 2, etc. The line linking white circles shows the limit between two glacial flow domains: NW side of the limit: flow to the SE; SE side of the limit, flow to the NE.

1984; Rappol, 1989; Pronk et al., 1989; Lamothe, 1991).

TRANSPORT GLACIAIRE

les études pétrographiques effectuées sur les cailloux recueillis dans les tills échantillonnés montrent que la distance de transport des sédiments inclus dans le till est très variable, allant que de quelques mètres ou dizaines de mètres à plusieurs kilomètres selon le site échantillonné. À l'échelle locale, ces disparités sont normales en considérant que les divers accidents topographiques modifiaient localement les pouvoirs d'érosion, de transport ou de sédimentation de la glace à un moment donné. De plus, ces propriétés ont varié dans le temps. Il est donc important d'évaluer l'ampleur de ce transport pour chaque cas d'étude détaillée de transport glacio-sédimentaire.

À l'échelle régionale, l'étude pétrographique indique que le transport glaciaire des cailloux a pu atteindre quelques kilomètres dans les bordures est et sud de la carte où l'écoulement glaciaire s'effectuait respectivement vers le nord-est et vers l'est. Pour le reste de la carte où l'écoulement glaciaire s'effectuait vers le sud-est, la dynamique de la glace semble avoir été très différente. Le transport glaciaire des cailloux s'y est effectué sur de courtes distances, en général de quelques dizaines à quelques centaines de mètres.

METHODOLOGIE SUR LE TERRAIN

Les travaux de terrain ont été menés pendant les étés 1990 et 1991. Les travaux reliés à la cartographie des formations superficielles consistaient à décrire les sédiments meubles exposés en bordure des cours d'eau ainsi que dans les fossés et les talus bordant les chemins forestiers. Les microformes d'érosion glaciaires ont été relevées. Celles-ci, en conjonction avec les fabriques de till et les descriptions pétrographiques des cailloux présents dans le till, permettront de mieux comprendre la succession des divers mouvements d'écoulements glaciaires.

GLACIAL TRANSPORT

Petrographic studies of clasts in till show that the transport distance is variable, ranging from a few metres to several kilometres depending on the sample site. At local scale, such a range is considered normal and depends on various topographic features that locally affect the eroding power, transport and deposition modes of the ice. These phenomena also changed through time. Therefore, for each case of glacio-sedimentary transport identified it is important to carefully evaluate the resulting transport vector.

At regional scale, petrographic study indicate that glacial transport may have reached a few kilometres in the eastern and southern map border where glacial flows were toward the north-east and the east respectively. For the rest of the map area, where the flow was toward the south-east, the ice dynamic seems to have been quite different. The glacial transport of pebbles was short, generally a few tens to a few hundreds of meters.

FIELD METHODS

Field work was carried out during the summers of 1990 and 1991. Field work related to surficial mapping included detailed descriptions of sediments exposed along river banks and road ditches. Glacial erosion microforms were also compiled. These striae, in conjunction with till fabrics and clast petrography studies, result in a better understanding of glacial flow successions.

L'échantillonnage du till pour fins d'analyses géochimiques a aussi été effectué durant les étés 1990 et 1991. Le terrain à l'étude a été divisé en quadrats de 4 km². Plusieurs des échantillons de till recueillis par Lamothe dans le cadre d'un projet antérieur étaient toujours disponibles et ceux-ci ont été utilisés pour de nouvelles analyses. Ainsi, les quadrats d'où ils provenaient n'ont pas été rééchantillonnés. Tous les autres quadrats comprenant du till en surface ont été échantillonnés. Les sites d'échantillonnage étaient localisés de préférence au centre des quadrats. Plusieurs sites ont cependant été relocalisés après étude des photos aériennes, avant les travaux sur le terrain, ou directement sur place si les sédiments disponibles n'étaient pas adéquats. Les tills sous-glaciaires compacts étaient échantillonnés de préférence. Toutefois, dans certains secteurs, seul étaient disponibles des tills d'ablation lâches. À défaut de mieux, ceux-ci ont donc été échantillonnés et analysés. Aucun autre type de sédiment n'a été utilisé pour fin d'analyse.

Les échantillons ont été recueillis à une profondeur moyenne de 55 cm sous la surface, dans la partie supérieure de l'horizon C ou dans la zone de transition BC. Les échantillons de till brut devant servir pour les analyses géochimiques pesaient 2.5 kg. Pour les études portant sur la dispersion glaciaire, de 50 à 100 cailloux étaient recueillis au même site.

Un total de 161 échantillons préparés (< 63µm) provenant du projet de Lamothe ont pu être récupérés et analysés (seulement 160 en FRX). L'échantillonnage de 145 autres sites a permis de respecter la densité de 1 échantillon par quadrat de 4 km² pour un grand total de 306 échantillons analysés en AANI et 305 en FRX).

MÉTHODOLOGIE DE LABORATOIRE

Les échantillons de till brut ont été tamisés à sec à l'aide de tamis en acier inoxydable. La fraction < 63 µm (silt et argile) a été récupérée pour déterminer les concentrations de 38

Till sampling for geochemical analyses was completed simultaneously with surficial mapping. A 4km² grid was established for the study area, and since many till samples from Lamothe's work were still available for re-analyses, only empty grid cells were sampled. Sample sites were preferentially located in the centre of the established 4km² grid, however, many sites were relocated prior to the commencement of field work following air photo examination. During actual field work, many site locations were changed because sample material was inadequate at the centre of the grid. Compact basal till was sampled, but in some areas, only loose ablation till was available for sampling. No other sediment types were sampled for geochemical analyses.

Samples were generally taken approximately 55 cm below the surface, along the top of the C horizon or at the BC transition. Till samples weighed about 2.5 kilograms, and fifty pebbles were collected at each site for a clast dispersal study.

One hundred and sixty one (161) sieved samples (< 63 µm) from Lamothe's project were recovered and re-analyzed (160 by X-ray fluorescence [XRF]). Field sampling of 145 sites resulted in a sampling density of 1 sample per 4km². A total of 306 samples were analyzed by INAA and 305 by XRF.

LABORATORY METHODS

Till samples were dry sieved using stainless steel sieves. The < 63 µm (silt and clay) fraction were analysed for 38 trace elements using instrumental neutron activation analysis (INAA)

éléments traces. Les analyses ont été effectués selon les techniques d'analyse par activation neutronique instrumentale (AANI) et par fluorescence-X (FRX). Des échantillons ont été préparés et réanalysés afin de vérifier le degré de reproductibilité des résultats (annexes 3a, 3b et 4) et ce pour les deux méthodes analytiques.

ANALYSE PAR ACTIVATION NEUTRONIQUE INSTRUMENTALE

Les échantillons de till (< 63 µm) ont été encapsulés dans des contenants en plastique d'une capacité de 7 ml, pour un poids d'échantillon variant de 3 à 7 g selon la densité du matériel. Les échantillons ont été irradiés au réacteur de l'université de McMaster en lots contenant 21 échantillons, 3 moniteurs et 1 standard (GTS-1). Le délais entre l'irradiation et le comptage était de 5 à 8 jours. Un seul comptage était effectué sur les échantillons et le temps de comptage était de 2 heures (7200 s). La distance entre les échantillons et le détecteur était de 2 cm. Les "limites de détection" proposées sont calculées à 3σ . L'erreur sur les mesures est de: \pm limite de détection + 5% de la valeur mesurée. Les résultats d'analyse sont présentés aux annexes 1a et 1b.

FLUORESCENCE PAR RAYON X

Les résultats des analyses sont présentés à l'annexe 2. Les analyses des éléments traces par fluorescence par rayon X ont été effectuées sur des pastilles de 32 mm de diamètre. Celles-ci ont été préparées en mélangeant 4 g de la fraction < 63 µm de l'échantillon de till avec 1 g de liant (SX) et en agitant ce mélange pendant 10 minutes. Les pastilles sont ensuite fabriquées en soumettant ce mélange à une pression de 40 tonnes pendant 2 minutes. Les analyses sont faites en utilisant la correction Compton.

and XRF. Duplicate samples were re-analysed by both methods to test reproducibility (Appendix 3a, 3b and 4).

INSTRUMENTAL NEUTRON ACTIVATION ANALYSIS

Depending on sample density, 3 to 7 g of the (< 63 µm) till fractions were capped in 7ml plastic containers. Samples were irradiated at McMaster University's 3 monitor reactor. During a single irradiation, 21 samples and a standard (GTS-1) were analyzed. The delay between irradiation and counting was 5 to 8 days. A single 2 hours count (7200 s) was performed on each sample. The distance between the sample and the detector was 2 cm. The proposed "detection limit" was calculated at the 3σ level. Measurement error is: \pm detection limit + 5% of the measured value. Analytical results are presented in Appendix 1a and 1b.

X-RAY FLUORESCENCE

XRF trace element analyses were performed on 32mm diameter discs. Those discs were prepared by mixing 4g of the sample (< 63 µm) with 1g of the ligen (SX) and agitating this mix for 10 minutes. The discs were made by applying a pressure of 40 tons for a period of 2 minutes. Analyses were corrected using the Compton method. Results are presented in Appendix 2.

R E P R É S E N T A T I O N CARTOGRAPHIQUE DES RÉSULTATS

Les résultats analytiques sont présentés sur des cartes accompagnant ce rapport à l'échelle du 1:50 000 (cartes 1,2,3 et 4).

L'annexe 5 contient les cartes de géochimie du till à l'échelle approximative du 1:170 000. Pour chacun des éléments analysés, les résultats analytiques ont été classés selon un ordre croissant de concentration et ces résultats ont ensuite été séparés en 8 classes. À chacune de ces classes correspond une taille de pastille. Les limites théoriques utilisées pour définir ces classes sont les suivantes:

classe 1: centile 1 à 25 (inclus)
classe 2: centile 25 à 50 (inclus)
classe 3: centile 50 à 75 (inclus)
classe 4: centile 75 à 90 (inclus)
classe 5: centile 90 à 95 (inclus)
classe 6: centile 95 à 98 (inclus)
classe 7: centile 98 à 99 (inclus)
classe 8: centile 99 à 100 (inclus)

Dans les faits, les coupures des classes ont été réalisées les plus près que possible de ces valeurs. Les centiles limites et les concentrations correspondantes sont précisés dans la légende de la carte apparaissant sur la page opposée à la carte.

Une carte géologique de la roche en place (carte 5), une carte de localisation des échantillons (carte 6) et une carte avec une grille UTM (carte 7), toutes trois transparentes, sont présentées en pochette. Ces trois cartes sont à l'échelle approximative du 1:170 000 et peuvent être superposées aux cartes de géochimie du till de l'annexe 5.

COMMENTAIRE DES RÉSULTATS ANALYTIQUES

Pour l'ensemble des échantillons analysés, celui provenant du site 91-DNA-130 présente des

CARTOGRAPHIC PRESENTATION OF RESULTS

Analytical results are presented on 1:50,000 scale maps that accompany this report (Maps 1,2,3 & 4).

The appendix 5 contain till geochemistry maps at 1:170 000 scale. For each element, analytical results have been sorted and divided into eight (8) classes. To each class is related a dot size. Theoretical limits used for the classes are:

class 1: percentile 1 to 25 (inclusively)
class 2: percentile 25 to 50 (inclusively)
class 3: percentile 50 to 75 (inclusively)
class 4: percentile 75 to 90 (inclusively)
class 5: percentile 90 to 95 (inclusively)
class 6: percentile 95 to 98 (inclusively)
class 7: percentile 98 to 99 (inclusively)
class 8: percentile 99 to 100 (inclusively)

In fact, class limits are the closest possible to the percentile value. Percentile limits and corresponding values are specified in the map legend on the page opposite to each map.

Transparencies of a geological map (map 5), location map (map 6) and UTM grid (map 7) provided at the same scale (1:170 000) as the geochemical maps in Appendix 5, can be used as overlays.

DISCUSSION ON ANALYTICAL RESULTS

Of the entire analytical data set, the highest anomalous elemental concentrations are

concentrations nettement anormales pour plusieurs éléments. Le plomb y atteint une concentration de 1319 ppm. Une seconde pastille provenant du même échantillon de till présente une teneur de 1361 ppm. Ces valeurs sont exceptionnelles en considérant que la seconde plus haute concentration de plomb pour cette région n'est que de 135 ppm (87-LFA-1312). Pour 24 éléments analysés (sur 34) dans l'échantillon 91-DNA-130, les concentrations se classent dans un rang centile supérieur à 95%.

Les cailloux recueillis dans l'échantillon de till sont constitués de phyllades à séricite (métarhyolites, tuf rhyolitique ou pyroclastite acide?) avec de rares cristaux oxydés de pyrite. Une vérification sur le terrain a permis de constater que les cailloux présents dans le till proviennent de roche en place localisée très près du site d'échantillonnage. À cet endroit, l'épaisseur du till est mince, soit moins de 1 mètres, et le transport glaciaire est peu important d'après la pétrographie des cailloux recueillis dans le till. L'anomalie géochimique origine donc probablement de la roche en place, à proximité du site d'échantillonnage du till. Il faut souligner que des analyses géochimiques de sédiments de ruisseau (Friske et Hornbrook, 1989) avaient également mis en évidence une anomalie à 3.5 km au sud en aval dans le même secteur. Dans un rayon de quelques kilomètres, quelques indices minéralisés (Cu, Pb, Zn, Ag) sont également connus, notamment ceux de Chester-Clearwater et de Bellechasse-Sheephouse Brook.

Pour l'ensemble de la région étudiée, les anomalies géochimiques pour les métaux de base (Cu, Pb, Zn) dans le till sont principalement regroupés au centre de la carte, dans un secteur occupé principalement par les roches du groupe de Tétagouche et recoupé par des failles orientées N-S et NE-SW.

associated with sample 91-DNA-130. The measured lead concentration is 1319 ppm. A second disc from the same sample revealed 1361 ppm in lead. Those values are exceptional, considering that the second highest value in lead is only 135 ppm (87-LFA-1312). Twenty four of the 34 elements analysed in sample 91-DNA-130, had concentrations above the 95th percentile.

Pebbles collected in the till of sample 91-DNA-130 were mainly sericite schists (metarhyolite, rhyolitic tuff or felsic pyroclastics ?) with rare oxidized pyrite cubes. Field verification have confirm that the source of these pebbles is local bedrock. Till cover in the vicinity of the anomalous sample is less than 1 meter thick. Till pebble petrography suggests that transport distance was short and that the source of the geochemical anomaly is probably proximal to the sampling site. Geochemical analyses of stream sediments by Friske and Hornbrook (1989) also outlined an anomaly in this area, at 3.5 km downstream in the south. Within a few kilometers of this site, many Cu-Pb-Zn-Ag mineral occurrences are known, namely the Chester-Clearwater and the Bellechasse-Sheephouse Brook occurrences.

In the study area, Cu, Pb, Zn till geochemical anomalies (Pb,Zn) are mainly grouped in the center of the map in a sector underlain by rocks of the Tétagouche Group and crossed by N-S and NE-SW faults.

REMERCIEMENTS

Nous tenons à remercier les organisations et les individus suivants pour leur coopération et leur support: R.N.W. DiLabio (CGC), coordonnateur de la subdivision de la géologie du Quaternaire pour l'entente de coopération Canada/Nouveau-Brunswick sur l'exploitation minière, pour ses conseils tout au long du projet et pour la lecture critique de ce document; M. Lamothe, de l'Université du Québec à Montréal, pour les discussions et la transmission de documents portant sur ses travaux et ses observations faites dans les Miramichi; A.G. Pronk, A.A. Seaman, et M.A. Parkhill, du ministère des Ressources naturelles et de l'Énergie du Nouveau-Brunswick, pour leurs conseils et notamment pour leur coopération en me faisant parvenir les échantillons de till disponibles provenant des travaux de M. Lamothe; M. Parent et S. Paradis (CGC, CGQ) pour leurs commentaires et suggestions; A. Bolduc et E. Boisvert (CGC, CGQ) pour la traduction en anglais du manuscrit; E. Boisvert, C. Boily, L. Bonneville, P. Bernachez et M.-J. Duquette, assistants de recherche, qui m'ont secondé sur le terrain et au bureau; Consorminex inc., contracteur chargé de l'échantillonnage des tills; l'INRS-Géoressources, contracteur chargé des analyses géochimiques; et Northwood Geoscience Ltd., contracteur chargé du traitement statistique des banques de données et de la cartographie numérique des résultats; Dan Richardson (GSC) pour avoir coordonné la production de ce dossier.

ACKNOWLEDGEMENTS

I thank the followings individuals and organisations for their cooperation and support: R.N.W. DiLabio (GSC), Canada/New Brunswick Cooperation Agreement on Mineral Development Quaternary Geology Subdivision Coordinator, for helpfull discussion and comments and critical review of the manuscript; M. Lamothe, Université du Québec à Montréal, for discussion and comments and for permission to use his Miramichi field documents and observations; A.G. Pronk, A.A. Seaman and M.A. Parkhill, New brunswick Natural Resources and Energy for helpfull discussion and for permission to use the Lamothe's project till samples; M. Parent et S. Paradis (GSC, CGQ), for discussion and comments; A. Bolduc et E. Boisvert (GSC, CGQ), for english translation; E. Boisvert, C. Boily, L. Bonneville, P. Bernachez et M.-J. Duquette, research assistant on the field and at the office; Consorminex inc., till sampling contractor; INRS-Géoressources, geochemical analysis contractor; Northwood Geoscience Ltd., data bank statistical treatment and results digital mapping contractor; Dan Richardson (GSC) for coordinating the production of this Open File.

BIBLIOGRAPHIE/BIBLIOGRAPHY

Anderson, F.D.

1970: Geology of Big Bald Mountain, New Brunswick. Geological Survey of Canada, Map 1220A.

Bevier, M. L.

1988: U-Pb geochronologic studies of igneous rocks in New Brunswick; in S.A. Abbot (Editor), 13 th Annual Review of activities; Mineral Resources Division, New Brunswick Department of Natural Resources, Information Circular 88-2.

Doiron, A.

1992: Études préliminaires de la géologie du Quaternaire des régions de Big Bald Mountain et de Serpentine Lake, Nouveau-Brunswick; dans Recherches en cours, Partie D; Commission géologique du Canada, Étude 92-1D, p. 77-82.

Friske, P.W., and Hornbrook, E.H.

1989: National Geochemical Reconnaissance Stream Sediment and Water Geochemical Data, Northeastern New Brunswick (21/1 East and 21P/4 West), Geological Survey of Canada, Open File 1954.

Fyffe, L. R. (editor)

1990: Field Guide to massive sulphide deposits in Northern New Brunswick. New Brunswick Department of Natural Resources and Energy, Minerals and Energy Division, 162 p.

Fyffe, L.R., Irrinki, R.R. and Cormier, R. F.

1977: A radiometric age of deformed granite in north-central New Brunswick. Canadian Journal of Earth Science, v. 14, p. 1687-1689

Gauthier, R.C.

1978: Quelques interpretations de l'inventaire des dépôts de surface, péninsule nord-est du Nouveau-Brunswick; in Current Research, Part A, Geological Survey of Canada, Paper 78-1A, p. 409-412.

1979: Aspect of the glacial history of the north-central Highlands of New Brunswick; Current Research, Part B, Geological Survey of Canada, Paper 79-1B, p. 371-377.

1980: Existence of a central New Brunswick ice cap based on evidence of northwestward-moving ice in the Edmundston area, New Brunswick; Current Research, Part A, Geological Survey of Canada, Paper 80-1A, p. 377-378.

1982: Surficial deposits, northern New Brunswick; Geological Survey of Canada, Open File Report 856, 9 maps.

1983: Surficial materials of Northern New Brunswick; Geological Survey of Canada, Open File 963, 64 p.

Irrinki, R.R.

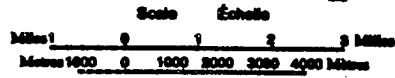
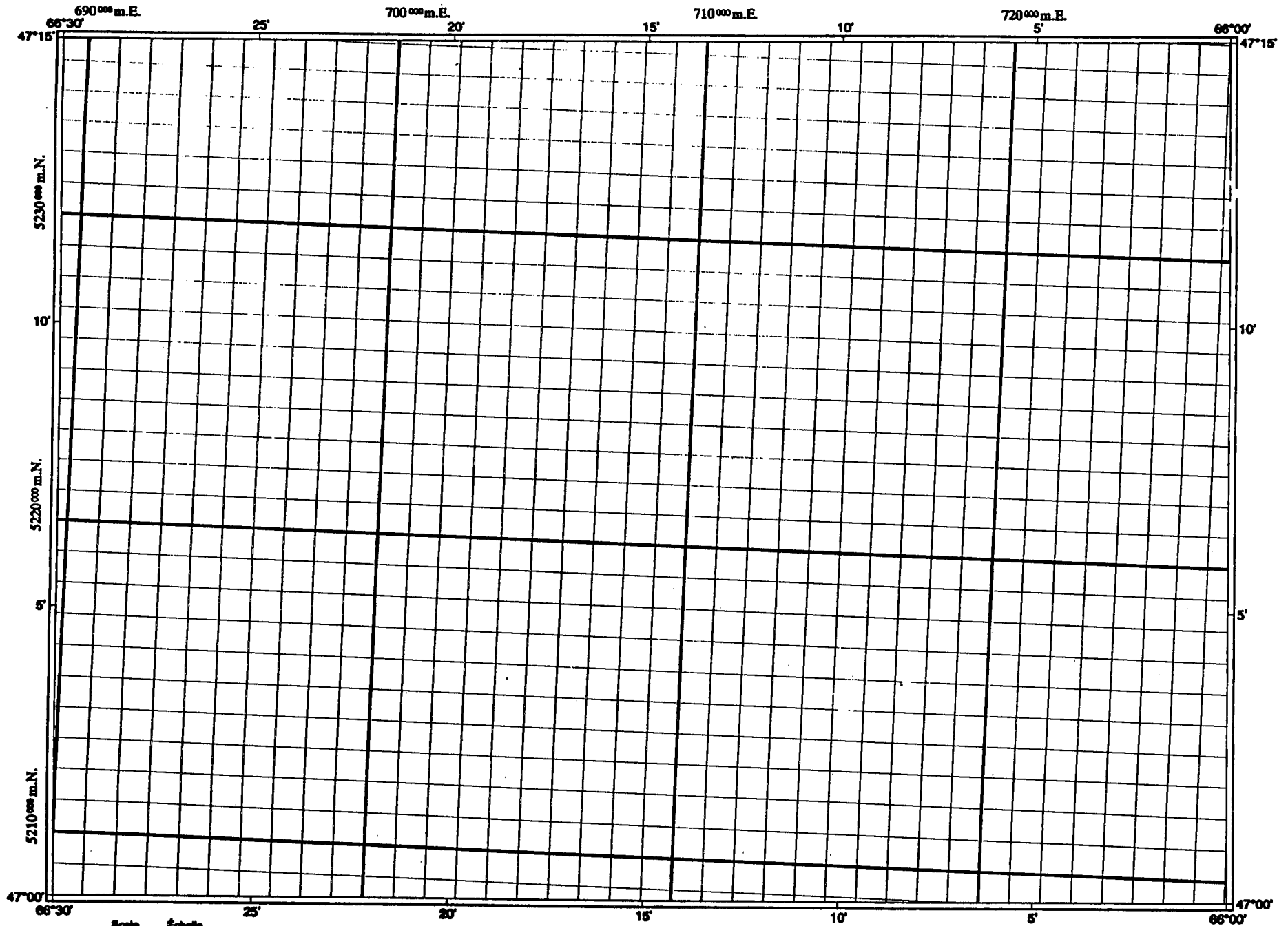
1986: Geology of Big Bald Mountain map area, (NTS 21 O/1), New Brunswick; Mineral Resources Division, Department of Forest, Mines and Energy, New Brunswick, Map Report 86-2, 55 p.

Lamothe, M.

1988: Till geochemistry over the northern part of the Miramichi Zone and its vicinity, New Brunswick: a partial report; Geological Survey of Canada, Open File 1909, 80 p., 6 maps.

- 1989: Till geochemistry over the central part of the Miramichi Zone and its vicinity, New Brunswick: a partial report; Geological Survey of Canada, Open File 1967, 6 maps, 100 p.
- 1990a: Overburden drilling program in the Saint John Valley and the Baie des Chaleurs coastal area of Northern New Brunswick: till geochemistry and borehole logs; Geological Survey of Canada, Open File 2149, 83 p.
- 1990b: Geochemistry of till in the vicinity of the Late Devonian granites of the Hayesville area, Central New Brunswick; a trenching project; Geological Survey of Canada, Open File 2217, 5 plates, 66 p.
- 1990c: Till geochemistry over the Northern Miramichi Zone and its vicinity, New Brunswick, Geological Survey of Canada, Open File 2236, 103 p., 19 maps (1:500 000).
- 1990d: Till geochemistry over the Central Miramichi Zone and Vicinity, New Brunswick, Geological Survey of Canada, Open File 2237, 110 p., 22 maps (1:500 000).
- 1990e: Till geochemistry over the Southern Miramichi Zone and Vicinity, New Brunswick, Geological Survey of Canada, Open File 2238, 77 p., 20 maps (1:500 000).
- 1993: Pleistocene stratigraphy and till Geochemistry over the Miramichi zone, New Brunswick; Geological Survey of Canada, Bulletin 433, 58 p.
- Poole, W. H.**
1980: Rb-Sr ages of the "Sugar" Granite and Lost Lake Granite, Miramichi Anticlinorium, Hayesville map area, New Brunswick; in Current Research, Part C; Geological Survey of Canada, Paper 80-1C, p. 174-180.
- Rampton, V.N., Gauthier, R.C., Thibault, J. and Seaman, A.A.**
1984: Quaternary geology of New Brunswick; Geological Survey of Canada, Memoir 416, 77 p.
- Ruitenbergh, A.A., Fyffe, L.R., McCutcheon, S.R., ST-Peter, C.T., Irrinki, R.R. and Venugopal, D.V.**
1977: Evolution of pre-Carboniferous tectonostratigraphic zones in the New Brunswick Appalachians; Geoscience Canada, v. 4, p. 171-181.
- Shaw, E.W.**
1938: Geology of Sevogle River area, New Brunswick. Geological Survey of Canada, Map 382A.
- Whalen, J.B.**
1988: Geology of a northern portion of the central plutonic belt, New Brunswick. Geological Survey of Canada, Open File 1908, 1 map (1:50 000).
- Williams, H.**
1979: Appalachian Orogen in Canada. Canadian Journal of Earth Sciences, v.16, p. 792-807.

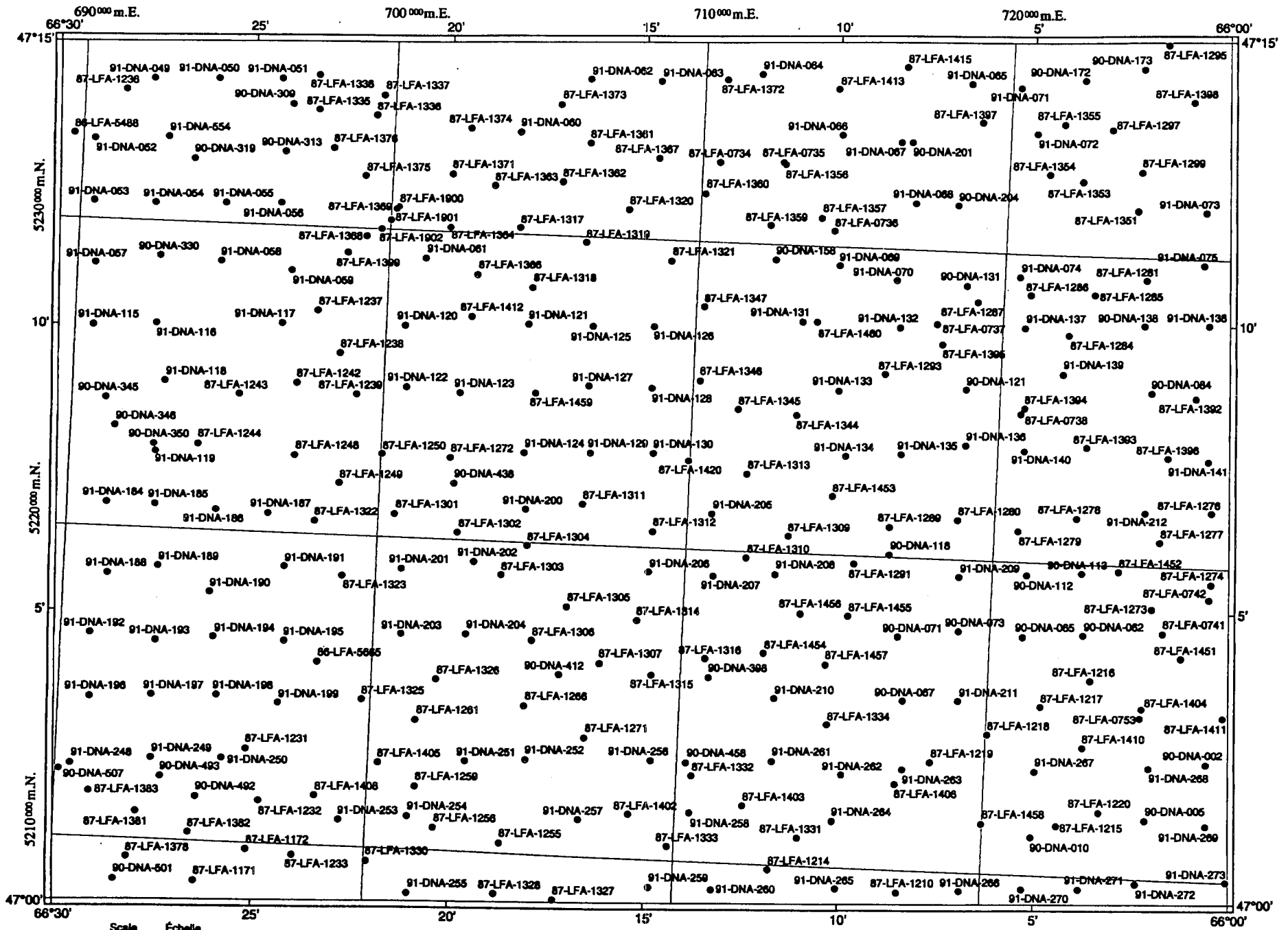
REPRODUCE THIS SHEET AS A TRANSPARENCY



ANNEXE 8: GRILLE UTM
APPENDIX 8: UTM GRID

BIG BALD MOUNTAIN
21-0/1

REPRODUCE THIS SHEET AS A TRANSPARENCY



ANNEXE 7: LOCALISATIONS DES ÉCHANTILLONS
 APPENDIX 7: SAMPLE LOCATIONS

ANNEXE 1A

APPENDIX 1A

Analyse géochimique du till, Fraction < 63 µm (silt et argile); Analyse par activation neutronique instrumentale.

Geochemical analyses of till, < 63 µm fraction (silt and clay); Analyses by instrumental neutron activation.

PARTIE A

PART A

Analyse géochimique du till, fraction <63 µm (silt et argile)
 Till geochemical analysis, <63 µm fraction (silt and clay)

Big Bald Mountain 21-O/ 1

Méthode analytique: AANI
 Analytical method: INAA

			Terres rares / Rare Earth																	
Élément		Element	Ag	As	Au	Mo	Sb	W	Ce	Eu	Ho	La	Lu	Nd	Sm	Tb	Th	U	Yb	
Unité de mesure		measure unit	ppm	ppm	ppb	ppm	ppm	ppm	ppm	ppm	ppm	ppm	ppm	ppm	ppm	ppm	ppm	ppm	ppm	
Seuil de détection		detection limit	2	0.5	2	1	0.1	1	2	0.2	0.5	2	0.1	5	0.1	0.2	0.2	0.5	0.2	
Échantillons		UTM (E)	UTM (N)																	
Samples																				
86-LFA-5488	1	689700	5232750	<2	31	4	<1	1.6	2	173.5	2.0	3.7	84.1	1.20	82.7	17.4	2.7	19.8	6.2	8.1
86-LFA-5665	1	698250	5215900	<2	7	<2	<1	0.4	3	129.8	1.6	1.7	61.5	0.87	53.4	9.4	1.7	29.6	7.3	5.2
87-LFA-0734	1	710550	5232600	<2	113	5	<1	2.1	4	99.0	1.3	1.5	35.0	0.63	33.7	6.8	1.1	15.5	5.2	4.1
87-LFA-0735	2	712650	5232700	<2	27	2	<1	1.1	3	109.4	1.7	1.7	57.3	0.74	49.8	10.5	2.1	12.3	4.6	4.8
87-LFA-0736	1	714400	5230500	<2	60	21	<1	1.4	3	137.9	1.5	1.9	46.1	0.93	44.4	9.6	1.8	18.3	4.9	6.4
87-LFA-0737	1	717850	5227600	<2	68	4	<1	1.4	3	126.8	1.8	2.2	52.9	0.88	49.8	10.2	1.4	18.8	5.8	5.8
87-LFA-0738	2	720700	5224800	<2	67	<2	4	1.8	5	110.4	1.8	1.9	54.9	0.84	48.0	9.4	1.3	24.2	7.5	5.3
87-LFA-0741	1	725600	5217900	3	6	3	<1	0.4	2	133.5	1.6	2.1	63.4	0.87	51.2	9.7	1.5	23.6	6.7	5.7
87-LFA-0742	1	727060	5219025	<2	21	3	<1	0.8	3	144.9	2.0	2.8	69.8	0.90	66.1	11.9	1.7	20.7	6.3	5.7
87-LFA-0753	1	725000	5215200	<2	17	25	<1	1.0	3	92.1	1.4	1.9	44.4	0.74	39.0	7.8	1.3	19.0	4.9	4.8
87-LFA-0753	2	725000	5215200	<2	24	29	<1	1.1	4	131.5	2.0	2.8	74.1	0.87	62.9	12.3	1.7	20.1	5.6	5.9
87-LFA-0753	3	725000	5215200	<2	26	39	<1	1.0	4	131.9	2.1	2.0	63.9	0.78	55.5	10.5	1.5	21.3	5.6	5.2
87-LFA-0753	4	725000	5215200	<2	21	13	<1	1.0	4	101.0	2.0	2.2	58.0	0.80	52.0	10.0	1.5	19.3	6.3	5.1
87-LFA-0753	5	725000	5215200	<2	22	12	<1	1.0	4	106.4	1.8	2.0	56.9	0.79	51.8	9.9	1.5	19.5	5.8	5.0
87-LFA-0753	6	725000	5215200	<2	22	13	<1	1.2	5	122.6	2.1	2.1	58.1	0.82	53.8	10.2	1.5	19.6	5.8	5.3
87-LFA-1171	1	694550	5208750	<2	5	<2	<1	0.5	3	100.1	1.3	1.8	41.4	0.76	35.0	7.0	1.3	17.6	5.0	4.9
87-LFA-1172	1	696200	5209800	<2	5	2	<1	0.5	3	103.5	1.1	1.5	46.8	0.76	40.9	7.7	1.2	21.8	5.6	4.9
87-LFA-1210	1	717300	5209300	<2	8	2	<1	0.5	3	93.7	1.3	1.5	43.9	0.75	36.6	7.4	1.3	20.5	5.4	4.9
87-LFA-1214	1	713100	5209850	<2	3	3	<1	0.4	3	138.8	1.1	2.5	55.3	0.97	47.4	9.1	1.7	33.5	9.2	6.4
87-LFA-1215	1	722400	5211600	<2	11	<2	<1	0.7	3	145.0	2.4	2.8	97.4	1.00	76.3	14.1	2.3	20.2	6.0	7.1
87-LFA-1216	1	723350	5216300	<2	13	15	<1	0.6	3	188.1	2.0	2.3	74.3	0.81	65.3	11.2	1.6	24.4	6.8	5.5
87-LFA-1217	1	721750	5215400	<2	7	<2	<1	0.4	3	131.5	1.6	1.5	47.5	0.73	41.4	7.7	1.2	20.7	5.7	4.9
87-LFA-1218	1	720050	5214450	<2	13	<2	<1	0.4	3	158.0	3.1	3.7	120.9	1.20	102.6	18.3	2.5	22.7	6.2	8.1
87-LFA-1219	1	718250	5213500	<2	10	2	<1	0.5	3	134.6	1.6	2.0	59.6	0.80	51.4	9.4	1.5	23.0	6.5	5.2
87-LFA-1220	1	723800	5212100	<2	12	3	<1	0.7	3	108.2	1.3	1.6	42.5	0.71	38.1	7.2	1.1	19.9	4.9	4.7
87-LFA-1231	1	696050	5213050	<2	7	<2	<1	0.2	3	139.0	1.8	2.4	68.1	0.97	57.8	10.4	1.6	25.5	7.1	6.2
87-LFA-1232	1	696550	5211350	<2	10	<2	<1	0.4	3	128.5	1.5	2.0	49.7	0.75	43.0	7.5	1.3	27.9	7.4	5.0
87-LFA-1233	1	697700	5209700	<2	7	<2	<1	0.5	2	96.7	1.2	2.1	47.3	0.73	40.2	7.3	1.2	24.4	6.4	5.0
87-LFA-1236	1	691300	5234250	<2	36	5	3	3.5	3	128.3	1.5	1.2	45.0	0.65	42.9	8.2	1.2	13.9	5.0	4.5

Analyse géochimique du till, fraction <63 µm (silt et argile)
Till geochemical analysis, <63 µm fraction (silt and clay)

Big Bald Mountain 21-O/ 1

Méthode analytique: AANI
Analytical method: INAA

			Terres rares / Rare Earth																	
Élément	Element	Ag	As	Au	Mo	Sb	W	Ce	Eu	Ho	La	Lu	Nd	Sm	Tb	Th	U	Yb		
Unité de mesure	measure unit	ppm	ppm	ppb	ppm	ppm	ppm	ppm	ppm	ppm	ppm	ppm	ppm	ppm	ppm	ppm	ppm	ppm		
Seuil de détection	detection limit	2	0.5	2	1	0.1	1	2	0.2	0.5	2	0.1	5	0.1	0.2	0.2	0.5	0.2		
Échantillons	UTM (E)	UTM (N)																		
Samples																				
87-LFA-1237	1	697800	5227250	<2	24	4	<1	1.1	2	145.2	1.5	1.5	59.9	0.68	48.1	8.7	1.3	23.9	5.7	4.5
87-LFA-1238	1	698550	5225900	<2	51	4	2	2.0	3	145.3	1.4	1.3	51.7	0.62	44.0	8.4	1.0	17.1	9.2	4.1
87-LFA-1239	1	699150	5224600	<2	27	3	2	0.7	2	109.4	1.5	1.5	48.6	0.70	41.5	8.1	0.9	19.3	5.8	4.4
87-LFA-1242	1	697200	5224900	<2	13	3	<1	0.4	2	154.2	1.7	1.7	58.8	0.80	44.7	9.2	1.3	20.7	5.1	5.2
87-LFA-1243	1	695350	5224450	<2	13	2	<1	0.5	2	128.8	1.6	1.7	50.4	0.76	43.4	8.0	1.3	23.2	5.3	5.1
87-LFA-1244	1	694100	5222850	2	22	<2	<1	0.3	3	169.6	1.7	1.8	73.0	0.77	62.3	10.6	1.6	29.5	8.2	5.2
87-LFA-1248	1	697250	5222600	<2	45	2	1	0.4	2	112.6	2.0	1.8	60.7	0.76	52.0	10.1	1.3	18.4	5.2	4.7
87-LFA-1249	1	698700	5221700	<2	45	6	6	1.2	4	170.8	2.7	2.7	86.5	0.92	75.3	13.8	1.6	27.0	7.8	6.1
87-LFA-1250	1	700050	5222700	<2	30	6	4	2.0	3	159.6	2.3	2.1	78.0	0.91	63.6	11.6	1.7	25.3	6.2	5.8
87-LFA-1255	1	704350	5210350	<2	7	<2	<1	0.3	3	164.2	1.9	2.4	91.4	0.92	72.4	12.7	1.8	25.0	7.6	5.8
87-LFA-1256	1	702200	5210750	<2	3	<2	<1	0.3	3	158.6	1.9	2.9	82.1	1.00	70.0	13.9	2.1	31.0	9.4	6.7
87-LFA-1259	1	701550	5212050	<2	7	3	<1	0.3	4	160.0	1.8	2.5	70.6	0.92	62.6	11.2	1.5	23.3	6.9	5.7
87-LFA-1261	1	701500	5214200	3	10	3	<1	0.3	7	222.8	3.1	4.3	151.0	1.40	115.5	20.5	3.0	28.4	8.5	9.1
87-LFA-1266	1	705000	5214800	<2	9	3	<1	0.4	3	127.0	1.5	2.1	58.8	0.86	51.6	9.7	1.5	25.3	6.3	5.4
87-LFA-1271	1	707000	5213850	<2	10	<2	<1	0.5	4	179.6	2.0	2.8	96.4	0.93	76.9	13.0	1.8	26.5	7.1	5.8
87-LFA-1272	1	702250	5222700	<2	15	4	<1	0.5	2	174.1	1.7	3.1	82.2	1.20	70.2	12.5	1.8	37.9	11.8	7.3
87-LFA-1273	1	725250	5218650	<2	10	3	<1	0.5	3	110.0	1.6	1.8	55.3	0.79	47.2	8.7	1.5	24.7	6.2	4.9
87-LFA-1274	1	727100	5219500	<2	6	<2	<1	0.4	4	254.1	1.8	2.8	111.4	0.99	83.7	15.1	1.7	35.8	11.4	6.2
87-LFA-1276	1	727050	5221800	<2	13	3	<1	0.5	4	211.7	1.5	2.3	64.5	0.77	49.0	9.4	1.4	21.9	5.9	4.9
87-LFA-1277	1	725400	5220800	<2	12	<2	<1	0.6	3	130.9	1.2	2.2	47.9	0.77	40.6	8.3	1.3	21.0	6.0	4.8
87-LFA-1278	1	722650	5221500	<2	14	<2	<1	0.6	4	132.2	1.4	2.5	62.1	0.85	52.1	10.2	1.4	19.9	5.0	5.2
87-LFA-1279	1	720800	5221000	<2	24	4	<1	1.0	3	166.0	2.0	2.0	77.8	0.89	66.4	13.0	1.6	21.6	6.1	5.7
87-LFA-1280	1	718800	5221300	<2	35	4	<1	2.0	3	156.0	2.4	2.7	82.0	0.95	74.3	14.8	1.8	22.7	6.4	5.9
87-LFA-1281	1	724600	5229250	<2	47	2	<1	0.9	6	157.3	2.5	2.8	72.4	1.00	66.5	13.2	1.8	21.4	6.6	6.5
87-LFA-1284	1	722200	5227400	<2	43	<2	<1	0.8	4	143.6	1.9	2.2	60.8	0.95	52.4	10.9	1.3	22.5	6.4	5.8
87-LFA-1285	1	722950	5228750	<2	36	3	<1	1.6	2	141.4	1.9	2.0	55.7	0.84	49.2	9.8	1.4	18.4	6.1	5.3
87-LFA-1286	1	720900	5228650	<2	48	4	<1	0.9	4	147.8	2.1	2.3	65.4	0.95	53.7	11.0	1.7	21.9	6.5	5.9
87-LFA-1287	1	719150	5228350	<2	102	4	3	1.2	7	152.7	1.9	2.2	69.6	0.91	60.7	11.8	1.6	24.3	6.4	5.7
87-LFA-1289	1	716600	5221000	<2	33	<2	<1	1.0	4	107.2	1.9	1.5	49.4	0.79	44.0	8.5	1.5	19.8	5.1	5.1

Analyse géochimique du till, fraction <63 µm (silt et argile)
 Till geochemical analysis, <63 µm fraction (silt and clay)

Big Bald Mountain 21-O/1

Méthode analytique: AANI
 Analytical method: INAA

Élément			Terres rares / Rare Earth																	
Element			Ag	As	Au	Mo	Sb	W	Ce	Eu	Ho	La	Lu	Nd	Sm	Tb	Th	U	Yb	
Unité de mesure			ppm	ppm	ppb	ppm	ppm	ppm	ppm	ppm	ppm	ppm	ppm	ppm	ppm	ppm	ppm	ppm	ppm	
Seuil de détection			2	0.5	2	1	0.1	1	2	0.2	0.5	2	0.1	5	0.1	0.2	0.2	0.5	0.2	
Échantillons		UTM (E)	UTM (N)																	
Samples																				
87-LFA-1291	1	715500	5219750	<2	59	<2	<1	1.5	4	155.3	2.0	2.7	62.5	0.89	54.3	10.8	1.7	23.2	7.0	5.6
87-LFA-1293	1	716250	5225900	<2	53	4	<1	1.5	4	181.0	2.4	2.6	80.0	1.00	72.5	14.3	1.9	21.8	6.8	6.4
87-LFA-1295	1	725000	5236950	<2	26	4	<1	1.0	3	98.7	1.8	2.0	49.9	0.80	47.7	10.2	1.6	13.4	3.4	5.1
87-LFA-1297	1	723300	5234100	<2	15	<2	<1	1.3	3	98.5	1.7	2.3	42.3	0.75	44.2	9.2	1.5	11.4	3.7	4.7
87-LFA-1299	1	724300	5232800	<2	28	3	<1	1.2	4	96.1	1.3	2.2	42.5	0.68	40.2	8.4	1.4	12.3	3.9	4.4
87-LFA-1301	1	700550	5220800	<2	35	5	<1	0.6	3	140.6	1.9	2.2	65.4	0.80	56.1	10.4	1.5	19.3	4.8	4.8
87-LFA-1302	1	702600	5220250	<2	47	3	2	1.6	4	141.6	1.9	2.0	64.9	0.88	56.8	10.9	1.5	22.1	6.9	5.4
87-LFA-1303	1	704050	5218900	<2	42	2	<1	1.0	3	141.5	2.4	2.6	70.9	0.94	65.5	12.9	2.0	20.9	5.9	6.0
87-LFA-1304	1	704850	5219900	<2	35	<2	<1	2.2	4	193.5	1.9	3.3	87.7	1.00	71.2	13.7	1.9	28.4	9.8	6.5
87-LFA-1305	1	706250	5218000	<2	30	3	<1	1.2	4	141.9	1.5	2.0	59.2	0.87	51.5	10.4	1.4	22.7	6.6	5.4
87-LFA-1306	1	705150	5216850	3	16	3	<1	0.7	4	165.6	1.6	2.5	68.1	0.90	55.7	10.9	1.3	30.3	8.0	5.4
87-LFA-1307	1	707350	5216250	<2	13	3	<1	0.4	4	162.8	1.6	1.9	54.4	0.83	45.8	9.3	1.4	19.7	6.4	5.0
87-LFA-1309	1	713300	5220550	<2	72	<2	<1	1.6	5	145.2	2.0	2.5	72.7	0.99	64.4	12.3	1.6	25.8	6.2	6.1
87-LFA-1310	1	712000	5219800	<2	22	<2	1	1.9	4	102.2	1.4	1.7	50.0	0.79	42.3	8.5	1.2	21.2	5.5	4.7
87-LFA-1311	1	706600	5221350	<2	21	<2	3	1.4	2	162.5	2.0	1.9	81.0	0.88	70.6	13.7	1.9	26.2	5.7	5.6
87-LFA-1312	1	708900	5220550	<2	71	7	<1	2.4	3	341.6	4.8	5.4	217.4	1.60	205.8	39.4	5.0	41.9	13.4	10.9
87-LFA-1313	1	711900	5222550	<2	22	<2	<1	1.7	3	132.3	1.9	2.7	68.2	0.89	59.7	12.0	1.8	20.5	6.2	5.7
87-LFA-1314	1	708500	5217650	<2	22	<2	<1	1.0	5	149.8	2.1	2.2	68.0	0.96	62.4	12.0	1.8	21.7	6.8	5.9
87-LFA-1315	1	709050	5215950	<2	24	6	1	1.2	4	157.1	2.0	2.8	71.4	0.97	60.9	12.4	1.8	23.0	7.1	6.1
87-LFA-1316	1	710750	5216500	<2	34	<2	1	1.0	4	118.0	1.5	1.4	61.0	0.80	48.1	9.0	1.2	26.2	5.7	4.9
87-LFA-1317	1	704200	5230200	<2	34	6	<1	3.0	3	85.6	1.1	1.8	41.5	0.83	40.4	8.3	1.3	17.5	7.7	5.1
87-LFA-1318	1	704700	5228300	<2	14	<2	1	1.5	4	100.3	1.3	1.5	42.5	0.62	36.5	6.9	0.8	15.9	6.2	3.8
87-LFA-1319	1	706350	5229800	<2	24	<2	2	1.7	3	111.3	1.7	1.9	49.7	0.73	46.2	9.6	1.6	14.4	5.9	4.7
87-LFA-1320	1	707700	5230950	3	17	<2	<1	1.9	2	91.0	2.0	2.6	41.2	0.79	42.2	9.2	1.4	14.4	4.6	5.1
87-LFA-1321	1	709150	5229350	<2	38	<2	<1	1.7	3	157.8	1.9	2.0	51.9	0.87	49.0	11.0	1.6	17.2	5.1	5.7
87-LFA-1322	1	697950	5220450	3	6	3	<1	0.3	4	147.3	2.1	2.3	60.1	0.98	55.9	11.6	1.7	19.1	5.9	6.3
87-LFA-1323	1	698950	5218700	<2	18	<2	<1	0.4	3	94.4	1.5	2.3	49.4	0.77	37.4	7.3	1.2	22.2	5.9	4.5
87-LFA-1325	1	699700	5214750	<2	7	<2	<1	0.3	2	101.6	1.3	1.6	49.5	0.82	37.9	8.3	1.3	20.9	5.4	4.8
87-LFA-1326	1	702100	5215500	<2	6	<2	<1	0.4	3	162.8	1.7	2.5	80.2	0.88	61.6	11.7	1.6	23.7	6.6	5.2

Analyse géochimique du till, fraction <63 µm (silt et argile)
 Till geochemical analysis, <63 µm fraction (silt and clay)

Big Bald Mountain 21-O/1

Méthode analytique: AANI
 Analytical method: INAA

Élément			Terres rares / Rare Earth																	
Élément	Element	Ag	As	Au	Mo	Sb	W	Ce	Eu	Ho	La	Lu	Nd	Sm	Tb	Th	U	Yb		
Unité de mesure	measure unit	ppm	ppm	ppb	ppm	ppm	ppm	ppm	ppm	ppm	ppm	ppm	ppm	ppm	ppm	ppm	ppm	ppm		
Seuil de détection	detection limit	2	0.5	2	1	0.1	1	2	0.2	0.5	2	0.1	5	0.1	0.2	0.2	0.5	0.2		
Échantillons	UTM (E)	UTM (N)																		
Samples																				
87-LFA-1327	1	706150	5208600	<2	4	2	<1	0.3	2	82.7	1.5	2.0	40.3	0.85	33.2	7.7	1.1	18.1	5.1	4.9
87-LFA-1328	1	704250	5208700	<2	12	<2	<1	0.4	3	119.0	1.4	1.6	44.2	0.71	36.2	7.6	1.1	18.6	4.8	4.2
87-LFA-1330	1	700050	5209600	<2	7	<2	<1	0.7	4	110.1	1.4	1.9	48.2	0.78	36.8	8.0	1.3	23.0	6.4	4.6
87-LFA-1331	1	714000	5210900	4	7	<2	<1	0.3	2	77.2	1.0	1.8	40.2	0.80	31.9	7.0	1.2	21.2	5.1	5.1
87-LFA-1332	1	710500	5212750	<2	11	5	<1	0.5	4	140.4	1.7	2.2	88.1	1.00	67.5	13.4	1.7	20.4	5.5	6.6
87-LFA-1333	1	709800	5210450	<2	7	<2	<1	0.4	3	74.6	1.2	2.4	36.9	0.71	30.3	5.7	1.1	20.8	5.4	4.6
87-LFA-1334	1	714850	5214550	<2	16	<2	<1	0.4	4	116.0	1.3	2.1	50.0	0.81	39.9	8.0	1.1	23.3	6.3	5.1
87-LFA-1335	1	697550	5233800	<2	4	<2	<1	0.4	2	132.8	1.2	2.6	55.0	1.10	50.8	10.6	1.8	31.4	10.4	7.0
87-LFA-1336	1	699400	5233700	<2	5	3	<1	0.8	2	116.7	0.8	2.8	51.7	1.20	44.2	9.2	1.8	39.5	14.3	7.6
87-LFA-1337	1	699650	5234400	<2	4	<2	<1	0.5	3	117.7	1.0	3.0	49.5	1.00	42.8	9.5	1.7	32.3	17.0	6.9
87-LFA-1338	1	697500	5234950	<2	6	<2	1	0.5	3	85.8	2.3	2.0	37.5	0.66	37.9	8.3	1.2	11.2	4.7	4.4
87-LFA-1344	1	713400	5224500	<2	23	2	2	3.9	4	163.4	2.1	2.8	54.7	1.10	55.5	12.0	2.1	20.0	5.3	7.3
87-LFA-1345	1	711500	5224600	<2	84	4	1	2.3	7	246.9	3.3	4.7	109.5	1.50	90.5	18.3	3.0	23.0	5.7	10.1
87-LFA-1346	1	710200	5225500	<2	31	<2	2	1.8	3	157.9	2.5	3.4	73.5	1.00	75.2	15.1	2.2	19.1	5.6	6.9
87-LFA-1347	1	710250	5227850	<2	22	3	<1	1.6	3	132.6	2.2	2.1	62.8	0.95	63.9	12.9	1.8	16.1	5.0	6.2
87-LFA-1351	1	724250	5231500	<2	6	<2	<1	0.6	4	154.9	1.9	2.3	70.3	0.85	61.1	13.0	2.0	19.0	5.0	5.5
87-LFA-1353	1	722400	5232400	<2	55	4	<1	1.4	4	123.3	2.0	2.4	70.3	0.91	60.4	12.4	1.9	15.5	4.4	6.2
87-LFA-1354	1	721350	5232600	<2	32	<2	<1	0.9	5	95.1	1.4	1.7	37.9	0.66	35.8	7.6	1.1	14.2	4.0	4.4
87-LFA-1355	1	721750	5234250	<2	29	<2	<1	0.9	3	87.5	1.2	1.5	34.6	0.60	32.4	7.0	1.0	12.9	4.4	4.0
87-LFA-1356	1	712700	5232600	<2	26	<2	<1	1.4	3	97.1	2.0	2.0	45.9	0.77	46.0	9.7	1.4	15.1	4.5	5.1
87-LFA-1357	1	714000	5230950	<2	10	<2	<1	1.1	4	111.6	1.7	2.2	47.5	0.84	43.8	9.4	1.4	16.0	5.0	5.7
87-LFA-1359	1	712300	5230600	<2	37	<2	84	0.7	3	80.2	1.5	1.7	33.9	0.68	30.9	7.0	1.3	13.4	4.9	4.5
87-LFA-1360	1	710150	5231600	<2	12	<2	<1	0.8	2	74.5	1.5	1.7	33.4	0.58	32.2	7.1	1.2	10.7	3.3	3.9
87-LFA-1361	1	706350	5233050	<2	18	<2	<1	0.6	3	91.1	1.1	2.0	38.7	0.66	36.3	7.4	1.0	16.6	5.2	4.5
87-LFA-1362	1	705500	5231750	<2	8	<2	<1	0.9	1	112.6	2.0	2.2	44.3	0.88	44.5	9.6	1.6	17.8	7.8	5.8
87-LFA-1363	1	703300	5231550	<2	8	<2	<1	1.4	3	115.4	1.9	2.2	49.2	0.93	45.4	9.8	1.7	20.9	7.2	6.2
87-LFA-1364	1	701950	5230150	<2	28	<2	<1	3.7	2	105.0	2.0	2.5	46.6	0.87	46.2	9.6	1.5	16.3	5.5	5.9
87-LFA-1366	1	702900	5228655	<2	28	3	1	2.0	3	94.9	2.0	2.0	40.9	0.66	41.3	8.6	1.2	13.5	5.3	4.3
87-LFA-1367	1	708600	5232650	<2	24	<2	<1	0.7	3	117.2	1.4	1.8	37.5	0.65	35.0	7.2	1.3	14.2	4.4	4.3

Analyse géochimique du till, fraction <63 µm (silt et argile)

Big Bald Mountain 21-O/1

Méthode analytique: AANI

Till geochemical analysis, <63 µm fraction (silt and clay)

Analytical method: INAA

			Terres rares / Rare Earth																	
Élément	Element	Ag	As	Au	Mo	Sb	W	Ce	Eu	Ho	La	Lu	Nd	Sm	Tb	Th	U	Yb		
Unité de mesure	measure unit	ppm	ppm	ppb	ppm	ppm	ppm	ppm	ppm	ppm	ppm	ppm	ppm	ppm	ppm	ppm	ppm	ppm		
Seuil de détection	detection limit	2	0.5	2	1	0.1	1	2	0.2	0.5	2	0.1	5	0.1	0.2	0.2	0.5	0.2		
Échantillons	UTM (E)	UTM (N)																		
Samples																				
87-LFA-1368	1	699250	5229750	<2	23	3	<1	1.2	2	290.1	2.2	4.2	125.9	1.50	101.1	18.0	2.9	42.3	9.8	10.1
87-LFA-1369	1	700150	5230700	<2	17	4	<1	1.6	2	103.1	1.3	1.9	41.8	0.79	37.6	7.4	1.3	19.1	5.8	5.0
87-LFA-1371	1	701900	5231900	<2	8	<2	<1	1.8	3	129.6	1.4	2.4	47.5	0.98	43.3	8.7	1.4	25.1	8.1	6.4
87-LFA-1372	1	710700	5235300	<2	10	9	<1	0.8	4	128.2	1.6	1.8	46.2	0.67	42.1	8.4	1.2	15.3	4.7	4.4
87-LFA-1373	1	705400	5234300	<2	8	<2	<1	0.4	1	88.0	1.2	1.4	38.8	0.72	30.1	6.9	1.0	21.4	4.7	4.5
87-LFA-1374	1	702455	5233400	<2	6	<2	<1	1.0	2	112.2	1.4	2.3	47.8	1.10	38.3	9.5	1.7	29.2	9.2	7.1
87-LFA-1375	1	699150	5231700	<2	29	3	<1	4.4	5	120.1	1.2	2.3	60.3	1.00	40.4	9.7	1.7	34.3	15.9	6.5
87-LFA-1376	1	698055	5232600	3	6	6	<1	0.6	3	141.5	1.2	2.4	55.5	1.10	45.0	10.1	1.7	36.2	18.7	6.7
87-LFA-1378	1	692350	5209400	<2	6	5	<1	0.5	3	112.6	1.3	1.9	49.8	0.86	35.6	8.2	1.4	24.6	6.2	5.4
87-LFA-1381	1	692600	5210850	2	5	6	<1	0.3	2	137.7	1.9	1.5	54.7	0.68	42.9	9.0	1.3	18.0	4.2	4.2
87-LFA-1382	1	694300	5210250	<2	12	5	<1	0.3	3	131.7	1.4	1.7	41.3	0.67	35.8	7.4	1.0	21.8	4.7	4.0
87-LFA-1383	1	691100	5211500	<2	30	<2	<1	0.4	3	119.2	1.8	1.7	48.0	0.81	39.6	8.3	1.2	19.6	4.4	4.9
87-LFA-1392	1	726350	5225500	<2	20	3	<1	0.7	4	110.0	1.5	1.6	50.7	0.74	41.3	8.0	1.1	22.9	4.8	4.8
87-LFA-1393	1	722900	5223800	<2	30	3	2	1.5	4	128.6	1.7	1.8	58.2	0.79	46.8	9.6	1.4	21.2	6.3	4.9
87-LFA-1394	1	720800	5225000	<2	62	3	4	1.8	4	118.4	1.9	1.8	60.1	0.85	47.8	9.5	1.2	30.2	7.8	5.3
87-LFA-1395	1	718050	5226950	<2	56	<2	2	1.3	5	153.4	2.0	2.6	69.2	0.85	60.8	12.2	1.8	18.4	6.1	5.7
87-LFA-1396	1	725550	5223550	<2	17	<2	<1	0.5	3	122.3	1.6	1.9	46.0	0.74	38.6	7.8	1.1	19.2	5.2	4.8
87-LFA-1397	1	719050	5234200	<2	24	3	<1	0.6	3	99.1	1.0	1.2	30.6	0.59	27.3	6.0	1.0	13.0	3.7	3.6
87-LFA-1398	1	725900	5235100	<2	20	4	<1	0.8	3	68.7	1.3	1.7	31.1	0.58	30.7	6.4	1.1	10.2	3.0	3.7
87-LFA-1399	1	698650	5229200	<2	7	<2	<1	0.6	5	881.8	3.2	3.4	390.8	0.98	270.8	37.8	3.4	77.9	19.0	6.9
87-LFA-1402	1	708500	5211400	<2	6	<2	<1	0.3	4	106.1	1.4	1.9	56.1	0.75	45.8	8.5	1.3	23.7	6.1	4.6
87-LFA-1403	1	712200	5211850	<2	3	2	<1	0.3	4	129.5	1.3	2.5	63.9	1.00	51.1	9.8	1.7	36.2	9.9	6.6
87-LFA-1404	1	725050	5215450	<2	11	2	<1	0.6	4	116.5	1.3	1.9	48.6	0.68	41.4	7.6	1.0	22.6	6.0	4.3
87-LFA-1405	1	700300	5212750	<2	9	3	<1	0.3	3	104.3	1.5	1.7	46.8	0.76	40.0	7.6	1.2	19.5	5.2	4.8
87-LFA-1406	1	717100	5212750	<2	7	3	<1	0.4	3	128.7	1.3	1.9	58.0	0.73	46.3	9.2	1.4	25.8	6.7	4.9
87-LFA-1408	1	698350	5211600	<2	5	<2	<1	0.3	3	112.1	1.2	2.0	50.4	0.79	39.2	8.0	1.2	26.7	6.0	5.0
87-LFA-1410	1	723150	5214150	<2	16	7	2	0.9	4	105.6	1.5	1.9	55.1	0.79	47.7	9.5	1.3	22.8	5.5	5.1
87-LFA-1411	1	727650	5215250	<2	12	3	<1	0.8	3	79.9	1.2	1.4	40.0	0.64	32.4	6.4	1.0	14.2	4.9	4.1
87-LFA-1412	1	702750	5227250	<2	25	5	4	2.8	3	84.9	1.8	1.4	38.0	0.54	32.9	7.1	1.0	11.5	6.1	3.5

Analyse géochimique du till, fraction <63 µm (silt et argile)
 Till geochemical analysis, <63 µm fraction (silt and clay)

Big Bald Mountain 21-O/1

Méthode analytique: AANI
 Analytical method: INAA

Élément			Terres rares / Rare Earth																	
Unité de mesure			Ag	As	Au	Mo	Sb	W	Ce	Eu	Ho	La	Lu	Nd	Sm	Tb	Th	U	Yb	
Seuil de détection			2	0.5	2	1	0.1	1	2	0.2	0.5	2	0.1	5	0.1	0.2	0.2	0.5	0.2	
Échantillons		UTM (E)	UTM (N)																	
Samples																				
87-LFA-1413	1	714400	5235100	<2	9	3	<1	0.6	3	104.9	1.9	1.8	57.3	0.73	50.3	10.4	1.4	13.3	3.9	4.7
87-LFA-1415	1	716550	5235900	<2	14	3	<1	0.6	3	70.8	1.0	1.4	28.0	0.56	24.3	5.4	1.1	11.9	3.2	3.5
87-LFA-1420	1	709950	5222900	<2	27	5	5	0.9	5	270.8	3.1	3.2	77.6	1.20	78.7	15.7	2.2	19.9	4.6	7.4
87-LFA-1451	1	726250	5217100	<2	3	8	<1	0.5	4	128.2	1.7	2.7	81.4	1.00	65.6	12.7	2.1	28.6	7.6	6.8
87-LFA-1452	1	724100	5219800	<2	12	9	<1	0.6	3	132.6	1.4	1.8	46.9	0.76	41.2	8.1	1.2	19.5	5.3	4.9
87-LFA-1453	1	714700	5221900	<2	32	15	4	0.9	4	217.9	2.7	2.4	87.8	0.99	72.6	14.3	1.9	27.1	6.8	6.4
87-LFA-1454	1	712700	5216750	<2	36	6	<1	0.5	<1	202.3	1.7	1.7	96.8	0.96	74.9	13.1	1.8	38.4	8.4	3.9
87-LFA-1455	1	715400	5218050	<2	29	3	2	1.6	3	155.4	2.2	1.9	68.5	0.85	58.0	7.4	1.0	16.6	5.2	4.5
87-LFA-1456	1	713850	5218100	<2	38	3	2	0.7	1	117.7	1.6	2.1	52.6	0.78	44.9	9.6	1.6	17.8	7.8	5.8
87-LFA-1457	1	714700	5216500	<2	35	<2	1	0.8	3	134.5	1.7	1.8	51.1	0.84	44.4	9.8	1.7	20.9	7.2	6.2
87-LFA-1458	1	720000	5211600	<2	5	<2	<1	0.4	2	115.1	1.3	1.6	53.0	0.74	43.7	9.6	1.5	16.3	5.5	5.9
87-LFA-1459	1	704900	5224900	<2	8	<2	<1	0.5	3	76.5	1.3	1.8	29.4	0.54	27.5	8.6	1.2	13.5	5.3	4.3
87-LFA-1460	1	714000	5227500	<2	29	<2	2	1.5	3	214.5	2.1	2.6	61.7	1.00	60.4	7.2	1.3	14.2	4.4	4.3
87-LFA-1900	1	700250	5230750	<2	41	4	<1	4.0	2	87.2	1.1	1.7	35.0	0.74	30.4	18.0	2.9	42.3	9.8	10.1
87-LFA-1901	1	700000	5230300	<2	51	5	2	8.2	2	64.3	1.3	1.3	29.1	0.56	29.3	7.4	1.3	19.1	5.8	5.0
87-LFA-1902	1	699750	5230000	<2	35	5	1	2.3	2	55.7	1.0	1.0	24.3	0.46	24.4	5.1	0.9	11.3	3.4	3.1
90-DNA-002	a	727189	5213776	<2	18	21	<1	0.6	3	74.5	1.0	1.2	33.9	0.62	28.4	5.6	1.0	15.0	3.6	3.9
90-DNA-002	b	727189	5213776	<2	19	24	1	0.6	3	76.5	1.2	1.1	34.4	0.63	27.9	5.6	0.8	15.3	3.6	3.6
90-DNA-005		725296	5211908	<2	12	<2	<1	0.5	4	74.0	1.3	1.6	32.7	0.52	27.4	6.2	1.0	14.0	3.9	3.7
90-DNA-010	a	721573	5211205	<2	7	<2	<1	0.7	3	79.9	1.0	1.2	33.8	0.55	28.1	5.8	1.0	16.4	4.3	3.4
90-DNA-010	b	721573	5211205	<2	7	<2	<1	0.6	3	79.2	1.0	1.2	32.9	0.52	27.1	5.6	0.9	16.0	4.3	3.4
90-DNA-062		723062	5217724	<2	12	2	<1	0.5	4	167.4	2.0	2.3	92.4	0.86	65.0	12.7	1.7	19.2	5.1	5.7
90-DNA-065		721058	5217626	<2	5	<2	<1	0.4	6	158.1	1.8	2.3	71.4	1.10	55.1	11.1	1.7	33.0	9.4	6.8
90-DNA-067		717246	5215423	<2	7	<2	<1	0.4	3	59.4	0.9	1.2	34.0	0.58	24.8	5.2	0.8	12.7	5.2	3.6
90-DNA-071		716997	5217449	<2	7	<2	1	0.3	2	53.4	0.9	1.2	23.1	0.57	17.8	4.0	0.7	13.9	3.4	3.5
90-DNA-073		718961	5217706	<2	8	<2	<1	0.5	3	109.9	1.4	1.4	43.9	0.71	35.2	7.3	1.3	17.0	4.6	4.6
90-DNA-084		724896	5225628	<2	49	4	4	1.3	3	98.3	1.6	1.8	47.8	0.74	42.3	8.6	1.3	16.0	5.5	4.6
90-DNA-112		721138	5219606	<2	12	<2	<1	0.5	3	128.0	1.6	1.7	50.2	0.74	41.7	8.4	1.3	21.1	6.2	4.8
90-DNA-113		722900	5219694	<2	15	<2	5	0.3	3	63.2	1.0	1.8	30.0	0.65	26.7	5.4	0.9	13.2	5.1	4.1

Analyse géochimique du till, fraction <63 µm (silt et argile)

Big Bald Mountain 21-O/ 1

Méthode analytique: AANI

Till geochemical analysis, <63 µm fraction (silt and clay)

Analytical method: INAA

Élément			Terres rares / Rare Earth																
Unité de mesure			Ag	As	Au	Mo	Sb	W	Ce	Eu	Ho	La	Lu	Nd	Sm	Tb	Th	U	Yb
Seuil de détection			2	0.5	2	1	0.1	1	2	0.2	0.5	2	0.1	5	0.1	0.2	0.2	0.5	0.2
Échantillons	UTM (E)	UTM (N)																	
Samples																			
90-DNA-118	716655	5220091	<2	27	6	3	0.6	2	55.1	0.8	0.8	25.8	0.39	20.9	4.5	0.7	14.1	3.4	2.5
90-DNA-121	718884	5225516	<2	34	<2	2	1.3	4	94.4	1.5	2.1	45.7	0.72	40.5	8.2	1.1	14.7	4.7	4.7
90-DNA-131	718771	5228908	<2	106	<2	3	0.8	4	115.5	1.7	1.9	52.8	0.80	45.2	8.8	1.3	20.9	5.2	5.1
90-DNA-138	724592	5227748	<2	46	3	4	1.2	5	130.1	2.1	2.7	62.5	0.86	56.2	10.9	1.6	21.8	5.7	5.5
90-DNA-158	712521	5229515	<2	25	<2	1	0.9	2	66.6	1.0	1.3	28.7	0.59	27.9	5.9	0.9	14.5	4.0	3.6
90-DNA-172	722389	5235698	<2	16	<2	1	0.6	3	58.0	1.0	1.2	25.2	0.56	22.6	5.3	0.9	12.1	3.4	3.5
90-DNA-173	724280	5236144	<2	19	<2	<1	1.2	3	94.8	1.6	1.8	38.0	0.69	36.2	8.2	1.2	12.8	3.6	4.7
90-DNA-201	716806	5233495	<2	23	<2	<1	0.6	4	72.5	1.2	1.4	26.7	0.55	27.2	5.9	1.0	13.2	3.7	3.7
90-DNA-204	718377	5231490	<2	32	3	<1	1.3	3	104.6	1.4	2.1	40.5	0.68	39.3	8.4	1.3	15.3	4.7	4.6
90-DNA-309	696691	5233992	<2	4	<2	<1	0.7	2	183.7	1.4	2.8	68.6	1.20	54.6	11.6	2.0	42.4	14.7	7.7
90-DNA-313	a 696519	5232406	<2	26	6	<1	3.6	5	148.3	1.1	2.7	66.5	1.20	54.2	11.5	2.1	37.7	14.1	7.7
90-DNA-313	b 696519	5232406	<2	26	<2	<1	3.7	4	148.2	1.4	2.6	66.8	1.20	53.5	11.6	2.1	37.9	14.0	7.8
90-DNA-319	693595	5232084	<2	11	<2	2	4.6	14	133.5	2.6	2.3	62.7	0.83	60.2	12.2	1.7	7.6	2.4	5.6
90-DNA-330	692636	5228857	<2	9	2	<1	0.3	4	410.7	4.0	7.0	262.7	2.30	210.1	38.3	5.3	56.9	32.4	15.3
90-DNA-345	691097	5224214	<2	10	<2	1	0.3	2	76.2	1.0	0.8	33.0	0.46	22.2	3.6	0.6	11.5	4.0	2.7
90-DNA-346	691425	5223313	<2	2	<2	2	0.3	3	97.9	1.3	1.8	66.4	0.91	44.1	7.1	1.0	16.8	5.9	5.5
90-DNA-350	692660	5222773	<2	5	<2	<1	0.2	5	327.1	2.5	8.0	152.5	3.10	138.5	29.7	5.3	47.3	16.8	21.1
90-DNA-398	710897	5215945	<2	17	<2	<1	0.4	4	105.0	1.2	1.5	42.4	0.71	38.0	7.6	1.3	18.9	4.2	4.6
90-DNA-412	706092	5215813	<2	11	3	<1	0.3	3	73.4	1.2	1.7	35.1	0.67	29.0	6.2	1.0	17.0	4.3	4.2
90-DNA-438	702395	5221873	<2	18	6	<1	0.8	7	221.3	2.1	3.4	86.9	1.40	70.5	14.7	2.4	36.8	10.3	8.9
90-DNA-458	710322	5213193	<2	6	<2	<1	0.3	3	80.6	1.2	1.4	41.5	0.68	33.4	6.8	1.3	17.6	5.8	4.3
90-DNA-492	694514	5211443	<2	11	<2	<1	0.5	3	137.7	1.8	1.9	57.7	0.78	49.2	10.5	1.5	25.5	7.0	5.1
90-DNA-493	693342	5212045	<2	11	<2	<1	0.4	3	162.2	1.7	2.5	53.2	1.10	52.9	12.3	1.5	23.2	6.4	7.3
90-DNA-501	691979	5208713	<2	4	3	<1	0.5	3	97.8	0.9	1.6	44.5	0.75	35.5	7.6	1.2	20.5	5.4	4.7
90-DNA-507	690144	5212164	<2	3	6	<1	0.4	3	114.2	1.0	1.8	49.2	0.83	37.0	8.1	1.5	29.4	6.9	5.3
91-DNA-049	x 692239	5234648	<2	3	3	1	0.3	4	179.3	1.3	2.3	52.4	1.20	52.0	10.9	1.8	44.4	10.7	8.1
91-DNA-050	x 694284	5234744	2	4	<2	2	0.4	3	149.9	1.9	2.2	61.4	0.88	56.0	10.7	1.6	21.0	5.6	5.4
91-DNA-051	x 696353	5234801	<2	3	<2	<1	1.2	3	97.6	0.8	1.6	33.6	0.87	26.1	5.8	1.4	26.9	8.8	5.4
91-DNA-052	x 690383	5232604	<2	18	<2	2	1.4	2	94.2	1.2	1.2	42.2	0.68	38.5	7.7	1.2	17.1	4.7	4.4

Analyse géochimique du till, fraction <63 µm (silt et argile)
 Till geochemical analysis, <63 µm fraction (silt and clay)

Big Bald Mountain 21-O/ 1

Méthode analytique: AANI
 Analytical method: INAA

Élément			Terres rares / Rare Earth																	
Unité de mesure			Ag	As	Au	Mo	Sb	W	Ce	Eu	Ho	La	Lu	Nd	Sm	Tb	Th	U	Yb	
Seuil de détection			2	0.5	2	1	0.1	1	2	0.2	0.5	2	0.1	5	0.1	0.2	0.2	0.5	0.2	
Échantillons	UTM (E)	UTM (N)																		
Samples																				
91-DNA-053	x	690414	5230559	<2	19	9	7	1.0	2	76.3	1.0	1.0	38.2	0.55	31.6	5.9	0.9	20.7	4.8	3.4
91-DNA-054	x	692422	5230579	<2	19	5	3	1.1	3	114.3	1.3	1.3	49.1	0.66	40.8	7.9	1.4	19.6	5.5	4.4
91-DNA-055	x	694669	5230672	<2	12	<2	<1	0.9	3	124.8	1.2	2.1	43.1	0.93	38.6	7.5	1.3	26.3	6.2	5.9
91-DNA-056	x	696499	5230730	<2	13	<2	<1	0.7	2	134.9	1.2	2.2	53.8	1.10	48.4	9.7	2.0	40.7	9.7	7.2
91-DNA-057	x	690561	5228533	<2	6	4	<1	0.2	1	194.8	1.2	1.7	55.8	0.96	46.3	7.5	1.8	65.2	8.1	6.1
91-DNA-058	x	694598	5228751	<2	11	<2	2	0.4	2	259.9	1.4	2.3	77.4	1.20	61.7	10.0	1.9	62.9	10.6	7.7
91-DNA-059	x	696919	5228530	<2	7	3	<1	0.3	1	112.0	0.9	1.5	42.4	0.70	33.1	5.4	1.0	28.3	4.8	4.3
91-DNA-060	x	704073	5233344	<2	33	3	2	0.4	3	92.5	1.5	1.2	39.1	0.56	35.9	6.7	1.1	17.7	4.8	3.7
91-DNA-061	x	701211	5229121	<2	12	5	2	1.3	2	92.1	1.3	1.7	37.9	0.73	36.9	7.0	1.3	14.4	4.3	4.8
91-DNA-062	x	706309	5235113	<2	13	<2	<1	0.4	2	112.3	1.8	1.7	38.7	0.65	39.9	7.8	1.1	14.2	3.8	3.9
91-DNA-063	x	708596	5235147	<2	12	3	1	1.1	2	71.2	1.1	1.0	35.4	0.54	33.6	6.3	1.1	14.9	4.6	3.4
91-DNA-064	x	711855	5235513	<2	10	<2	2	0.5	1	164.7	1.4	2.3	34.9	0.59	34.4	7.1	1.1	13.0	3.8	4.0
91-DNA-065	x	718691	5235457	<2	12	<2	2	0.6	4	78.8	1.5	1.6	33.2	0.67	29.7	6.1	1.1	14.6	3.8	4.4
91-DNA-066	x	714522	5233624	<2	35	2	<1	0.6	4	110.9	1.5	1.5	31.5	0.66	29.3	6.7	1.4	14.7	5.4	4.3
91-DNA-067	x	716452	5233466	<2	18	<2	<1	0.6	3	157.5	1.0	1.5	30.1	0.59	26.8	6.0	1.0	12.9	3.9	3.8
91-DNA-068	x	717033	5231532	<2	44	<2	<1	1.3	3	77.8	1.3	1.5	30.6	0.61	28.4	6.4	1.2	13.4	4.3	4.0
91-DNA-069	x	714601	5229380	<2	22	5	<1	0.9	3	103.0	1.5	1.8	40.0	0.68	37.8	8.6	1.4	16.3	5.1	4.5
91-DNA-070	x	716494	5228960	<2	34	<2	1	1.2	2	142.7	2.2	2.1	48.0	0.77	48.2	11.3	1.8	15.4	7.2	5.3
91-DNA-071	x	720280	5235410	<2	14	<2	2	1.4	4	106.5	1.4	1.7	44.7	0.72	41.2	8.2	1.2	17.6	3.8	4.7
91-DNA-072	x	720883	5233906	<2	16	<2	<1	1.0	5	119.5	2.4	2.7	62.9	1.10	65.9	14.1	2.2	17.1	6.5	7.3
91-DNA-073	x	726429	5231532	<2	42	2	2	1.4	4	112.9	1.8	2.1	49.6	0.79	44.6	9.1	1.5	19.2	4.9	5.1
91-DNA-074	x	720521	5229253	<2	38	2	4	0.6	3	70.9	1.4	1.6	31.3	0.60	29.1	6.2	1.2	13.5	3.8	3.7
91-DNA-075	x	726476	5229819	<2	51	2	4	1.2	5	122.8	1.9	1.8	59.8	0.86	52.2	10.2	1.5	21.5	5.1	5.4
91-DNA-115	x	690607	5226541	<2	7	3	<1	0.1	2	158.3	1.6	1.6	87.3	0.68	67.8	10.8	1.5	49.1	6.6	4.4
91-DNA-116	x	692599	5226648	<2	16	<2	<1	0.4	3	169.1	1.0	2.6	65.0	1.10	53.6	8.7	1.6	47.6	9.4	6.6
91-DNA-117	x	696658	5226794	<2	168	<2	<1	0.5	2	216.4	2.2	1.5	65.3	0.66	65.8	11.1	1.4	32.1	4.7	4.5
91-DNA-118	x	692998	5224801	<2	9	<2	<1	0.3	<1	146.3	1.1	1.3	54.5	0.74	42.8	6.8	1.0	33.8	5.9	4.2
91-DNA-119	x	692734	5222557	<2	33	2	<1	0.3	3	128.4	1.2	2.9	56.9	1.00	52.4	9.6	1.5	23.1	7.5	6.6
91-DNA-120	x	700633	5226888	<2	25	<2	3	0.7	3	86.6	1.5	1.1	42.3	0.57	34.7	6.2	0.7	16.3	4.8	3.5

Analyse géochimique du till, fraction <63 µm (silt et argile)

Big Bald Mountain 21-O/1

Méthode analytique: AANI

Till geochemical analysis, <63 µm fraction (silt and clay)

Analytical method: INAA

Élément			Terres rares / Rare Earth																	
Element			Ag	As	Au	Mo	Sb	W	Ce	Eu	Ho	La	Lu	Nd	Sm	Tb	Th	U	Yb	
measure unit			ppm	ppm	ppb	ppm	ppm	ppm	ppm	ppm	ppm	ppm	ppm	ppm	ppm	ppm	ppm	ppm	ppm	
detection limit			2	0.5	2	1	0.1	1	2	0.2	0.5	2	0.1	5	0.1	0.2	0.2	0.5	0.2	
Échantillons		UTM (E)	UTM (N)																	
Samples																				
91-DNA-121	x	704594	5227073	<2	35	<2	3	1.4	4	134.6	1.5	1.9	50.6	0.83	49.8	10.6	1.6	19.3	6.2	5.5
91-DNA-122	x	700730	5224914	<2	13	<2	1	0.6	2	97.3	1.2	1.5	42.7	0.71	34.3	6.8	1.2	20.6	6.0	4.5
91-DNA-123	x	702450	5224794	<2	27	<2	4	0.6	3	92.1	1.4	1.3	44.1	0.63	35.9	6.7	1.0	19.4	5.5	3.8
91-DNA-124	x	704636	5222954	<2	19	<2	<1	0.7	2	174.8	1.4	2.0	45.9	0.89	41.5	8.8	1.5	16.4	6.3	5.7
91-DNA-125	x	706698	5227108	<2	62	11	2	1.5	2	104.0	1.4	1.8	47.2	0.74	41.2	8.5	1.4	21.2	8.6	4.6
91-DNA-126	x	708644	5227162	<2	16	<2	3	0.7	3	179.1	2.0	3.7	72.0	1.20	67.9	15.2	2.6	26.8	6.4	8.1
91-DNA-127	x	706654	5225152	<2	5	5	<1	0.4	3	76.8	1.4	1.8	39.6	0.63	37.0	7.9	1.3	28.0	7.7	4.2
91-DNA-128	x	708670	5225190	<2	32	2	1	1.2	3	122.9	1.5	2.0	42.8	0.82	42.4	9.1	1.5	18.4	6.4	5.4
91-DNA-129	x	706774	5223044	<2	36	3	2	0.6	5	170.5	2.2	2.4	77.3	0.88	69.7	12.9	1.6	24.9	5.6	5.9
91-DNA-130	x	708796	5223107	<2	56	5	16	1.8	6	440.1	8.6	11.0	234.2	2.70	275.0	59.8	9.1	64.5	11.6	20.2
91-DNA-131	x	713504	5227520	<2	53	<2	<1	1.1	3	192.1	1.9	2.6	54.5	0.99	53.1	10.9	1.7	17.1	5.3	6.3
91-DNA-132	x	716654	5227453	<2	41	3	2	1.0	3	104.0	1.6	1.3	41.8	0.70	37.6	8.0	1.3	15.5	5.9	4.4
91-DNA-133	x	714771	5225361	<2	29	4	1	1.0	2	163.4	3.1	3.3	58.9	1.30	68.0	15.4	2.4	19.8	7.2	8.5
91-DNA-134	x	715059	5223246	<2	17	<2	<1	1.2	3	102.1	1.7	1.5	39.0	0.69	39.0	7.8	1.2	15.7	3.9	4.6
91-DNA-135	x	716885	5223377	<2	29	3	2	1.6	3	125.3	1.7	2.1	58.6	0.82	51.0	10.2	1.4	22.1	8.3	5.2
91-DNA-136	x	718953	5223752	<2	35	2	2	1.6	3	96.1	1.7	2.0	47.1	0.89	47.0	9.8	1.7	17.0	5.4	5.4
91-DNA-137	x	720750	5227597	<2	42	9	2	0.5	2	104.8	1.4	1.3	41.0	0.63	41.6	8.8	1.3	23.8	6.5	4.0
91-DNA-138	x	726718	5227831	<2	66	<2	4	0.8	1	58.7	1.0	1.0	29.1	0.43	24.1	4.8	0.8	12.7	3.4	2.5
91-DNA-139	x	722032	5226153	<2	29	3	2	1.1	3	94.3	1.7	1.8	45.8	0.73	41.5	8.0	1.3	16.5	4.3	4.6
91-DNA-140	x	720874	5223661	<2	29	<2	<1	1.2	3	153.1	1.8	2.2	57.0	0.84	49.5	9.9	1.6	20.0	5.5	5.4
91-DNA-141	x	726868	5223502	<2	15	<2	1	0.6	2	61.7	1.3	1.3	32.2	0.60	29.6	5.6	0.9	16.4	3.9	3.8
91-DNA-184	x	691247	5220816	<2	59	<2	<1	0.4	9	313.0	1.9	2.2	98.6	0.87	80.6	11.8	1.6	44.0	9.4	5.8
91-DNA-185	x	692788	5220813	<2	6	2	<1	0.2	1	132.4	1.7	2.0	42.5	0.79	42.3	7.7	1.3	15.1	4.9	4.9
91-DNA-186	x	694787	5220680	<2	23	4	<1	0.3	2	97.7	1.2	1.3	43.3	0.65	37.9	6.7	1.1	19.4	6.5	4.2
91-DNA-187	x	696444	5220656	<2	16	3	<1	0.3	2	156.4	1.7	2.2	52.4	0.79	49.9	9.1	1.2	23.0	8.5	5.0
91-DNA-188	x	691406	5218493	<2	6	8	<1	0.2	4	100.3	1.4	1.6	32.5	0.73	31.3	5.7	0.9	17.6	4.9	4.5
91-DNA-189	x	693015	5218770	<2	8	2	<1	0.2	4	121.6	1.5	1.9	42.1	0.75	36.6	6.1	1.2	32.2	7.7	4.7
91-DNA-190	x	694708	5217981	<2	6	<2	<1	0.3	3	122.6	1.3	1.4	33.5	0.72	31.6	5.8	1.0	21.5	6.0	4.6
91-DNA-191	x	697070	5218895	<2	10	<2	<1	0.2	3	93.0	1.4	1.4	42.9	0.67	37.5	7.1	0.9	15.8	4.3	4.2

Analyse géochimique du till, fraction <63 µm (silt et argile)

Big Bald Mountain 21-O/1

Méthode analytique: AANI

Till geochemical analysis, <63 µm fraction (silt and clay)

Analytical method: INAA

Élément			Terres rares / Rare Earth																	
Unité de mesure			Ag	As	Au	Mo	Sb	W	Ce	Eu	Ho	La	Lu	Nd	Sm	Tb	Th	U	Yb	
Seuil de détection			2	0.5	2	1	0.1	1	2	0.2	0.5	2	0.1	5	0.1	0.2	0.2	0.5	0.2	
Échantillons		UTM (E)	UTM (N)																	
Samples																				
91-DNA-192	x	690913	5216541	<2	10	<2	<1	0.4	3	150.3	1.3	1.3	52.0	0.63	41.1	7.3	1.2	33.2	7.1	3.9
91-DNA-193	x	693009	5216382	<2	6	<2	<1	0.3	2	99.7	1.5	1.7	34.6	0.70	34.5	6.7	1.0	18.8	4.8	4.4
91-DNA-194	x	694903	5216545	<2	5	<2	<1	0.3	2	100.9	1.2	1.5	33.8	0.73	28.7	5.7	1.0	21.9	5.3	4.6
91-DNA-195	x	697119	5216517	<2	7	<2	<1	0.2	2	152.7	1.5	2.1	53.2	0.86	45.1	8.7	1.5	19.6	5.3	5.5
91-DNA-196	x	691008	5214539	<2	10	<2	<1	0.4	4	187.7	1.9	2.9	76.6	1.20	70.1	13.1	2.1	26.9	9.6	8.0
91-DNA-197	x	692995	5214641	<2	13	<2	<1	0.3	4	178.8	1.9	2.1	53.3	1.00	45.9	9.6	1.8	18.5	8.9	6.5
91-DNA-198	x	695086	5214725	<2	4	<2	<1	0.3	2	97.4	1.3	1.2	32.1	0.71	26.4	5.7	1.1	17.8	5.5	4.4
91-DNA-199	x	697050	5214528	<2	6	<2	<1	0.3	3	114.1	1.3	1.2	37.7	0.69	32.3	6.1	1.1	20.9	5.9	4.3
91-DNA-200	x	704782	5221095	<2	43	3	2	1.7	2	78.7	1.4	1.3	34.1	0.68	33.9	7.1	1.4	15.6	4.2	4.4
91-DNA-201	x	700844	5218998	<2	15	<2	2	0.3	3	98.2	1.4	1.6	45.7	0.77	41.1	7.4	1.3	20.4	4.6	4.8
91-DNA-202	x	703139	5219321	<2	54	<2	6	0.9	3	89.3	1.4	1.7	43.2	0.57	38.9	7.3	1.1	15.2	3.9	3.5
91-DNA-203	x	700896	5216875	<2	15	<2	<1	0.4	3	119.3	1.3	1.5	42.5	0.74	36.3	6.6	1.3	23.1	5.7	4.6
91-DNA-204	x	703005	5216989	<2	17	3	<1	0.5	3	165.1	2.1	2.2	77.7	0.90	80.3	13.7	1.7	25.2	7.6	5.9
91-DNA-205	x	710817	5221208	<2	18	2	<1	1.0	3	132.5	1.8	2.4	51.1	0.87	51.0	9.7	1.4	20.1	5.0	5.9
91-DNA-206	x	708854	5219192	<2	34	<2	2	1.4	3	159.3	2.7	2.9	74.9	1.00	69.2	13.1	1.9	24.0	8.0	6.9
91-DNA-207	x	710940	5219175	<2	36	3	<1	1.0	4	198.0	2.2	2.5	74.5	0.99	67.0	12.7	1.9	22.1	5.4	6.4
91-DNA-208	x	712955	5219323	<2	49	2	<1	2.1	3	147.8	1.9	2.6	77.5	0.95	62.9	11.6	1.6	22.8	5.5	6.0
91-DNA-209	x	718949	5219434	<2	16	<2	<1	0.5	2	86.0	1.1	1.4	35.7	0.61	28.8	5.5	0.9	17.4	4.6	3.9
91-DNA-210	x	713100	5215333	<2	14	<2	<1	0.7	2	107.3	1.0	1.5	37.3	0.70	32.7	6.9	1.2	18.4	4.5	4.3
91-DNA-211	x	719088	5215487	<2	11	<2	<1	0.4	2	124.6	1.3	2.1	39.9	0.95	36.9	8.1	1.4	15.5	7.5	5.9
91-DNA-212	x	724894	5221736	<2	10	<2	<1	0.5	2	100.8	0.9	1.4	33.0	0.66	26.3	5.8	1.0	17.6	4.7	4.0
91-DNA-248	x	690507	5212378	<2	3	2	<1	0.3	3	106.9	1.2	2.5	51.4	0.99	45.8	8.8	1.6	25.4	7.5	6.3
91-DNA-249	x	693058	5212617	<2	5	<2	<1	0.4	4	183.0	2.3	4.2	89.9	1.60	88.5	16.7	2.8	33.5	9.3	10.4
91-DNA-250	x	695337	5212673	3	11	<2	<1	0.4	2	158.9	1.4	1.5	44.4	0.73	37.5	7.7	1.3	17.8	5.7	4.8
91-DNA-251	x	703129	5212904	2	7	<2	<1	0.6	3	99.8	1.6	1.9	44.7	0.80	39.9	8.1	1.5	19.3	5.6	5.1
91-DNA-252	x	705077	5213068	<2	5	3	<1	0.4	2	92.5	1.1	1.7	36.1	0.74	32.0	7.2	1.4	16.7	5.5	4.7
91-DNA-253	x	699111	5210850	<2	6	<2	<1	0.3	2	84.2	1.0	1.2	33.4	0.54	27.3	5.4	1.0	18.0	4.4	3.6
91-DNA-254	x	701349	5211053	<2	8	<2	<1	0.3	3	193.9	2.1	3.7	114.4	1.30	107.2	23.4	3.6	23.3	12.4	8.7
91-DNA-255	x	701454	5208625	<2	5	2	<1	0.5	3	122.8	1.6	2.0	64.9	0.87	57.4	10.0	1.4	25.0	6.3	5.8

Analyse géochimique du till, fraction <63 µm (silt et argile)

Big Bald Mountain 21-O/1

Méthode analytique: AANI

Till geochemical analysis, <63 µm fraction (silt and clay)

Analytical method: INAA

Élément			Terres rares / Rare Earth																	
Element			Ag	As	Au	Mo	Sb	W	Ce	Eu	Ho	La	Lu	Nd	Sm	Tb	Th	U	Yb	
measure unit			ppm	ppm	ppb	ppm	ppm	ppm	ppm	ppm	ppm	ppm	ppm	ppm	ppm	ppm	ppm	ppm	ppm	
detection limit			2	0.5	2	1	0.1	1	2	0.2	0.5	2	0.1	5	0.1	0.2	0.2	0.5	0.2	
Échantillons		UTM (E)	UTM (N)																	
Samples																				
91-DNA-256	x	709145	5213187	<2	7	<2	<1	0.2	3	105.3	1.8	2.0	55.5	0.85	49.3	9.8	1.4	22.4	6.4	5.4
91-DNA-257	x	706874	5211171	<2	6	5	<1	0.4	3	109.2	1.1	1.9	42.9	0.73	33.8	7.3	1.4	24.4	6.5	4.7
91-DNA-258	x	710500	5211550	<2	11	<2	<1	0.3	3	90.1	1.2	1.8	38.8	0.72	35.0	6.8	1.2	18.3	5.8	4.7
91-DNA-259	x	709247	5209147	<2	4	<2	<1	0.6	3	79.9	1.2	1.8	42.8	0.69	37.2	7.6	1.1	18.9	5.2	4.4
91-DNA-260	x	711255	5209160	<2	6	<2	<1	0.4	3	91.3	1.3	1.7	40.9	0.70	36.1	6.8	1.0	22.1	5.7	4.3
91-DNA-261	x	713104	5213344	<2	6	<2	<1	0.3	4	146.7	1.5	1.9	46.2	0.76	39.0	7.9	1.3	22.4	6.0	4.8
91-DNA-262	x	715408	5212969	<2	10	3	<1	0.2	4	118.5	1.3	1.6	36.4	0.70	32.9	6.4	1.1	23.8	6.6	4.5
91-DNA-263	x	717346	5213226	<2	9	2	<1	0.4	2	89.6	1.1	1.3	30.3	0.62	26.1	5.6	1.1	14.5	4.2	3.9
91-DNA-264	x	715118	5211488	<2	5	2	<1	0.3	2	71.5	1.1	2.0	34.4	0.85	30.8	6.6	1.2	15.3	5.0	5.3
91-DNA-265	x	715355	5209309	<2	7	<2	<1	0.5	3	308.2	1.7	2.0	49.2	0.90	47.0	9.8	1.6	19.6	5.8	6.1
91-DNA-266	x	719350	5209399	<2	3	<2	<1	0.3	2	48.7	1.0	1.1	25.5	0.56	21.0	3.9	0.7	12.2	3.5	3.4
91-DNA-267	x	721654	5213345	<2	3	<2	<1	0.5	3	99.2	1.0	2.1	52.3	0.89	44.1	8.5	1.5	27.9	7.9	5.9
91-DNA-268	x	725353	5213598	<2	15	<2	<1	0.9	4	88.0	1.5	1.4	40.0	0.62	35.7	6.9	1.1	19.0	5.8	3.8
91-DNA-269	x	727263	5211767	<2	6	<2	<1	0.5	4	73.1	1.0	1.6	35.3	0.65	30.5	5.9	0.8	14.7	4.3	4.0
91-DNA-270	x	721389	5209554	<2	10	<2	<1	0.5	4	68.6	0.9	1.4	35.6	0.61	30.6	6.2	0.8	19.4	4.5	4.0
91-DNA-271	x	723224	5209637	<2	4	<2	<1	0.5	3	71.1	0.9	1.2	34.3	0.65	29.6	5.8	0.8	13.5	3.8	3.9
91-DNA-272	x	725070	5209874	<2	12	<2	<1	0.7	4	79.3	1.3	1.6	38.0	0.67	34.2	6.4	1.1	18.1	5.0	4.2
91-DNA-273	x	728001	5209997	<2	10	<2	<1	0.6	4	85.5	1.1	1.4	39.3	0.67	34.4	6.8	0.9	18.8	4.9	4.3
91-DNA-554	x	692772	5232759	<2	18	<2	<1	1.6	3	83.4	1.5	0.9	32.5	0.56	31.0	6.3	1.0	8.6	2.8	3.7

ANNEXE 1B

APPENDIX 1B

Analyse géochimique du till, Fraction < 63 µm (silt et argile); Analyse par activation neutronique instrumentale.

Geochemical analyses of till, < 63 µm fraction (silt and clay); Analyses by instrumental neutron activation.

PARTIE B

PART B

Analyse géochimique du till, fraction <63 µm (silt et argile)
 Till geochemical analysis, <63 µm fraction (silt and clay)

Big Bald Mountain 21-O/1

Méthode analytique: AANI
 Analytical method: INAA

Pour un seuil de détection plus bas, voir les résultats d'analyse par FX.
 For a lower detection limit, see the XRF analysis results.

Élément			Element	Br	Cs	Fe	Hf	Sc	Ta	Ba	Co	Cr	Ni	Rb	Zr
Unité de mesure			measure unit	ppm	ppm	%	ppm	ppm	ppm	ppm	ppm	ppm	ppm	ppm	ppm
Seuil de détection			detection limit	0.5	0.5	0.025	0.5	0.2	0.5	50	5	20	50	5	200
Échantillons		UTM (E)	UTM (N)												
Samples															
86-LFA-5488	1	689700	5232750	1.5	6.4	2.470	9.8	15.2	1.0	624	8	41	<50	105	285
86-LFA-5665	1	698250	5215900	13.4	5.6	3.560	15.7	15.9	2.2	552	13	45	<50	150	463
87-LFA-0734	1	710550	5232600	4.6	3.5	3.770	8.1	15.9	1.3	551	13	39	<50	122	224
87-LFA-0735	2	712650	5232700	0.7	4.0	5.000	6.7	21.0	1.2	599	17	59	67	85	<200
87-LFA-0736	1	714400	5230500	12.0	5.8	5.040	11.2	17.9	3.4	789	17	85	<50	116	305
87-LFA-0737	1	717850	5227600	5.6	6.7	5.010	10.1	20.7	2.2	717	17	95	<50	145	246
87-LFA-0738	2	720700	5224800	1.9	6.5	8.050	11.0	23.9	2.4	860	17	107	<50	191	458
87-LFA-0741	1	725600	5217900	0.7	4.9	3.370	13.1	15.4	2.1	597	11	62	<50	143	408
87-LFA-0742	1	727060	5219025	1.0	5.0	4.630	9.3	19.0	1.8	666	13	84	<50	167	<200
87-LFA-0753	1	725000	5215200	11.4	4.6	3.470	12.4	14.8	1.7	493	11	75	<50	129	499
87-LFA-0753	2	725000	5215200	1.0	6.7	4.830	9.2	19.9	2.0	615	15	91	<50	173	289
87-LFA-0753	3	725000	5215200	1.5	6.7	4.810	9.5	20.3	2.0	613	18	98	<50	170	258
87-LFA-0753	4	725000	5215200	<0,5	6.7	4.770	8.8	19.4	1.9	602	13	91	<50	164	356
87-LFA-0753	5	725000	5215200	<0,5	7.0	4.710	8.4	19.4	1.8	619	14	92	<50	162	313
87-LFA-0753	6	725000	5215200	<0,5	6.7	4.810	8.4	19.8	1.9	599	18	97	54	169	324
87-LFA-1171	1	694550	5208750	9.3	3.3	2.460	11.0	11.3	2.2	398	9	45	<50	117	338
87-LFA-1172	1	696200	5209800	10.8	4.1	3.060	11.2	12.4	2.2	431	11	51	<50	121	344
87-LFA-1210	1	717300	5209300	5.9	4.5	3.670	10.9	15.9	2.4	591	13	79	<50	147	318
87-LFA-1214	1	713100	5209850	7.4	6.8	3.250	11.9	14.3	3.2	413	11	63	<50	156	367
87-LFA-1215	1	722400	5211600	0.8	6.3	4.340	9.2	18.1	1.8	617	14	86	<50	159	336
87-LFA-1216	1	723350	5216300	1.2	6.0	4.810	10.0	20.8	2.5	736	16	88	<50	184	404
87-LFA-1217	1	721750	5215400	4.0	4.5	3.770	11.3	17.1	2.1	633	13	72	<50	141	333
87-LFA-1218	1	720050	5214450	<0,5	5.6	4.540	9.4	19.4	1.5	659	14	83	<50	156	278
87-LFA-1219	1	718250	5213500	3.2	4.6	4.020	11.1	17.8	2.5	650	14	75	<50	156	321
87-LFA-1220	1	723800	5212100	9.9	5.0	3.940	9.9	16.1	2.0	508	13	78	<50	141	226
87-LFA-1231	1	696050	5213050	5.5	4.2	3.020	18.6	14.9	2.3	607	9	42	<50	131	516
87-LFA-1232	1	696550	5211350	3.4	6.0	4.330	12.3	18.0	2.6	671	16	79	<50	160	364
87-LFA-1233	1	697700	5209700	9.2	4.7	3.040	11.3	12.1	2.4	416	15	56	<50	121	338

1B-1

Analyse géochimique du till, fraction <63 µm (silt et argile)
 Till geochemical analysis, <63 µm fraction (silt and clay)

Big Bald Mountain 21-O/1

Méthode analytique: AANI
 Analytical method: INAA

Pour un seuil de détection plus bas, voir les résultats d'analyse par FX.
 For a lower detection limit, see the XRF analysis results.

Éléments			Br	Cs	Fe	Hf	Sc	Ta	Ba	Co	Cr	Ni	Rb	Zr	
Unité de mesure			ppm	ppm	%	ppm	ppm	ppm	ppm	ppm	ppm	ppm	ppm	ppm	
Seuil de détection			0.5	0.5	0.025	0.5	0.2	0.5	50	5	20	50	5	200	
Échantillons		UTM (E)	UTM (N)												
Samples															
87-LFA-1236	1	691300	5234250	7.9	6.6	5.500	7.8	23.0	1.7	733	22	91	65	99	311
87-LFA-1237	1	697800	5227250	14.7	5.5	4.080	11.8	14.8	1.6	599	19	92	<50	109	413
87-LFA-1238	1	698550	5225900	4.1	8.0	7.090	8.5	25.0	1.3	776	30	190	69	109	345
87-LFA-1239	1	699150	5224600	20.5	8.9	5.400	11.1	14.9	1.8	545	10	89	<50	128	302
87-LFA-1242	1	697200	5224900	24.1	5.2	3.550	14.0	14.0	1.9	521	7	82	<50	114	354
87-LFA-1243	1	695350	5224450	13.2	5.0	3.840	13.6	14.3	1.7	467	9	85	<50	124	472
87-LFA-1244	1	694100	5222850	3.9	7.0	5.400	9.7	21.2	1.7	528	19	91	<50	176	350
87-LFA-1248	1	697250	5222600	40.3	5.4	5.700	11.1	18.9	1.5	504	15	82	125	117	257
87-LFA-1249	1	698700	5221700	10.4	9.0	4.840	10.5	22.7	2.7	766	7	119	<50	215	435
87-LFA-1250	1	700050	5222700	10.8	10.6	5.360	9.7	23.0	2.8	805	7	118	<50	220	204
87-LFA-1255	1	704350	5210350	1.6	5.9	4.120	11.2	18.7	3.0	640	13	67	<50	175	441
87-LFA-1256	1	702200	5210750	5.1	6.3	3.260	11.4	15.6	3.1	524	10	46	<50	156	378
87-LFA-1259	1	701550	5212050	3.5	5.2	4.270	12.6	19.2	3.2	666	16	75	<50	171	443
87-LFA-1261	1	701500	5214200	0.7	6.2	4.490	13.2	20.6	2.8	685	13	57	64	173	218
87-LFA-1266	1	705000	5214800	6.6	5.6	4.690	11.3	19.5	2.3	660	15	82	<50	174	375
87-LFA-1271	1	707000	5213850	1.0	6.5	4.950	11.2	21.3	2.8	695	16	74	<50	178	362
87-LFA-1272	1	702250	5222700	7.2	11.4	4.840	12.5	20.4	3.0	635	19	40	<50	217	470
87-LFA-1273	1	725250	5218650	12.1	4.5	4.080	12.1	17.8	2.4	665	14	72	<50	157	380
87-LFA-1274	1	727100	5219500	1.2	9.6	4.450	9.0	20.7	3.8	573	14	54	<50	210	210
87-LFA-1276	1	727050	5221800	2.3	4.7	4.320	9.7	19.3	2.4	696	17	74	<50	172	<200
87-LFA-1277	1	725400	5220800	5.4	4.4	4.300	10.2	18.6	2.2	639	14	82	<50	169	370
87-LFA-1278	1	722650	5221500	3.9	4.1	3.840	11.5	17.8	2.5	647	13	68	<50	153	215
87-LFA-1279	1	720800	5221000	2.1	5.4	5.560	9.7	22.8	2.7	816	14	97	<50	188	349
87-LFA-1280	1	718800	5221300	2.3	7.5	6.250	9.3	24.4	2.1	833	14	111	<50	207	328
87-LFA-1281	1	724600	5229250	2.1	5.9	6.110	10.7	24.1	2.2	832	13	105	78	202	372
87-LFA-1284	1	722200	5227400	6.0	6.4	6.340	10.8	25.0	2.6	817	11	118	<50	206	421
87-LFA-1285	1	722950	5228750	3.4	5.1	5.520	9.9	21.8	2.4	712	20	108	<50	155	376
87-LFA-1286	1	720900	5228650	4.4	6.0	6.630	10.7	24.1	2.4	830	15	103	<50	199	379

1B-2

Analyse géochimique du till, fraction <63 µm (silt et argile)
 Till geochemical analysis, <63 µm fraction (silt and clay)

Big Bald Mountain 21-O/1

Méthode analytique: AANI
 Analytical method: INAA

Pour un seuil de détection plus bas, voir les résultats d'analyse par FX.

For a lower detection limit, see the XRF analysis results.

Élément			Br	Cs	Fe	Hf	Sc	Ta	Ba	Co	Cr	Ni	Rb	Zr	
Unité de mesure			ppm	ppm	%	ppm	ppm	ppm	ppm	ppm	ppm	ppm	ppm	ppm	
Seuil de détection			0.5	0.5	0.025	0.5	0.2	0.5	50	5	20	50	5	200	
Échantillons		UTM (E)	UTM (N)												
Samples															
87-LFA-1287	1	719150	5228350	6.4	7.9	6.560	10.7	24.5	2.5	812	10	116	<50	220	551
87-LFA-1289	1	716600	5221000	9.8	6.1	6.340	9.8	23.4	2.1	752	13	115	58	201	233
87-LFA-1291	1	715500	5219750	3.1	9.7	5.780	9.5	23.3	1.7	765	45	96	61	213	295
87-LFA-1293	1	716250	5225900	2.6	6.1	6.860	10.3	25.0	2.4	916	17	110	51	203	305
87-LFA-1295	1	725000	5236950	1.8	4.1	5.280	7.1	23.2	1.6	583	19	107	<50	117	<200
87-LFA-1297	1	723300	5234100	1.8	4.1	6.340	6.5	30.8	1.1	492	28	190	<50	107	<200
87-LFA-1299	1	724300	5232800	1.6	3.0	4.770	6.7	21.7	1.4	618	19	123	<50	115	412
87-LFA-1301	1	700550	5220800	4.6	8.8	4.960	9.5	19.0	1.4	779	16	105	<50	189	406
87-LFA-1302	1	702600	5220250	1.8	11.9	5.540	9.4	20.9	2.0	763	24	92	<50	202	329
87-LFA-1303	1	704050	5218900	0.7	8.0	6.340	8.8	23.0	2.1	764	17	107	<50	188	254
87-LFA-1304	1	704850	5219900	1.9	12.1	5.760	11.5	24.1	2.1	621	21	64	<50	233	498
87-LFA-1305	1	706250	5218000	5.8	8.5	5.190	11.8	20.1	2.0	685	15	79	<50	189	306
87-LFA-1306	1	705150	5216850	6.6	5.5	4.270	12.8	17.8	1.9	576	16	68	<50	162	580
87-LFA-1307	1	707350	5216250	4.3	4.1	4.630	11.3	20.1	2.4	623	11	81	<50	156	388
87-LFA-1309	1	713300	5220550	6.3	7.0	6.360	11.5	23.2	1.8	847	8	109	<50	227	558
87-LFA-1310	1	712000	5219800	18.0	8.7	5.390	11.4	17.0	1.9	499	11	79	<50	160	374
87-LFA-1311	1	706600	5221350	13.7	15.4	6.960	8.0	22.4	1.5	875	8	109	69	221	472
87-LFA-1312	1	708900	5220550	1.6	14.3	5.680	15.2	20.6	3.8	1006	13	47	50	208	510
87-LFA-1313	1	711900	5222550	0.9	5.4	5.360	10.8	21.3	2.3	743	15	85	84	201	401
87-LFA-1314	1	708500	5217650	0.9	5.0	5.140	11.4	20.3	2.2	707	16	85	<50	189	302
87-LFA-1315	1	709050	5215950	1.2	5.0	5.540	11.2	21.5	2.4	768	18	93	<50	192	356
87-LFA-1316	1	710750	5216500	9.3	6.0	6.050	11.0	21.1	4.4	779	7	101	<50	207	255
87-LFA-1317	1	704200	5230200	13.9	5.1	4.450	11.8	18.3	2.1	376	16	91	<50	100	263
87-LFA-1318	1	704700	5228300	3.1	4.5	5.050	9.6	21.4	1.9	500	21	128	<50	88	209
87-LFA-1319	1	706350	5229800	4.9	4.7	5.630	8.5	23.2	1.9	452	24	135	83	91	310
87-LFA-1320	1	707700	5230950	7.1	3.9	6.680	9.0	26.1	2.0	293	29	113	118	58	290
87-LFA-1321	1	709150	5229350	4.1	5.6	5.230	9.7	20.1	3.2	538	21	99	<50	91	227
87-LFA-1322	1	697950	5220450	4.9	2.5	5.350	14.9	21.4	3.1	519	17	74	57	111	446

Analyse géochimique du till, fraction <63 µm (silt et argile)
 Till geochemical analysis, <63 µm fraction (silt and clay)

Big Bald Mountain 21-O/1

Méthode analytique: AANI
 Analytical method: INAA

Pour un seuil de détection plus bas, voir les résultats d'analyse par FX.
 For a lower detection limit, see the XRF analysis results.

Élément			Br	Cs	Fe	Hf	Sc	Ta	Ba	Co	Cr	Ni	Rb	Zr	
Unité de mesure			ppm	ppm	%	ppm	ppm	ppm	ppm	ppm	ppm	ppm	ppm	ppm	
Seuil de détection			0.5	0.5	0.025	0.5	0.2	0.5	50	5	20	50	5	200	
Échantillons		UTM (E)	UTM (N)												
Samples															
87-LFA-1323	1	698950	5218700	9.4	4.0	4.410	11.9	17.8	2.0	726	10	85	<50	193	431
87-LFA-1325	1	699700	5214750	12.6	3.7	3.530	15.1	14.2	2.1	481	9	55	<50	112	444
87-LFA-1326	1	702100	5215500	1.1	5.8	3.840	10.5	16.6	2.1	539	12	62	<50	168	<200
87-LFA-1327	1	706150	5208600	2.5	3.2	2.380	17.3	10.9	1.4	428	10	44	<50	112	588
87-LFA-1328	1	704250	5208700	6.1	4.5	4.440	10.6	17.8	1.3	598	13	83	84	157	357
87-LFA-1330	1	700050	5209600	5.0	4.6	2.730	12.2	11.4	2.2	391	9	47	55	126	268
87-LFA-1331	1	714000	5210900	11.9	3.9	3.070	14.7	12.6	2.0	552	8	50	<50	141	347
87-LFA-1332	1	710500	5212750	<0,5	4.2	3.990	12.3	18.1	2.0	618	11	72	<50	146	460
87-LFA-1333	1	709800	5210450	6.6	4.1	3.440	11.7	14.7	2.2	550	11	63	<50	142	352
87-LFA-1334	1	714850	5214550	11.1	4.9	3.470	12.7	15.8	2.2	573	10	57	<50	150	483
87-LFA-1335	1	697550	5233800	7.5	7.9	3.850	12.0	17.6	3.3	401	14	71	<50	143	494
87-LFA-1336	1	699400	5233700	8.3	12.4	3.550	9.6	14.6	4.7	257	13	51	<50	213	396
87-LFA-1337	1	699650	5234400	10.9	9.8	3.500	10.1	16.7	4.4	281	12	62	<50	181	337
87-LFA-1338	1	697500	5234950	12.5	4.6	5.840	7.1	25.0	2.0	460	26	139	75	52	323
87-LFA-1344	1	713400	5224500	7.4	7.0	5.990	11.4	21.8	3.0	764	22	147	58	140	398
87-LFA-1345	1	711500	5224600	6.1	9.2	5.890	20.7	18.1	8.4	2032	9	88	<50	209	684
87-LFA-1346	1	710200	5225500	2.1	8.2	5.380	9.3	23.3	2.1	835	19	104	86	154	398
87-LFA-1347	1	710250	5227850	1.9	6.4	4.520	10.0	20.2	1.8	702	16	89	<50	120	417
87-LFA-1351	1	724250	5231500	5.6	4.3	3.120	9.3	17.2	2.1	561	9	45	<50	130	331
87-LFA-1353	1	722400	5232400	0.6	4.4	5.260	7.1	20.5	1.8	629	20	102	<50	144	<200
87-LFA-1354	1	721350	5232600	3.4	2.8	4.830	6.6	20.2	1.6	549	18	95	<50	112	<200
87-LFA-1355	1	721750	5234250	2.3	3.2	4.450	6.0	20.6	1.5	526	14	82	<50	108	329
87-LFA-1356	1	712700	5232600	6.0	4.2	4.910	7.7	20.1	2.1	480	17	94	60	112	390
87-LFA-1357	1	714000	5230950	5.0	3.8	4.250	7.3	21.1	1.9	567	14	98	<50	118	299
87-LFA-1359	1	712300	5230600	28.1	3.3	6.460	7.8	16.6	1.7	334	19	77	<50	80	424
87-LFA-1360	1	710150	5231600	6.8	2.1	4.520	5.8	20.5	1.6	394	18	74	52	76	<200
87-LFA-1361	1	706350	5233050	4.6	2.1	3.490	6.8	12.9	1.1	640	9	42	<50	104	250
87-LFA-1362	1	705500	5231750	2.8	5.7	5.960	7.5	28.1	2.3	240	26	99	<50	115	556

1B-4

Analyse géochimique du till, fraction <63 µm (silt et argile)
 Till geochemical analysis, <63 µm fraction (silt and clay)

Big Bald Mountain 21-O/ 1

Méthode analytique: AANI
 Analytical method: INAA

Pour un seuil de détection plus bas, voir les résultats d'analyse par FX.
 For a lower detection limit, see the XRF analysis results.

Élément			Br	Cs	Fe	Hf	Sc	Ta	Ba	Co	Cr	Ni	Rb	Zr	
Unité de mesure			ppm	ppm	%	ppm	ppm	ppm	ppm	ppm	ppm	ppm	ppm	ppm	
Seuil de détection			0.5	0.5	0.025	0.5	0.2	0.5	50	5	20	50	5	200	
Échantillons		UTM (E)	UTM (N)												
Samples															
87-LFA-1363	1	703300	5231550	2.2	5.3	5.010	8.6	21.5	3.2	290	17	88	79	131	295
87-LFA-1364	1	701950	5230150	3.1	6.2	6.130	8.4	25.5	2.8	406	26	119	<50	128	276
87-LFA-1366	1	702900	5228655	3.4	5.1	7.580	6.5	29.2	2.4	392	33	179	123	99	318
87-LFA-1367	1	708600	5232650	4.7	2.4	4.220	7.4	15.9	1.5	533	15	66	<50	96	321
87-LFA-1368	1	699250	5229750	3.5	5.8	3.890	12.7	21.8	2.9	396	13	70	<50	142	568
87-LFA-1369	1	700150	5230700	9.7	4.9	4.540	9.9	18.8	2.4	370	22	91	<50	102	477
87-LFA-1371	1	701900	5231900	7.4	6.1	3.990	10.4	14.8	3.4	319	16	77	54	144	337
87-LFA-1372	1	710700	5235300	5.0	2.6	3.990	7.8	19.3	1.4	648	10	39	<50	112	281
87-LFA-1373	1	705400	5234300	20.1	3.2	3.480	10.2	13.4	1.7	432	9	55	<50	80	280
87-LFA-1374	1	702455	5233400	7.2	7.1	4.540	10.3	20.7	4.2	271	18	58	<50	119	369
87-LFA-1375	1	699150	5231700	1.4	15.0	3.100	8.6	14.5	4.4	334	9	43	54	275	488
87-LFA-1376	1	698055	5232600	6.6	11.0	3.200	10.3	16.1	3.7	385	11	57	<50	204	510
87-LFA-1378	1	692350	5209400	8.0	4.4	2.520	13.4	10.6	1.8	344	9	43	<50	121	557
87-LFA-1381	1	692600	5210850	5.5	5.2	4.560	9.6	18.6	2.1	685	25	143	<50	117	367
87-LFA-1382	1	694300	5210250	7.7	5.3	5.420	8.5	20.9	2.3	753	13	100	<50	169	241
87-LFA-1383	1	691100	5211500	4.0	3.0	3.360	16.9	14.7	2.0	385	11	45	66	74	638
87-LFA-1392	1	726350	5225500	5.8	5.4	4.520	9.8	18.1	2.2	624	12	75	<50	148	379
87-LFA-1393	1	722900	5223800	5.5	5.6	5.470	9.8	21.6	1.9	705	14	93	<50	181	206
87-LFA-1394	1	720800	5225000	3.2	6.9	7.810	10.6	23.5	3.1	801	13	109	<50	180	381
87-LFA-1395	1	718050	5226950	1.1	5.6	6.310	9.5	26.3	2.7	783	27	126	51	154	405
87-LFA-1396	1	725550	5223550	3.2	4.3	4.170	10.4	17.8	2.5	597	13	76	58	151	364
87-LFA-1397	1	719050	5234200	5.5	2.7	3.310	6.1	15.9	0.9	664	8	38	<50	103	275
87-LFA-1398	1	725900	5235100	12.7	2.4	4.470	7.0	18.7	1.6	404	15	99	<50	85	220
87-LFA-1399	1	698650	5229200	1.4	4.9	3.070	11.6	23.2	1.9	663	15	51	<50	121	325
87-LFA-1402	1	708500	5211400	10.8	5.1	3.460	9.4	15.4	1.7	534	12	64	<50	144	353
87-LFA-1403	1	712200	5211850	14.1	7.7	2.590	11.3	12.0	3.5	389	8	29	<50	173	375
87-LFA-1404	1	725050	5215450	7.8	5.5	4.010	9.0	16.3	2.4	545	13	72	<50	151	398
87-LFA-1405	1	700300	5212750	5.8	4.1	3.310	12.6	15.5	2.6	545	10	59	69	124	433

1B-5

Analyse géochimique du till, fraction <63 µm (silt et argile)
Till geochemical analysis, <63 µm fraction (silt and clay)

Big Bald Mountain 21-O/1

Méthode analytique: AANI
Analytical method: INAA

Pour un seuil de détection plus bas, voir les résultats d'analyse par FX.

For a lower detection limit, see the XRF analysis results.

Élément		Element		Br	Cs	Fe	Hf	Sc	Ta						
Unité de mesure		measure unit		ppm	ppm	%	ppm	ppm	ppm	Ba	Co	Cr	Ni	Rb	Zr
Seuil de détection		detection limit		0.5	0.5	0.025	0.5	0.2	0.5	50	5	20	50	5	200
Échantillons		UTM (E)	UTM (N)												
Samples															
87-LFA-1406	1	717100	5212750	9.6	5.8	4.330	10.1	18.3	2.2	656	17	74	<50	179	536
87-LFA-1408	1	698350	5211600	8.5	5.7	3.400	13.4	13.9	1.8	502	13	52	<50	162	402
87-LFA-1410	1	723150	5214150	3.1	6.1	5.890	7.0	21.5	1.2	831	11	98	<50	208	354
87-LFA-1411	1	727650	5215250	3.3	4.0	3.850	10.9	13.7	2.2	483	9	80	<50	111	372
87-LFA-1412	1	702750	5227250	8.9	4.8	7.640	5.9	26.2	2.1	687	38	213	129	89	295
87-LFA-1413	1	714400	5235100	1.8	2.9	4.790	6.3	22.9	1.4	678	11	31	<50	109	<200
87-LFA-1415	1	716550	5235900	6.5	2.3	3.710	6.0	16.9	1.2	559	10	39	<50	97	<200
87-LFA-1420	1	709950	5222900	11.9	5.0	8.410	14.0	31.1	3.9	1038	32	114	<50	131	497
87-LFA-1451	1	726250	5217100	1.1	5.3	3.060	10.1	14.8	2.6	477	9	45	<50	156	394
87-LFA-1452	1	724100	5219800	1.4	4.4	4.440	9.3	19.8	2.8	752	14	81	<50	162	292
87-LFA-1453	1	714700	5221900	4.0	6.9	7.360	10.1	28.1	2.6	909	10	129	57	219	406
87-LFA-1454	1	712700	5216750	16.7	7.8	4.000	14.0	16.7	2.6	508	13	42	<50	175	<200
87-LFA-1455	1	715400	5218050	4.6	6.3	6.540	10.0	12.9	1.1	877	13	110	<50	228	250
87-LFA-1456	1	713850	5218100	8.9	5.8	4.830	10.8	28.1	2.3	771	12	77	<50	186	556
87-LFA-1457	1	714700	5216500	5.7	4.8	4.620	13.3	21.5	3.2	575	11	81	<50	150	295
87-LFA-1458	1	720000	5211600	2.4	6.9	4.090	10.0	25.5	2.8	565	18	58	<50	179	276
87-LFA-1459	1	704900	5224900	5.0	1.9	4.990	6.5	29.2	2.4	585	14	31	<50	97	318
87-LFA-1460	1	714000	5227500	4.2	6.8	5.340	11.4	15.9	1.5	813	20	95	71	135	321
87-LFA-1900	1	700250	5230750	25.4	7.5	5.360	8.9	21.8	2.9	304	17	95	<50	115	568
87-LFA-1901	1	700000	5230300	36.1	6.9	5.890	6.8	18.8	2.4	254	20	111	85	91	477
87-LFA-1902	1	699750	5230000	28.8	4.6	4.840	7.2	15.7	1.8	266	15	99	<50	66	223
90-DNA-002	a	727189	5213776	14.8	3.9	3.280	13.2	12.8	1.5	386	9	80	61	93	410
90-DNA-002	b	727189	5213776	19.0	3.8	3.350	13.6	13.0	1.5	379	9	77	<50	90	465
90-DNA-005		725296	5211908	23.3	5.0	4.100	7.5	14.1	2.0	446	11	70	71	124	405
90-DNA-010	a	721573	5211205	22.1	5.7	3.700	9.0	12.5	1.7	431	8	67	<50	124	254
90-DNA-010	b	721573	5211205	22.1	5.7	3.630	8.9	12.2	1.3	377	8	67	<50	114	375
90-DNA-062		723062	5217724	<0.5	4.0	4.160	9.5	17.4	1.4	658	16	69	<50	169	297
90-DNA-065		721058	5217626	14.9	5.4	3.400	23.4	16.1	3.6	507	10	41	<50	156	833

1B-6

Analyse géochimique du till, fraction <63 µm (silt et argile)
Till geochemical analysis, <63 µm fraction (silt and clay)

Big Bald Mountain 21-O/ 1

Méthode analytique: AANI
Analytical method: INAA

Pour un seuil de détection plus bas, voir les résultats d'analyse par FX.
For a lower detection limit, see the XRF analysis results.

Élément			Br	Cs	Fe	Hf	Sc	Ta	Ba	Co	Cr	Ni	Rb	Zr
Unité de mesure			ppm	ppm	%	ppm	ppm	ppm	ppm	ppm	ppm	ppm	ppm	ppm
Seuil de détection			0.5	0.5	0.025	0.5	0.2	0.5	50	5	20	50	5	200
Échantillons	UTM (E)	UTM (N)												
<i>Samples</i>														
90-DNA-067	717246	5215423	15.4	6.3	3.290	14.6	11.6	1.4	488	6	47	<50	137	512
90-DNA-071	716997	5217449	27.7	2.8	2.990	12.3	9.8	2.1	309	<5	47	<50	63	482
90-DNA-073	718961	5217706	7.2	3.5	3.540	11.8	15.6	2.4	598	12	68	55	123	336
90-DNA-084	724896	5225628	22.6	8.1	6.240	9.5	17.0	1.5	551	5	115	<50	162	319
90-DNA-112	721138	5219606	5.7	4.4	3.920	12.2	17.6	1.6	663	14	67	<50	151	422
90-DNA-113	722900	5219694	2.0	4.7	9.770	10.9	15.8	1.7	574	13	68	63	141	428
90-DNA-118	716655	5220091	53.1	3.2	6.260	5.6	11.7	0.8	360	7	74	<50	68	247
90-DNA-121	718884	5225516	11.9	4.9	5.540	9.4	19.7	2.2	698	8	96	75	170	211
90-DNA-131	718771	5228908	8.9	5.5	5.980	9.2	20.6	1.3	714	11	93	<50	156	262
90-DNA-138	724592	5227748	8.9	6.4	6.000	10.9	21.4	2.5	834	7	104	<50	207	307
90-DNA-158	712521	5229515	34.6	4.1	6.120	7.9	15.8	2.0	287	9	88	<50	74	277
90-DNA-172	722389	5235698	22.5	2.3	4.520	6.8	15.5	2.3	409	9	75	57	89	355
90-DNA-173	724280	5236144	3.3	3.2	5.040	7.8	22.7	1.9	564	18	135	<50	102	331
90-DNA-201	716806	5233495	27.3	2.4	4.310	6.3	16.6	1.4	497	9	55	132	98	221
90-DNA-204	718377	5231490	19.3	4.3	4.760	8.2	20.2	2.1	540	17	86	154	111	317
90-DNA-309	696691	5233992	10.1	11.1	3.870	15.7	17.9	3.6	348	13	49	<50	192	681
90-DNA-313 a	696519	5232406	3.9	14.3	3.570	11.4	17.2	4.4	395	13	51	<50	251	378
90-DNA-313 b	696519	5232406	4.0	14.1	3.570	11.7	17.1	4.0	407	13	49	<50	265	392
90-DNA-319	693595	5232084	1.6	5.0	5.880	10.3	24.0	3.8	281	22	46	<50	61	243
90-DNA-330	692636	5228857	2.9	7.8	2.890	19.2	17.6	1.6	333	8	49	<50	135	670
90-DNA-345	691097	5224214	14.8	6.5	3.270	11.7	6.6	1.9	426	<5	36	<50	96	395
90-DNA-346	691425	5223313	1.0	8.1	1.020	26.9	11.3	2.7	596	<5	52	59	134	759
90-DNA-350	692660	5222773	0.6	2.1	0.482	33.5	7.2	5.0	468	<5	24	<50	129	1190
90-DNA-398	710897	5215945	21.4	6.0	5.000	10.0	19.3	1.6	629	14	94	<50	161	430
90-DNA-412	706092	5215813	18.6	4.5	4.750	10.4	18.0	2.6	653	11	85	<50	148	369
90-DNA-438	702395	5221873	4.3	10.6	5.540	20.1	24.8	3.0	680	18	52	85	202	797
90-DNA-458	710322	5213193	11.5	6.2	3.250	14.0	14.4	1.7	599	9	56	<50	133	222
90-DNA-492	694514	5211443	8.7	3.9	4.230	12.9	17.3	2.4	698	13	75	<50	170	373

Analyse géochimique du till, fraction <63 µm (silt et argile)
Till geochemical analysis, <63 µm fraction (silt and clay)

Big Bald Mountain 21-O/1

Méthode analytique: AANI
Analytical method: INAA

Pour un seuil de détection plus bas, voir les résultats d'analyse par FX.
For a lower detection limit, see the XRF analysis results.

Élément			Br	Cs	Fe	Hf	Sc	Ta	Ba	Co	Cr	Ni	Rb	Zr	
Unité de mesure			ppm	ppm	%	ppm	ppm	ppm	ppm	ppm	ppm	ppm	ppm	ppm	
Seuil de détection			0.5	0.5	0.025	0.5	0.2	0.5	50	5	20	50	5	200	
Échantillons		UTM (E)	UTM (N)												
Samples															
90-DNA-493		693342	5212045	11.8	7.2	3.810	12.3	16.3	1.6	476	14	66	<50	167	310
90-DNA-501		691979	5208713	5.0	3.9	2.510	11.1	10.8	2.6	405	9	44	<50	121	351
90-DNA-507		690144	5212164	20.6	6.5	3.020	13.3	11.5	2.3	355	9	41	<50	126	478
91-DNA-049	x	692239	5234648	12.0	1.7	3.330	22.6	20.0	2.7	451	7	48	98	97	713
91-DNA-050	x	694284	5234744	12.0	4.0	5.220	11.8	20.1	2.2	594	16	116	61	128	516
91-DNA-051	x	696353	5234801	20.0	17.1	3.370	11.3	13.2	2.6	284	11	52	56	192	475
91-DNA-052	x	690383	5232604	15.0	4.6	3.300	9.7	16.9	1.7	496	13	70	<50	115	263
91-DNA-053	x	690414	5230559	15.0	6.0	9.730	7.5	14.1	1.7	439	<5	111	<50	117	260
91-DNA-054	x	692422	5230579	21.0	7.9	4.450	8.2	18.2	1.7	694	10	93	<50	146	225
91-DNA-055	x	694669	5230672	5.0	4.3	3.420	12.5	14.4	2.1	393	13	87	<50	94	476
91-DNA-056	x	696499	5230730	11.0	4.3	3.350	12.2	14.3	2.6	386	10	77	<50	106	516
91-DNA-057	x	690561	5228533	27.0	4.8	3.240	13.0	12.7	2.1	321	6	50	<50	78	438
91-DNA-058	x	694598	5228751	14.0	5.3	2.580	19.1	11.7	2.2	409	6	59	<50	96	648
91-DNA-059	x	696919	5228530	36.0	6.3	3.840	14.2	7.7	1.9	312	<5	32	66	64	478
91-DNA-060	x	704073	5233344	19.0	5.8	7.210	6.3	18.5	1.7	551	13	101	<50	129	205
91-DNA-061	x	701211	5229121	22.0	3.1	4.550	10.7	17.6	1.8	317	19	101	<50	86	379
91-DNA-062	x	706309	5235113	11.0	2.6	4.820	7.0	21.2	1.5	586	13	48	68	80	274
91-DNA-063	x	708596	5235147	27.0	1.4	3.800	7.0	10.0	1.1	444	<5	21	<50	81	248
91-DNA-064	x	711855	5235513	14.0	2.3	4.070	6.7	18.3	1.1	574	9	53	<50	93	367
91-DNA-065	x	718691	5235457	3.0	3.5	4.490	7.6	20.0	1.5	594	8	69	<50	120	358
91-DNA-066	x	714522	5233624	13.0	5.4	4.420	7.7	17.5	1.4	507	13	60	78	84	305
91-DNA-067	x	716452	5233466	9.0	2.2	3.710	6.7	16.8	1.7	581	11	54	<50	88	202
91-DNA-068	x	717033	5231532	7.0	5.2	5.040	7.6	20.0	1.4	482	17	96	61	128	348
91-DNA-069	x	714601	5229380	20.0	5.0	4.340	8.4	17.3	1.3	533	12	61	88	121	304
91-DNA-070	x	716494	5228960	37.0	4.8	5.240	8.8	18.0	1.6	393	17	103	<50	83	335
91-DNA-071	x	720280	5235410	10.0	4.5	4.920	7.2	19.4	2.0	581	17	92	<50	138	283
91-DNA-072	x	720883	5233906	1.0	3.1	4.060	9.1	21.1	1.5	556	12	71	<50	117	398
91-DNA-073	x	726429	5231532	7.0	5.0	5.410	9.6	20.6	1.9	663	13	96	<50	165	397

1B-8

Analyse géochimique du till, fraction <63 µm (silt et argile)
 Till geochemical analysis, <63 µm fraction (silt and clay)

Big Bald Mountain 21-O/ 1

Méthode analytique: AANI
 Analytical method: INAA

Pour un seuil de détection plus bas, voir les résultats d'analyse par FX.
 For a lower detection limit, see the XRF analysis results.

Élément		Element	Br	Cs	Fe	Hf	Sc	Ta	Ba	Co	Cr	Ni	Rb	Zr	
Unité de mesure		measure unit	ppm	ppm	%	ppm	ppm	ppm	ppm	ppm	ppm	ppm	ppm	ppm	
Seuil de détection		detection limit	0.5	0.5	0.025	0.5	0.2	0.5	50	5	20	50	5	200	
Échantillons		UTM (E)	UTM (N)												
Samples															
91-DNA-074	x	720521	5229253	22.0	4.2	6.880	7.6	14.5	1.5	367	8	87	55	92	355
91-DNA-075	x	726476	5229819	6.0	5.8	6.460	10.8	22.2	1.8	820	6	110	<50	219	452
91-DNA-115	x	690607	5226541	81.0	2.5	3.900	8.5	9.2	1.6	209	<5	26	<50	58	281
91-DNA-116	x	692599	5226648	20.0	8.8	3.750	12.9	15.4	2.9	343	<5	22	<50	133	474
91-DNA-117	x	696658	5226794	34.0	5.0	4.390	8.7	17.7	1.1	471	20	116	<50	77	369
91-DNA-118	x	692998	5224801	36.0	3.5	2.660	14.8	9.0	1.6	308	<5	39	<50	79	378
91-DNA-119	x	692734	5222557	11.0	4.5	3.040	13.1	10.7	1.9	499	8	47	<50	141	628
91-DNA-120	x	700633	5226888	26.0	8.6	4.410	11.0	12.0	1.7	606	8	69	<50	74	386
91-DNA-121	x	704594	5227073	25.0	5.9	4.970	8.8	19.2	1.9	603	11	81	<50	106	347
91-DNA-122	x	700730	5224914	35.0	4.4	4.030	13.0	12.7	1.6	423	9	55	<50	85	550
91-DNA-123	x	702450	5224794	25.0	7.3	4.440	11.4	14.4	1.5	629	12	71	<50	113	444
91-DNA-124	x	704636	5222954	15.0	5.0	3.380	12.9	14.5	1.8	466	9	82	58	110	489
91-DNA-125	x	706698	5227108	27.0	5.3	5.330	9.9	17.8	1.6	555	12	106	<50	121	449
91-DNA-126	x	708644	5227162	26.0	7.9	4.600	13.7	11.8	3.8	456	7	66	<50	108	566
91-DNA-127	x	706654	5225152	40.0	4.6	4.860	8.2	17.2	1.4	670	5	46	<50	85	266
91-DNA-128	x	708670	5225190	12.0	7.3	5.090	9.2	21.8	1.3	709	20	95	<50	155	413
91-DNA-129	x	706774	5223044	7.0	8.1	7.240	10.4	23.9	1.5	943	11	130	<50	250	469
91-DNA-130	x	708796	5223107	25.0	7.1	8.360	22.7	16.4	8.6	1310	17	107	<50	140	830
91-DNA-131	x	713504	5227520	13.0	7.5	5.120	11.3	18.6	2.6	522	15	111	54	117	525
91-DNA-132	x	716654	5227453	18.0	4.8	5.610	8.3	22.8	1.6	492	37	124	51	92	350
91-DNA-133	x	714771	5225361	30.0	9.7	5.870	13.0	17.7	3.2	733	21	96	<50	128	459
91-DNA-134	x	715059	5223246	23.0	5.3	6.580	8.8	24.4	1.9	803	23	160	<50	108	291
91-DNA-135	x	716885	5223377	2.0	7.4	6.950	10.0	25.3	1.9	907	20	120	<50	181	397
91-DNA-136	x	718953	5223752	27.0	5.5	6.380	11.3	14.8	2.1	421	8	85	<50	105	404
91-DNA-137	x	720750	5227597	64.0	3.8	7.660	7.7	14.6	1.5	371	6	79	<50	94	252
91-DNA-138	x	726718	5227831	38.0	3.4	8.770	5.9	10.4	1.1	343	5	69	<50	93	217
91-DNA-139	x	722032	5226153	22.0	4.9	4.900	9.9	18.5	1.9	665	7	95	<50	153	349
91-DNA-140	x	720874	5223661	4.0	5.9	5.750	10.3	22.2	2.1	761	22	88	<50	157	425

Analyse géochimique du till, fraction <63 µm (silt et argile)
Till geochemical analysis, <63 µm fraction (silt and clay)

Big Bald Mountain 21-O/1

Méthode analytique: AANI
Analytical method: INAA

Pour un seuil de détection plus bas, voir les résultats d'analyse par FX.

For a lower detection limit, see the XRF analysis results.

Élément		<i>Element</i>		Br	Cs	Fe	Hf	Sc	Ta						
Unité de mesure		<i>measure unit</i>		ppm	ppm	%	ppm	ppm	ppm	Ba	Co	Cr	Ni	Rb	Zr
Seuil de détection		<i>detection limit</i>		0.5	0.5	0.025	0.5	0.2	0.5	50	5	20	50	5	200
Échantillons		UTM (E)	UTM (N)												
<i>Samples</i>															
91-DNA-141	x	726868	5223502	6.0	4.3	4.370	9.5	16.4	2.0	636	10	77	<50	147	330
91-DNA-184	x	691247	5220816	18.0	6.3	3.860	18.4	15.6	2.1	614	17	48	<50	125	720
91-DNA-185	x	692788	5220813	8.0	5.0	5.110	10.2	20.9	2.1	442	20	90	<50	119	428
91-DNA-186	x	694787	5220680	26.0	3.3	3.920	12.0	10.6	1.5	361	9	56	<50	83	454
91-DNA-187	x	696444	5220656	19.0	4.4	4.780	12.6	18.6	1.7	612	11	83	<50	160	520
91-DNA-188	x	691406	5218493	9.0	4.6	3.990	17.1	15.7	1.8	452	15	83	<50	100	520
91-DNA-189	x	693015	5218770	12.0	7.3	4.280	15.1	16.7	2.2	530	14	56	<50	136	638
91-DNA-190	x	694708	5217981	5.0	5.7	3.520	13.4	14.5	2.0	590	9	45	<50	134	313
91-DNA-191	x	697070	5218895	10.0	3.7	3.650	10.3	15.7	1.8	489	12	96	<50	123	315
91-DNA-192	x	690913	5216541	26.0	8.9	5.260	12.5	17.1	1.7	525	17	69	<50	160	456
91-DNA-193	x	693009	5216382	16.0	5.1	3.940	15.2	16.0	1.6	469	14	62	<50	89	549
91-DNA-194	x	694903	5216545	9.0	3.9	3.460	17.4	13.8	2.5	511	9	43	68	115	622
91-DNA-195	x	697119	5216517	11.0	3.4	3.030	14.0	14.1	1.9	575	9	51	<50	114	510
91-DNA-196	x	691008	5214539	8.0	5.7	3.790	18.1	16.2	2.3	651	10	44	<50	143	627
91-DNA-197	x	692995	5214641	14.0	6.0	3.640	22.4	14.7	2.0	589	9	49	<50	118	849
91-DNA-198	x	695086	5214725	13.0	3.9	2.980	16.9	13.3	1.8	470	8	56	<50	94	565
91-DNA-199	x	697050	5214528	7.0	5.5	3.600	16.2	15.0	1.9	488	12	59	<50	118	566
91-DNA-200	x	704782	5221095	23.0	6.1	5.660	9.6	20.9	1.1	328	19	162	101	101	370
91-DNA-201	x	700844	5218998	11.0	4.1	4.630	11.4	16.5	2.5	603	10	77	<50	119	377
91-DNA-202	x	703139	5219321	27.0	7.2	8.490	8.0	15.9	1.4	524	6	111	<50	147	268
91-DNA-203	x	700896	5216875	13.0	4.9	4.340	10.9	17.4	2.4	646	11	75	<50	159	325
91-DNA-204	x	703005	5216989	1.0	5.1	4.760	10.2	20.9	2.2	668	16	82	<50	163	292
91-DNA-205	x	710817	5221208	12.0	7.6	5.310	10.2	23.7	1.2	754	17	99	70	161	210
91-DNA-206	x	708854	5219192	7.0	8.8	6.210	12.8	24.3	1.7	832	10	110	<50	216	570
91-DNA-207	x	710940	5219175	6.0	8.7	6.080	10.5	21.0	2.2	670	23	105	130	183	464
91-DNA-208	x	712955	5219323	11.0	6.9	6.750	10.3	24.1	1.9	820	10	109	<50	196	431
91-DNA-209	x	718949	5219434	10.0	4.5	4.320	10.3	15.9	1.9	595	10	71	<50	143	298
91-DNA-210	x	713100	5215333	11.0	3.6	4.300	9.9	17.2	2.3	634	15	81	<50	153	282

1B-10

Analyse géochimique du till, fraction <63 µm (silt et argile)
 Till geochemical analysis, <63 µm fraction (silt and clay)

Big Bald Mountain 21-O/1

Méthode analytique: AANI
 Analytical method: INAA

Pour un seuil de détection plus bas, voir les résultats d'analyse par FX.

For a lower detection limit, see the XRF analysis results.

Élément		Element		Br	Cs	Fe	Hf	Sc	Ta	Ba	Co	Cr	Ni	Rb	Zr
Unité de mesure		measure unit		ppm	ppm	%	ppm	ppm	ppm	ppm	ppm	ppm	ppm	ppm	ppm
Seuil de détection		detection limit		0.5	0.5	0.025	0.5	0.2	0.5	50	5	20	50	5	200
Échantillons		UTM (E)	UTM (N)												
Samples															
91-DNA-211	x	719088	5215487	8.0	4.9	3.320	14.1	16.0	2.0	616	10	79	<50	126	451
91-DNA-212	x	724894	5221736	8.0	3.7	3.550	11.7	15.1	1.7	616	10	66	<50	118	338
91-DNA-248	x	690507	5212378	12.0	6.4	2.880	15.6	11.9	2.4	430	9	39	<50	134	530
91-DNA-249	x	693058	5212617	11.0	7.0	3.060	18.9	15.1	2.4	454	28	45	<50	166	707
91-DNA-250	x	695337	5212673	8.0	6.9	4.300	12.0	15.9	2.4	602	18	66	57	144	348
91-DNA-251	x	703129	5212904	13.0	4.7	3.400	14.4	14.9	2.2	612	8	69	<50	122	448
91-DNA-252	x	705077	5213068	30.0	4.8	3.430	12.9	13.6	1.5	493	8	58	<50	118	446
91-DNA-253	x	699111	5210850	8.0	5.0	3.410	10.2	13.1	1.6	522	10	66	<50	144	302
91-DNA-254	x	701349	5211053	14.0	5.0	3.410	13.2	12.7	2.7	514	8	59	<50	139	474
91-DNA-255	x	701454	5208625	14.0	4.7	3.390	12.9	15.3	2.7	473	11	65	<50	127	499
91-DNA-256	x	709145	5213187	12.0	4.7	3.610	14.8	15.8	2.5	639	10	61	<50	143	314
91-DNA-257	x	706874	5211171	23.0	5.8	3.430	12.8	13.3	2.2	513	9	50	<50	132	375
91-DNA-258	x	710500	5211550	2.0	4.2	4.260	11.1	17.2	1.9	695	12	87	<50	139	378
91-DNA-259	x	709247	5209147	13.0	4.9	3.110	11.1	12.8	1.7	502	10	66	<50	112	408
91-DNA-260	x	711255	5209160	15.0	5.3	3.420	11.6	14.2	4.0	537	11	66	<50	122	350
91-DNA-261	x	713104	5213344	18.0	4.1	3.670	14.9	16.3	2.0	620	11	68	<50	130	451
91-DNA-262	x	715408	5212969	8.0	5.2	3.880	13.0	16.5	2.2	667	11	67	<50	127	409
91-DNA-263	x	717346	5213226	17.0	3.5	2.970	11.4	12.1	2.0	497	8	55	<50	109	347
91-DNA-264	x	715118	5211488	5.0	3.4	2.710	17.2	12.2	2.2	523	7	54	<50	121	505
91-DNA-265	x	715355	5209309	8.0	4.3	3.860	12.7	14.2	2.1	499	27	68	<50	123	407
91-DNA-266	x	719350	5209399	2.0	5.7	4.820	7.1	19.2	1.9	549	14	74	<50	143	<200
91-DNA-267	x	721654	5213345	2.0	5.0	2.790	13.5	11.5	2.6	431	8	52	<50	136	412
91-DNA-268	x	725353	5213598	1.0	5.7	4.670	9.0	18.4	1.9	636	14	83	<50	161	248
91-DNA-269	x	727263	5211767	2.0	6.2	3.560	10.9	15.1	1.9	562	15	86	<50	152	334
91-DNA-270	x	721389	5209554	18.0	5.1	3.630	9.7	14.9	1.7	480	10	76	<50	131	338
91-DNA-271	x	723224	5209637	2.0	4.3	3.400	10.7	14.5	2.1	540	13	82	<50	135	349
91-DNA-272	x	725070	5209874	2.0	6.1	4.610	10.0	16.0	1.7	559	13	84	53	153	330
91-DNA-273	x	728001	5209997	19.0	5.9	6.200	10.2	13.6	1.9	500	10	68	<50	142	414

1B-11

Analyse géochimique du till, fraction <63 µm (silt et argile)			Big Bald Mountain 21-O/ 1					Méthode analytique: AANI							
Till geochemical analysis, <63 µm fraction (silt and clay)			Analytical method: INAA												
			Pour un seuil de détection plus bas, voir les résultats d'analyse par FX.												
			For a lower detection limit, see the XRF analysis results.												
Élément		Element	Br	Cs	Fe	Hf	Sc	Ta	Ba	Co	Cr	Ni	Rb	Zr	
Unité de mesure		measure unit	ppm	ppm	%	ppm	ppm	ppm	ppm	ppm	ppm	ppm	ppm	ppm	
Seuil de détection		detection limit	0.5	0.5	0.025	0.5	0.2	0.5	50	5	20	50	5	200	
Échantillons		UTM (E)	UTM (N)												
Samples															
91-DNA-554	x	692772	5232759	13.3	4.3	5.910	9.1	24.2	2.3	508	23	215	<50	61	290

ANNEXE 2

APPENDIX 2

Analyse géochimique du till, Fraction < 63 µm (silt et argile); Analyse par fluorescence par rayon X.

Geochemical analyses of till, < 63 µm fraction (silt and clay); Analyses by X-ray fluorescence.

Analyse géochimique du till, fraction <63 µm (silt et argile)			Big Bald Mountain 21-O/1										Méthode analytique: FRX				
Till geochemical analysis, <63 µm fraction (silt and clay)													Analytical method: XRF				
Élément		Element	Ba	Co	Cr	Cu	Ga	Nb	Ni	Pb	Rb	Sr	V	Y	Zn	Zr	
Unité de mesure		measure unit	ppm	ppm	ppm	ppm	ppm	ppm	ppm	ppm	ppm	ppm	ppm	ppm	ppm	ppm	
Seuil de détection		detection limit	50	2	4	4	2	2	3	5	3	3	5	4	5	3	
Échantillons		UTM (E)	UTM (N)														
Samples																	
86-LFA-5665	1	698250	5215900	563	13	40	31	20	25	37	20	160	112	94	50	53	528
87-LFA-0734	1	710550	5232600	612	15	40	15	19	19	<3	49	147	52	101	41	120	301
87-LFA-0735	2	712650	5232700	680	25	65	30	23	22	28	57	135	75	174	59	119	265
87-LFA-0736	1	714400	5230500	900	26	68	28	26	44	34	57	157	81	148	58	116	432
87-LFA-0737	1	717850	5227600	738	26	98	30	28	33	37	45	173	92	179	53	88	386
87-LFA-0738	2	720700	5224800	1095	50	78	32	31	34	18	70	223	70	243	49	92	418
87-LFA-0741	1	725600	5217900	606	11	42	11	25	27	16	39	178	125	107	58	52	460
87-LFA-0742	1	727060	5219025	713	18	73	34	24	24	39	29	178	113	121	56	85	352
87-LFA-0753	1	725000	5215200	455	10	73	13	19	24	15	35	145	110	105	45	64	449
87-LFA-0753	2	725000	5215200	645	22	64	29	21	22	53	25	171	96	126	55	95	310
87-LFA-0753	3	725000	5215200	653	27	87	41	26	24	60	36	184	100	145	50	116	321
87-LFA-0753	4	725000	5215200	613	22	74	41	23	24	54	39	177	111	131	52	111	319
87-LFA-0753	5	725000	5215200	640	22	86	31	24	23	48	33	182	113	136	51	111	310
87-LFA-0753	6	725000	5215200	621	24	68	35	24	22	51	35	175	108	136	51	108	307
87-LFA-1171	1	694550	5208750	424	4	41	14	18	23	22	21	124	107	66	46	45	391
87-LFA-1172	1	696200	5209800	433	10	53	9	17	21	28	25	132	97	76	45	53	380
87-LFA-1210	1	717300	5209300	604	14	67	16	25	23	33	26	164	115	109	46	66	384
87-LFA-1214	1	713100	5209850	458	13	37	8	20	31	40	33	170	94	78	58	60	398
87-LFA-1215	1	722400	5211600	679	19	67	24	23	26	61	29	177	101	116	79	76	318
87-LFA-1216	1	723350	5216300	870	24	65	23	23	26	46	29	190	99	134	49	77	336
87-LFA-1217	1	721750	5215400	678	15	68	20	23	25	32	27	162	115	114	42	61	398
87-LFA-1218	1	720050	5214450	753	22	68	21	23	26	70	26	177	114	132	92	76	328
87-LFA-1219	1	718250	5213500	677	18	57	22	25	26	38	26	168	111	108	46	65	369
87-LFA-1220	1	723800	5212100	576	18	60	27	19	22	41	33	162	94	114	42	89	343
87-LFA-1231	1	696050	5213050	696	9	36	13	23	26	28	28	151	152	84	59	43	653
87-LFA-1232	1	696550	5211350	676	19	69	19	22	25	40	25	181	114	118	40	69	399
87-LFA-1233	1	697700	5209700	441	10	50	23	19	26	31	26	139	93	78	46	57	393
87-LFA-1236	1	691300	5234250	806	33	74	47	21	22	53	18	117	65	203	41	98	269
87-LFA-1237	1	697800	5227250	641	19	71	23	21	22	44	28	111	100	108	38	71	381
87-LFA-1238	1	698550	5225900	938	53	188	70	23	24	132	33	116	80	265	38	145	290

Analyse géochimique du till, fraction <63 µm (silt et argile)
 Till geochemical analysis, <63 µm fraction (silt and clay)

Big Bald Mountain 21-O/1

Méthode analytique: FRX
 Analytical method: XRF

Élément		Element	Ba	Co	Cr	Cu	Ga	Nb	Ni	Pb	Rb	Sr	V	Y	Zn	Zr	
Unité de mesure		measure unit	ppm	ppm	ppm	ppm	ppm	ppm	ppm	ppm	ppm	ppm	ppm	ppm	ppm	ppm	
Seuil de détection		detection limit	50	2	4	4	2	2	3	5	3	3	5	4	5	3	
Échantillons		UTM (E)	UTM (N)														
Samples																	
87-LFA-1239	1	699150	5224600	600	23	78	31	20	22	30	36	125	53	123	38	88	341
87-LFA-1242	1	697200	5224900	544	11	63	13	18	23	37	32	126	96	99	44	77	473
87-LFA-1243	1	695350	5224450	471	14	69	23	21	24	27	23	127	79	103	44	79	447
87-LFA-1244	1	694100	5222850	701	30	73	28	25	28	56	27	195	71	151	50	78	343
87-LFA-1248	1	697250	5222600	566	32	67	36	18	21	43	32	120	53	163	42	123	380
87-LFA-1249	1	698700	5221700	873	20	95	50	29	33	44	59	244	107	206	61	95	393
87-LFA-1250	1	700050	5222700	973	23	84	39	31	32	43	51	245	101	185	57	94	344
87-LFA-1255	1	704350	5210350	759	18	45	17	23	28	43	33	183	116	113	65	69	396
87-LFA-1256	1	702200	5210750	570	10	50	15	24	30	39	26	181	109	90	69	60	393
87-LFA-1259	1	701550	5212050	722	17	62	19	21	29	39	27	171	128	115	54	62	433
87-LFA-1261	1	701500	5214200	769	17	39	12	24	30	63	28	180	141	120	111	67	452
87-LFA-1266	1	705000	5214800	712	21	65	17	23	27	42	23	185	94	130	49	77	360
87-LFA-1271	1	707000	5213850	744	24	49	20	25	29	48	20	191	129	128	62	81	396
87-LFA-1272	1	702250	5222700	699	23	33	14	22	26	45	32	216	95	133	62	84	383
87-LFA-1273	1	725250	5218650	631	14	59	15	21	23	30	18	157	105	103	44	56	385
87-LFA-1274	1	727100	5219500	798	24	39	16	24	35	58	33	250	96	110	73	99	336
87-LFA-1276	1	727050	5221800	867	22	68	21	23	26	46	33	183	100	137	50	75	363
87-LFA-1277	1	725400	5220800	664	17	60	16	19	25	34	31	157	90	110	44	55	338
87-LFA-1278	1	722650	5221500	705	19	55	23	25	26	40	35	161	101	118	53	72	427
87-LFA-1279	1	720800	5221000	963	30	77	27	26	29	55	33	210	75	169	60	91	354
87-LFA-1280	1	718800	5221300	998	35	91	46	29	30	55	47	226	85	208	63	94	337
87-LFA-1281	1	724600	5229250	1011	33	89	36	27	31	53	40	218	54	196	60	105	401
87-LFA-1284	1	722200	5227400	970	32	100	33	30	31	48	35	231	61	207	56	97	394
87-LFA-1285	1	722950	5228750	823	31	88	31	22	31	57	36	159	77	169	50	95	365
87-LFA-1286	1	720900	5228650	966	34	89	46	28	29	55	44	208	56	193	50	113	378
87-LFA-1287	1	719150	5228350	1003	35	108	46	26	30	48	50	233	54	208	51	113	395
87-LFA-1289	1	716600	5221000	870	35	104	50	29	27	51	42	201	83	191	47	96	355
87-LFA-1291	1	715500	5219750	945	42	84	40	26	24	58	43	224	71	187	53	93	334
87-LFA-1293	1	716250	5225900	1125	39	91	40	29	31	54	47	199	71	183	58	124	368
87-LFA-1295	1	725000	5236950	660	33	97	38	20	23	59	30	128	74	179	54	110	276

Analyse géochimique du till, fraction <63 µm (silt et argile)			Big Bald Mountain 21-O/1										Méthode analytique: FRX				
Till geochemical analysis, <63 µm fraction (silt and clay)													Analytical method: XRF				
Élément	Element		Ba	Co	Cr	Cu	Ga	Nb	Ni	Pb	Rb	Sr	V	Y	Zn	Zr	
Unité de mesure	measure unit		ppm	ppm	ppm	ppm	ppm	ppm	ppm	ppm	ppm	ppm	ppm	ppm	ppm	ppm	
Seuil de détection	detection limit		50	2	4	4	2	2	3	5	3	3	5	4	5	3	
Échantillons	UTM (E)	UTM (N)															
Samples																	
87-LFA-1297	1	723300	5234100	523	43	189	48	21	22	89	35	106	63	256	49	101	233
87-LFA-1299	1	724300	5232800	644	26	113	31	18	21	59	44	125	66	153	48	144	247
87-LFA-1301	1	700550	5220800	896	27	92	34	21	21	51	33	210	76	172	45	115	343
87-LFA-1302	1	702600	5220250	919	33	94	47	29	24	66	47	217	91	179	54	104	344
87-LFA-1303	1	704050	5218900	954	37	84	37	26	25	63	45	201	80	198	58	99	323
87-LFA-1304	1	704850	5219900	800	34	57	28	27	29	58	36	225	78	178	72	109	409
87-LFA-1305	1	706250	5218000	791	29	62	31	22	25	49	35	202	84	163	50	100	423
87-LFA-1306	1	705150	5216850	610	19	50	25	25	27	37	30	175	89	115	50	68	428
87-LFA-1307	1	707350	5216250	804	21	81	24	24	28	43	22	181	88	141	50	70	403
87-LFA-1309	1	713300	5220550	1039	33	93	47	31	29	42	50	243	64	212	59	91	427
87-LFA-1310	1	712000	5219800	599	27	96	29	23	24	31	30	167	85	148	43	88	397
87-LFA-1311	1	706600	5221350	1072	42	100	52	33	27	41	46	240	77	197	54	104	295
87-LFA-1312	1	708900	5220550	1276	30	9	32	31	42	81	135	221	55	113	130	479	565
87-LFA-1313	1	711900	5222550	983	36	74	42	33	30	61	37	218	70	177	64	112	387
87-LFA-1314	1	708500	5217650	866	29	80	27	24	30	49	39	198	74	160	63	88	417
87-LFA-1315	1	709050	5215950	809	26	64	27	25	27	44	42	186	67	140	57	77	368
87-LFA-1316	1	710750	5216500	937	30	88	30	29	29	22	55	224	72	186	47	91	391
87-LFA-1317	1	704200	5230200	376	21	89	25	22	24	36	20	104	96	148	48	65	415
87-LFA-1318	1	704700	5228300	557	30	118	34	20	25	57	22	100	123	176	37	78	345
87-LFA-1319	1	706350	5229800	520	34	144	36	20	26	70	34	103	130	202	46	80	317
87-LFA-1320	1	707700	5230950	235	43	109	41	18	27	55	17	77	144	231	51	76	337
87-LFA-1321	1	709150	5229350	581	29	100	37	22	39	60	33	92	113	154	59	121	337
87-LFA-1322	1	697950	5220450	645	31	65	23	25	37	47	23	121	103	171	62	85	508
87-LFA-1323	1	698950	5218700	764	19	69	17	26	29	33	22	187	83	134	43	61	403
87-LFA-1325	1	699700	5214750	565	13	59	20	18	26	27	20	133	118	97	49	40	558
87-LFA-1326	1	702100	5215500	677	16	55	25	23	23	51	22	181	106	104	60	75	386
87-LFA-1327	1	706150	5208600	420	4	105	7	14	20	20	17	124	126	71	50	31	651
87-LFA-1328	1	704250	5208700	725	21	80	28	26	27	40	32	173	97	140	46	67	397
87-LFA-1330	1	700050	5209600	411	6	44	8	15	23	24	30	142	93	79	48	52	433
87-LFA-1331	1	714000	5210900	522	9	44	10	19	25	20	20	141	115	81	46	46	502

Analyse géochimique du till, fraction <63 µm (silt et argile)			Big Bald Mountain 21-O/1										Méthode analytique: FRX				
Till geochemical analysis, <63 µm fraction (silt and clay)													Analytical method: XRF				
Élément	Element		Ba	Co	Cr	Cu	Ga	Nb	Ni	Pb	Rb	Sr	V	Y	Zn	Zr	
Unité de mesure	measure unit		ppm	ppm	ppm	ppm	ppm	ppm	ppm	ppm	ppm	ppm	ppm	ppm	ppm	ppm	
Seuil de détection	detection limit		50	2	4	4	2	2	3	5	3	3	5	4	5	3	
Échantillons	UTM (E)	UTM (N)															
Samples																	
87-LFA-1332	1	710500	5212750	687	16	58	17	23	29	46	23	168	112	115	72	59	435
87-LFA-1333	1	709800	5210450	641	13	61	15	23	27	31	23	161	109	107	43	68	454
87-LFA-1334	1	714850	5214550	649	12	46	10	18	26	27	20	170	115	106	48	52	523
87-LFA-1335	1	697550	5233800	448	17	59	24	24	29	53	34	175	83	98	67	77	442
87-LFA-1336	1	699400	5233700	292	14	48	9	24	29	42	28	236	60	88	64	65	340
87-LFA-1337	1	699650	5234400	330	15	50	18	26	30	47	28	209	86	88	68	74	372
87-LFA-1338	1	697500	5234950	509	40	139	29	21	25	78	29	73	100	226	48	86	302
87-LFA-1344	1	713400	5224500	909	33	125	30	24	41	80	31	145	81	159	69	150	420
87-LFA-1345	1	711500	5224600	2323	26	48	20	36	109	47	63	220	52	146	95	193	859
87-LFA-1346	1	710200	5225500	959	32	79	40	23	28	70	40	151	79	153	67	146	361
87-LFA-1347	1	710250	5227850	704	20	75	27	22	25	44	40	116	84	113	60	104	355
87-LFA-1351	1	724250	5231500	659	8	36	16	18	20	28	42	144	82	75	61	81	424
87-LFA-1353	1	722400	5232400	728	31	99	36	25	26	71	40	153	77	161	75	116	324
87-LFA-1354	1	721350	5232600	573	26	75	25	19	22	44	27	119	62	135	42	81	285
87-LFA-1355	1	721750	5234250	460	18	66	25	21	16	32	37	115	60	118	36	82	259
87-LFA-1356	1	712700	5232600	494	24	79	29	19	26	45	36	115	92	148	52	104	323
87-LFA-1357	1	714000	5230950	555	21	78	28	22	25	51	24	140	52	118	57	86	306
87-LFA-1359	1	712300	5230600	393	38	75	30	15	19	25	31	76	74	143	47	99	322
87-LFA-1360	1	710150	5231600	401	23	70	30	18	20	28	33	84	114	143	40	83	247
87-LFA-1361	1	706350	5233050	674	13	53	12	16	15	14	31	107	38	81	45	94	272
87-LFA-1362	1	705500	5231750	198	36	83	44	21	25	52	18	117	156	198	57	76	304
87-LFA-1363	1	703300	5231550	312	25	64	26	21	32	51	25	130	139	150	60	64	347
87-LFA-1364	1	701950	5230150	337	33	101	50	20	27	61	23	113	102	186	51	78	323
87-LFA-1366	1	702900	5228655	367	54	171	52	23	28	108	20	101	174	283	42	105	261
87-LFA-1367	1	708600	5232650	601	19	65	25	18	20	24	49	97	59	101	42	147	289
87-LFA-1368	1	699250	5229750	552	13	48	15	24	32	53	26	146	78	99	103	54	434
87-LFA-1369	1	700150	5230700	353	22	73	37	20	25	37	24	105	111	141	46	57	375
87-LFA-1371	1	701900	5231900	306	14	57	21	17	28	42	18	151	92	96	53	52	361
87-LFA-1372	1	710700	5235300	713	14	29	15	19	17	13	54	118	50	98	44	150	306
87-LFA-1373	1	705400	5234300	434	13	49	12	15	19	17	34	93	61	97	46	94	396

Analyse géochimique du till, fraction <63 µm (silt et argile)				Big Bald Mountain 21-O/1								Méthode analytique: FRX					
Till geochemical analysis, <63 µm fraction (silt and clay)												Analytical method: XRF					
Élément		Element		Ba	Co	Cr	Cu	Ga	Nb	Ni	Pb	Rb	Sr	V	Y	Zn	Zr
Unité de mesure		measure unit		ppm	ppm	ppm	ppm	ppm	ppm	ppm	ppm	ppm	ppm	ppm	ppm	ppm	ppm
Seuil de détection		detection limit		50	2	4	4	2	2	3	5	3	3	5	4	5	3
Échantillons		UTM (E)	UTM (N)														
Samples																	
87-LFA-1374	1	702455	5233400	270	23	65	25	26	36	38	31	139	125	149	67	88	400
87-LFA-1375	1	699150	5231700	281	7	44	15	21	28	44	26	268	52	65	61	54	290
87-LFA-1376	1	698055	5232600	439	10	42	14	27	34	49	33	236	79	76	67	69	383
87-LFA-1378	1	692350	5209400	384	5	46	6	16	26	27	27	136	97	67	54	45	505
87-LFA-1382	1	694300	5210250	787	28	89	48	27	27	41	32	202	93	156	38	92	316
87-LFA-1383	1	691100	5211500	440	11	50	14	22	23	13	20	93	176	76	48	51	613
87-LFA-1392	1	726350	5225500	747	21	63	22	24	25	36	31	180	80	130	45	82	372
87-LFA-1393	1	722900	5223800	827	31	76	42	30	28	52	51	213	72	170	50	100	370
87-LFA-1394	1	720800	5225000	1045	51	97	44	31	34	44	73	205	71	223	50	116	408
87-LFA-1395	1	718050	5226950	925	44	103	65	27	33	71	43	186	78	211	57	127	375
87-LFA-1396	1	725550	5223550	731	18	66	23	20	28	40	27	167	90	124	47	74	392
87-LFA-1397	1	719050	5234200	728	16	42	24	22	18	26	50	122	49	86	43	124	251
87-LFA-1398	1	725900	5235100	465	24	94	18	16	24	37	18	92	82	158	40	109	293
87-LFA-1399	1	698650	5229200	1262	10	30	11	29	29	43	32	142	86	62	85	55	409
87-LFA-1402	1	708500	5211400	654	15	54	13	21	27	40	22	176	117	108	52	64	363
87-LFA-1403	1	712200	5211850	470	5	37	6	23	31	35	29	211	108	66	68	46	414
87-LFA-1404	1	725050	5215450	634	19	65	22	25	25	42	28	177	84	123	47	82	340
87-LFA-1405	1	700300	5212750	598	12	52	17	23	29	33	22	149	131	100	49	51	491
87-LFA-1406	1	717100	5212750	677	19	56	20	19	25	43	28	172	109	112	44	75	355
87-LFA-1408	1	698350	5211600	529	12	50	13	22	25	30	24	158	110	91	48	54	468
87-LFA-1410	1	723150	5214150	865	29	81	29	29	28	41	41	224	86	166	46	94	280
87-LFA-1411	1	727650	5215250	447	13	70	16	18	21	21	18	132	100	104	37	58	437
87-LFA-1412	1	702750	5227250	681	55	208	65	23	27	129	21	86	96	260	34	105	242
87-LFA-1413	1	714400	5235100	732	18	23	12	20	18	17	33	113	49	126	51	117	260
87-LFA-1415	1	716550	5235900	526	14	30	15	19	15	14	41	100	50	89	37	114	244
87-LFA-1420	1	709950	5222900	1528	59	95	46	31	56	63	57	135	44	244	68	338	580
87-LFA-1451	1	726250	5217100	461	7	48	10	20	29	38	20	161	110	72	72	49	386
87-LFA-1452	1	724100	5219800	743	19	66	12	22	26	34	24	167	99	125	45	57	357
87-LFA-1453	1	714700	5221900	1068	38	106	46	29	33	43	45	240	71	238	60	102	396
87-LFA-1454	1	712700	5216750	594	16	40	13	23	28	40	20	186	102	100	61	76	455

Analyse géochimique du till, fraction <63 µm (silt et argile)
 Till geochemical analysis, <63 µm fraction (silt and clay)

Big Bald Mountain 21-O/1

Méthode analytique: FRX
 Analytical method: XRF

Élément		Element		Ba	Co	Cr	Cu	Ga	Nb	Ni	Pb	Rb	Sr	V	Y	Zn	Zr
Unité de mesure		measure unit		ppm	ppm	ppm	ppm	ppm	ppm	ppm	ppm	ppm	ppm	ppm	ppm	ppm	ppm
Seuil de détection		detection limit		50	2	4	4	2	2	3	5	3	3	5	4	5	3
Échantillons		UTM (E)	UTM (N)														
Samples																	
87-LFA-1455	1	715400	5218050	1013	34	86	42	28	34	47	39	238	72	190	52	102	348
87-LFA-1456	1	713850	5218100	857	21	73	25	25	29	41	32	208	77	146	51	74	372
87-LFA-1457	1	714700	5216500	642	21	77	19	23	28	49	26	153	87	126	50	72	474
87-LFA-1458	1	720000	5211600	593	18	48	15	20	28	34	22	195	100	97	45	69	351
87-LFA-1459	1	704900	5224900	549	23	45	16	16	18	10	43	106	51	171	38	114	243
87-LFA-1460	1	714000	5227500	903	30	75	34	26	42	68	44	147	80	145	65	137	430
87-LFA-1900	1	700250	5230750	287	27	101	19	20	23	35	19	117	60	132	42	70	278
87-LFA-1901	1	700000	5230300	277	33	101	36	21	20	43	11	91	64	167	33	109	227
87-LFA-1902	1	699750	5230000	208	27	101	23	14	19	18	16	61	66	130	29	97	263
90-DNA-002		727189	5213776	327	11	70	22	15	20	28	18	91	88	90	33	108	440
90-DNA-005		725296	5211908	480	17	72	17	18	20	28	31	136	78	114	34	88	271
90-DNA-010		721573	5211205	329	11	64	17	17	17	19	26	111	58	90	29	72	274
90-DNA-062		723062	5217724	703	19	60	17	22	25	53	21	163	104	114	62	97	345
90-DNA-065		721058	5217626	533	12	42	11	22	30	33	35	173	120	92	63	56	799
90-DNA-067		717246	5215423	396	7	48	<4	20	24	4	25	137	95	94	31	46	477
90-DNA-071		716997	5217449	261	6	55	7	19	19	<3	23	67	57	84	30	26	378
90-DNA-073		718961	5217706	565	12	58	12	18	23	28	20	136	92	99	42	51	407
90-DNA-084		724896	5225628	670	29	95	20	25	24	26	46	167	55	159	43	53	347
90-DNA-112		721138	5219606	631	15	57	13	19	25	26	26	154	96	106	45	54	406
90-DNA-113		722900	5219694	827	64	67	13	24	24	23	31	134	86	153	33	88	335
90-DNA-118		716655	5220091	371	33	78	7	13	13	<3	43	70	37	105	23	78	176
90-DNA-121		718884	5225516	646	22	70	20	23	21	26	28	158	46	143	38	72	300
90-DNA-131		718771	5228908	750	27	83	44	21	24	41	46	159	47	149	42	125	298
90-DNA-138		724592	5227748	893	30	79	37	29	31	32	36	219	62	183	53	83	401
90-DNA-158		712521	5229515	367	33	91	15	18	23	10	37	76	65	189	34	86	290
90-DNA-172		722389	5235698	412	18	63	14	19	19	14	32	87	50	108	33	128	254
90-DNA-173		724280	5236144	573	28	123	38	22	25	57	49	113	72	153	45	132	298
90-DNA-201		716806	5233495	503	17	52	14	15	17	13	24	93	59	100	36	103	244
90-DNA-204		718377	5231490	478	23	79	34	21	27	39	39	114	92	140	44	109	309
90-DNA-309		696691	5233992	431	14	56	9	22	32	38	33	204	79	89	70	72	511

Analyse géochimique du till, fraction <63 µm (silt et argile)			Big Bald Mountain 21-O/1										Méthode analytique: FRX			
Till geochemical analysis, <63 µm fraction (silt and clay)													Analytical method: XRF			
Élément	Element		Ba	Co	Cr	Cu	Ga	Nb	Ni	Pb	Rb	Sr	V	Y	Zn	Zr
Unité de mesure	measure unit		ppm	ppm	ppm	ppm	ppm	ppm	ppm	ppm	ppm	ppm	ppm	ppm	ppm	ppm
Seuil de détection	detection limit		50	2	4	4	2	2	3	5	3	3	5	4	5	3
Échantillons	UTM (E)	UTM (N)														
Samples																
90-DNA-313	696519	5232406	427	12	49	16	26	29	51	29	266	49	74	63	71	330
90-DNA-319	693595	5232084	309	34	57	64	21	56	24	20	56	65	219	61	115	457
90-DNA-330	692636	5228857	514	5	61	5	25	28	77	31	155	79	54	162	59	600
90-DNA-345	691097	5224214	460	10	37	5	34	26	<3	32	106	88	98	26	17	362
90-DNA-346	691425	5223313	427	< 2	49	<4	26	36	6	37	156	130	66	44	18	882
90-DNA-350	692660	5222773	419	< 2	23	<4	28	45	75	33	153	82	30	197	<5	1106
90-DNA-398	710897	5215945	637	23	93	20	24	22	37	20	172	76	140	40	82	329
90-DNA-412	706092	5215813	559	19	70	14	21	25	27	17	149	80	125	36	64	332
90-DNA-438	702395	5221873	716	28	50	18	25	28	44	23	202	104	156	73	81	614
90-DNA-458	710322	5213193	498	9	50	7	23	31	22	27	142	109	102	41	45	497
90-DNA-492	694514	5211443	575	15	63	36	19	22	29	22	152	103	103	44	55	429
90-DNA-493	693342	5212045	592	15	60	34	21	26	45	25	171	112	108	60	58	436
90-DNA-501	691979	5208713	395	4	46	11	17	24	17	28	135	95	64	47	41	388
90-DNA-507	690144	5212164	367	10	36	9	18	24	26	28	141	85	70	53	59	446
91-DNA-049	x 692239	5234648	451	7	37	9	27	22	21	17	116	65	40	62	48	736
91-DNA-050	x 694284	5234744	595	20	100	130	26	24	85	26	139	58	138	52	94	435
91-DNA-051	x 696353	5234801	267	13	42	13	26	16	29	26	199	54	60	46	93	363
91-DNA-052	x 690383	5232604	483	12	47	21	17	17	23	34	116	78	82	42	90	356
91-DNA-053	x 690414	5230559	624	35	134	35	34	25	19	31	125	53	184	34	47	278
91-DNA-054	x 692422	5230579	632	15	77	51	24	20	43	40	158	68	118	42	96	318
91-DNA-055	x 694669	5230672	389	13	66	30	20	21	44	34	115	78	74	52	62	458
91-DNA-056	x 696499	5230730	360	12	58	16	21	26	39	34	122	72	71	63	56	432
91-DNA-057	x 690561	5228533	360	8	36	9	21	19	17	33	94	59	44	50	58	393
91-DNA-058	x 694598	5228751	431	7	39	11	23	21	27	34	106	78	43	68	57	638
91-DNA-059	x 696919	5228530	347	10	31	55	31	16	4	28	79	49	42	37	66	490
91-DNA-060	x 704073	5233344	597	31	106	51	23	23	49	26	144	32	164	34	156	255
91-DNA-061	x 701211	5229121	333	22	86	29	19	19	46	17	93	94	113	45	50	388
91-DNA-062	x 706309	5235113	633	21	44	17	22	17	20	33	94	48	105	39	134	283
91-DNA-063	x 708596	5235147	418	7	18	< 4	14	11	< 3	53	87	28	33	35	51	270
91-DNA-064	x 711855	5235513	593	13	42	12	19	14	18	47	104	48	91	40	96	264

Analyse géochimique du till, fraction <63 µm (silt et argile)			Big Bald Mountain 21-O/1										Méthode analytique: FRX				
Till geochemical analysis, <63 µm fraction (silt and clay)													Analytical method: XRF				
Élément		Element	Ba	Co	Cr	Cu	Ga	Nb	Ni	Pb	Rb	Sr	V	Y	Zn	Zr	
Unité de mesure		measure unit	ppm	ppm	ppm	ppm	ppm	ppm	ppm	ppm	ppm	ppm	ppm	ppm	ppm	ppm	
Seuil de détection		detection limit	50	2	4	4	2	2	3	5	3	3	5	4	5	3	
Échantillons		UTM (E)	UTM (N)														
Samples																	
91-DNA-065	x	718691	5235457	521	13	58	17	22	20	18	28	126	53	104	42	76	283
91-DNA-066	x	714522	5233624	529	18	49	35	19	16	59	50	106	64	101	40	114	293
91-DNA-067	x	716452	5233466	588	11	42	17	17	16	17	45	93	64	84	39	87	277
91-DNA-068	x	717033	5231532	537	23	90	34	20	21	42	33	134	78	139	37	113	303
91-DNA-069	x	714601	5229380	512	18	55	29	24	20	30	35	134	73	93	43	95	331
91-DNA-070	x	716494	5228960	455	25	91	67	19	21	72	33	88	84	132	49	93	330
91-DNA-071	x	720280	5235410	540	20	71	31	26	21	38	26	143	51	116	45	88	276
91-DNA-072	x	720883	5233906	500	15	56	25	20	20	33	32	122	70	98	73	80	327
91-DNA-073	x	726429	5231532	705	22	79	41	29	25	40	36	169	58	130	46	131	366
91-DNA-074	x	720521	5229253	429	25	91	16	22	21	18	37	106	57	142	37	70	303
91-DNA-075	x	726476	5229819	904	23	99	40	32	29	27	41	223	57	171	51	114	387
91-DNA-115	x	690607	5226541	289	9	34	< 4	23	10	< 3	28	56	44	39	38	18	268
91-DNA-116	x	692599	5226648	339	9	23	6	30	27	15	46	147	53	37	56	67	412
91-DNA-117	x	696658	5226794	532	23	95	18	18	13	50	16	73	99	99	39	69	311
91-DNA-118	x	692998	5224801	320	5	31	5	18	13	8	32	85	64	45	37	35	465
91-DNA-119	x	692734	5222557	436	8	37	6	27	22	25	24	151	95	61	63	65	482
91-DNA-120	x	700633	5226888	513	13	62	19	26	14	15	34	80	73	105	31	63	395
91-DNA-121	x	704594	5227073	680	18	61	26	25	23	38	55	102	92	102	51	98	298
91-DNA-122	x	700730	5224914	391	14	51	17	22	15	22	24	90	63	81	35	68	411
91-DNA-123	x	702450	5224794	576	18	60	30	22	18	37	29	113	85	114	36	91	402
91-DNA-124	x	704636	5222954	474	9	58	17	19	21	28	34	117	84	70	51	67	457
91-DNA-125	x	706698	5227108	580	19	88	55	21	20	40	97	114	78	121	40	173	368
91-DNA-126	x	708644	5227162	529	15	56	11	30	44	28	50	109	73	73	77	104	486
91-DNA-127	x	706654	5225152	789	16	47	16	24	16	12	31	93	54	73	39	56	305
91-DNA-128	x	708670	5225190	672	22	79	31	26	24	47	54	158	73	118	47	104	323
91-DNA-129	x	706774	5223044	1055	26	113	52	33	25	23	47	253	48	196	50	102	370
91-DNA-130	x	708796	5223107	1802	38	103	64	38	99	94	1319	159	62	136	228	596	764
91-DNA-131	x	713504	5227520	624	20	95	31	25	31	60	31	121	98	127	58	108	406
91-DNA-132	x	716654	5227453	533	44	116	53	25	25	76	34	101	91	165	43	96	325
91-DNA-133	x	714771	5225361	891	31	89	102	32	40	62	45	128	72	118	72	153	499

Analyse géochimique du till, fraction <63 µm (silt et argile)
 Till geochemical analysis, <63 µm fraction (silt and clay)

Big Bald Mountain 21-O/1

Méthode analytique: FRX
 Analytical method: XRF

Élément		Element		Ba	Co	Cr	Cu	Ga	Nb	Ni	Pb	Rb	Sr	V	Y	Zn	Zr
Unité de mesure		measure unit		ppm													
Seuil de détection		detection limit		50	2	4	4	2	2	3	5	3	3	5	4	5	3
Échantillons		UTM (E)	UTM (N)														
Samples																	
91-DNA-134	x	715059	5223246	876	34	155	50	26	27	63	31	115	106	193	43	129	346
91-DNA-135	x	716885	5223377	985	37	117	61	34	30	54	44	198	94	193	51	113	386
91-DNA-136	x	718953	5223752	526	24	86	27	29	28	24	32	107	57	131	50	72	417
91-DNA-137	x	720750	5227597	504	33	96	40	17	20	16	31	91	39	116	38	46	283
91-DNA-138	x	726718	5227831	587	39	97	15	17	15	< 3	50	98	39	138	27	72	219
91-DNA-139	x	722032	5226153	664	16	85	27	26	25	26	34	161	63	145	45	94	382
91-DNA-140	x	720874	5223661	816	27	81	42	28	31	40	55	160	69	153	53	173	412
91-DNA-141	x	726868	5223502	635	16	71	15	24	23	26	32	172	84	114	36	79	348
91-DNA-184	x	691247	5220816	615	18	42	21	25	20	28	36	144	97	77	50	63	710
91-DNA-185	x	692788	5220813	437	25	82	18	25	28	41	20	128	103	145	49	67	391
91-DNA-186	x	694787	5220680	364	14	51	13	21	16	18	26	90	75	83	39	41	394
91-DNA-187	x	696444	5220656	678	21	72	46	26	25	40	22	174	79	123	44	75	455
91-DNA-188	x	691406	5218493	420	18	77	22	21	19	42	22	105	88	99	37	49	536
91-DNA-189	x	693015	5218770	493	20	46	19	25	24	30	27	142	94	102	41	65	502
91-DNA-190	x	694708	5217981	515	14	39	12	23	22	22	27	141	106	80	38	62	459
91-DNA-191	x	697070	5218895	497	13	82	13	25	21	43	15	145	90	112	41	36	405
91-DNA-192	x	690913	5216541	525	25	62	25	25	25	39	31	174	79	121	37	96	420
91-DNA-193	x	693009	5216382	420	14	51	8	22	19	18	22	102	108	83	39	62	516
91-DNA-194	x	694903	5216545	443	12	37	11	23	19	16	27	123	103	77	38	55	575
91-DNA-195	x	697119	5216517	556	10	39	7	23	24	23	21	141	123	78	55	48	494
91-DNA-196	x	691008	5214539	570	12	35	9	24	28	25	32	165	108	73	69	66	599
91-DNA-197	x	692995	5214641	546	9	41	13	21	23	26	24	128	131	72	57	57	795
91-DNA-198	x	695086	5214725	452	7	48	8	20	19	18	27	106	120	74	41	38	630
91-DNA-199	x	697050	5214528	509	14	54	18	21	23	29	27	140	118	85	39	57	575
91-DNA-200	x	704782	5221095	402	29	152	29	20	17	78	25	105	95	166	43	84	327
91-DNA-201	x	700844	5218998	583	17	68	23	26	25	30	25	140	75	114	43	112	406
91-DNA-202	x	703139	5219321	682	34	130	33	27	24	13	47	155	61	218	34	78	295
91-DNA-203	x	700896	5216875	592	15	61	20	28	23	25	20	161	94	104	38	66	413
91-DNA-204	x	703005	5216989	634	20	66	36	29	26	41	20	177	107	118	52	63	367
91-DNA-205	x	710817	5221208	775	25	89	40	26	23	53	52	170	66	148	53	151	360

Analyse géochimique du till, fraction <63 µm (silt et argile)			Big Bald Mountain 21-O/1										Méthode analytique: FRX				
Till geochemical analysis, <63 µm fraction (silt and clay)													Analytical method: XRF				
Élément		Element	Ba	Co	Cr	Cu	Ga	Nb	Ni	Pb	Rb	Sr	V	Y	Zn	Zr	
Unité de mesure		measure unit	ppm	ppm	ppm	ppm	ppm	ppm	ppm	ppm	ppm	ppm	ppm	ppm	ppm	ppm	
Seuil de détection		detection limit	50	2	4	4	2	2	3	5	3	3	5	4	5	3	
Échantillons		UTM (E)	UTM (N)														
Samples																	
91-DNA-206	x	708854	5219192	840	23	99	86	31	26	41	37	233	72	191	62	76	460
91-DNA-207	x	710940	5219175	809	33	98	61	26	27	54	50	188	88	150	56	103	389
91-DNA-208	x	712955	5219323	891	24	106	75	32	28	32	103	216	77	180	55	105	383
91-DNA-209	x	718949	5219434	614	16	62	18	24	21	29	25	150	82	116	37	71	380
91-DNA-210	x	713100	5215333	604	17	69	24	23	21	38	22	150	91	106	41	75	378
91-DNA-211	x	719088	5215487	572	12	63	9	20	23	30	18	149	125	90	52	81	500
91-DNA-212	x	724894	5221736	576	11	58	16	21	21	28	23	141	97	100	38	64	418
91-DNA-248	x	690507	5212378	352	9	30	11	22	21	21	25	146	97	63	52	49	517
91-DNA-249	x	693058	5212617	465	19	32	31	23	23	49	28	169	117	62	88	56	602
91-DNA-250	x	695337	5212673	611	24	56	60	25	24	47	37	159	109	99	45	104	410
91-DNA-251	x	703129	5212904	516	11	56	17	23	22	27	24	143	101	94	49	68	514
91-DNA-252	x	705077	5213068	496	10	52	16	22	21	21	28	130	105	86	42	56	462
91-DNA-253	x	699111	5210850	534	12	53	20	20	19	32	26	145	112	91	35	64	373
91-DNA-254	x	701349	5211053	534	9	46	11	24	21	38	31	131	103	73	102	51	466
91-DNA-255	x	701454	5208625	446	10	48	31	21	22	28	25	130	108	74	53	68	470
91-DNA-256	x	709145	5213187	538	12	46	16	20	22	25	22	140	119	77	52	56	499
91-DNA-257	x	706874	5211171	446	13	44	17	18	20	27	21	143	97	71	42	72	428
91-DNA-258	x	710500	5211550	644	15	70	25	27	25	34	24	162	110	124	39	58	405
91-DNA-259	x	709247	5209147	403	10	48	15	19	20	30	24	128	83	67	43	62	400
91-DNA-260	x	711255	5209160	493	11	55	12	20	23	26	29	146	114	80	42	65	411
91-DNA-261	x	713104	5213344	569	14	61	18	22	23	28	23	128	120	92	44	67	527
91-DNA-262	x	715408	5212969	593	15	58	19	22	26	32	24	139	114	98	42	70	460
91-DNA-263	x	717346	5213226	473	6	43	6	22	17	15	24	123	107	71	37	45	408
91-DNA-264	x	715118	5211488	439	5	43	6	19	21	23	21	128	132	61	47	48	620
91-DNA-265	x	715355	5209309	663	25	53	27	20	20	48	26	133	118	73	51	57	450
91-DNA-266	x	719350	5209399	550	20	65	8	28	20	29	23	147	102	140	31	90	248
91-DNA-267	x	721654	5213345	378	8	39	8	21	22	30	32	160	90	55	55	68	493
91-DNA-268	x	725353	5213598	605	21	67	34	24	20	36	29	165	88	112	34	81	328
91-DNA-269	x	727263	5211767	504	13	59	5	22	20	24	24	159	99	95	36	73	396
91-DNA-270	x	721389	5209554	511	12	62	23	25	18	34	28	145	88	91	36	71	333

Analyse géochimique du till, fraction <63 µm (silt et argile)				Big Bald Mountain 21-O/1										Méthode analytique: FRX			
Till geochemical analysis, <63 µm fraction (silt and clay)														Analytical method: XRF			
Élément		Element		Ba	Co	Cr	Cu	Ga	Nb	Ni	Pb	Rb	Sr	V	Y	Zn	Zr
Unité de mesure		measure unit		ppm	ppm	ppm	ppm	ppm	ppm	ppm	ppm	ppm	ppm	ppm	ppm	ppm	ppm
Seuil de détection		detection limit		50	2	4	4	2	2	3	5	3	3	5	4	5	3
Échantillons		UTM (E)	UTM (N)														
Samples																	
91-DNA-271	x	723224	5209637	468	13	58	11	21	20	32	29	140	114	88	35	101	389
91-DNA-272	x	725070	5209874	529	18	67	22	25	20	38	31	158	94	110	36	89	351
91-DNA-273	x	728001	5209997	437	14	54	18	22	19	32	33	155	90	90	39	88	367
91-DNA-554	x	692772	5232759	605	26	271	57	20	29	77	17	67	178	193	34	71	362

ANNEXE 3A

APPENDIX 3A

Reproduction d'analyses pour comparaison des résultats; Analyse géochimique du till, Fraction < 63 µm (silt et argile); Analyse par activation neutronique instrumentale.

Duplicate analyses for reproducibility tests; Geochemical analyses of till, < 63 µm fraction (silt and clay); Analyses by instrumental neutron activation.

PARTIE A

PART A

Reproduction d'analyses pour comparaison des résultats																				
<i>Duplicate analysis for results comparison</i>																				
Analyse géochimique du till, fraction <63 µm (silt et argile)										Big Bald Mountain 21-O/1					Méthode analytique: AANI					
<i>Till geochemical analysis, <63 µm fraction (silt and clay)</i>										<i>Analytical method: INAA</i>										
										Terres rares / Rare Earth										
Éléments		Element		Ag	As	Au	Mo	Sb	W	Ce	Eu	Ho	La	Lu	Nd	Sm	Tb	Th	U	Yb
Unité de mesure		measure unit		ppm	ppm	ppb	ppm	ppm	ppm	ppm	ppm	ppm	ppm	ppm	ppm	ppm	ppm	ppm	ppm	ppm
Seuil de détection		detection limit		2	0.5	2	1	0.1	1	2	0.2	0.5	2	0.1	5	0.1	0.2	0.2	0.5	0.2
Échantillons		UTM (E)	UTM (N)																	
Samples																				
87-LFA-1238	1	698550	5225900	< 2	52	5	6	2.0	4	146.5	1.5	1.7	52.3	0.63	43.8	8.4	1.1	17.0	9.0	4.0
87-LFA-1291	1	715500	5219750	< 2	61	3	2	1.3	3	165.0	2.1	2.4	65.6	0.89	58.5	11.5	1.6	24.3	7.2	6.1
87-LFA-1331	1	714000	5210900	< 2	7	< 2	< 1	0.3	3	81.9	1.3	1.9	42.3	0.84	37.4	7.3	1.3	22.6	5.4	5.2
87-LFA-1345	1	711500	5224600	< 2	86	4	4	2.4	6	256.9	3.4	4.0	113.0	1.50	95.5	18.8	3.0	23.4	5.3	10.4
87-LFA-1359	1	712300	5230600	< 2	38	< 2	85	0.7	3	81.9	1.6	1.8	34.6	0.69	30.4	7.2	1.3	13.7	4.9	4.5
87-LFA-1375	1	699150	5231700	< 2	32	3	< 1	5.0	6	138.2	1.2	2.8	68.7	1.20	54.9	11.0	1.9	39.3	18.6	7.7
87-LFA-1383	1	691100	5211500	< 2	32	< 2	< 1	0.4	2	133.1	1.7	2.3	52.9	0.88	47.9	9.2	1.5	21.8	4.9	5.6
87-LFA-1399	1	698650	5229200	< 2	6	4	< 1	0.7	6	1040.0	3.4	4.1	460.4	1.20	331.8	44.9	3.3	91.7	22.4	8.0
87-LFA-1412	1	702750	5227250	< 2	26	< 2	3	3.0	3	90.5	2.0	1.4	41.4	0.59	39.4	7.8	1.2	12.6	6.6	3.9
87-LFA-1420	1	709950	5222900	< 2	30	5	3	1.1	4	291.5	3.3	2.9	83.4	1.20	88.2	16.9	2.4	21.4	5.2	8.1
90-DNA-113	1	722900	5219694	< 2	15	< 2	4	0.4	< 2	67.2	1.1	1.6	32.7	0.70	28.2	5.2	1.0	14.0	5.6	4.4
90-DNA-319	1	693595	5232084	< 2	13	2	1	5.0	17	142.7	2.6	2.2	66.4	0.90	67.1	12.9	1.8	7.9	2.6	6.1
90-DNA-330	1	692636	5228857	< 2	11	4	< 1	0.4	4	427.7	4.3	6.8	273.4	2.50	233.1	39.8	5.5	59.1	31.9	16.2
90-DNA-346	1	691425	5223313	< 2	2	< 2	4	0.3	3	102.5	1.2	1.7	69.8	0.97	44.5	7.3	1.0	17.2	5.8	5.7
90-DNA-350	1	692660	5222773	< 2	6	4	< 1	< .1	4	351.9	2.6	8.5	165.0	3.40	153.1	31.8	5.8	50.7	16.8	22.5
91-DNA-051	x	696353	5234801	< 2	6	< 2	< 1	1.1	< 2	95.8	0.9	1.7	35.2	0.86	29.0	4.6	1.2	27.0	8.7	5.3
91-DNA-115	x	690607	5226541	< 2	6	< 2	2	0.1	2	159.0	1.4	1.8	87.2	0.72	67.1	10.8	1.6	48.0	5.9	4.6
91-DNA-117	x	696658	5226794	< 2	175	3	1	0.5	2	228.4	2.4	1.9	68.3	0.69	67.3	12.2	1.4	33.1	4.4	4.7
91-DNA-130	x	708796	5223107	< 2	57	8	17	2.0	4	456.9	8.6	11.0	241.3	2.70	287.5	62.7	9.8	66.1	11.6	20.5
91-DNA-133	x	714771	5225361	< 2	31	9	2	1.4	3	171.2	3.0	3.3	62.1	1.40	71.4	16.2	2.5	20.9	7.0	8.9
91-DNA-138	x	726718	5227831	< 2	72	3	3	0.9	2	64.9	1.0	1.2	31.6	0.44	23.6	5.3	1.0	13.7	3.4	2.8

ANNEXE 3B

APPENDIX 3B

Reproduction d'analyses pour comparaison des résultats; Analyse géochimique du till,
Fraction < 63 µm (silt et argile); Analyse par activation neutronique instrumentale.

*Duplicate analyses for reproducibility tests; Geochemical analyses of till, <63 µm fraction
(silt and clay); Analyses by instrumental neutron activation.*

PARTIE B

PART B

Reproduction d'analyses pour comparaison des résultats <i>Duplicate analysis for results comparison</i>										Méthode analytique: AANI <i>Analytical method: INAA</i>					
Analyse géochimique du till, fraction <63 µm (silt et argile) <i>Till geochemical analysis, <63 µm fraction (silt and clay)</i>										Big Bald Mountain 21-O/1					
										Pour un seuil de détection plus bas, voir les résultats d'analyse par FX. <i>For a lower detection limit, see the XRF analysis results.</i>					
Élément		<i>Element</i>		Br	Cs	Fe	Hf	Sc	Ta	Ba	Co	Cr	Ni	Rb	Zr
Unité de mesure		<i>measure unit</i>		ppm	ppm	%	ppm	ppm	ppm	ppm	ppm	ppm	ppm	ppm	ppm
Seuil de détection		<i>detection limit</i>		0.5	0.5	0.025	0.5	0.2	0.5	50	5	20	50	5	200
Échantillons		UTM (E)		UTM (N)											
<i>Samples</i>															
87-LFA-1238	1	698550	5225900	4.1	8.8	7.290	8.3	25.5	1.7	813	30	191	99	109	356
87-LFA-1291	1	715500	5219750	3.7	10.8	5.990	10.0	24.7	1.8	858	48	100	< 50	214	400
87-LFA-1331	1	714000	5210900	12.7	4.4	3.240	15.2	13.4	1.9	571	8	57	< 50	134	572
87-LFA-1345	1	711500	5224600	6.8	9.2	6.030	22.0	18.6	8.1	2100	9	82	< 50	217	788
87-LFA-1359	1	712300	5230600	30.0	3.5	6.610	8.9	17.2	1.7	374	18	82	< 50	78	301
87-LFA-1375	1	699150	5231700	1.8	16.9	3.480	10.1	16.8	5.7	431	10	45	< 50	314	451
87-LFA-1383	1	691100	5211500	4.5	3.1	3.820	18.7	16.5	2.4	529	13	50	< 50	90	626
87-LFA-1399	1	698650	5229200	1.9	6.1	3.540	13.8	27.6	2.6	849	17	57	64	132	523
87-LFA-1412	1	702750	5227250	10.2	5.2	8.380	7.3	28.6	2.5	731	41	237	135	101	256
87-LFA-1420	1	709950	5222900	13.1	5.0	9.180	16.6	33.6	4.0	1120	34	123	83	142	576
90-DNA-113	1	722900	5219694	2.4	4.9	10.500	11.7	17.1	2.0	687	14	73	51	144	332
90-DNA-319	1	693595	5232084	1.3	6.1	6.240	11.2	25.7	4.0	313	24	51	< 50	62	408
90-DNA-330	1	692636	5228857	3.2	8.0	3.010	21.1	18.4	1.7	466	8	53	< 50	145	706
90-DNA-346	1	691425	5223313	1.2	8.5	1.020	27.7	11.8	2.8	651	< 5	59	< 50	147	855
90-DNA-350	1	692660	5222773	0.9	2.7	0.446	36.0	7.8	5.3	560	< 5	24	< 50	142	1000
91-DNA-051	x	696353	5234801	18.3	16.4	3.350	11.3	13.2	2.3	292	11	47	< 50	185	303
91-DNA-115	x	690607	5226541	75.5	3.0	3.810	9.8	9.2	1.4	197	< 5	41	< 50	53	241
91-DNA-117	x	696658	5226794	35.7	4.6	4.570	9.2	18.4	< .5	500	22	117	< 50	64	296
91-DNA-130	x	708796	5223107	24.5	7.6	8.670	24.4	17.1	8.0	1200	17	106	< 50	142	703
91-DNA-133	x	714771	5225361	29.9	10.7	6.210	14.2	18.5	4.4	810	23	106	< 50	120	516
91-DNA-138	x	726718	5227831	38.7	3.7	9.650	6.4	11.3	1.0	397	6	77	< 50	95	< 200

ANNEXE 4

APPENDIX 4

Reproduction d'analyses pour comparaison des résultats; Analyse géochimique du till,
Fraction < 63 µm (silt et argile); Analyse par fluorescence par rayon X.

*Duplicate analyses for reproducibility tests; Geochemical analyses of till, <63 µm fraction
(silt and clay); Analyses by X-ray fluorescence.*

Reproduction d'analyses pour comparaison des résultats																	
Duplicate analysis for results comparison																	
Analyse géochimique du till, fraction <63 µm (silt et argile)										Big Bald Mountain 21-O/1			Méthode analytique: FRX				
Till geochemical analysis, <63 µm fraction (silt and clay)										Analytical method: XRF							
Élément	Element	Ba	Co	Cr	Cu	Ga	Nb	Ni	Pb	Rb	Sr	V	Y	Zn	Zr		
Unité de mesure	measure unit	ppm	ppm	ppm	ppm	ppm	ppm	ppm	ppm	ppm	ppm	ppm	ppm	ppm	ppm		
Seuil de détection	detection limit	50	2	4	4	2	2	3	5	3	3	5	4	5	3		
Échantillons	UTM (E)	UTM (N)															
Samples																	
87-LFA-0742	1	727060	5219025	717	20	64	33	25	38	40	23	206	120	127	62	91	340
87-LFA-1238	1	698550	5225900	1013	36	243	70	19	25	122	31	119	82	246	38	132	309
87-LFA-1291	1	715500	5219750	1055	47	120	56	32	26	61	52	228	75	172	54	110	351
87-LFA-1331	1	714000	5210900	542	6	46	7	21	23	13	21	147	117	74	46	53	520
87-LFA-1345	1	711500	5224600	2828	16	95	35	48	124	54	66	216	51	142	97	204	890
87-LFA-1359	1	712300	5230600	386	20	103	29	10	19	20	36	76	73	127	44	94	334
87-LFA-1366	1	702900	5228655	470	42	240	62	26	31	102	24	102	176	249	46	111	269
87-LFA-1383	1	691100	5211500	442	9	46	20	17	23	23	22	92	175	63	50	57	631
87-LFA-1399	1	698650	5229200	1349	14	27	22	35	27	40	30	139	84	60	83	71	412
87-LFA-1412	1	702750	5227250	869	41	282	64	20	30	129	25	88	96	250	36	107	252
87-LFA-1420	1	709950	5222900	1745	39	163	60	36	62	66	57	134	42	230	67	310	584
90-DNA-113		722900	5219694	920	25	119	12	29	28	22	35	137	90	160	38	99	383
90-DNA-319		693595	5232084	289	24	53	75	30	62	25	18	56	62	207	61	118	481
90-DNA-330		692636	5228857	445	5	27	5	23	26	58	27	153	78	44	158	65	637
90-DNA-346		691425	5223313	446	<2	30	<4	33	37	<3	34	155	131	51	46	25	914
90-DNA-350		692660	5222773	425	<2	<4	<4	27	44	56	34	154	82	19	192	14	1165
91-DNA-051		696353	5234801	240	11	37	10	26	16	24	28	199	56	62	47	87	371
91-DNA-121		704594	5227073	700	18	64	22	22	34	42	52	108	101	111	59	103	297
91-DNA-122		700730	5224914	348	12	55	20	16	20	23	18	90	72	81	41	73	391
91-DNA-123		702450	5224794	576	17	62	33	24	25	39	23	114	93	111	40	100	370
91-DNA-124		704636	5222954	466	5	62	21	21	25	42	20	120	92	71	56	76	442
91-DNA-125		706698	5227108	526	22	76	52	23	24	37	105	116	84	128	43	179	350
91-DNA-126		708644	5227162	522	14	57	10	28	83	36	46	113	81	85	82	107	460
91-DNA-128		708670	5225190	666	25	64	35	33	21	55	45	155	80	116	51	117	319
91-DNA-130		708796	5223107	1752	38	106	69	38	98	85	1308	155	63	136	228	590	771
91-DNA-133		714771	5225361	851	32	67	87	41	59	67	39	134	76	111	76	162	490
91-DNA-138		726718	5227831	559	69	80	23	22	11	14	49	103	45	142	24	81	208
91-DNA-139		722032	5226153	648	16	77	22	24	36	29	38	166	72	142	46	103	358

Reproduction d'analyses pour comparaison des résultats																
<i>Duplicate analysis for results comparison</i>																
Analyse géochimique du till, fraction <63 µm (silt et argile)										Big Bald Mountain 21-O/1			Méthode analytique: FRX			
<i>Till geochemical analysis, <63 µm fraction (silt and clay)</i>										<i>Analytical method: XRF</i>						
Élément	<i>Element</i>	Ba	Co	Cr	Cu	Ga	Nb	Ni	Pb	Rb	Sr	V	Y	Zn	Zr	
Unité de mesure	<i>measure unit</i>	ppm	ppm	ppm	ppm	ppm	ppm	ppm	ppm	ppm	ppm	ppm	ppm	ppm	ppm	
Seuil de détection	<i>detection limit</i>	50	2	4	4	2	2	3	5	3	3	5	4	5	3	
Échantillons	UTM (E)	UTM (N)														
<i>Samples</i>																
91-DNA-140	720874	5223661	773	33	67	50	32	32	54	58	165	71	155	51	185	395
91-DNA-141	726868	5223502	640	17	59	22	21	29	36	33	172	94	116	39	89	349
91-DNA-187	696444	5220656	668	20	75	44	27	48	31	13	203	91	137	51	77	441
91-DNA-188	691406	5218493	420	17	77	25	13	42	28	21	125	102	107	46	53	466
91-DNA-189	693015	5218770	478	16	59	19	22	46	24	26	168	104	103	47	66	502
91-DNA-190	694708	5217981	546	8	51	16	15	42	12	15	164	120	86	47	63	465
91-DNA-191	697070	5218895	520	13	75	21	28	26	47	13	156	100	118	46	37	400
91-DNA-192	690913	5216541	479	22	59	19	28	28	39	17	173	81	130	36	98	382
91-DNA-193	693009	5216382	428	13	68	20	16	40	15	17	119	120	104	48	72	493
91-DNA-194	694903	5216545	465	6	53	16	12	39	8	23	147	118	86	46	60	610
91-DNA-195	697119	5216517	555	4	51	13	25	33	31	25	148	128	82	56	44	475
91-DNA-196	691008	5214539	585	8	51	17	17	56	19	34	199	123	88	85	71	607
91-DNA-197	692995	5214641	530	4	58	14	16	51	14	26	152	145	85	69	58	796
91-DNA-198	695086	5214725	398	4	59	12	16	26	19	26	108	127	80	43	41	557
91-DNA-199	697050	5214528	488	9	50	15	24	32	28	20	142	126	92	43	52	564
91-DNA-200	704782	5221095	394	32	125	24	16	14	69	10	106	99	162	42	91	307
91-DNA-201	700844	5218998	573	17	75	26	21	54	20	28	166	88	125	54	119	407
91-DNA-202	703139	5219321	606	56	93	39	27	16	24	33	149	61	216	31	87	272
91-DNA-203	700896	5216875	588	14	74	26	19	49	19	24	194	109	117	54	79	393
91-DNA-204	703005	5216989	625	19	73	44	20	51	31	20	211	120	142	63	72	369
91-DNA-205	710817	5221208	800	28	85	42	22	42	42	53	200	77	162	59	171	350
91-DNA-206	708854	5219192	820	30	82	62	29	20	54	23	231	72	201	60	75	422
91-DNA-207	710940	5219175	824	35	82	55	34	25	57	48	190	88	159	56	104	373
91-DNA-208	712955	5219323	835	34	84	66	30	22	48	98	203	79	181	56	116	372
91-DNA-209	718949	5219434	591	14	50	25	27	31	36	36	153	89	106	41	81	358
91-DNA-210	713100	5215333	564	13	54	19	21	25	35	24	149	97	98	42	73	355
91-DNA-211	719088	5215487	545	6	66	14	24	31	36	22	146	130	90	52	83	464
91-DNA-212	724894	5221736	565	6	59	14	19	24	32	9	138	101	97	37	68	402

Reproduction d'analyses pour comparaison des résultats

Duplicate analysis for results comparison

Analyse géochimique du till, fraction <63 µm (silt et argile)

Big Bald Mountain 21-O/1

Méthode analytique: FRX

Till geochemical analysis, <63 µm fraction (silt and clay)

Analytical method: XRF

Élément	Element	Ba	Co	Cr	Cu	Ga	Nb	Ni	Pb	Rb	Sr	V	Y	Zn	Zr	
Unité de mesure	measure unit	ppm	ppm	ppm	ppm	ppm	ppm	ppm	ppm	ppm	ppm	ppm	ppm	ppm	ppm	
Seuil de détection	detection limit	50	2	4	4	2	2	3	5	3	3	5	4	5	3	
Échantillons	UTM (E)	UTM (N)														
Samples																
91-DNA-248	690507	5212378	380	2	49	16	17	45	15	19	174	113	62	68	54	509
91-DNA-249	693058	5212617	494	10	49	35	17	40	41	18	197	130	70	101	56	588
91-DNA-250	695337	5212673	576	16	49	44	23	31	37	24	158	111	98	44	105	402
91-DNA-251	703129	5212904	547	6	62	21	28	30	36	16	146	107	97	51	72	480
91-DNA-252	705077	5213068	489	5	55	19	18	30	26	39	136	117	88	47	58	468
91-DNA-253	699111	5210850	557	5	56	20	25	19	30	18	147	119	90	35	63	385
91-DNA-254	701349	5211053	547	6	48	15	25	35	52	35	135	114	70	111	52	467
91-DNA-255	701454	5208625	449	6	59	35	14	51	23	23	156	124	89	68	75	454
91-DNA-256	709145	5213187	521	5	47	14	26	32	32	22	149	134	88	52	53	500
91-DNA-257	706874	5211171	450	3	44	9	18	30	29	22	147	107	73	46	71	421
91-DNA-258	710500	5211550	610	13	68	22	26	31	36	13	161	119	117	42	54	401
91-DNA-259	709247	5209147	405	4	55	19	18	26	33	24	129	91	76	44	66	396
91-DNA-260	711255	5209160	475	6	56	15	26	28	31	23	148	118	80	45	65	421
91-DNA-261	713104	5213344	544	7	58	17	19	28	27	29	127	121	94	45	66	499
91-DNA-262	715408	5212969	548	10	58	19	27	31	38	20	139	119	94	41	70	432
91-DNA-263	717346	5213226	495	3	56	14	20	28	21	29	125	120	78	42	52	416
91-DNA-264	715118	5211488	453	<2	45	11	23	33	24	18	134	144	61	57	42	658
91-DNA-265	715355	5209309	682	18	63	26	19	19	49	17	132	123	83	55	57	458
91-DNA-266	719350	5209399	526	23	72	19	19	40	19	19	171	117	143	38	99	262
91-DNA-267	721654	5213345	380	<2	45	14	22	32	34	29	160	99	60	56	71	460
91-DNA-268	725353	5213598	587	17	61	30	18	23	39	19	168	98	112	35	84	319
91-DNA-269	727263	5211767	485	9	59	15	23	26	32	19	161	108	98	38	79	378
91-DNA-270	721389	5209554	475	8	60	21	19	23	33	33	143	95	92	39	71	330
91-DNA-271	723224	5209637	430	5	64	9	26	23	28	19	140	119	94	36	97	386
91-DNA-272	725070	5209874	474	17	59	21	22	25	37	33	158	104	110	40	93	343
91-DNA-273	728001	5209997	430	9	58	21	22	26	34	19	154	97	88	42	90	366

ANNEXE 5

APPENDIX 5

Cartes de la géochimie des tills et tableau statistique; classes de centiles de concentration.

Till geochemistry maps and statistical tables; percentile classes of concentration.

Géochimie du till / *Till Geochemistry*

Baryum / Barium

Fraction / *Fraction*: <0.063 mm
 Seuil de détection / *Detection limit*: 50 ppm
 Méthode d'analyse / *Analytical method*: FRX / XRF

Nombre d'échantillons / *Number of samples*: 299
 Minimum / *Minimum*: 198
 Maximum / *Maximum*: 2323
 Moyenne / *Mean*: 619.3
 Médiane / *Median*: 583
 Mode / *Mode*: 529
 Écart-type / *Standard deviation*: 238.2
 Coefficient de variation / *Coefficient of variation*: 0.4
 Échantillons < seuil de détection / *Samples < detection limit*: 0

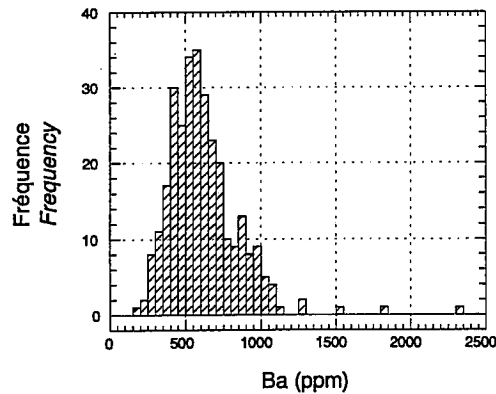
Légende de la carte / *Map Legend*

Ba (ppm)

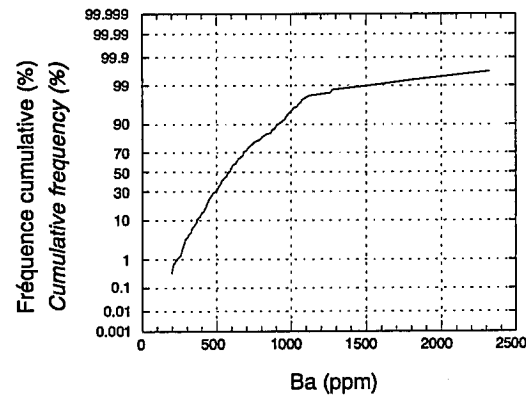
Min.	Max.	#Ech.	%Tile
<i>Min.</i>	<i>Max.</i>	<i>#Samp.</i>	<i>%Tile</i>

•	198	460	76	25.4
•	460	588	76	50.8
•	588	713	71	74.6
•	713	904	46	90
•	904	985	14	94.6
•	985	1072	9	97.7
•	1072	1262	3	98.7
•	1262	2323	4	100

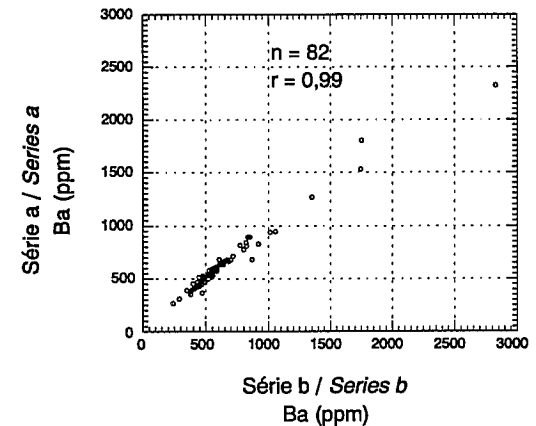
Histogramme de fréquence
Frequency Histogram

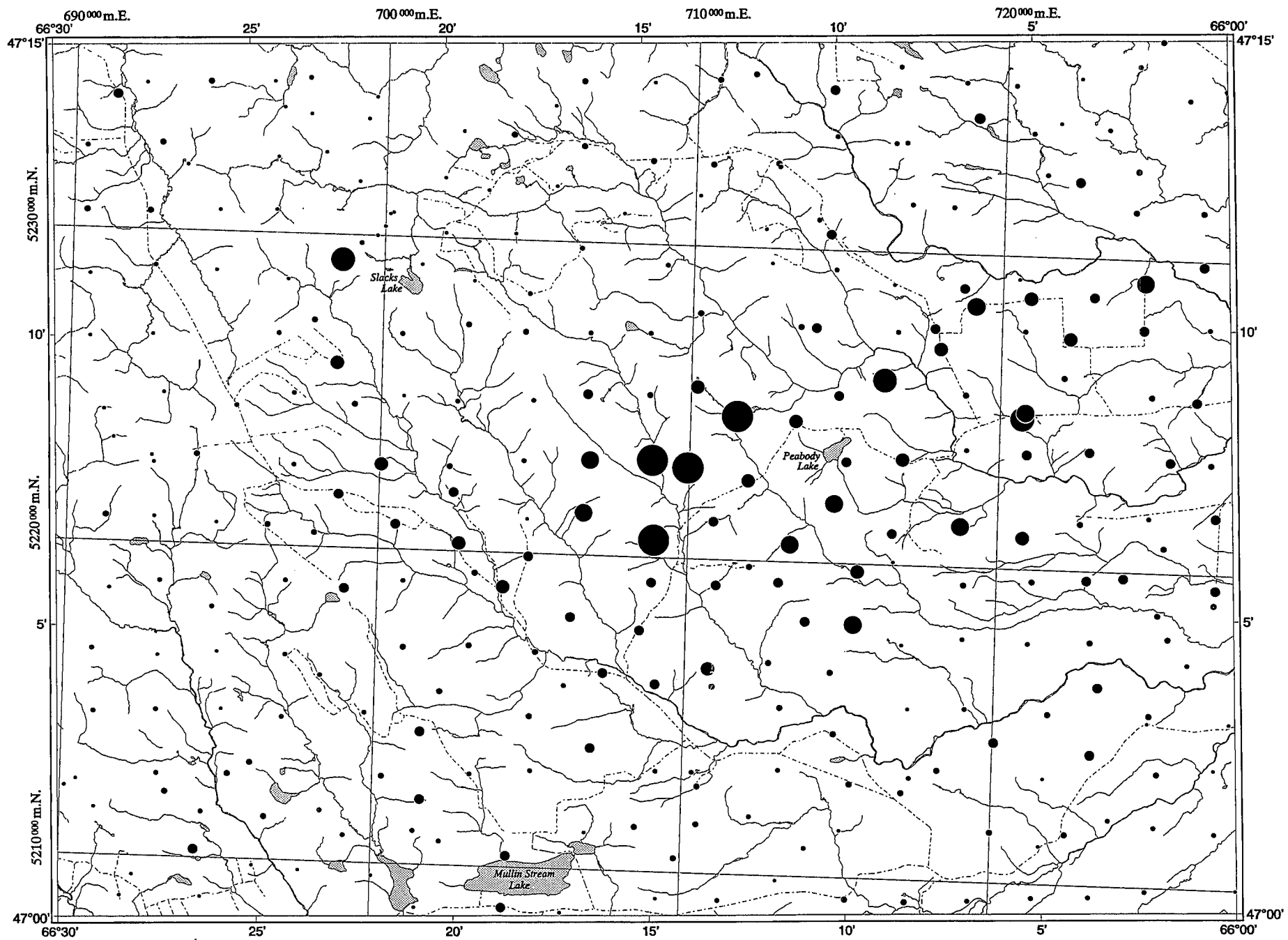


Courbe de fréquence cumulative
Cumulative Frequency Curve



Comparaison de 2 séries de résultats d'analyse
Comparison of 2 sets of Analytical Results





Scale Échelle
 Miles 1 0 1 2 3 Miles
 Metres 1000 0 1000 2000 3000 4000 Metres

Big Bald Mountain
 21-0/1

Baryum dans la fraction <0,063 mm du till
 Barium in the <0.063 mm fraction of till

Ba

Géochimie du till / *Till Geochemistry*

Cobalt / Cobalt

Fraction / *Fraction*: <0.063 mm
 Seuil de détection / *Detection limit*: 2 ppm
 Méthode d'analyse / *Analytical method*: FRX / XRF

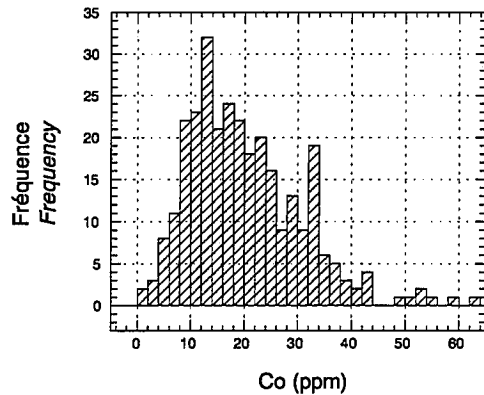
Nombre d'échantillons / *Number of samples*: 299
 Minimum / *Minimum*: <2
 Maximum / *Maximum*: 130
 Moyenne / *Mean*: 25.6
 Médiane / *Median*: 22
 Mode / *Mode*: 17
 Écart-type / *Standard deviation*: 16.6
 Coefficient de variation / *Coefficient of variation*: 0.6
 Échantillons < seuil de détection / *Samples < detection limit*: 2

Légende de la carte / *Map Legend*

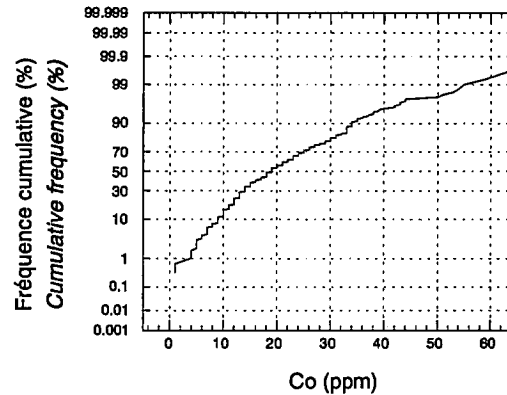
Co (ppm)

Min.	Max.	#Ech.	%Tile
Min.	Max.	#Samp.	%Tile
<2	13	86	28.8
13	19	74	53.5
19	26	62	74.2
26	34	50	91
34	38	11	94.6
38	44	9	97.7
44	53	3	98.7
53	64	4	100

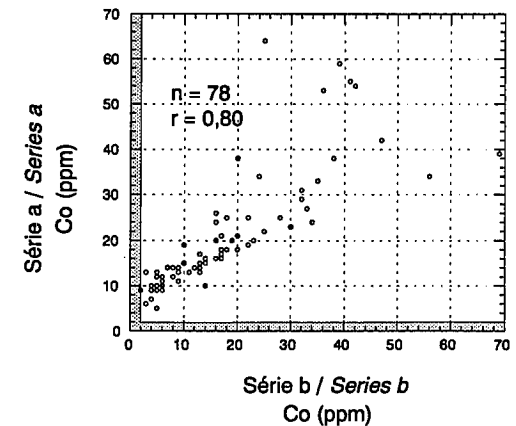
Histogramme de fréquence
Frequency Histogram

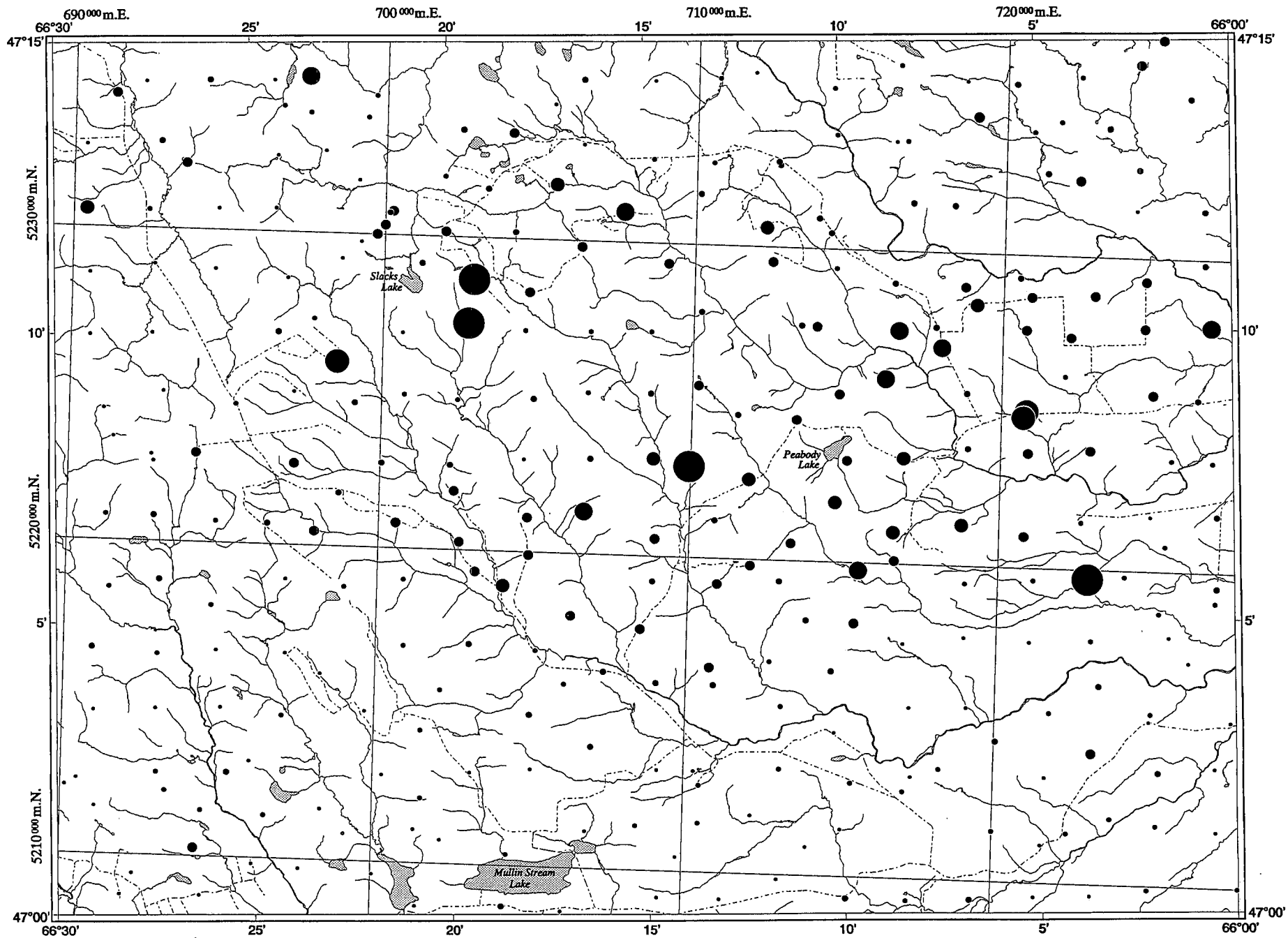


Courbe de fréquence cumulative
Cumulative Frequency Curve



Comparaison de 2 séries de résultats d'analyse
Comparison of 2 sets of Analytical Results





Cobalt dans la fraction $<0,063\text{ mm}$ du till
 Cobalt in the $<0.063\text{ mm}$ fraction of till

Co

Big Bald Mountain
 21-0/1

Géochimie du till / *Till Geochemistry*

Chrome / Chromium

Fraction / *Fraction*: <0.063 mm
 Seuil de détection / *Detection limit*: 4 ppm
 Méthode d'analyse / *Analytical method*: FRX / XRF

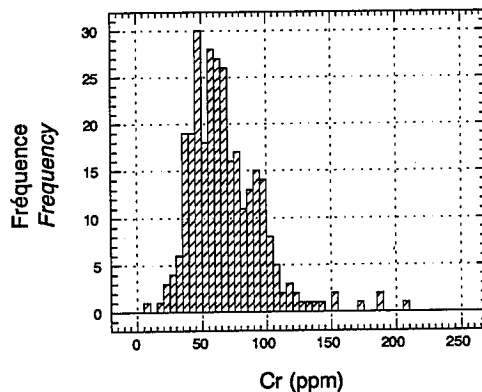
Nombre d'échantillons / *Number of samples*: 299
 Minimum / *Minimum*: 9
 Maximum / *Maximum*: 271
 Moyenne / *Mean*: 69.7
 Médiane / *Median*: 65
 Mode / *Mode*: 48
 Écart-type / *Standard deviation*: 30.3
 Coefficient de variation / *Coefficient of variation*: 0.4
 Échantillons < seuil de détection / *Samples < detection limit*: 0

Légende de la carte / *Map Legend*

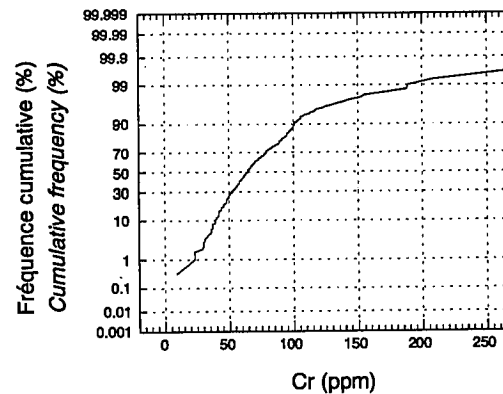
Cr (ppm)

Min.	Max.	#Ech.	%Tile
<i>Min.</i>	<i>Max.</i>	<i>#Samp.</i>	<i>%Tile</i>
9	49	75	25.1
49	65	81	52.2
65	84	69	75.3
84	100	43	89.6
100	113	15	94.6
113	144	9	97.7
144	171	3	98.7
171	271	4	100

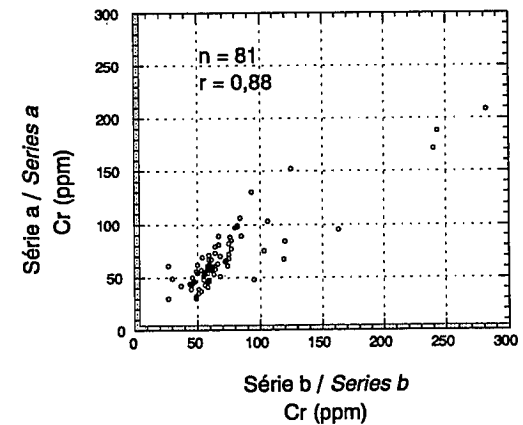
Histogramme de fréquence
Frequency Histogram

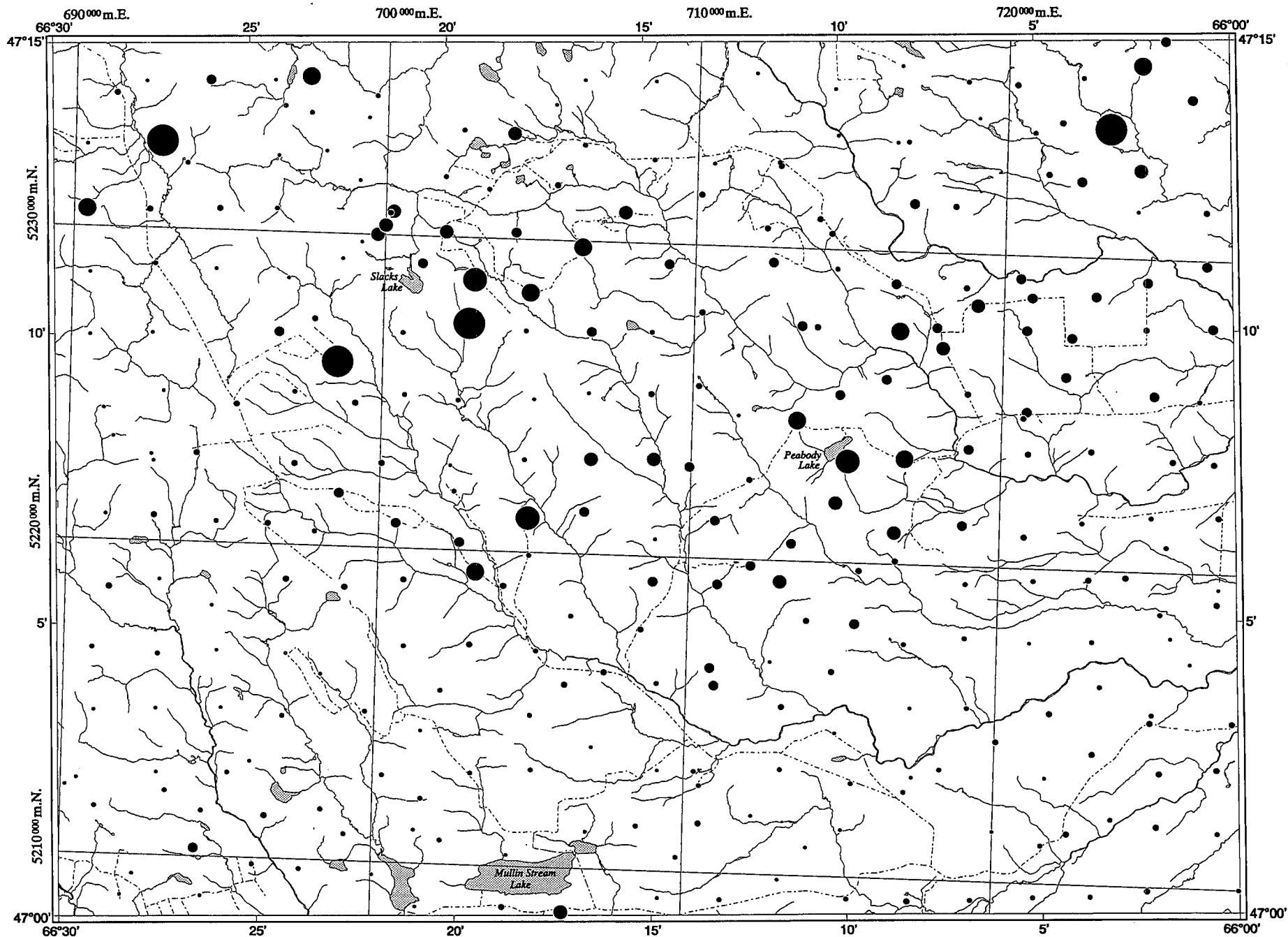


Courbe de fréquence cumulative
Cumulative Frequency Curve



Comparaison de 2 séries de résultats d'analyse
Comparison of 2 sets of Analytical Results





Scale Échelle
 Miles 1 0 1 2 3 Miles
 Metres 1000 0 1000 2000 3000 4000 Mètres

Big Bald Mountain
 21-0/1

Chrome dans la fraction <0,063 mm du till
 Chromium in the <0.063 mm fraction of till

Cr

Géochimie du till / *Till Geochemistry*

Cuivre / Copper

Fraction / *Fraction*: <0.063 mm
 Seuil de détection / *Detection limit*: 4 ppm
 Méthode d'analyse / *Analytical method*: FRX / XRF

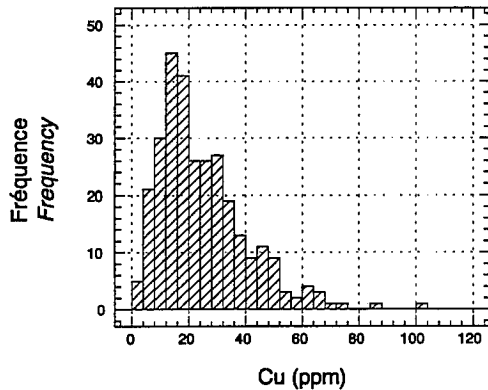
Nombre d'échantillons / *Number of samples*: 299
 Minimum / *Minimum*: <4
 Maximum / *Maximum*: 130
 Moyenne / *Mean*: 25.6
 Médiane / *Median*: 22
 Mode / *Mode*: 17
 Écart-type / *Standard deviation*: 16.6
 Coefficient de variation / *Coefficient of variation*: 0.6
 Échantillons < seuil de détection / *Samples < detection limit*: 5

Légende de la carte / *Map Legend*

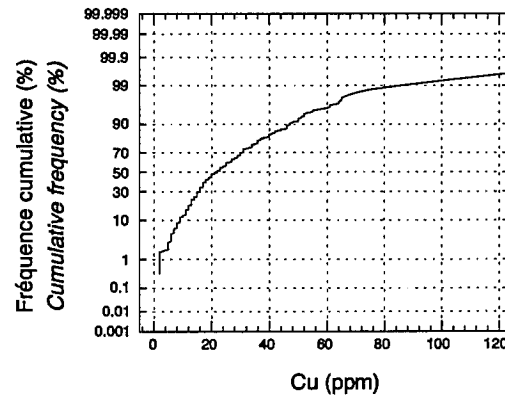
Cu (ppm)

	Min.	Max.	#Ech.	%Tile
	Min.	Max.	#Samp.	%Tile
•	<4	14	75	25.1
•	14	22	78	51.2
•	22	34	78	77.3
•	34	46	37	89.6
•	46	53	15	94.6
•	53	65	10	98
•	65	70	2	98.7
•	70	130	4	100

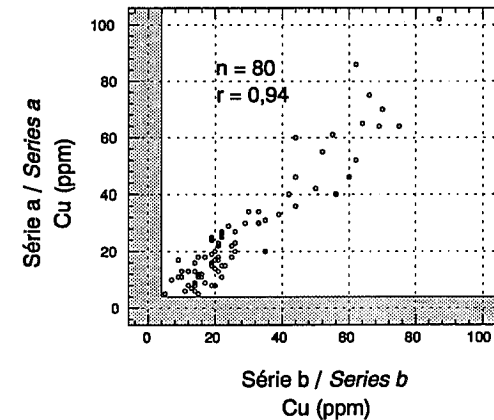
Histogramme de fréquence
Frequency Histogram

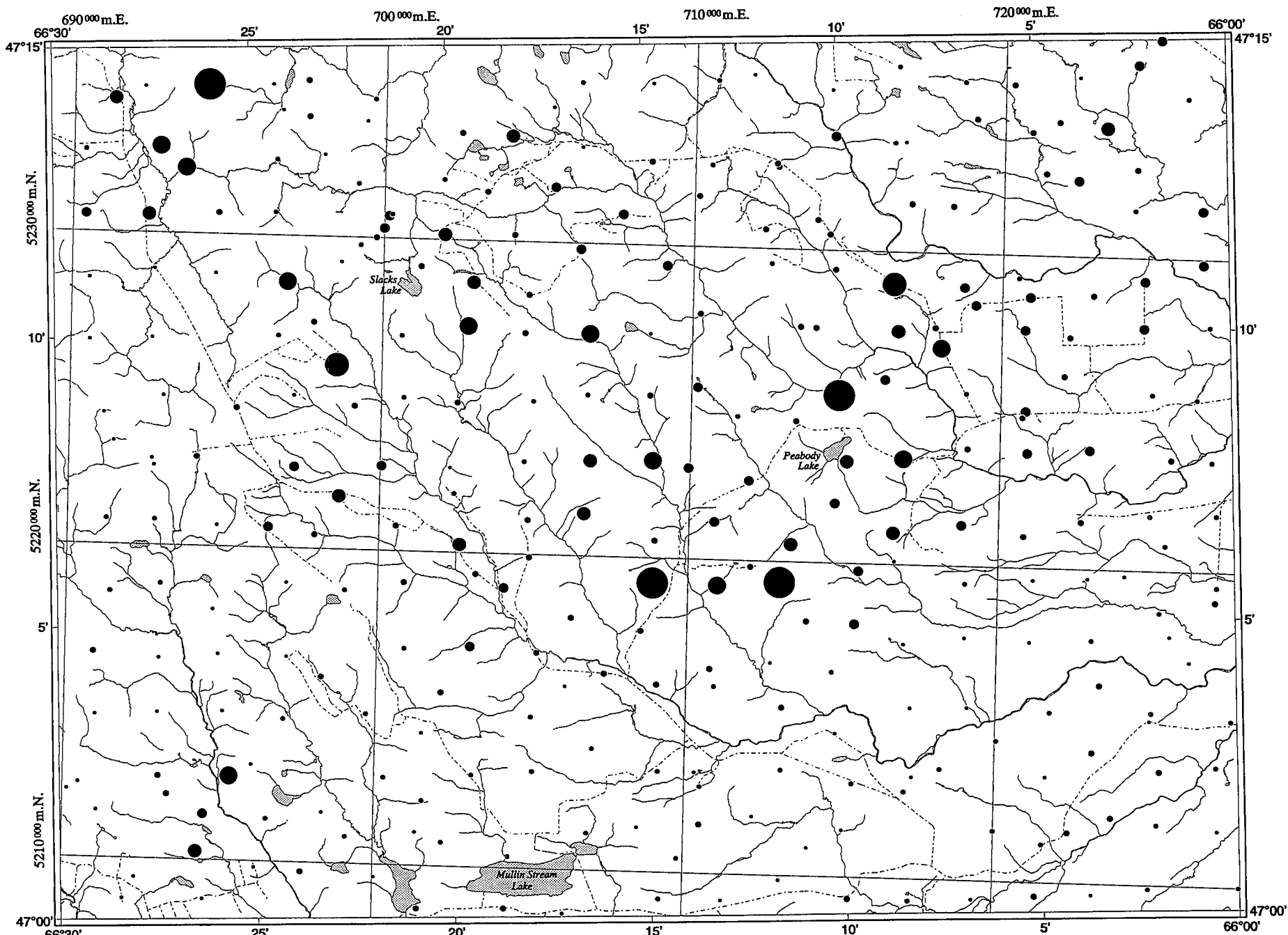


Courbe de fréquence cumulative
Cumulative Frequency Curve



Comparaison de 2 séries de résultats d'analyse
Comparison of 2 sets of Analytical Results





Scale Échelle
 Miles 0 1 2 3 Miles
 Metres 1000 0 1000 2000 3000 4000 Metres

Big Bald Mountain
 21-0/1

Cuivre dans la fraction <0,063 mm du till
 Copper in the <0.063 mm fraction of till

Cu

Géochimie du till / *Till Geochemistry*

Gallium / Gallium

Fraction / *Fraction*: <0.063 mm

Seuil de détection / *Detection limit*: 2 ppm

Méthode d'analyse / *Analytical method*: FRX / XRF

Légende de la carte / *Map Legend*

Ga (ppm)

Min.	Max.	#Ech.	%Tile
<i>Min.</i>	<i>Max.</i>	<i>#Samp.</i>	<i>%Tile</i>
13	20	86	28.8
20	22	59	48.5
22	25	79	74.9
25	29	52	92.3
29	31	12	96.3
31	33	6	98.3
33	34	3	99.3
34	38	2	100

Nombre d'échantillons / *Number of samples*: 299

Minimum / *Minimum*: 13

Maximum / *Maximum*: 38

Moyenne / *Mean*: 23

Médiane / *Median*: 23

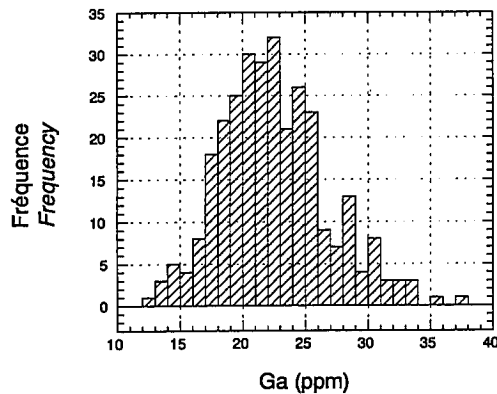
Mode / *Mode*: 23

Écart-type / *Standard deviation*: 4.3

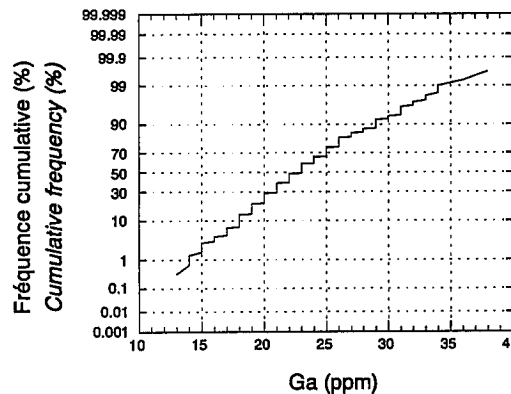
Coefficient de variation / *Coefficient of variation*: 0.2

Échantillons < seuil de détection / *Samples < detection limit*: 0

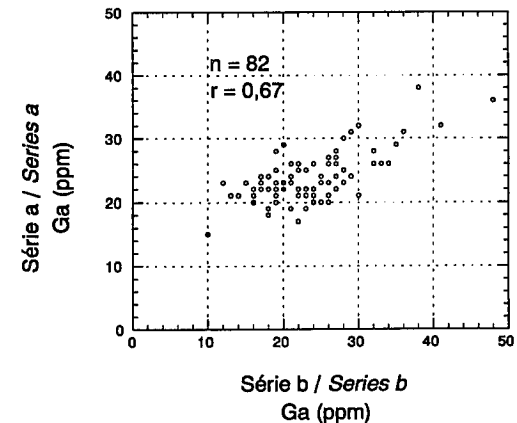
Histogramme de fréquence
Frequency Histogram

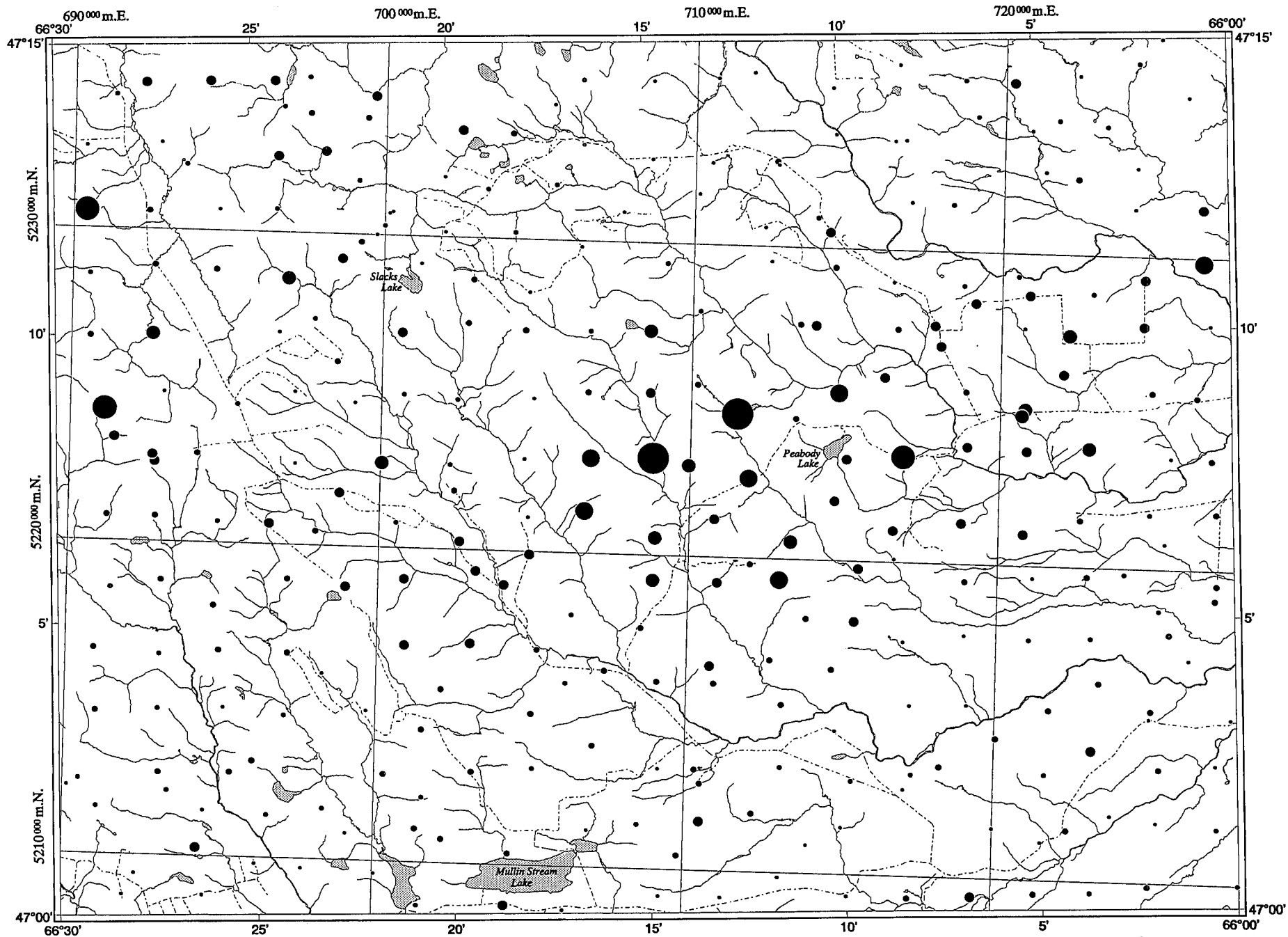


Courbe de fréquence cumulative
Cumulative Frequency Curve



Comparaison de 2 séries de résultats d'analyse
Comparison of 2 sets of Analytical Results





Scale Échelle
 Miles 1 0 1 2 3 Miles
 Metres 1000 0 1000 2000 3000 4000 Mètres

Big Bald Mountain
 21-0/1

Gallium dans la fraction <0,063 mm du till
 Gallium in the <0.063 mm fraction of till

Ga

Géochimie du till / *Till Geochemistry*

Niobium / Niobium

Fraction / *Fraction*: <0.063 mm
 Seuil de détection / *Detection limit*: 2 ppm
 Méthode d'analyse / *Analytical method*: FRX / XRF

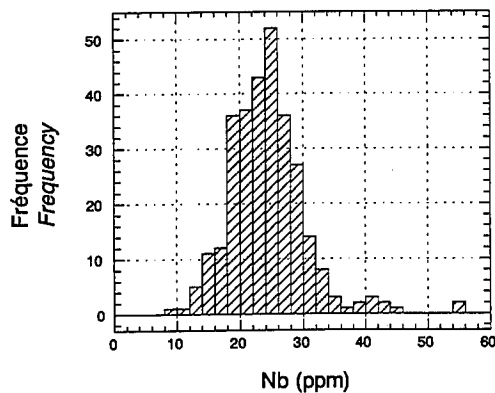
Nombre d'échantillons / *Number of samples*: 299
 Minimum / *Minimum*: 10
 Maximum / *Maximum*: 109
 Moyenne / *Mean*: 25.4
 Médiane / *Median*: 25
 Mode / *Mode*: 25
 Écart-type / *Standard deviation*: 8.9
 Coefficient de variation / *Coefficient of variation*: 0.35
 Échantillons < seuil de détection / *Samples < detection limit*: 0

Légende de la carte / *Map Legend*

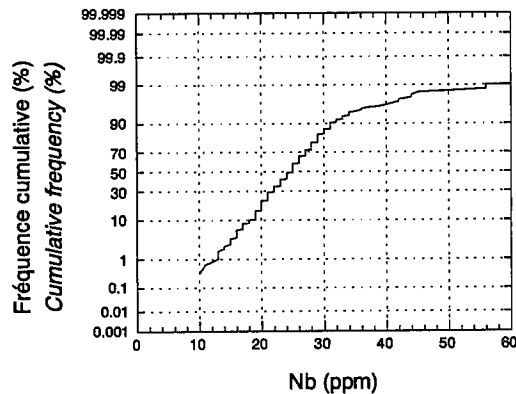
Nb (ppm)

	Min.	Max.	#Ech.	%Tile
	Min.	Max.	#Samp.	%Tile
•	10	21	87	29.1
•	21	24	59	48.8
•	24	28	88	78.3
•	28	31	37	90.6
•	31	34	12	94.6
•	34	42	9	97.7
•	42	45	3	98.7
•	45	109	4	100

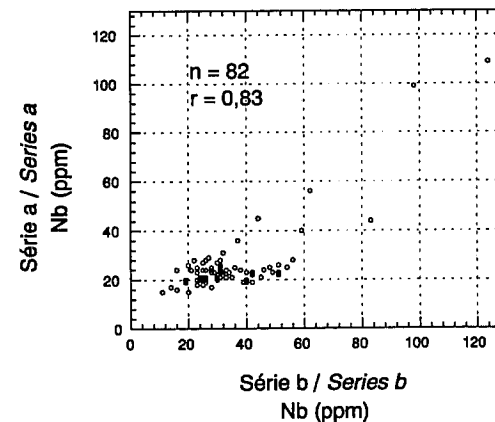
Histogramme de fréquence
Frequency Histogram

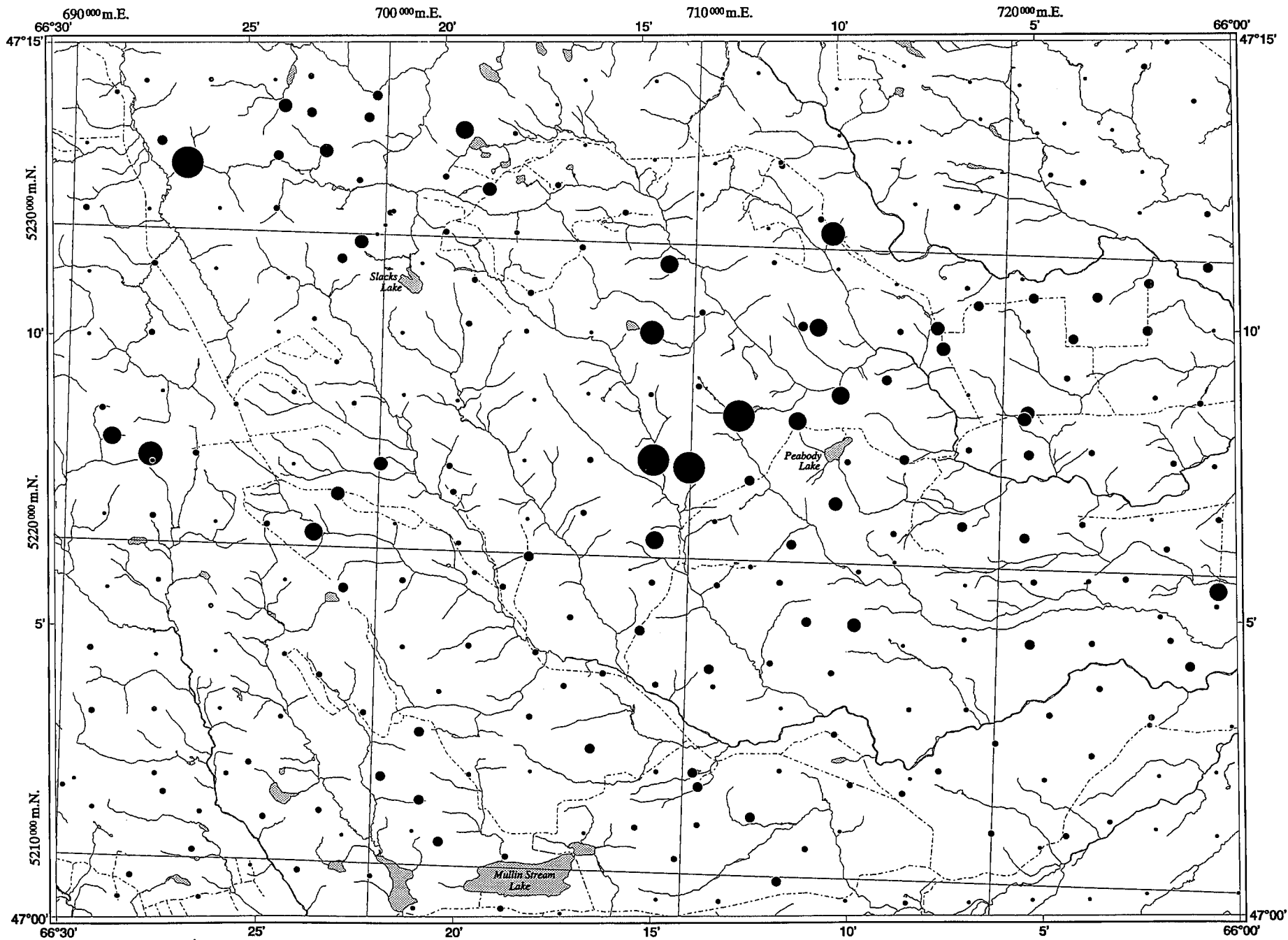


Courbe de fréquence cumulative
Cumulative Frequency Curve



Comparaison de 2 séries de résultats d'analyse
Comparison of 2 sets of Analytical Results





Scale Échelle
 Miles 1 0 1 2 3 Miles
 Metres 1000 0 1000 2000 3000 4000 Mètres
 Big Bald Mountain
 21-0/1

Niobium dans la fraction <0,063 mm du till
 Niobium in the <0.063 mm fraction of till

Nb

Géochimie du till / *Till Geochemistry*

Nickel / Nickel

Fraction / *Fraction*: <0.063 mm
 Seuil de détection / *Detection limit*: 3 ppm
 Méthode d'analyse / *Analytical method*: FRX / XRF

Nombre d'échantillons / *Number of samples*: 299
 Minimum / *Minimum*: <3
 Maximum / *Maximum*: 132
 Moyenne / *Mean*: 38.1
 Médiane / *Median*: 37
 Mode / *Mode*: 28

Écart-type / *Standard deviation*: 19.2

Coefficient de variation / *Coefficient of variation*: 0.5

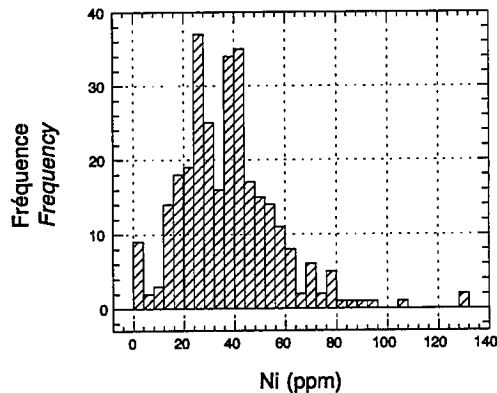
Échantillons < seuil de détection / *Samples < detection limit*: 7

Légende de la carte / *Map Legend*

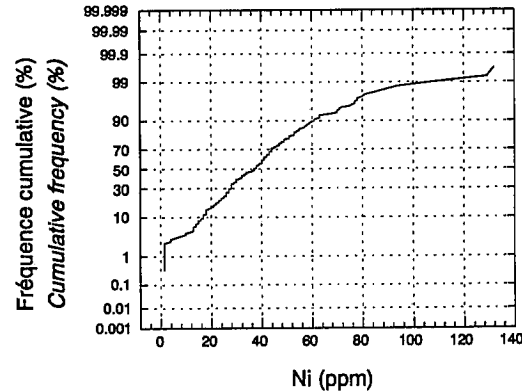
Ni (ppm)

Min.	Max.	#Ech.	%Tile	
Min.	Max.	#Samp.	%Tile	
•	<3	26	79	26.4
•	26	37	72	50.5
•	37	48	78	76.6
•	48	60	40	90
•	60	71	15	95
•	71	80	8	97.7
•	80	89	3	98.7
•	89	132	4	100

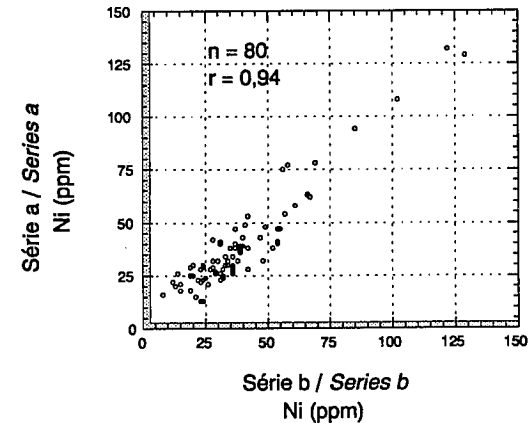
Histogramme de fréquence
Frequency Histogram

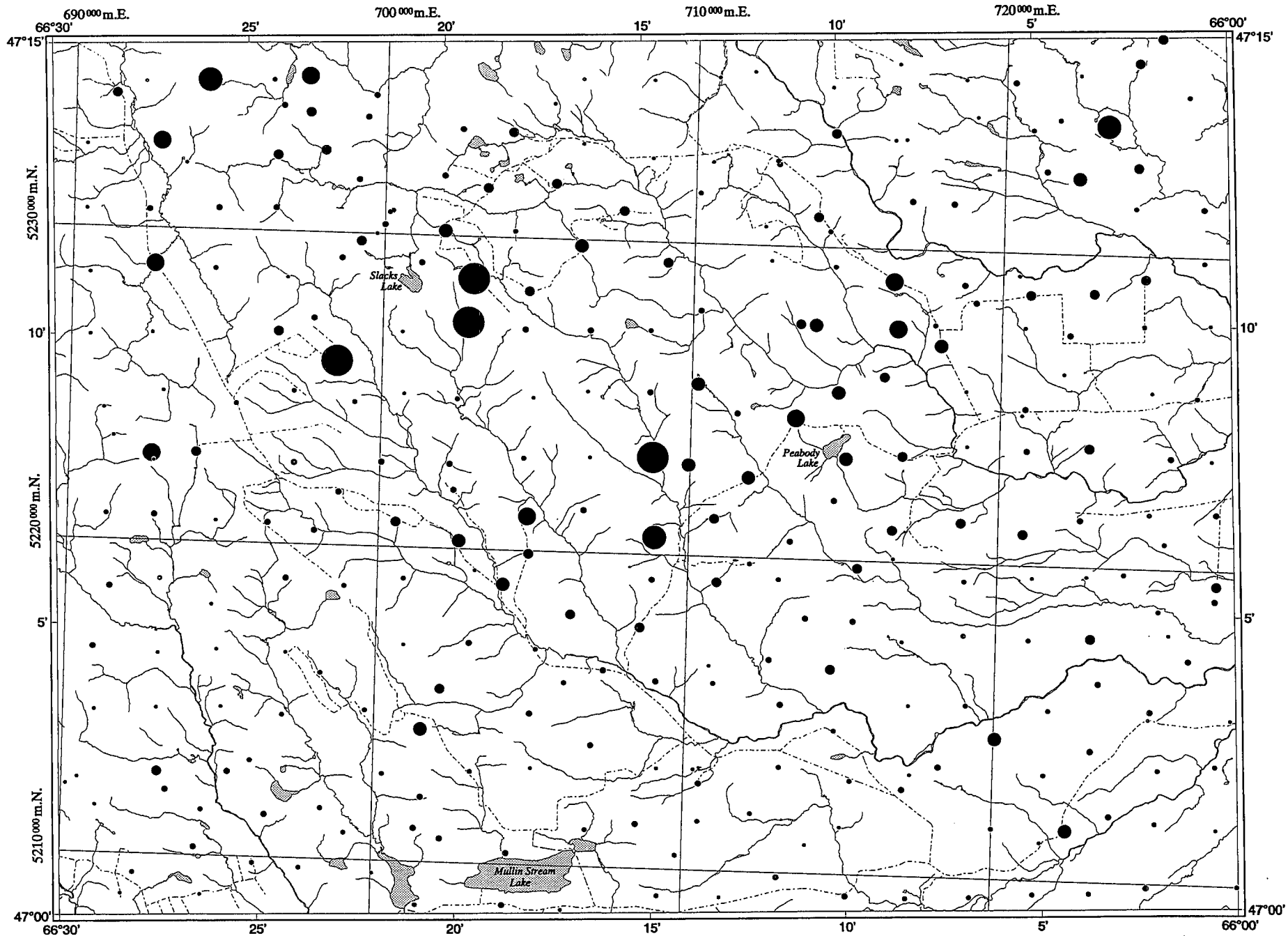


Courbe de fréquence cumulative
Cumulative Frequency Curve



Comparaison de 2 séries de résultats d'analyse
Comparison of 2 sets of Analytical Results





Scale Échelle
 Miles 1 0 1 2 3 Miles
 Metres 1000 0 1000 2000 3000 4000 Metres

Big Bald Mountain
 21-0/1

Nickel dans la fraction <0,063 mm du till
 Nickel in the <0.063 mm fraction of till

Ni

Géochimie du till / *Till Geochemistry*

Plomb / Lead

Fraction / *Fraction*: <0.063 mm
 Seuil de détection / *Detection limit*: 5 ppm
 Méthode d'analyse / *Analytical method*: FRX / XRF

Légende de la carte / *Map Legend*

Pb (ppm)

	Min.	Max.	#Ech.	%Tile
	Min.	Max.	#Samp.	%Tile
•	11	24	79	26.4
•	24	30	69	49.5
•	30	36	76	74.9
•	36	47	45	90
•	47	53	14	94.6
•	53	59	9	97.7
•	59	73	3	98.7
•	73	1319	4	100

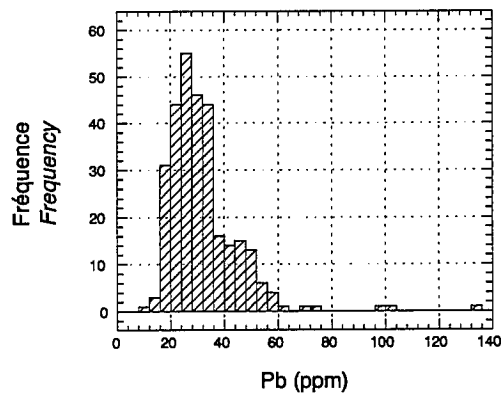
Nombre d'échantillons / *Number of samples*: 299
 Minimum / *Minimum*: 11
 Maximum / *Maximum*: 1319
 Moyenne / *Mean*: 36.8
 Médiane / *Median*: 31
 Mode / *Mode*: 33

Écart-type / *Standard deviation*: 75.6

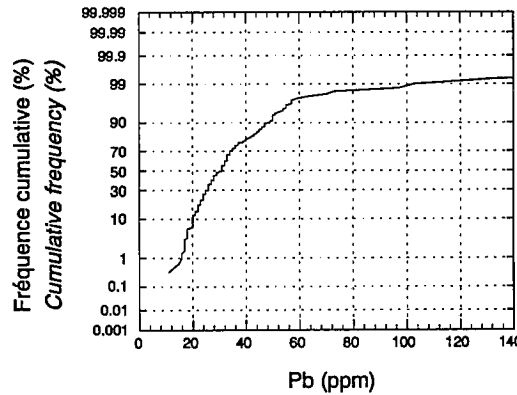
Coefficient de variation / *Coefficient of variation*: 2.1

Échantillons < seuil de détection / *Samples < detection limit*: 0

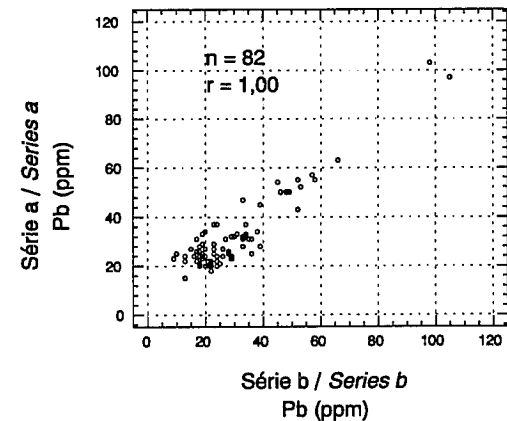
Histogramme de fréquence
Frequency Histogram

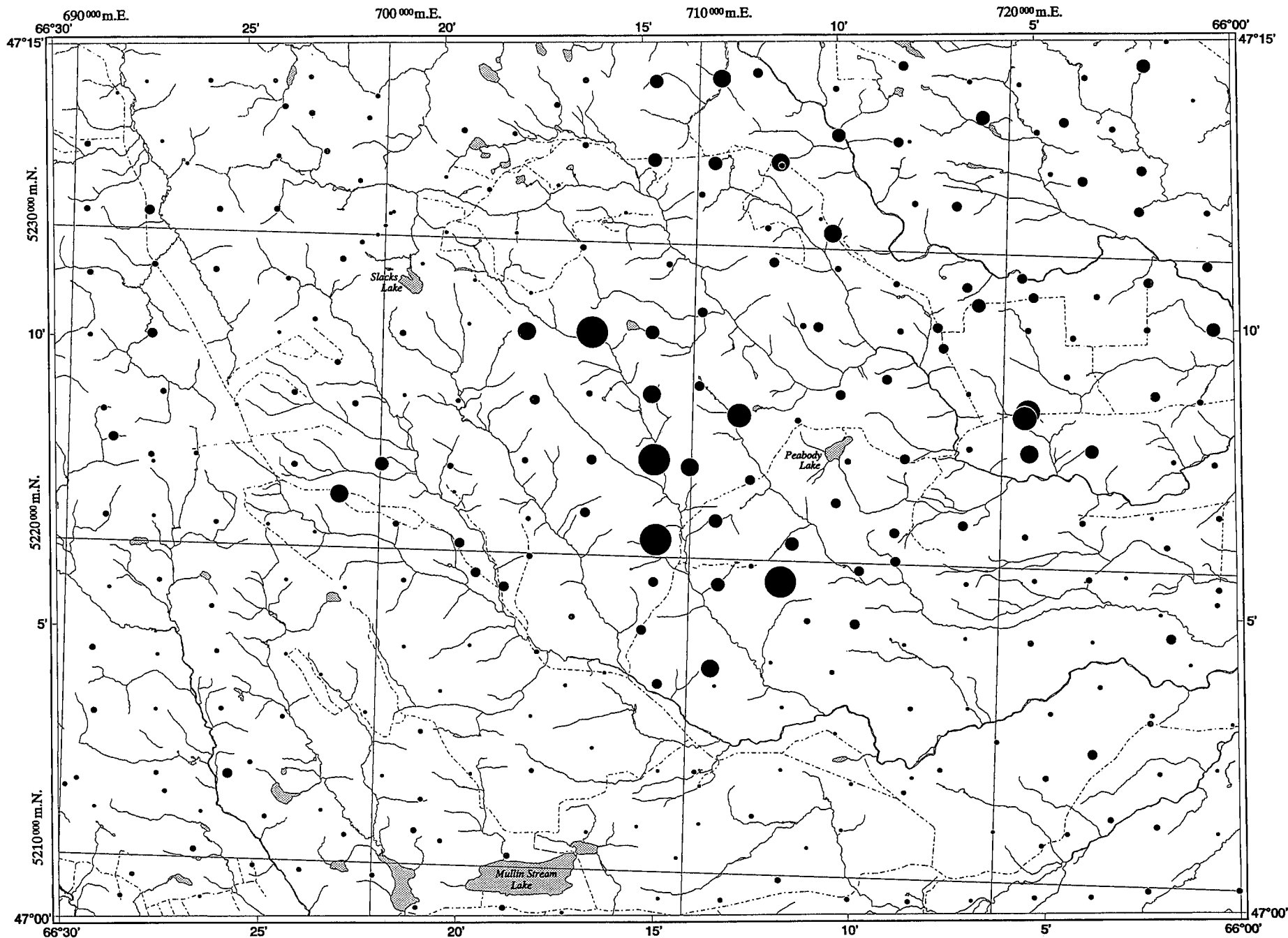


Courbe de fréquence cumulative
Cumulative Frequency Curve



Comparaison de 2 séries de résultats d'analyse
Comparison of 2 sets of Analytical Results





Scale
 Miles 1 0 1 2 3 Miles
 Metres 1000 0 1000 2000 3000 4000 Metres

Big Bald Mountain
 21-0/1

Plomb dans la fraction <0,063 mm du till
 Lead in the <0.063 mm fraction of till

Pb

Géochimie du till / *Till Geochemistry*

Rubidium / *Rubidium*

Fraction / *Fraction*: <0.063 mm

Seuil de détection / *Detection limit*: 3 ppm

Méthode d'analyse / *Analytical method*: FRX / XRF

Nombre d'échantillons / *Number of samples*: 299
 Minimum / *Minimum*: 56
 Maximum / *Maximum*: 268
 Moyenne / *Mean*: 149.3
 Médiane / *Median*: 145
 Mode / *Mode*: 128

Écart-type / *Standard deviation*: 43.5

Coefficient de variation / *Coefficient of variation*: 0.3

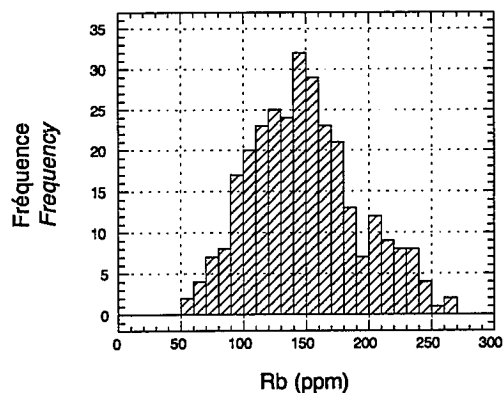
Échantillons < seuil de détection / *Samples < detection limit*: 0

Légende de la carte / *Map Legend*

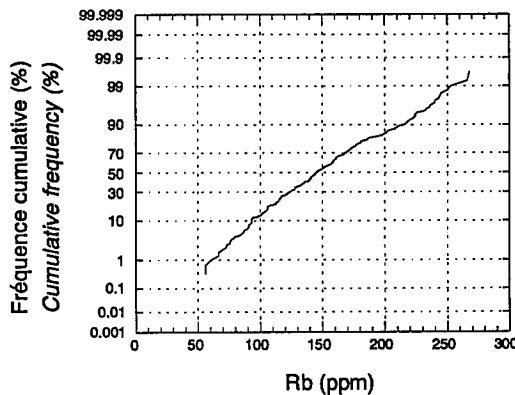
Rb (ppm)

Min.	Max.	#Ech.	%Tile	
Min.	Max.	#Samp.	%Tile	
•	56	117	78	26.1
•	117	146	75	51.2
•	146	175	73	75.6
•	175	211	42	89.6
•	211	225	15	94.6
•	225	240	9	97.7
•	240	245	3	98.7
•	245	268	4	100

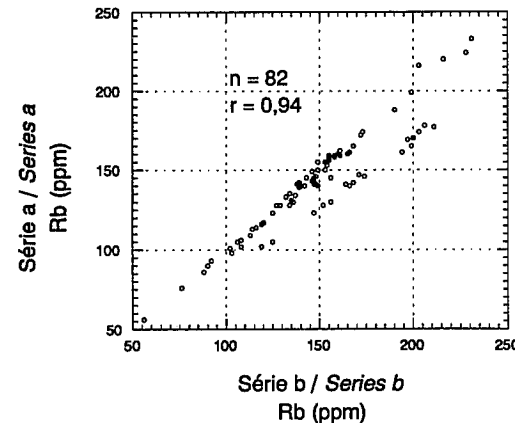
Histogramme de fréquence
Frequency Histogram

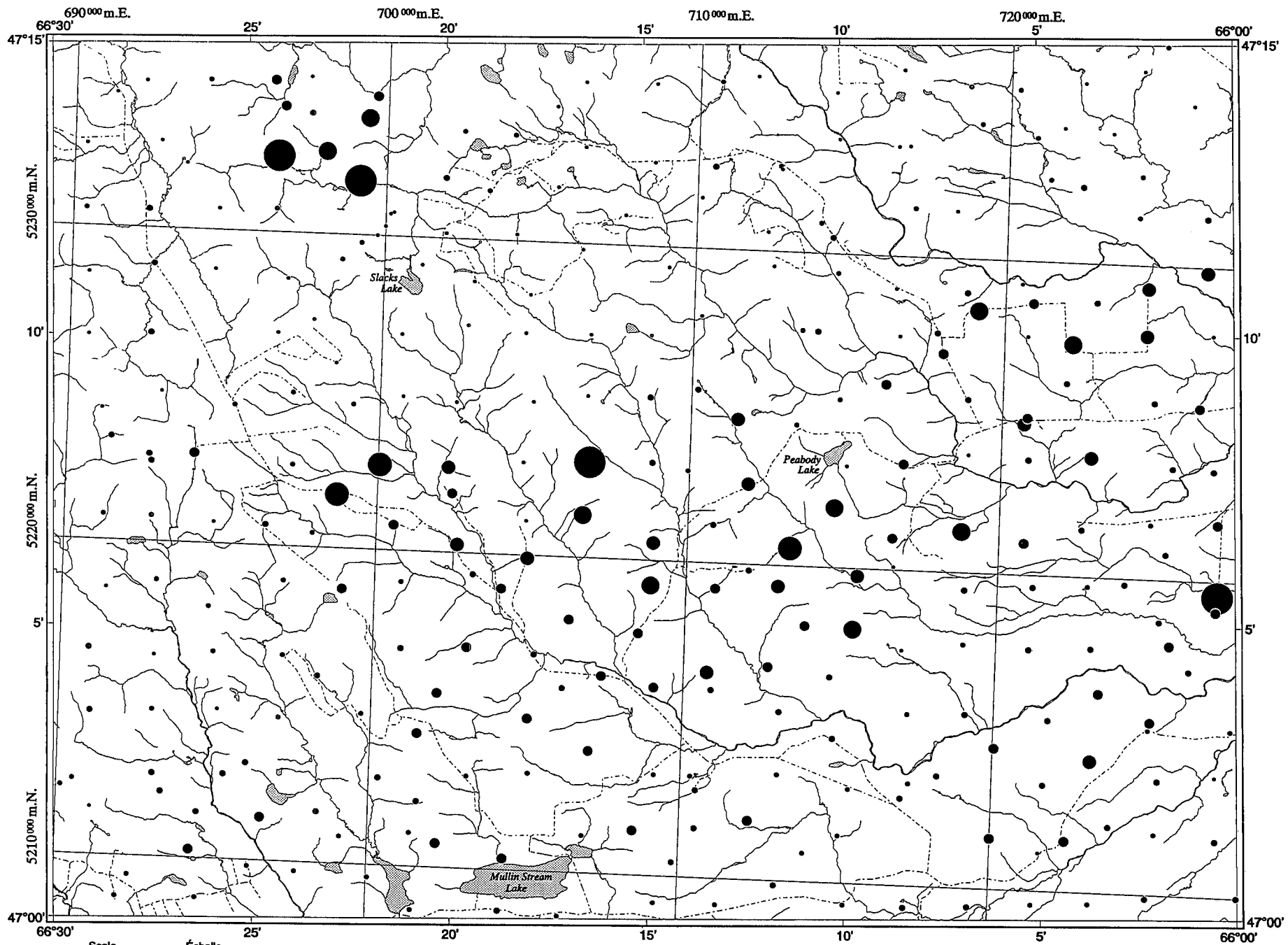


Courbe de fréquence cumulative
Cumulative Frequency Curve



Comparaison de 2 séries de résultats d'analyse
Comparison of 2 sets of Analytical Results





Scale Échelle
 Miles 1 0 1 2 3 Miles
 Mètres 1000 0 1000 2000 3000 4000 Mètres

Big Bald Mountain
 21-0/1

Rubidium dans la fraction <0,063 mm du till
 Rubidium in the <0.063 mm fraction of till

Rb

Strontium / *Strontium*

Fraction / *Fraction*: <0.063 mm
 Seuil de détection / *Detection limit*: 3 ppm
 Méthode d'analyse / *Analytical method*: FRX / *XRF*

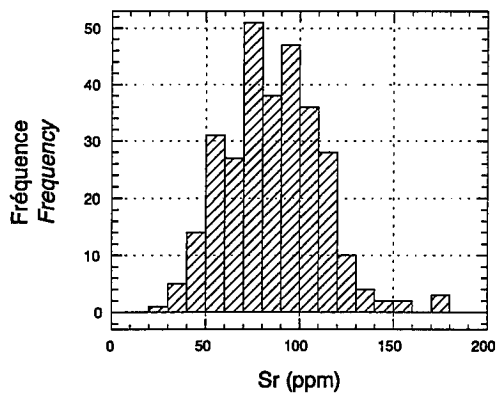
Légende de la carte / *Map Legend*

Sr (ppm)

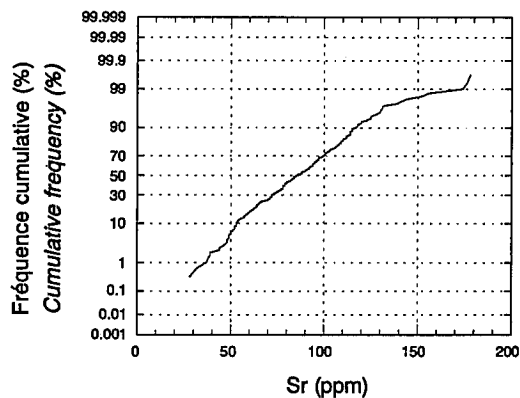
Min.	Max.	#Ech.	%Tile	
<i>Min.</i>	<i>Max.</i>	<i>#Samp.</i>	<i>%Tile</i>	
•	28	69	75	25.1
•	69	86	78	51.2
•	86	103	73	75.6
•	103	115	42	89.6
•	115	125	15	94.6
•	125	139	9	97.7
•	139	152	3	98.7
•	152	178	4	100

Nombre d'échantillons / *Number of samples*: 299
 Minimum / *Minimum*: 28
 Maximum / *Maximum*: 178
 Moyenne / *Mean*: 86.6
 Médiane / *Median*: 86
 Mode / *Mode*: 78
 Écart-type / *Standard deviation*: 25.4
 Coefficient de variation / *Coefficient of variation*: 0.3
 Échantillons < seuil de détection / *Samples < detection limit*: 0

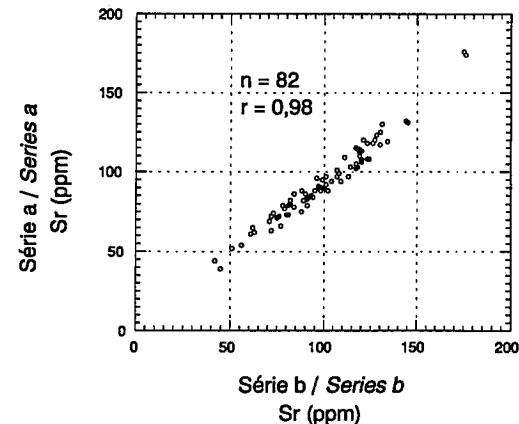
Histogramme de fréquence
Frequency Histogram

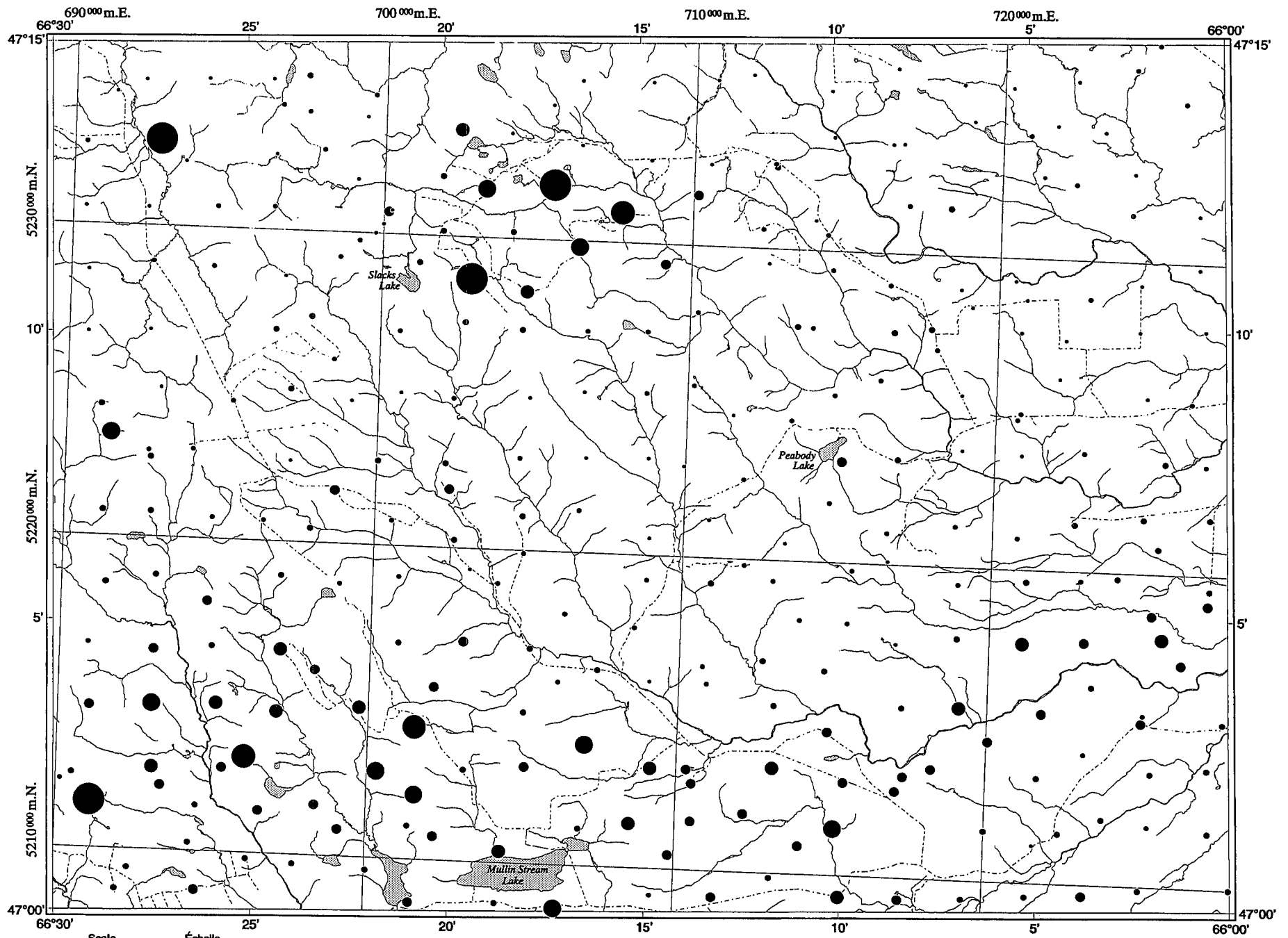


Courbe de fréquence cumulative
Cumulative Frequency Curve



Comparaison de 2 séries de résultats d'analyse
Comparison of 2 sets of Analytical Results





Scale Échelle
 Miles 1 0 1 2 3 Miles
 Metres 1000 0 1000 2000 3000 4000 Mètres

Big Bald Mountain
 21-0/1

Strontium dans la fraction <0,063 mm du till
 Strontium in the <0.063 mm fraction of till

Sr

Géochimie du till / *Till Geochemistry*

Vanadium / *Vanadium*

Fraction / *Fraction*: <0.063 mm
 Seuil de détection / *Detection limit*: 5 ppm
 Méthode d'analyse / *Analytical method*: FRX / XRF

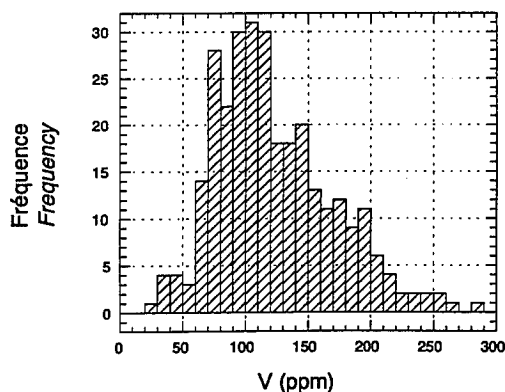
Légende de la carte / *Map Legend*

V (ppm)

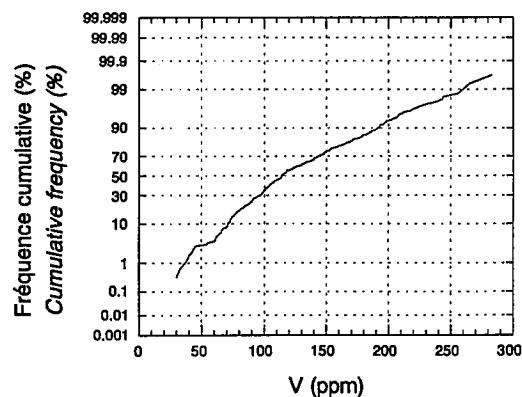
	Min.	Max.	#Ech.	%Tile
	Min.	Max.	#Samp.	%Tile
•	30	90	76	25.4
•	90	114	75	50.5
•	114	150	72	74.6
•	150	190	45	89.6
•	190	207	15	94.6
•	207	231	9	97.7
•	231	244	3	98.7
•	244	283	4	100

Nombre d'échantillons / *Number of samples*: 299
 Minimum / *Minimum*: 30
 Maximum / *Maximum*: 283
 Moyenne / *Mean*: 123.7
 Médiane / *Median*: 114
 Mode / *Mode*: 118
 Écart-type / *Standard deviation*: 47.0
 Coefficient de variation / *Coefficient of variation*: 0.4
 Échantillons < seuil de détection / *Samples < detection limit*: 0

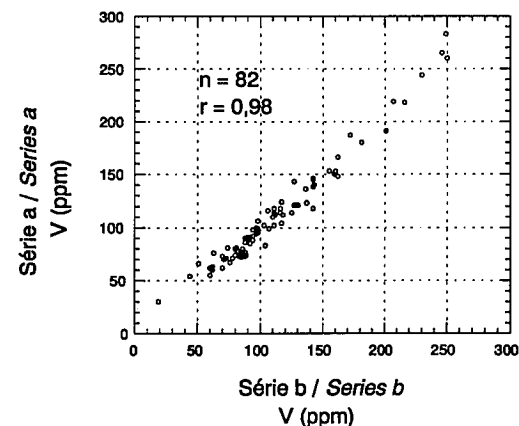
Histogramme de fréquence
Frequency Histogram

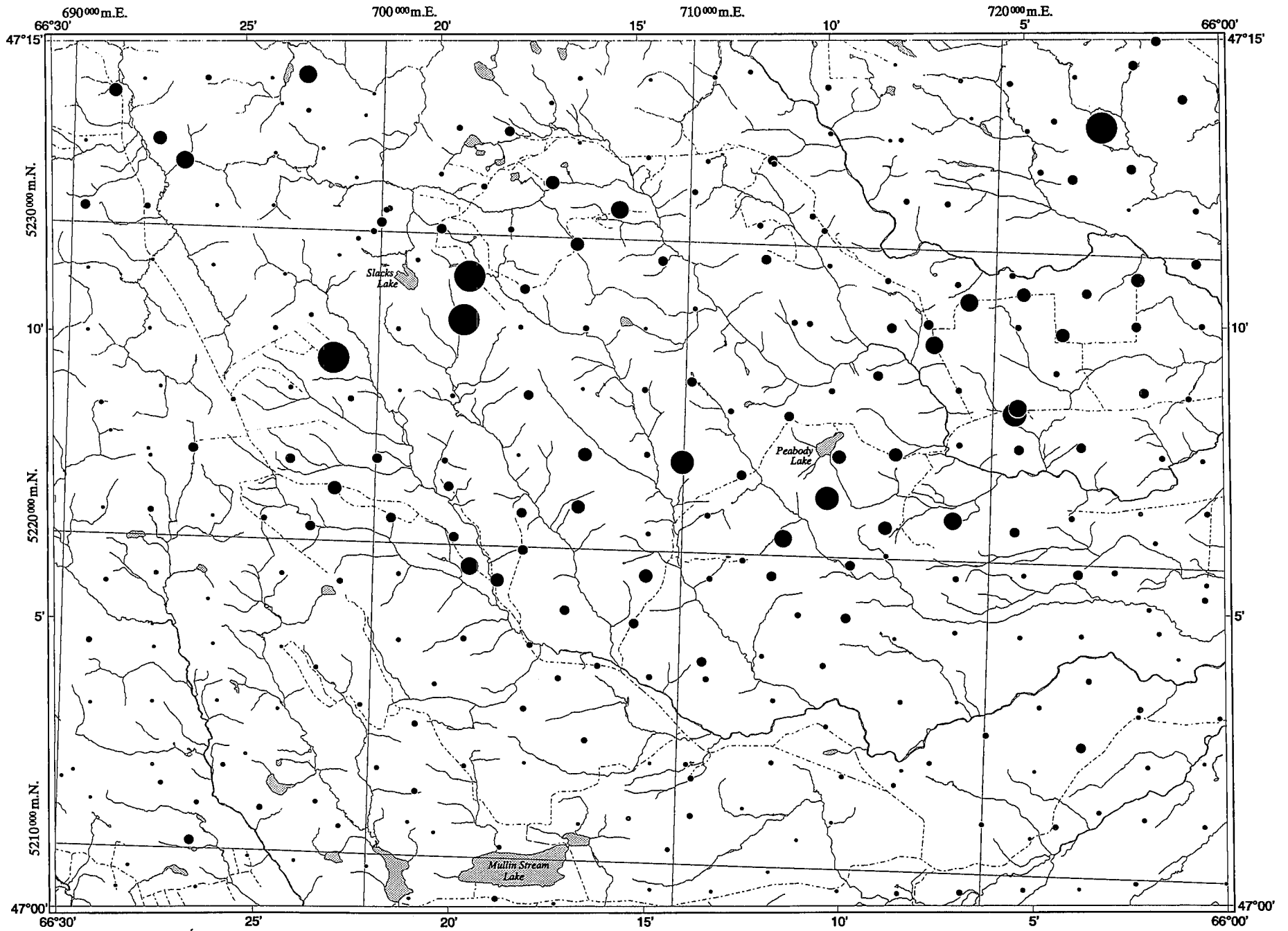


Courbe de fréquence cumulative
Cumulative Frequency Curve



Comparaison de 2 séries de résultats d'analyse
Comparison of 2 sets of Analytical Results





Vanadium dans la fraction <0,063 mm du till
 Vanadium in the <0.063 mm fraction of till

V

Géochimie du till / *Till Geochemistry*

Yttrium / *Yttrium*

Fraction / *Fraction*: <0.063 mm
 Seuil de détection / *Detection limit*: 4 ppm
 Méthode d'analyse / *Analytical method*: FRX / XRF

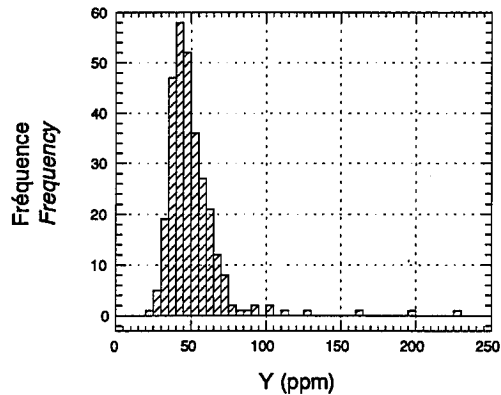
Légende de la carte / *Map Legend*

Y (ppm)

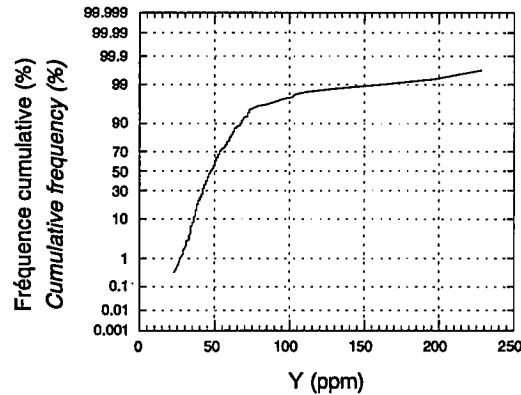
	Min.	Max.	#Ech.	%Tile
	Min.	Max.	#Samp.	%Tile
•	23	41	79	26.4
•	41	47	71	50.2
•	47	56	72	74.2
•	56	67	48	90.3
•	67	73	15	95.3
•	73	95	7	97.7
•	95	111	3	98.7
•	111	228	4	100

Nombre d'échantillons / *Number of samples*: 299
 Minimum / *Minimum*: 23
 Maximum / *Maximum*: 228
 Moyenne / *Mean*: 51.2
 Médiane / *Median*: 47
 Mode / *Mode*: 50
 Écart-type / *Standard deviation*: 20.1
 Coefficient de variation / *Coefficient of variation*: 0.4
 Échantillons < seuil de détection / *Samples < detection limit*: 0

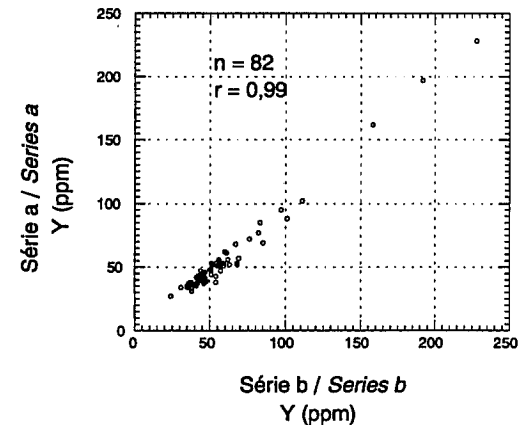
Histogramme de fréquence
Frequency Histogram

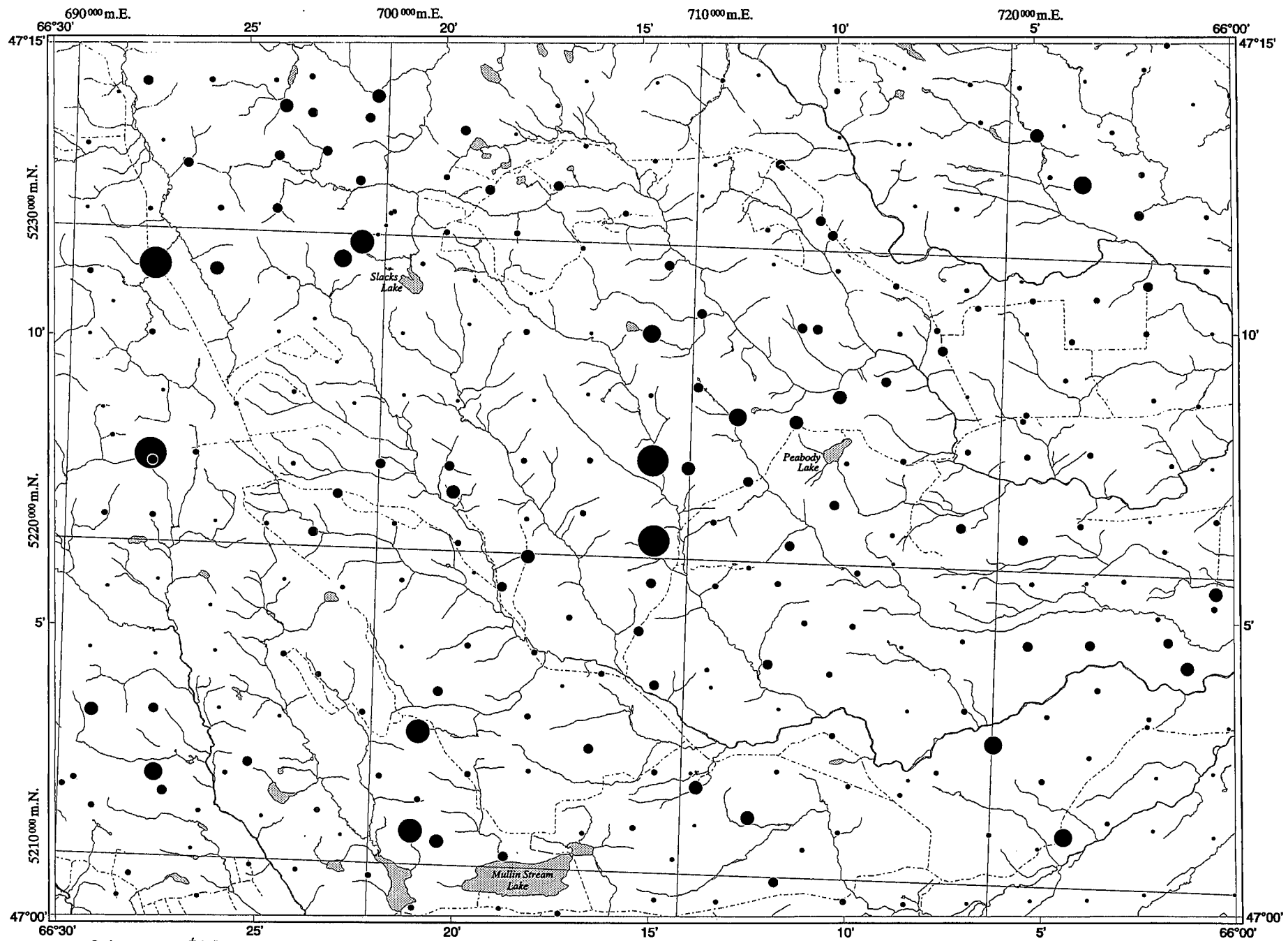


Courbe de fréquence cumulative
Cumulative Frequency Curve



Comparaison de 2 séries de résultats d'analyse
Comparison of 2 sets of Analytical Results





Scale Échelle
 Miles 1 0 1 2 3 Miles
 Metres 1000 0 1000 2000 3000 4000 Mètres

Big Bald Mountain
 21-0/1

Yttrium dans la fraction <0,063 mm du till
 Yttrium in the <0.063 mm fraction of till

Y

Géochimie du till / *Till Geochemistry*

Zinc / Zinc

Fraction / *Fraction*: <0.063 mm
 Seuil de détection / *Detection limit*: 5 ppm
 Méthode d'analyse / *Analytical method*: FRX / XRF

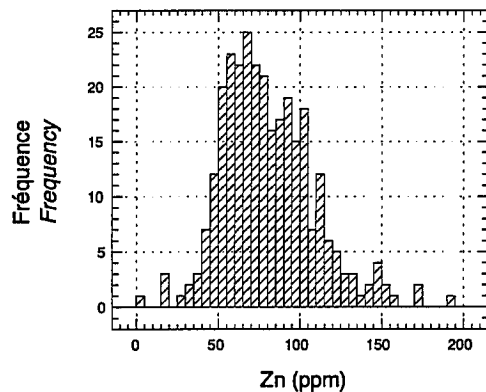
Nombre d'échantillons / *Number of samples*: 299
 Minimum / *Minimum*: <5
 Maximum / *Maximum*: 596
 Moyenne / *Mean*: 85.0
 Médiane / *Median*: 77
 Mode / *Mode*: 88
 Écart-type / *Standard deviation*: 49.2
 Coefficient de variation / *Coefficient of variation*: 0.6
 Échantillons < seuil de détection / *Samples < detection limit*: 1

Légende de la carte / *Map Legend*

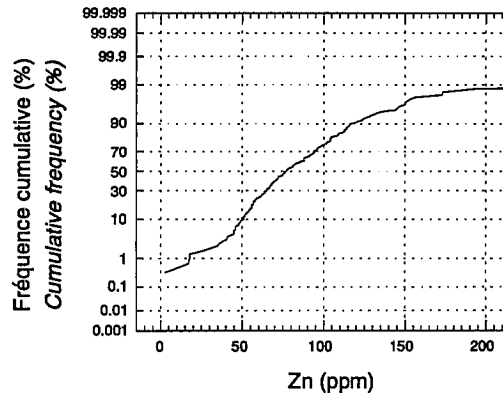
Zn (ppm)

Min.	Max.	#Ech.	%Tile	
Min.	Max.	#Samp.	%Tile	
•	<5	62	79	26.4
•	62	77	74	51.2
•	77	99	74	75.9
•	99	116	42	90
•	116	134	14	94.6
•	134	153	9	97.7
•	153	173	3	98.7
•	173	596	4	100

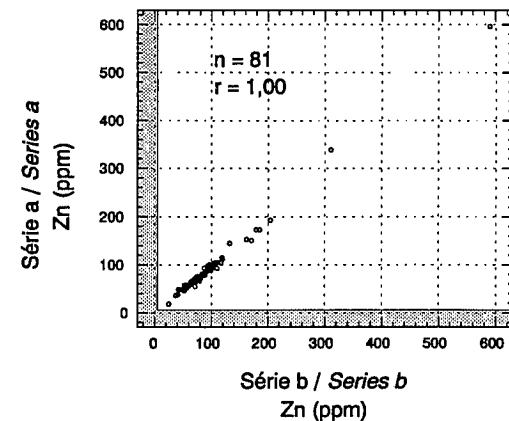
Histogramme de fréquence
Frequency Histogram

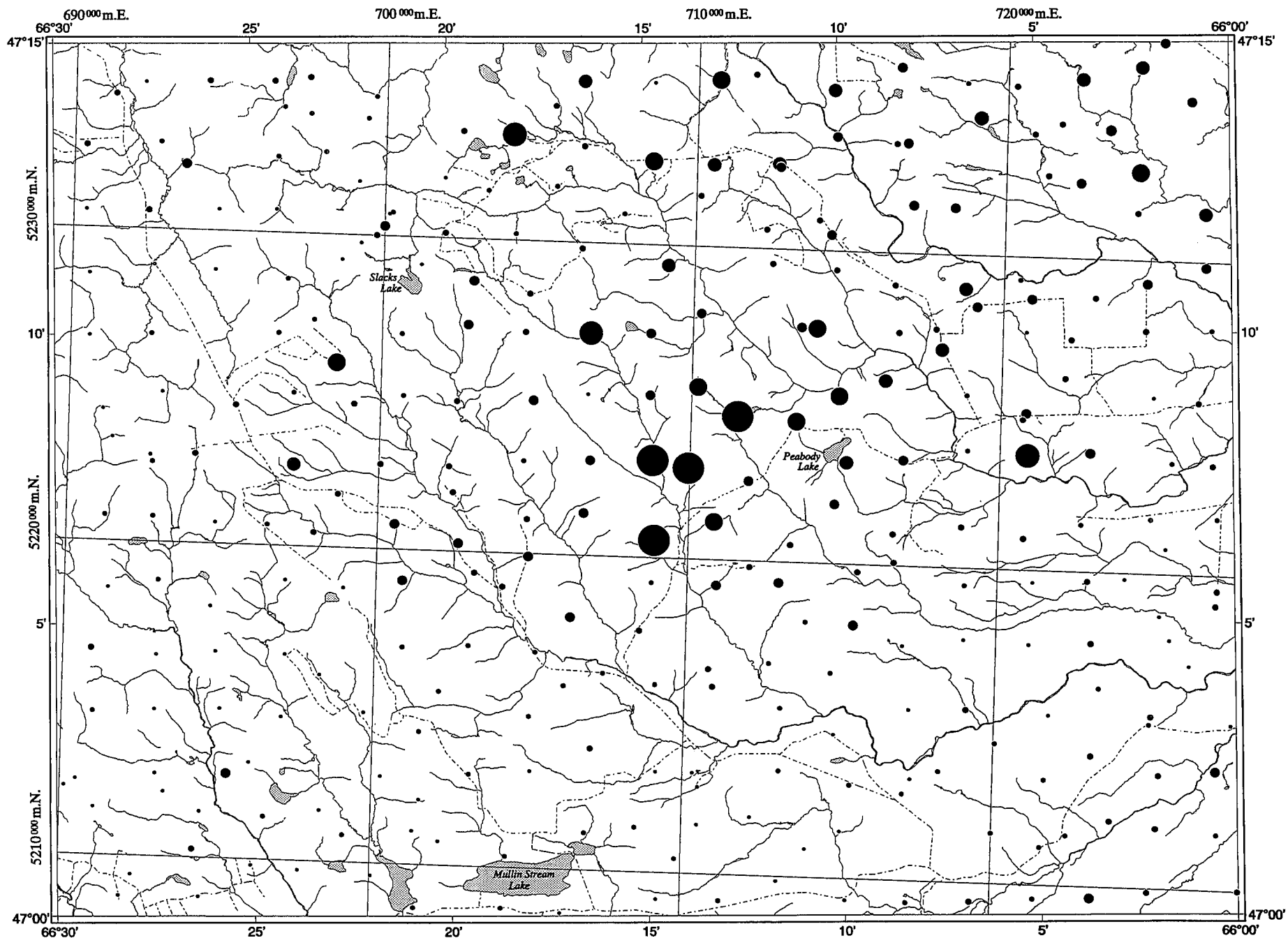


Courbe de fréquence cumulative
Cumulative Frequency Curve



Comparaison de 2 séries de résultats d'analyse
Comparison of 2 sets of Analytical Results





Scale Échelle
 Miles 1 0 1 2 3 Miles
 Metres 1000 0 1000 2000 3000 4000 Metres

Big Bald Mountain
 21-0/1

Zinc dans la fraction <0,063 mm du till
 Zinc in the <0.063 mm fraction of till

Zn

Géochimie du till / *Till Geochemistry*

Zirconium / *Zirconium*

Fraction / *Fraction*: <0.063 mm
 Seuil de détection / *Detection limit*: 3 ppm
 Méthode d'analyse / *Analytical method*: FRX / *XRF*

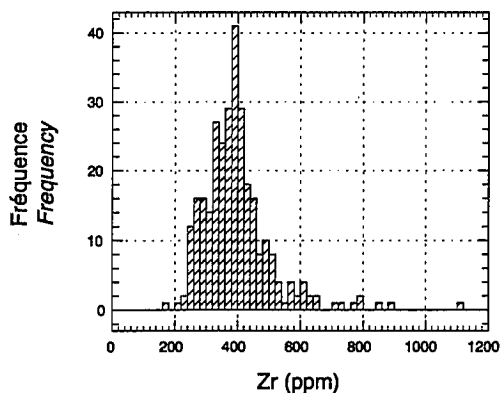
Nombre d'échantillons / *Number of samples*: 299
 Minimum / *Minimum*: 176
 Maximum / *Maximum*: 1106
 Moyenne / *Mean*: 397.2
 Médiane / *Median*: 386
 Mode / *Mode*: 396
 Écart-type / *Standard deviation*: 113.0
 Coefficient de variation / *Coefficient of variation*: 0.3
 Échantillons < seuil de détection / *Samples < detection limit*: 0

Légende de la carte / *Map Legend*

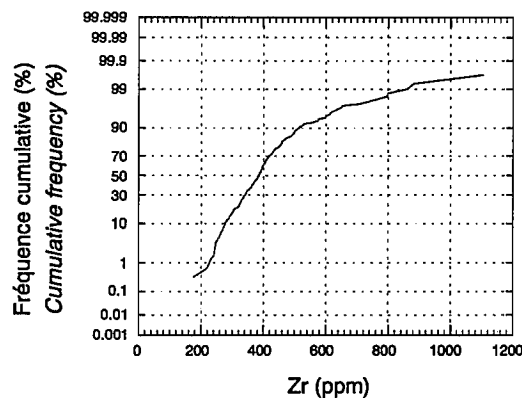
Zr (ppm)

Min.	Max.	#Ech.	%Tile	
<i>Min.</i>	<i>Max.</i>	<i>#Samp.</i>	<i>%Tile</i>	
•	176	327	71	23.7
•	327	383	76	49.2
•	383	432	75	74.2
•	432	508	46	89.6
•	508	600	15	94.6
•	600	710	9	97.7
•	710	795	3	98.7
•	795	1106	4	100

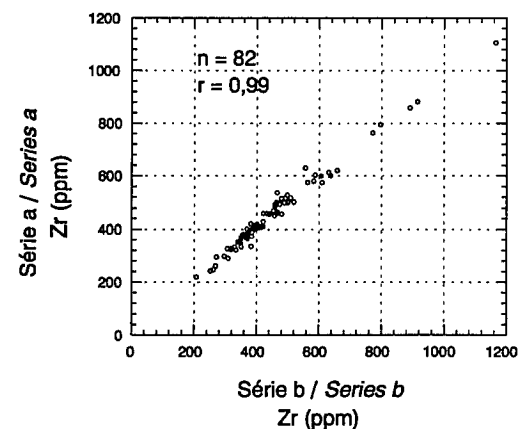
Histogramme de fréquence
Frequency Histogram

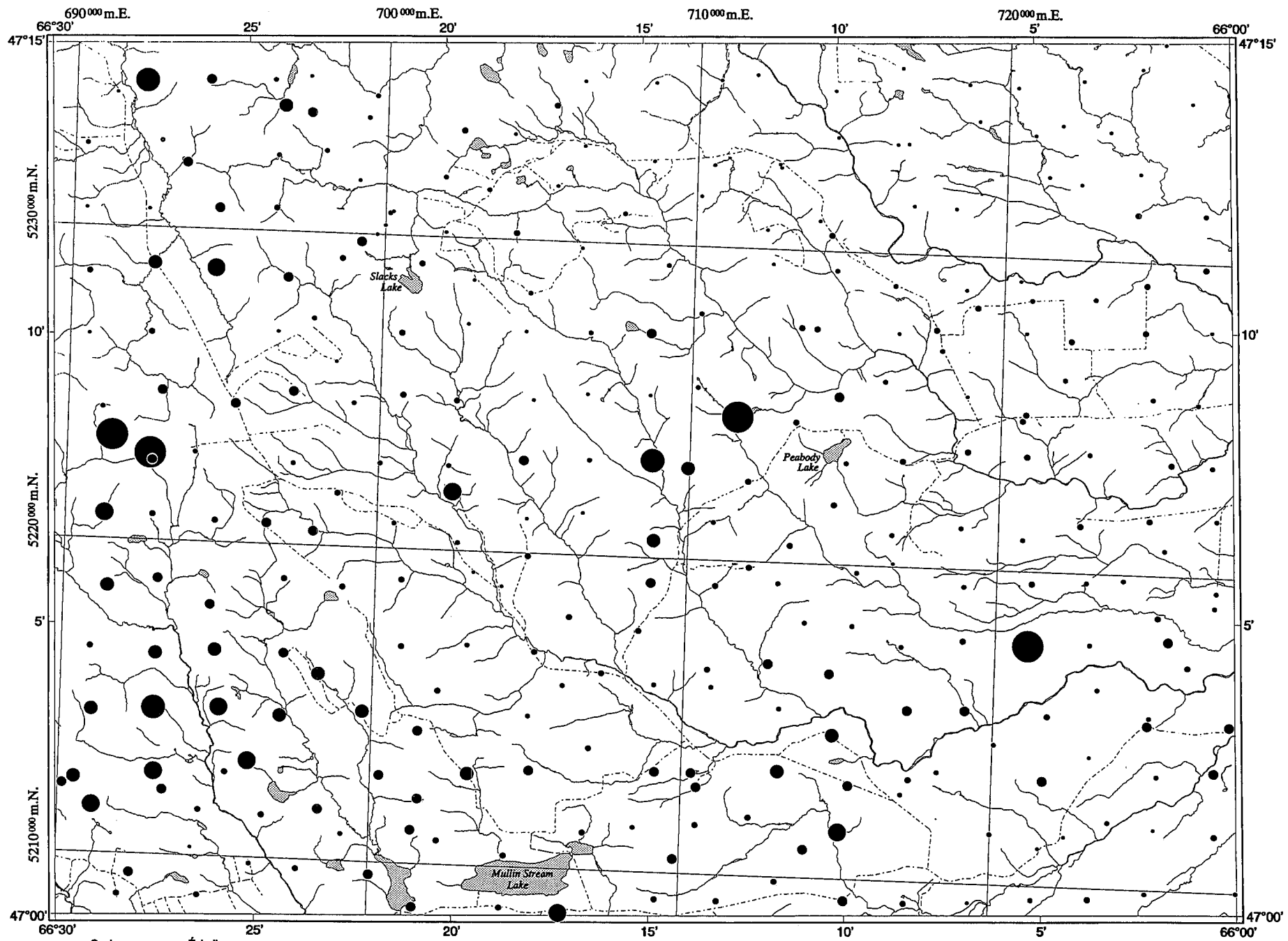


Courbe de fréquence cumulative
Cumulative Frequency Curve



Comparaison de 2 séries de résultats d'analyse
Comparison of 2 sets of Analytical Results





Scale Échelle
 Miles 1 0 1 2 3 Miles
 Metres 1000 0 1000 2000 3000 4000 Mètres

Big Bald Mountain
 21-0/1

Zirconium dans la fraction <0,063 mm du till
 Zirconium in the <0.063 mm fraction of till

Zr

Géochimie du till / *Till Geochemistry*

Argent / Silver

Fraction / *Fraction*: <0.063 mm
 Seuil de détection / *Detection limit*: 2 ppm
 Méthode d'analyse / *Analytical method*: AANI / INAA

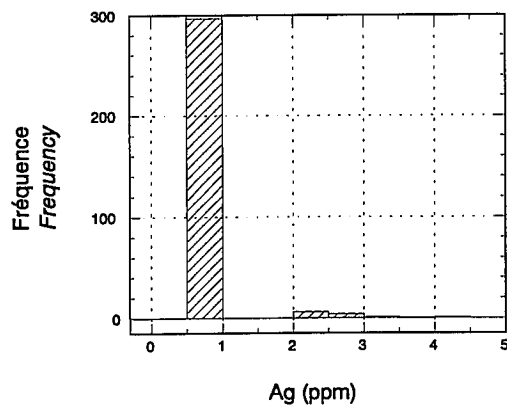
Nombre d'échantillons / *Number of samples*: 309
 Minimum / *Minimum*: <2
 Maximum / *Maximum*: 4
 Moyenne / *Mean*: 1.1
 Médiane / *Median*: 1
 Mode / *Mode*: 1
 Écart-type / *Standard deviation*: 0.4
 Coefficient de variation / *Coefficient of variation*: 0.3
 Échantillons < seuil de détection / *Samples < detection limit*: 297

Légende de la carte / *Map Legend*

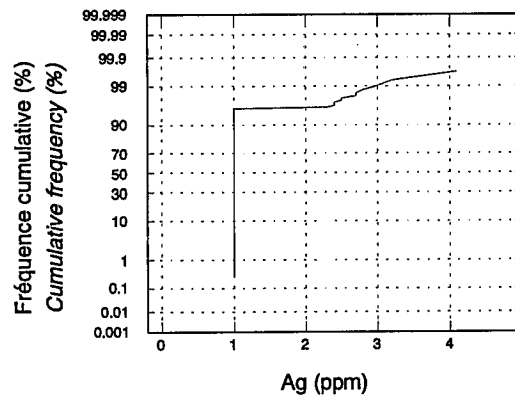
Ag (ppm)

Min.	Max.	#Ech.	%Tile
Min.	Max.	#Samp.	%Tile
•	<2	2	96.1
●	2	10	99.4
●	3	2	100
●	4	2	100

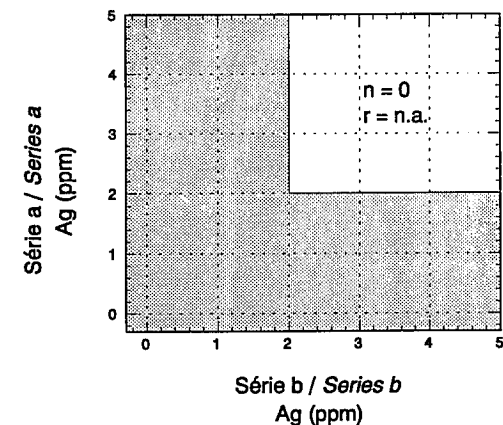
Histogramme de fréquence
Frequency Histogram

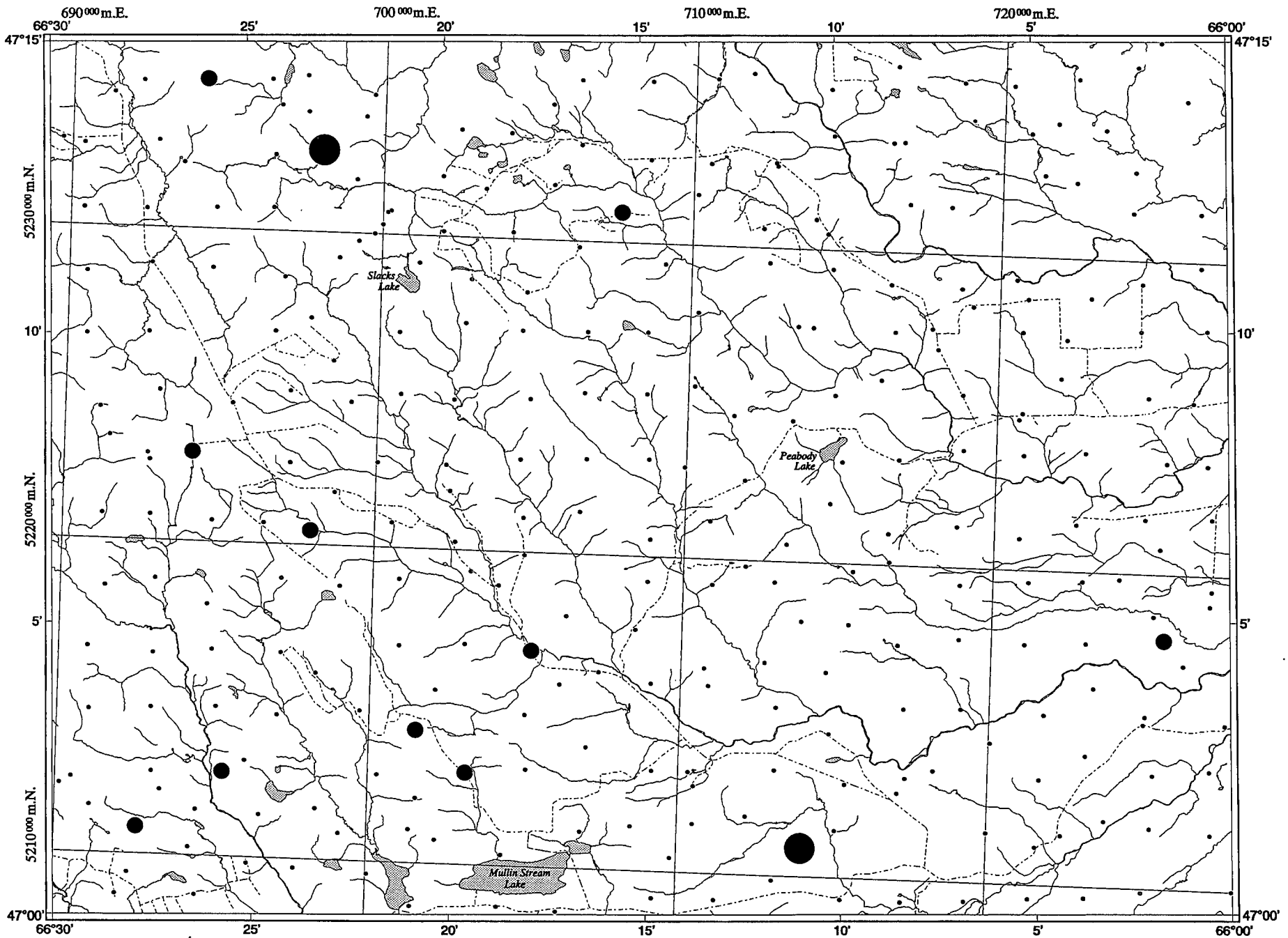


Courbe de fréquence cumulative
Cumulative Frequency Curve



Comparaison de 2 séries de résultats d'analyse
Comparison of 2 sets of Analytical Results





Scale Échelle
 Miles 1 0 1 2 3 Miles
 Metres 1000 0 1000 2000 3000 4000 Mètres

Big Bald Mountain
 21-0/1

Argent dans la fraction <0,063 mm du till
 Silver in the <0.063 mm fraction of till

Ag

Géochimie du till / *Till Geochemistry*

Arsenic / Arsenic

Fraction / *Fraction*: <0.063 mm
 Seuil de détection / *Detection limit*: 0.5 ppm
 Méthode d'analyse / *Analytical method*: AANI / INAA

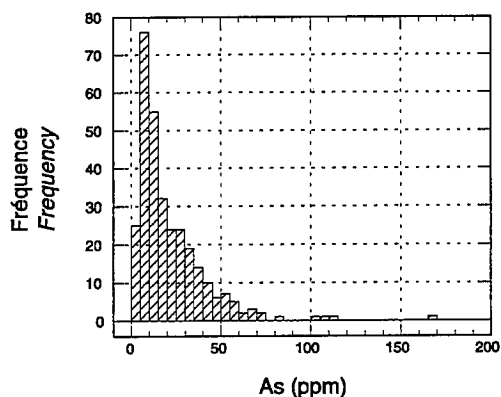
Nombre d'échantillons / *Number of samples*: 309
 Minimum / *Minimum*: 2
 Maximum / *Maximum*: 168
 Moyenne / *Mean*: 21.3
 Médiane / *Median*: 14.8
 Mode / *Mode*: 3.9
 Écart-type / *Standard deviation*: 19.7
 Coefficient de variation / *Coefficient of variation*: 0.9
 Échantillons < seuil de détection / *Samples < detection limit*: 0

Légende de la carte / *Map Legend*

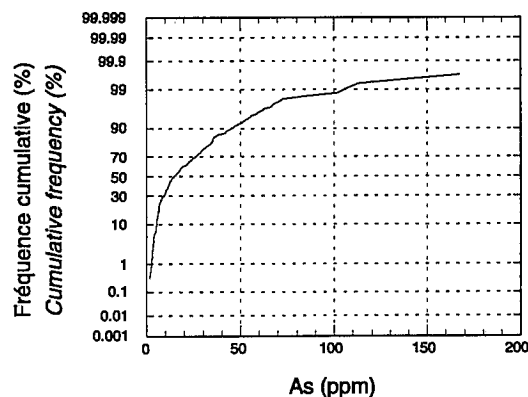
As (ppm)

Min.	Max.	#Ech.	%Tile
<i>Min.</i>	<i>Max.</i>	<i>#Samp.</i>	<i>%Tile</i>
2	7	71	23
7	15	85	50.5
15	29	74	74.4
29	45	49	90.3
45	56	15	95.1
56	68	8	97.7
68	84	2	98.4
84	168	5	100

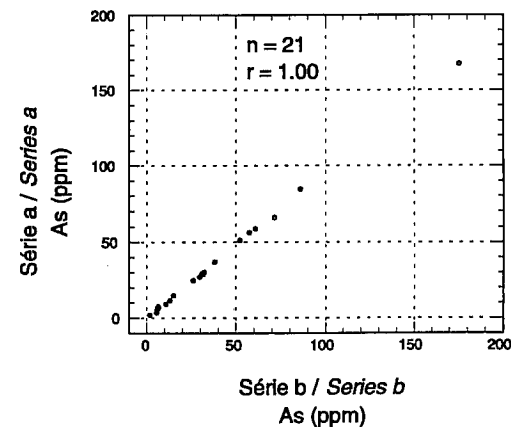
Histogramme de fréquence
Frequency Histogram

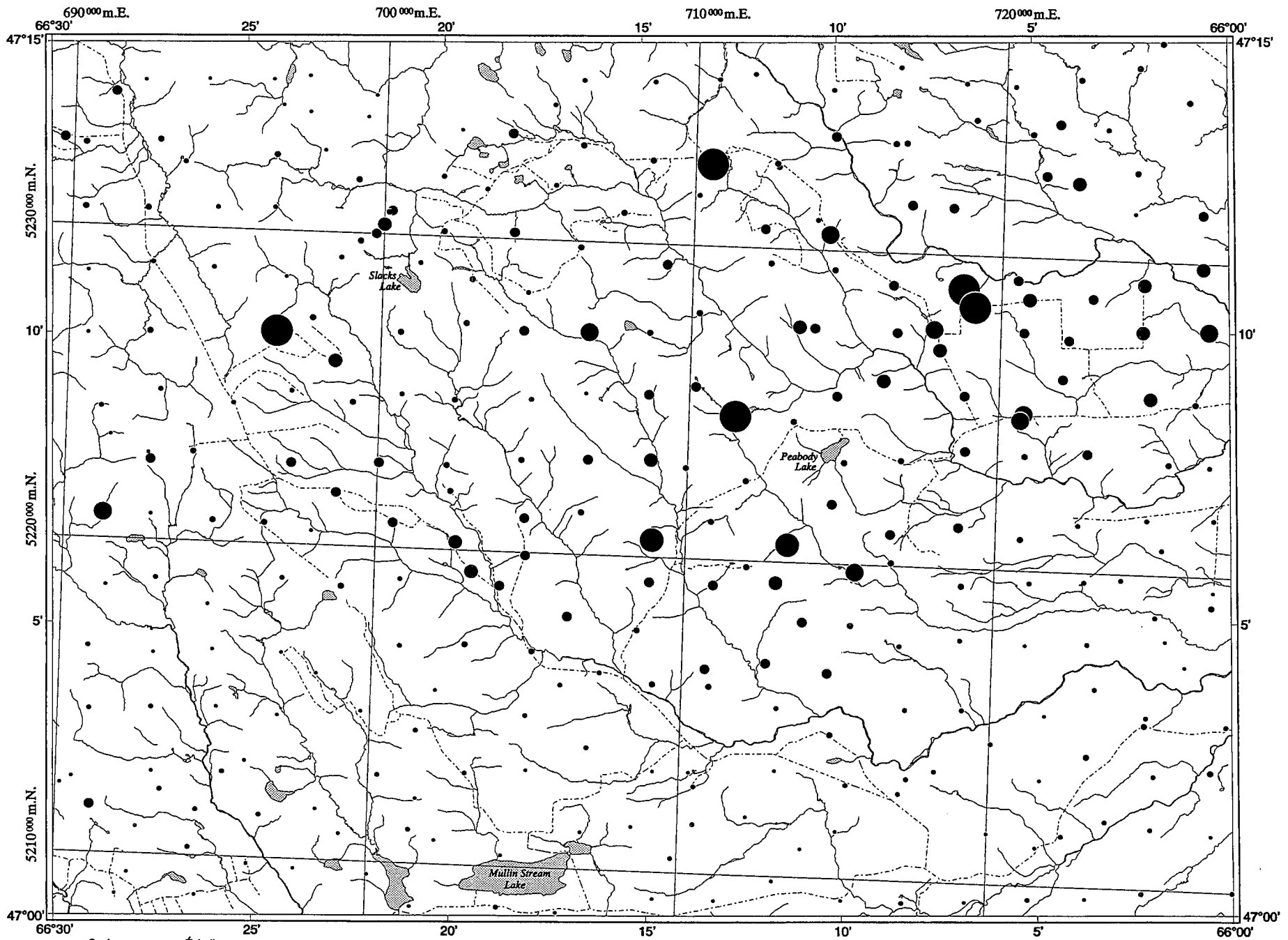


Courbe de fréquence cumulative
Cumulative Frequency Curve



Comparaison de 2 séries de résultats d'analyse
Comparison of 2 sets of Analytical Results





Scale Échelle
 Miles 1 0 1 2 3 Miles
 Mètres 1000 0 1000 2000 3000 4000 Mètres

Big Bald Mountain
 21-0/1

Arsenic dans la fraction <math><0,063\text{ mm}</math> du till
 Arsenic in the <math><0.063\text{ mm}</math> fraction of till

As

Géochimie du till / *Till Geochemistry*

Or / Gold

Fraction / *Fraction*: <0.063 mm
 Seuil de détection / *Detection limit*: 2 ppb
 Méthode d'analyse / *Analytical method*: AANI / INAA

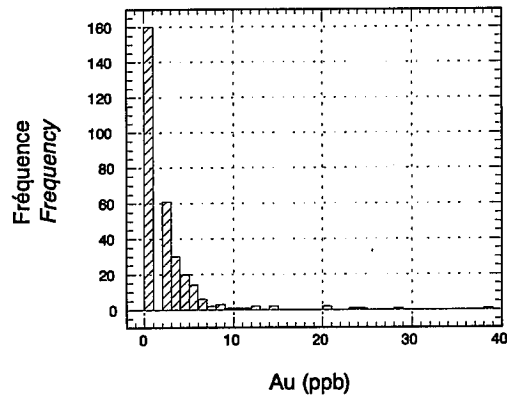
Nombre d'échantillons / *Number of samples*: 309
 Minimum / *Minimum*: <2
 Maximum / *Maximum*: 39
 Moyenne / *Mean*: 3
 Médiane / *Median*: 1
 Mode / *Mode*: 1
 Écart-type / *Standard deviation*: 4
 Coefficient de variation / *Coefficient of variation*: 1
 Échantillons < seuil de détection / *Samples < detection limit*: 160

Légende de la carte / *Map Legend*

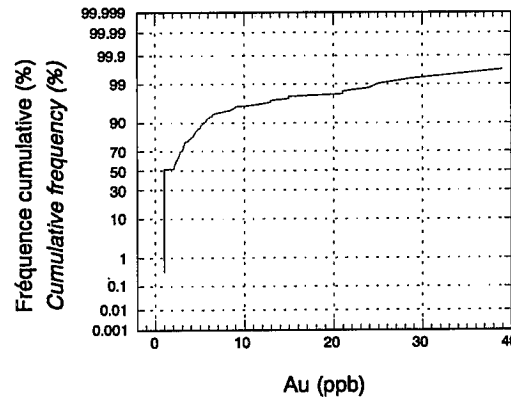
Au (ppb)

	Min.	Max.	#Ech.	%Tile
	Min.	Max.	#Samp.	%Tile
•	<2	2	160	51.8
•	2	3	61	71.5
•	3	5	50	87.7
•	5	8	22	94.8
•	8	13	8	97.4
•	13	21	4	98.7
•	21	39	4	100

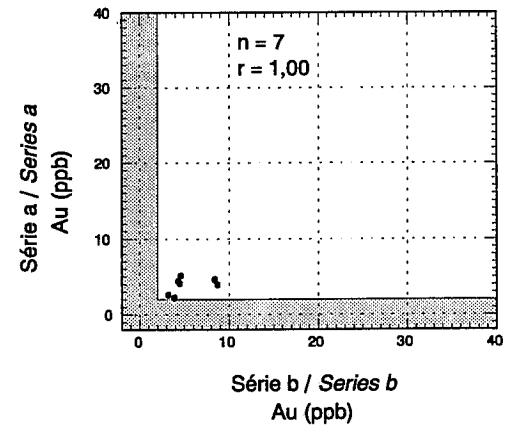
Histogramme de fréquence
Frequency Histogram

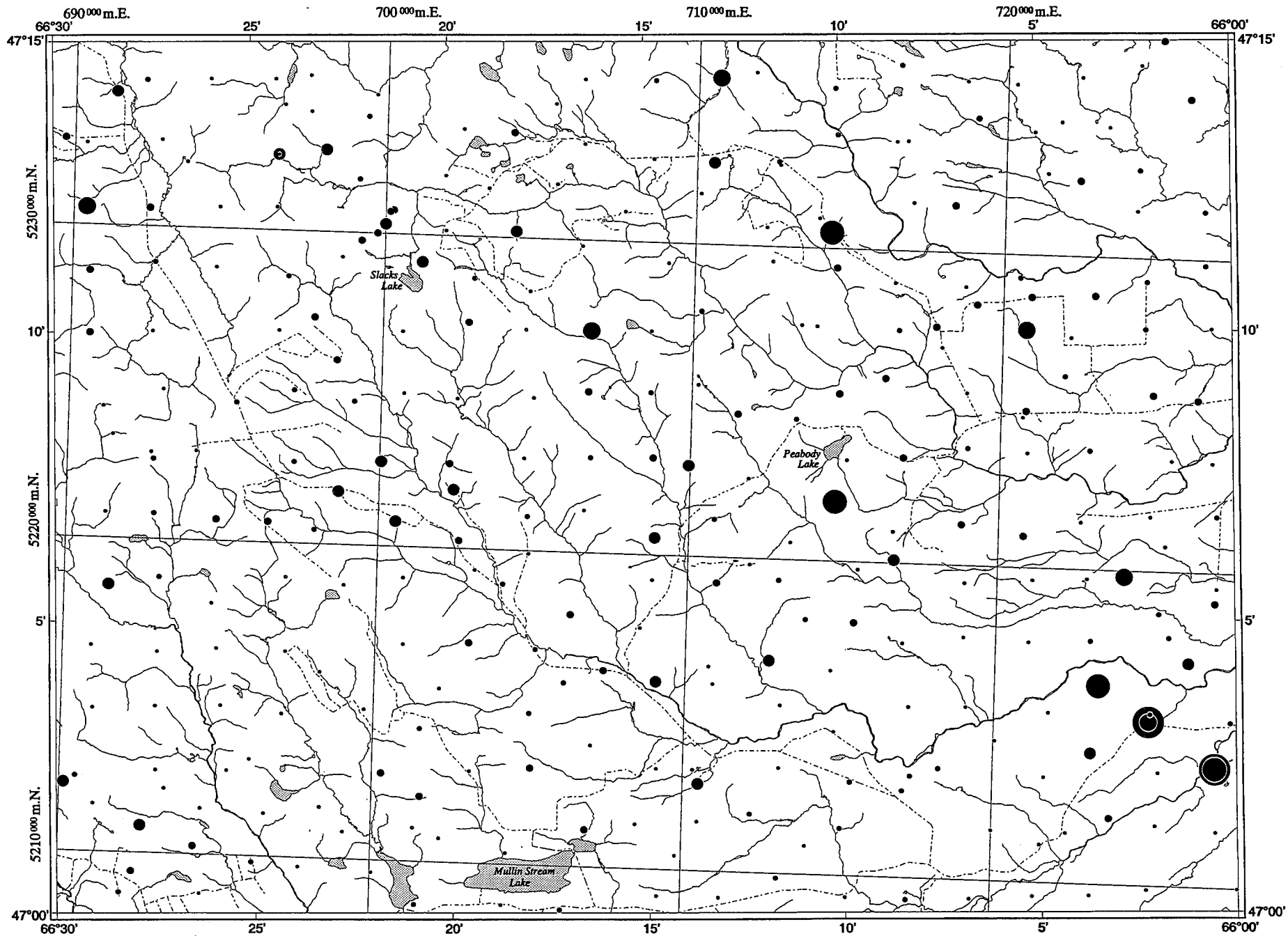


Courbe de fréquence cumulative
Cumulative Frequency Curve



Comparaison de 2 séries de résultats d'analyse
Comparison of 2 sets of Analytical Results





Scale Échelle
 Miles 1 0 1 2 3 Miles
 Metres 1000 0 1000 2000 3000 4000 Mètres
 Big Bald Mountain
 21-0/1

Or dans la fraction <0,063 mm du till
 Gold in the <0.063 mm fraction of till

Au

Géochimie du till / *Till Geochemistry*

Baryum / Barium

Fraction / *Fraction*: <0.063 mm
 Seuil de détection / *Detection limit*: 50 ppm
 Méthode d'analyse / *Analytical method*: AANI / INAA

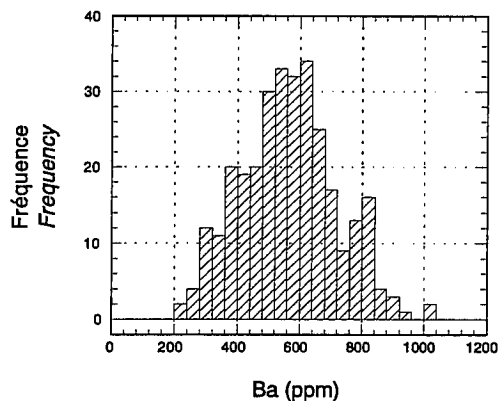
Nombre d'échantillons / *Number of samples*: 309
 Minimum / *Minimum*: 209
 Maximum / *Maximum*: 2032
 Moyenne / *Mean*: 573
 Médiane / *Median*: 565
 Mode / *Mode*: 599
 Écart-type / *Standard deviation*: 180
 Coefficient de variation / *Coefficient of variation*: 0.3
 Échantillons < seuil de détection / *Samples < detection limit*: 0

Légende de la carte / *Map Legend*

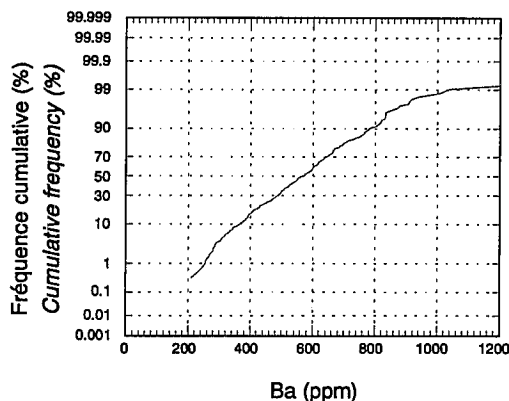
Ba (ppm)

Min.	Max.	#Ech.	%Tile	
<i>Min.</i>	<i>Max.</i>	<i>#Samp.</i>	<i>%Tile</i>	
•	209	460	77	24.9
•	460	564	77	49.8
•	564	664	77	74.8
•	664	776	46	89.6
•	776	832	17	95.1
•	832	907	8	97.7
•	907	943	3	98.7
•	943	2032	4	100

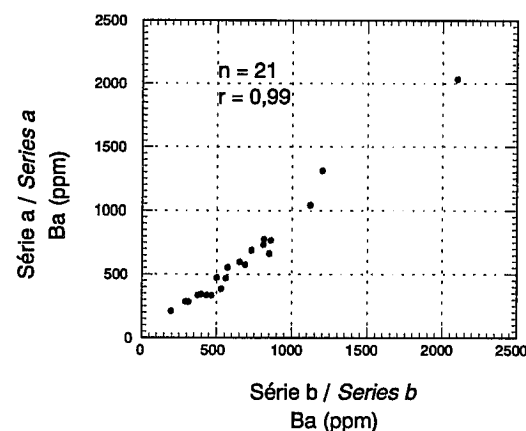
Histogramme de fréquence
Frequency Histogram

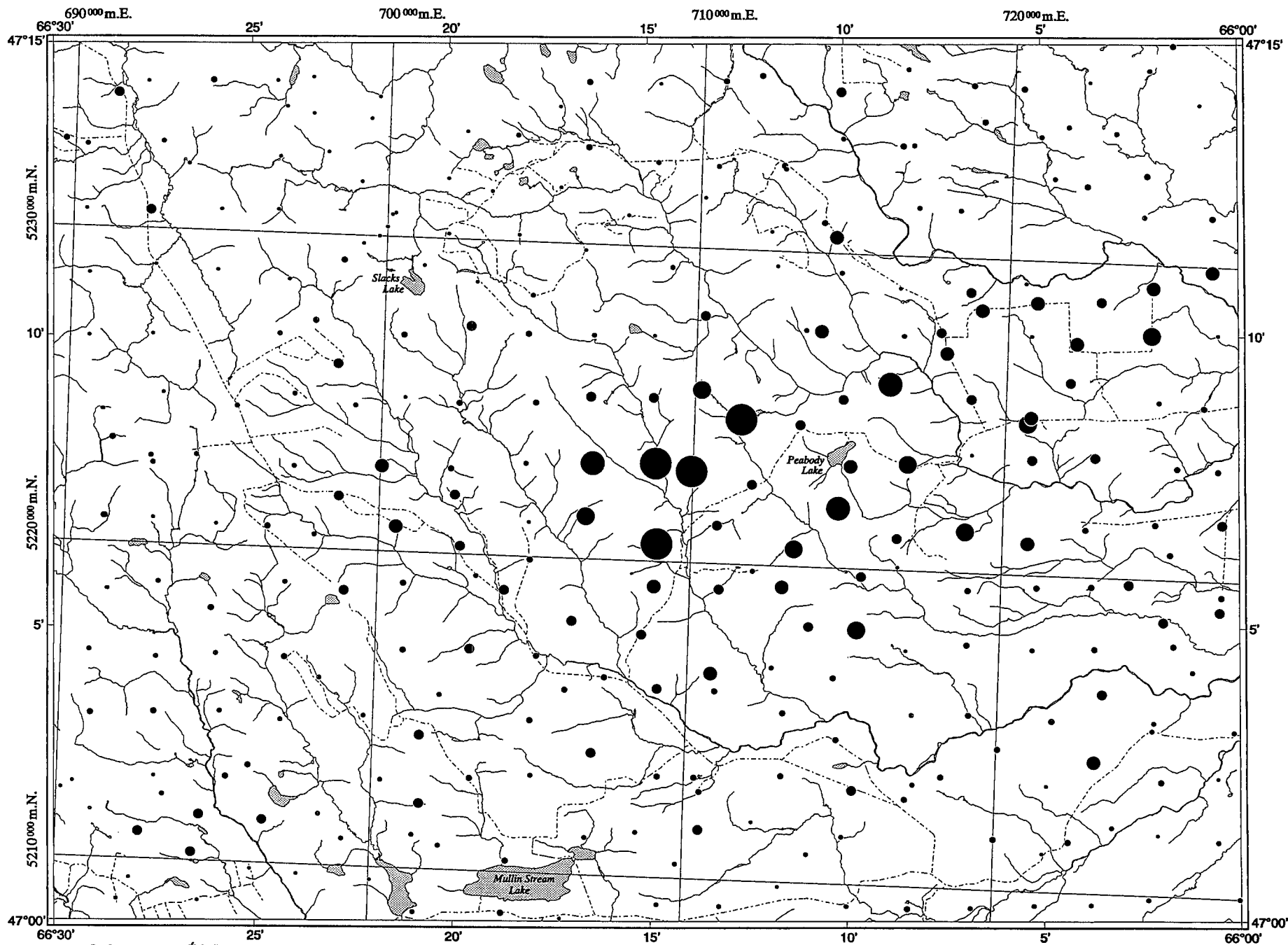


Courbe de fréquence cumulative
Cumulative Frequency Curve



Comparaison de 2 séries de résultats d'analyse
Comparison of 2 sets of Analytical Results





Baryum dans la fraction <0,063 mm du till
Barium in the <0.063 mm fraction of till

Ba

Géochimie du till / *Till Geochemistry*

Brome / Bromium

Fraction / *Fraction*: <0.063 mm
 Seuil de détection / *Detection limit*: 0.5 ppm
 Méthode d'analyse / *Analytical method*: AANI / INAA

Nombre d'échantillons / *Number of samples*: 309
 Minimum / *Minimum*: <0.5
 Maximum / *Maximum*: 81
 Moyenne / *Mean*: 10.8
 Médiane / *Median*: 8
 Mode / *Mode*: 8

Écart-type / *Standard deviation*: 10.4

Coefficient de variation / *Coefficient of variation*: 1.0

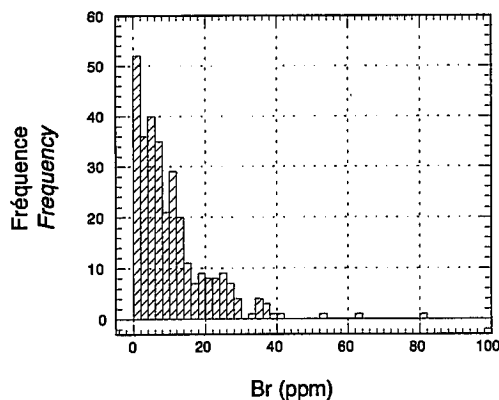
Échantillons < seuil de détection / *Samples < detection limit*: 6

Légende de la carte / *Map Legend*

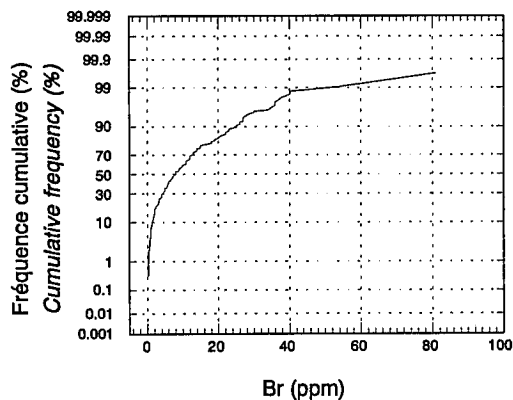
Br (ppm)

Min.	Max.	#Ech.	%Tile
<i>Min.</i>	<i>Max.</i>	<i>#Samp.</i>	<i>%Tile</i>
<0.5	3.4	78	25.2
3.4	7.9	76	49.8
7.9	14	79	75.4
14	24.1	44	89.6
24.1	28.1	16	94.8
28.1	36.1	9	97.7
36.1	40	3	98.7
40	81	4	100

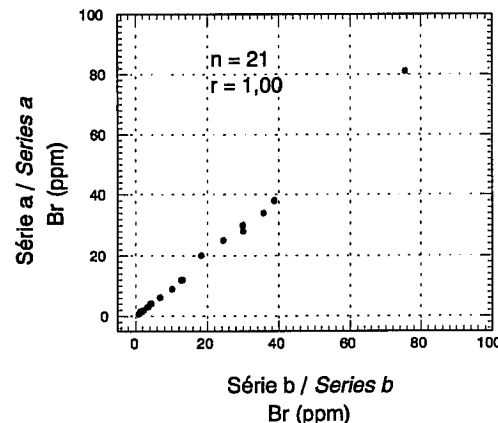
Histogramme de fréquence
Frequency Histogram

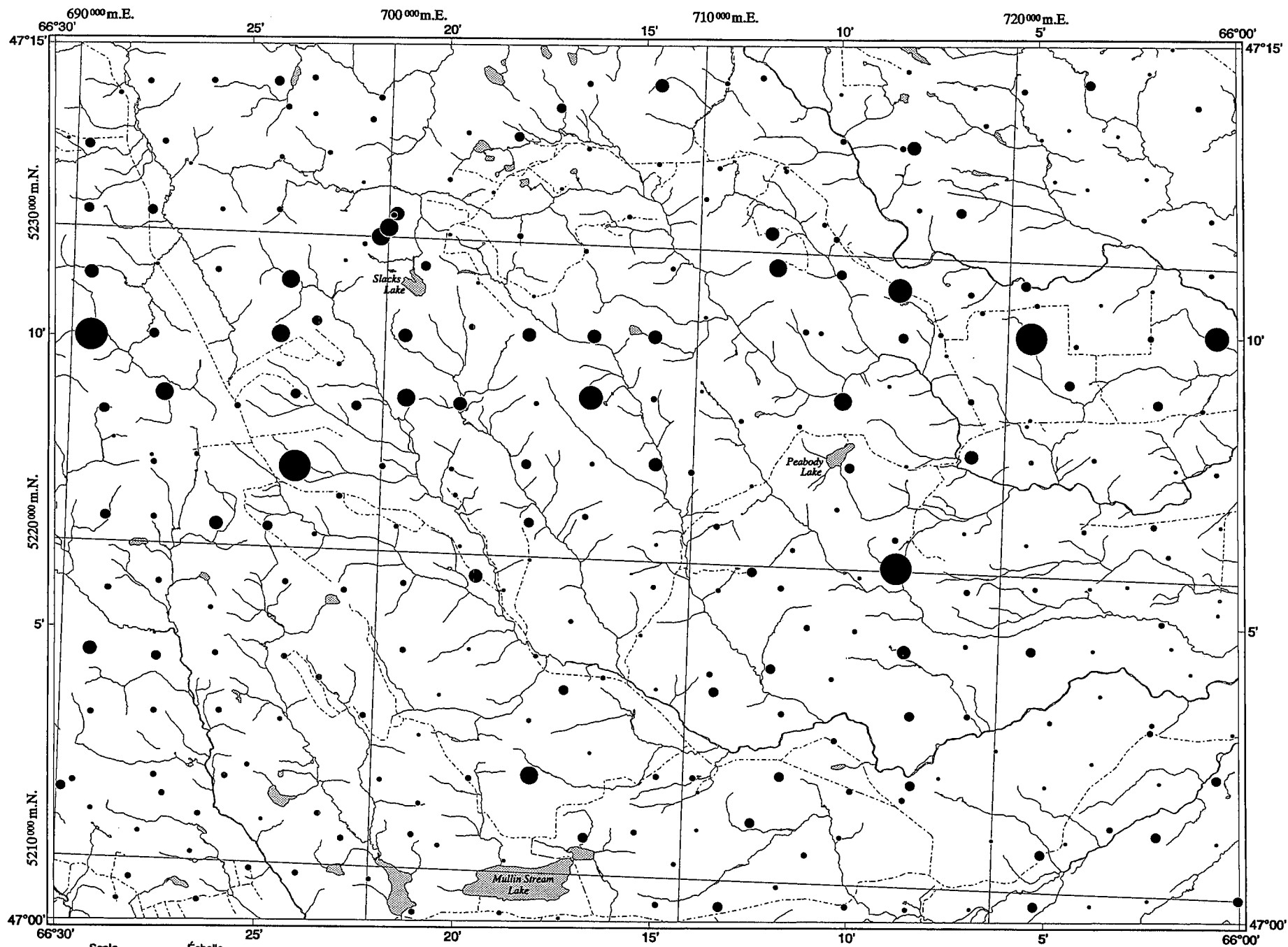


Courbe de fréquence cumulative
Cumulative Frequency Curve



Comparaison de 2 séries de résultats d'analyse
Comparison of 2 sets of Analytical Results





Brome dans la fraction <0,063 mm du till
Bromium in the <0.063 mm fraction of till

Br

Géochimie du till / *Till Geochemistry*

Calcium / Calcium

Fraction / *Fraction*: <0.063 mm
 Seuil de détection / *Detection limit*: 2500 ppm
 Méthode d'analyse / *Analytical method*: AANI / INAA

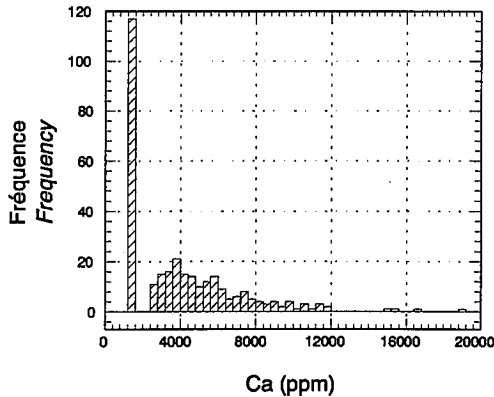
Nombre d'échantillons / *Number of samples*: 309
 Minimum / *Minimum*: <2500
 Maximum / *Maximum*: 18900
 Moyenne / *Mean*: 3984
 Médiane / *Median*: 3500
 Mode / *Mode*: 1250
 Écart-type / *Standard deviation*: 3073
 Coefficient de variation / *Coefficient of variation*: 0.8
 Échantillons < seuil de détection / *Samples < detection limit*: 120

Légende de la carte / *Map Legend*

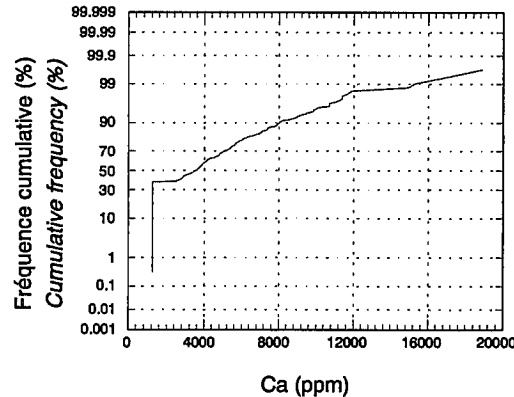
Ca (ppm)

Min.	Max.	#Ech.	%Tile	
<i>Min.</i>	<i>Max.</i>	<i>#Samp.</i>	<i>%Tile</i>	
•	<2500	2500	120	38.8
•	2500	3490	34	49.8
•	3490	5520	77	74.8
•	5520	7960	47	90
•	7960	9860	15	94.8
•	9860	11300	8	97.4
•	11300	11900	4	98.7
•	11900	18900	4	100

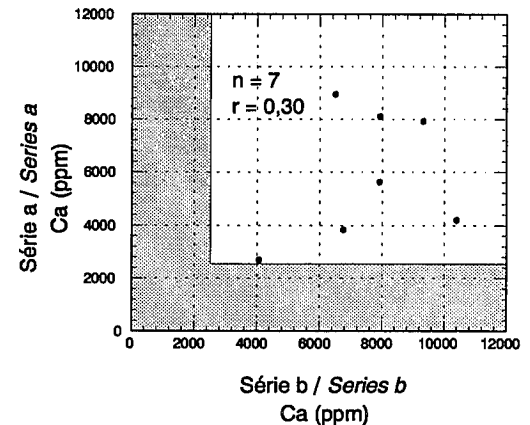
Histogramme de fréquence
Frequency Histogram

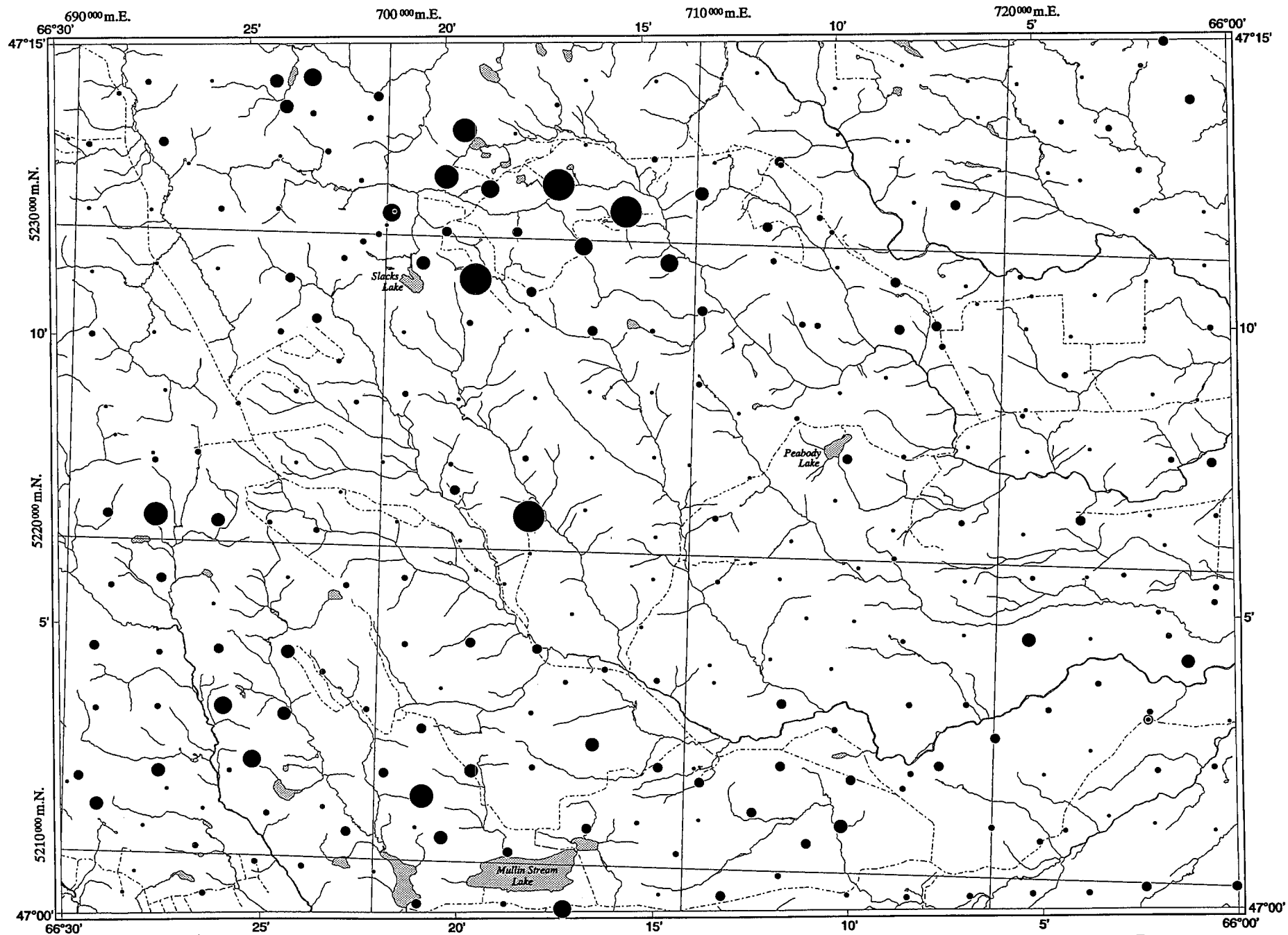


Courbe de fréquence cumulative
Cumulative Frequency Curve



Comparaison de 2 séries de résultats d'analyse
Comparison of 2 sets of Analytical Results





Big Bald Mountain
21-0/1

Calcium dans la fraction <0,063 mm du till
Calcium in the <0.063 mm fraction of till

Ca

Géochimie du till / *Till Geochemistry*

Cérium / Cerium

Fraction / *Fraction*: <0.063 mm
 Seuil de détection / *Detection limit*: 2 ppm
 Méthode d'analyse / *Analytical method*: AANI / INAA

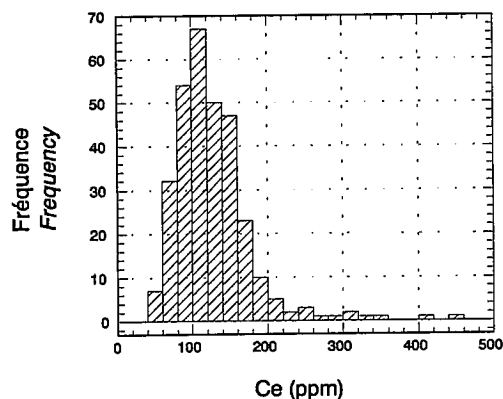
Nombre d'échantillons / *Number of samples*: 309
 Minimum / *Minimum*: 48.7
 Maximum / *Maximum*: 881.8
 Moyenne / *Mean*: 130.4
 Médiane / *Median*: 118.4
 Mode / *Mode*: 79.9
 Écart-type / *Standard deviation*: 66.8
 Coefficient de variation / *Coefficient of variation*: 0.5
 Échantillons < seuil de détection / *Samples < detection limit*: 0

Légende de la carte / *Map Legend*

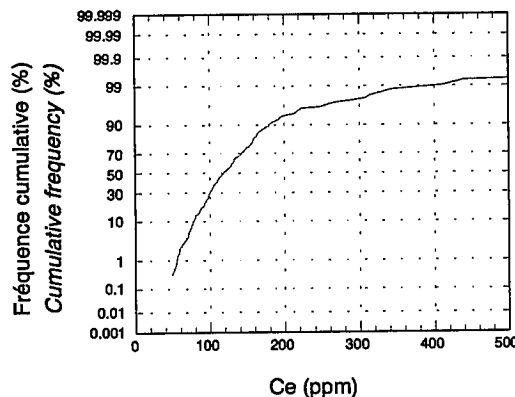
Ce (ppm)

Min.	Max.	#Ech.	%Tile	
Min.	Max.	#Samp.	%Tile	
•	48.7	96.7	77	24.9
•	96.7	118	77	49.8
•	118	148.3	77	74.8
•	148.3	179.1	47	90
•	179.1	214.5	15	94.8
•	214.5	290.1	9	97.7
•	290.1	327.1	3	98.7
•	327.1	881.8	4	100

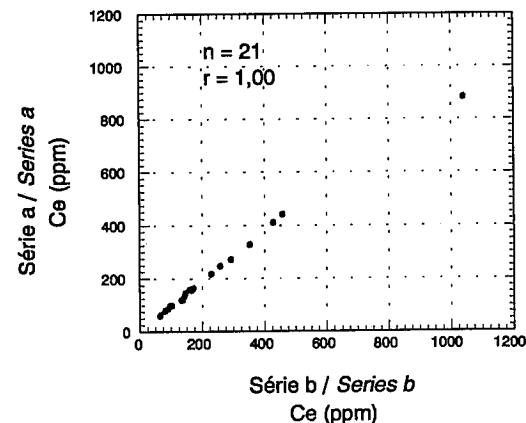
Histogramme de fréquence
Frequency Histogram

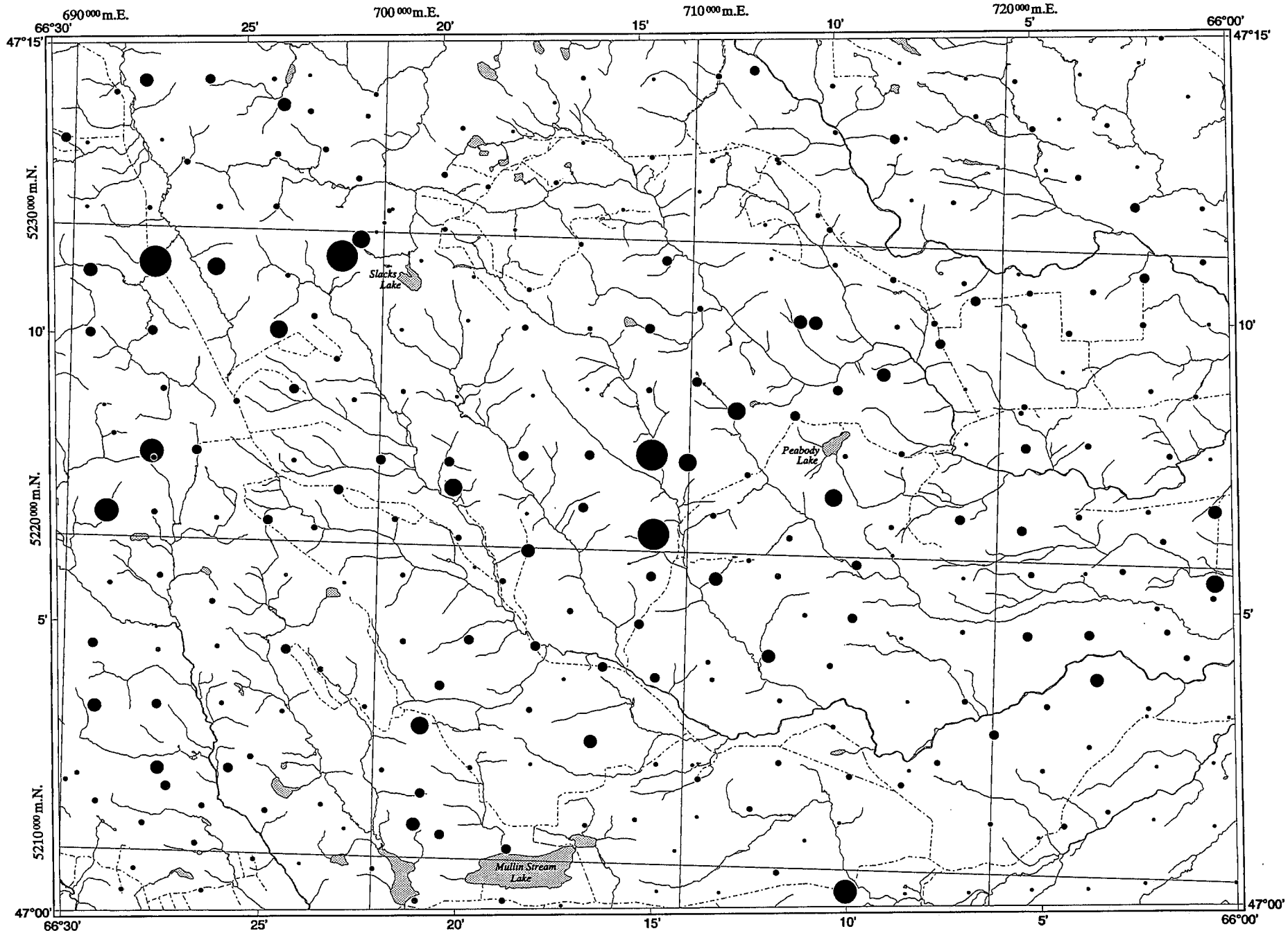


Courbe de fréquence cumulative
Cumulative Frequency Curve



Comparaison de 2 séries de résultats d'analyse
Comparison of 2 sets of Analytical Results





Scale Échelle
 Miles 0 1 2 3 Miles
 Metres 1000 0 1000 2000 3000 4000 Mètres

Big Bald Mountain
 21-0/1

Cérium dans la fraction $<0,063\text{ mm}$ du till
 Cerium in the $<0.063\text{ mm}$ fraction of till

Ce

Géochimie du till / *Till Geochemistry*

Cobalt / Cobalt

Fraction / *Fraction*: <0.063 mm
 Seuil de détection / *Detection limit*: 5 ppm
 Méthode d'analyse / *Analytical method*: AANI / INAA

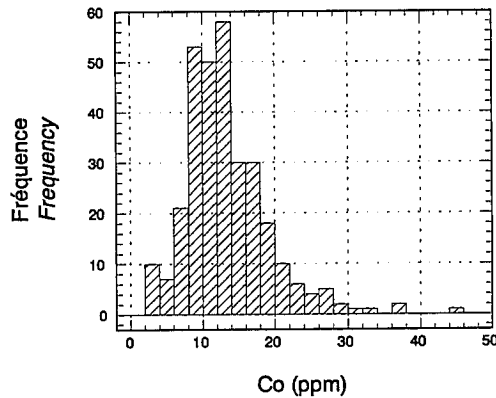
Nombre d'échantillons / *Number of samples*: 309
 Minimum / *Minimum*: <5
 Maximum / *Maximum*: 45
 Moyenne / *Mean*: 13
 Médiane / *Median*: 13
 Mode / *Mode*: 2.5
 Écart-type / *Standard deviation*: 6
 Coefficient de variation / *Coefficient of variation*: 0.4
 Échantillons < seuil de détection / *Samples < detection limit*: 10

Légende de la carte / *Map Legend*

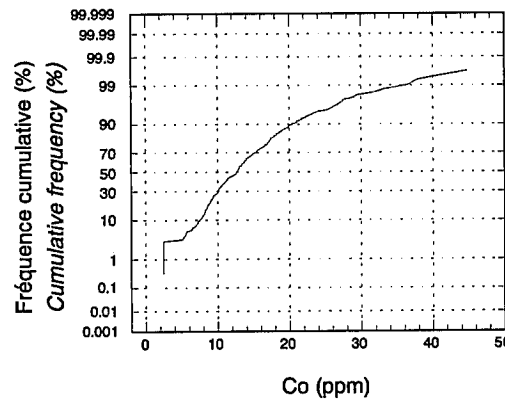
Co (ppm)

	Min.	Max.	#Ech.	%Tile
	Min.	Max.	#Samp.	%Tile
•	<5	9	68	22
•	9	12	73	45.6
•	12	16	88	74.1
•	16	20	48	89.6
•	20	24	16	94.8
•	24	28	9	97.7
•	28	32	3	98.7
•	32	45	4	100

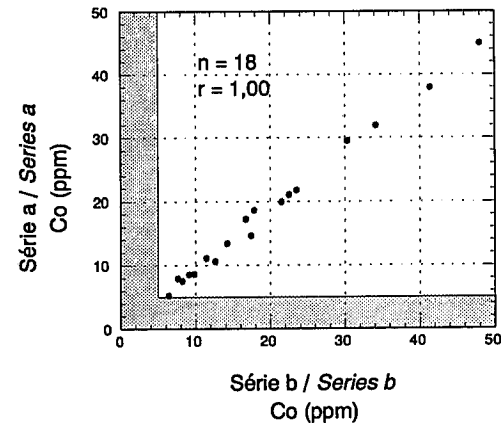
Histogramme de fréquence
Frequency Histogram

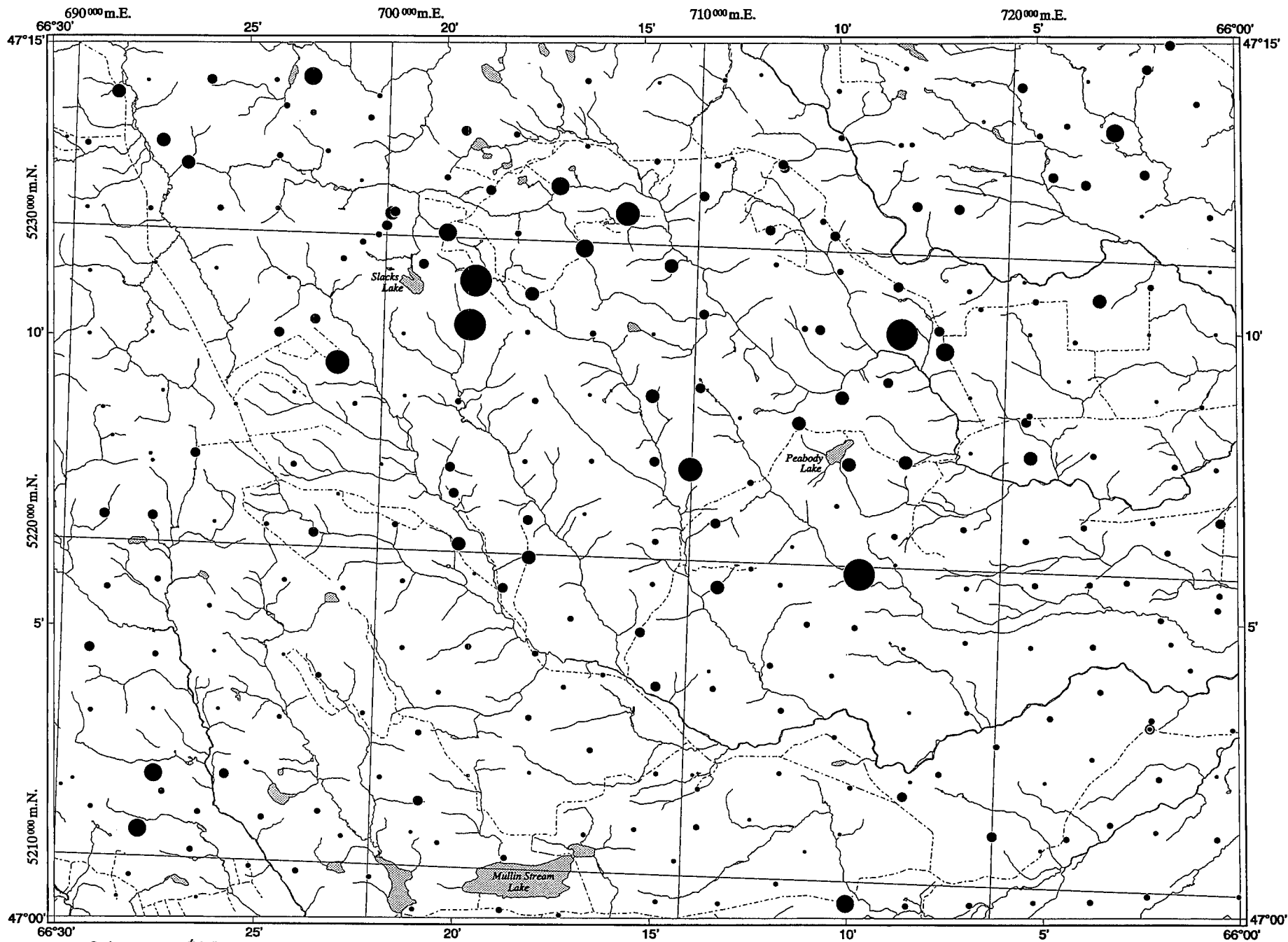


Courbe de fréquence cumulative
Cumulative Frequency Curve



Comparaison de 2 séries de résultats d'analyse
Comparison of 2 sets of Analytical Results





Cobalt dans la fraction <0,063 mm du till
Cobalt in the <0.063 mm fraction of till

Co

Géochimie du till / *Till Geochemistry*

Chrome / Chromium

Fraction / *Fraction*: <0.063 mm
 Seuil de détection / *Detection limit*: 20 ppm
 Méthode d'analyse / *Analytical method*: AANI / INAA

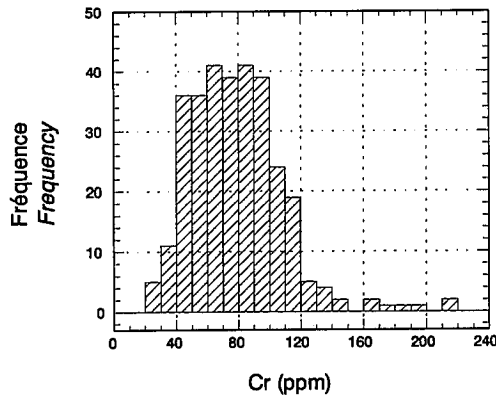
Nombre d'échantillons / *Number of samples*: 309
 Minimum / *Minimum*: 21
 Maximum / *Maximum*: 215
 Moyenne / *Mean*: 79
 Médiane / *Median*: 77
 Mode / *Mode*: 68
 Écart-type / *Standard deviation*: 30
 Coefficient de variation / *Coefficient of variation*: 0.4
 Échantillons < seuil de détection / *Samples < detection limit*: 0

Légende de la carte / *Map Legend*

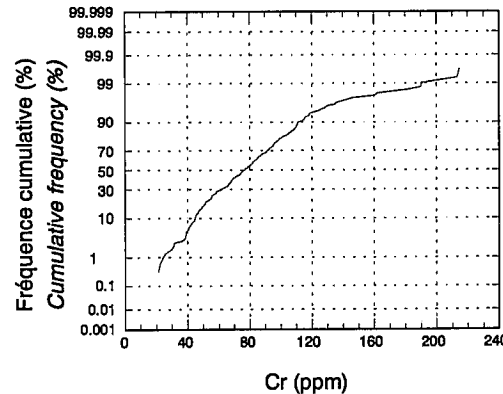
Cr (ppm)

Min.	Max.	#Ech.	%Tile
<i>Min.</i>	<i>Max.</i>	<i>#Samp.</i>	<i>%Tile</i>
21	56	76	24.6
56	76	77	49.5
76	95	75	73.8
95	111	50	90
111	124	14	94.5
124	147	10	97.7
147	179	3	98.7
179	215	4	100

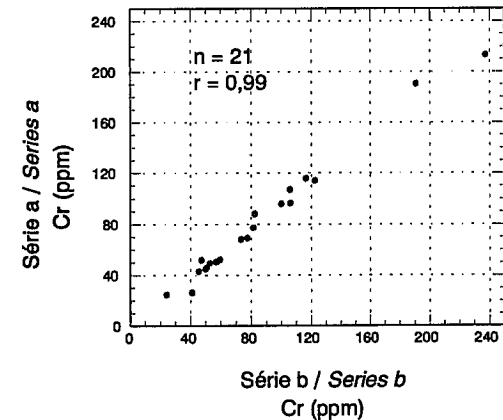
Histogramme de fréquence
Frequency Histogram

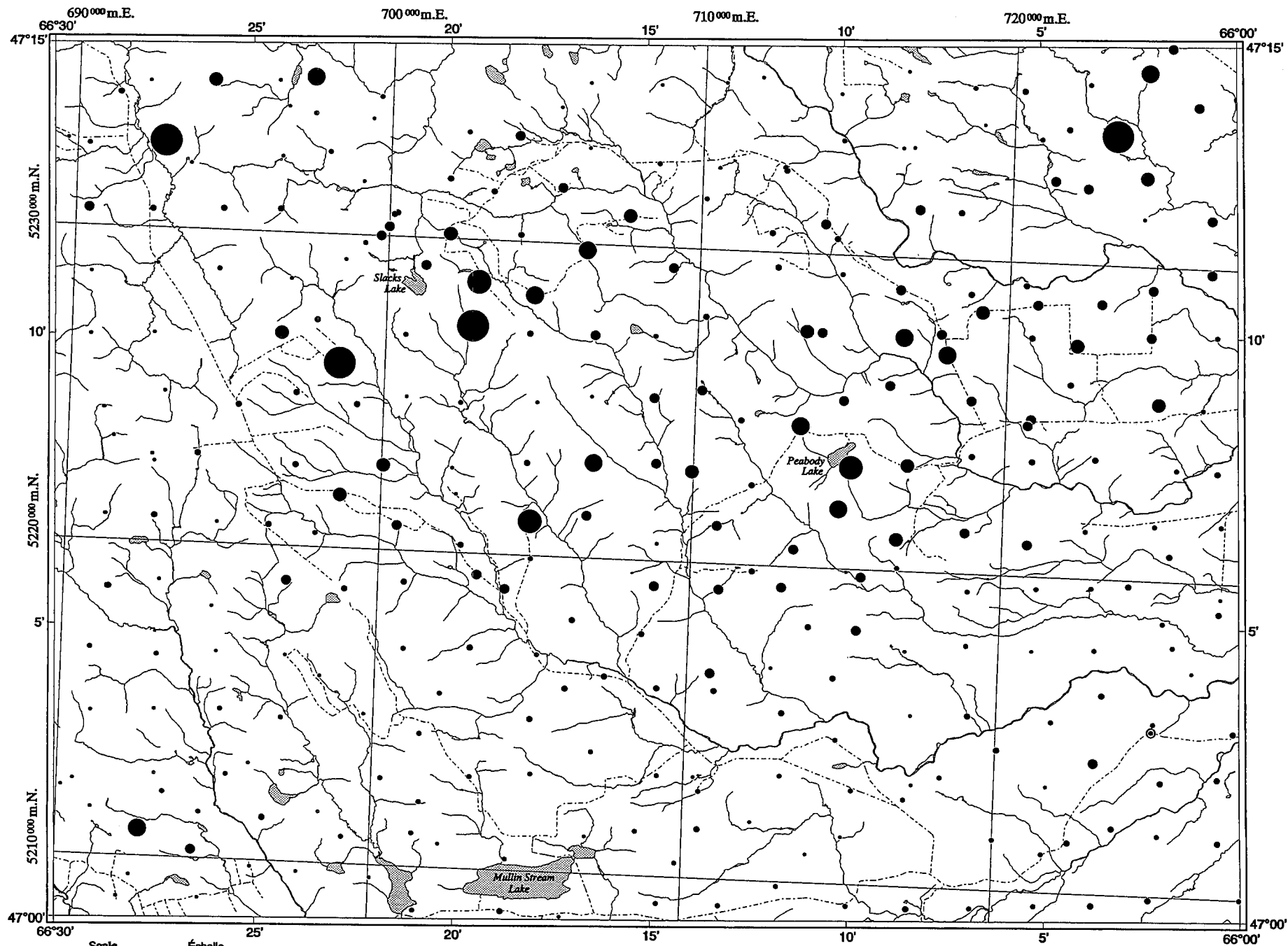


Courbe de fréquence cumulative
Cumulative Frequency Curve



Comparaison de 2 séries de résultats d'analyse
Comparison of 2 sets of Analytical Results





Chrome dans la fraction <0,063 mm du till
Chromium in the <0.063 mm fraction of till

Cr

Big Bald Mountain
21-0/1

Géochimie du till / *Till Geochemistry*

Césium / *Cesium*

Fraction / *Fraction*: <0.063 mm
 Seuil de détection / *Detection limit*: 0.5 ppm
 Méthode d'analyse / *Analytical method*: AANI / INAA

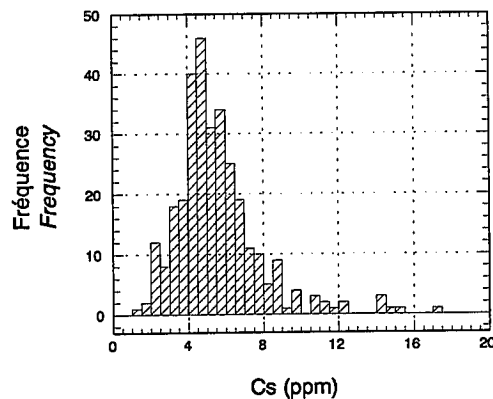
Nombre d'échantillons / *Number of samples*: 309
 Minimum / *Minimum*: 1.4
 Maximum / *Maximum*: 17.1
 Moyenne / *Mean*: 5.6
 Médiane / *Median*: 5.2
 Mode / *Mode*: 5
 Écart-type / *Standard deviation*: 2.3
 Coefficient de variation / *Coefficient of variation*: 0.4
 Échantillons < seuil de détection / *Samples < detection limit*: 0

Légende de la carte / *Map Legend*

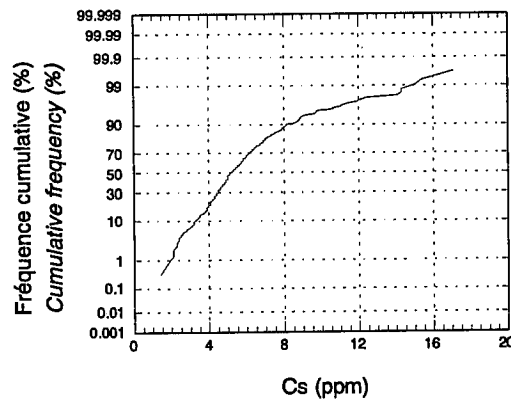
Cs (ppm)

	Min.	Max.	#Ech.	%Tile
	Min.	Max.	#Samp.	%Tile
•	1.4	4.2	75	24.3
•	4.2	5.1	78	49.5
•	5.1	6.4	79	75.1
•	6.4	8.1	47	90.3
•	8.1	9.7	15	95.1
•	9.7	12.1	8	97.7
•	12.1	14.3	4	99
•	14.3	17.1	3	100

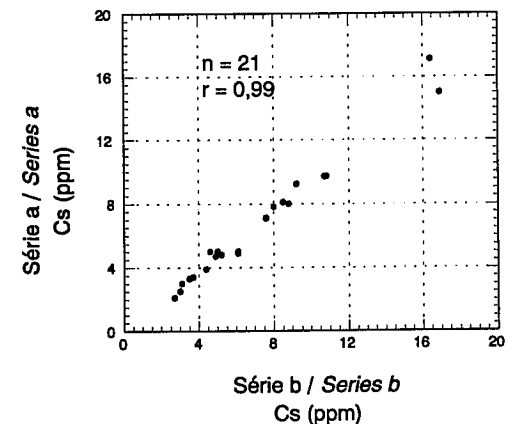
Histogramme de fréquence
Frequency Histogram

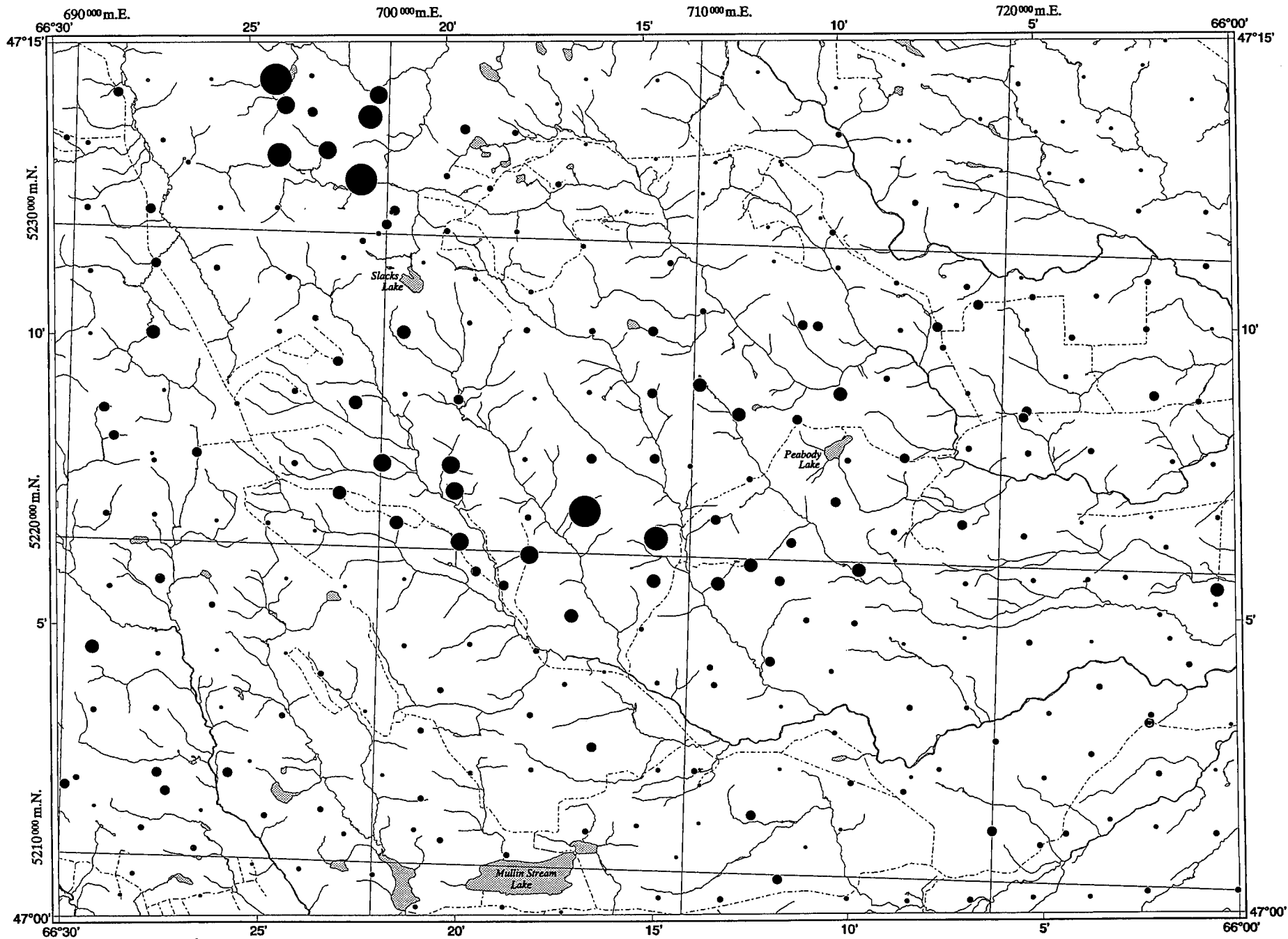


Courbe de fréquence cumulative
Cumulative Frequency Curve



Comparaison de 2 séries de résultats d'analyse
Comparison of 2 sets of Analytical Results





Caesium dans la fraction <0,063 mm du till
 Caesium in the <0.063 mm fraction of till

Cs

Big Bald Mountain
 21-0/1

Géochimie du till / *Till Geochemistry*

Europium / *Europium*

Fraction / *Fraction*: <0.063 mm
 Seuil de détection / *Detection limit*: 0.2 ppm
 Méthode d'analyse / *Analytical method*: AANI / INAA

Légende de la carte / *Map Legend*

Eu (ppm)

Min.	Max.	#Ech.	%Tile
Min.	Max.	#Samp.	%Tile
0.8	1.2	72	23.3
1.2	1.5	95	54
1.5	1.8	56	72.2
1.8	2.1	55	90
2.1	2.4	15	94.8
2.4	2.7	7	97.1
2.7	3.2	5	98.7
3.2	8.6	4	100

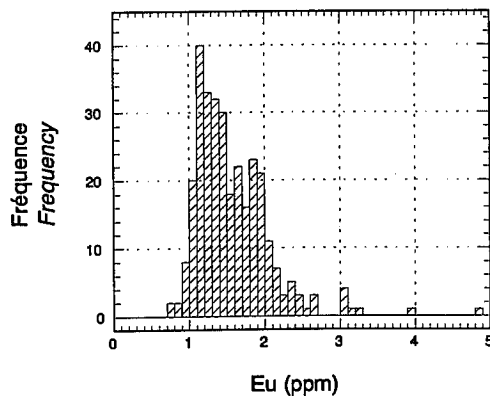
Nombre d'échantillons / *Number of samples*: 309
 Minimum / *Minimum*: 0.8
 Maximum / *Maximum*: 8.6
 Moyenne / *Mean*: 1.6
 Médiane / *Median*: 1.5
 Mode / *Mode*: 1.3

Écart-type / *Standard deviation*: 0.6

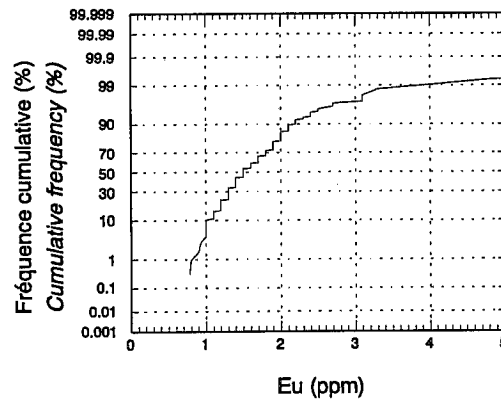
Coefficient de variation / *Coefficient of variation*: 0.4

Échantillons < seuil de détection / *Samples < detection limit*: 0

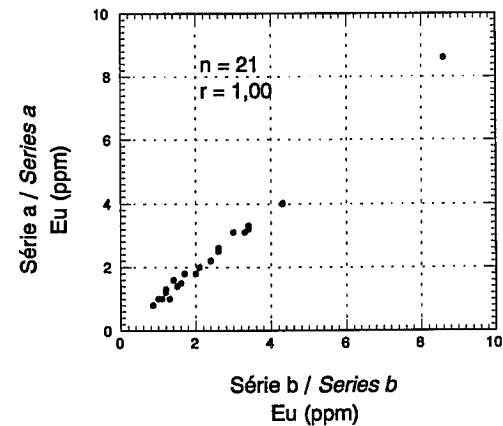
Histogramme de fréquence
Frequency Histogram

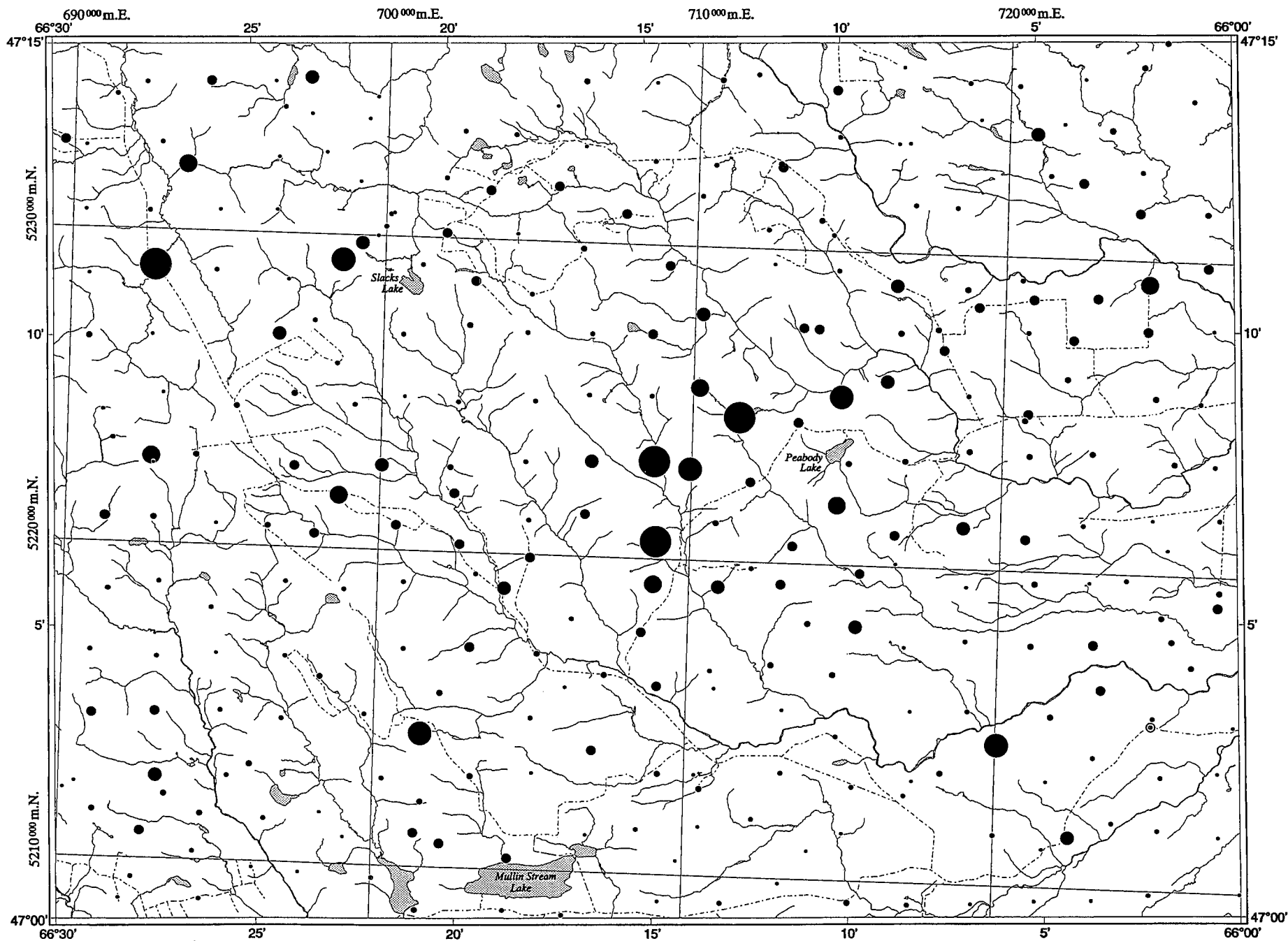


Courbe de fréquence cumulative
Cumulative Frequency Curve



Comparaison de 2 séries de résultats d'analyse
Comparison of 2 sets of Analytical Results





Scale Échelle
 Miles 1 0 1 2 3 Miles
 Metres 1000 0 1000 2000 3000 4000 Mètres

Big Bald Mountain
 21-0/1

Europium dans la fraction <0,063 mm du till
 Europium in the <0.063 mm fraction of till

Eu

Géochimie du till / *Till Geochemistry*

Fer / Iron

Fraction / *Fraction*: <0.063 mm
 Seuil de détection / *Detection limit*: 0.02%
 Méthode d'analyse / *Analytical method*: AANI / INAA

Nombre d'échantillons / *Number of samples*: 309
 Minimum / *Minimum*: 0.48
 Maximum / *Maximum*: 9.77
 Moyenne / *Mean*: 4.61
 Médiane / *Median*: 4.44
 Mode / *Mode*: 3.99

Écart-type / *Standard deviation*: 1.35

Coefficient de variation / *Coefficient of variation*: 0.29

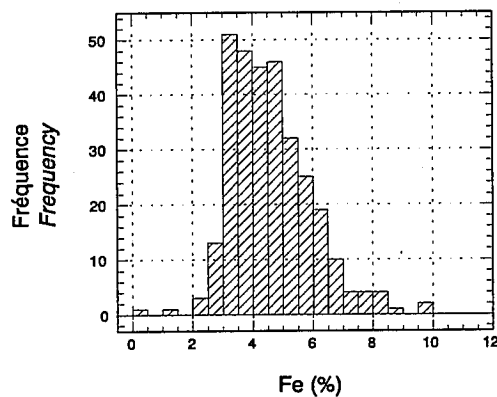
Échantillons < seuil de détection / *Samples < detection limit*: 0

Légende de la carte / *Map Legend*

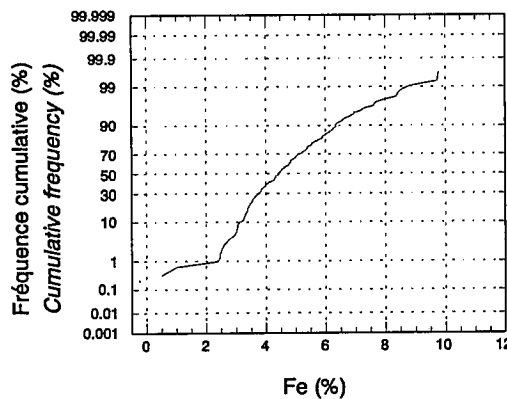
Fe (%)

	Min.	Max.	#Ech.	%Tile
	Min.	Max.	#Samp.	%Tile
•	0.48	3.57	78	25.3
•	3.57	4.44	76	50
•	4.44	5.36	77	75
•	5.36	6.34	48	90.6
•	6.34	6.95	13	94.8
•	6.95	7.81	9	97.7
•	7.81	8.41	3	98.7
•	8.41	9.77	4	100

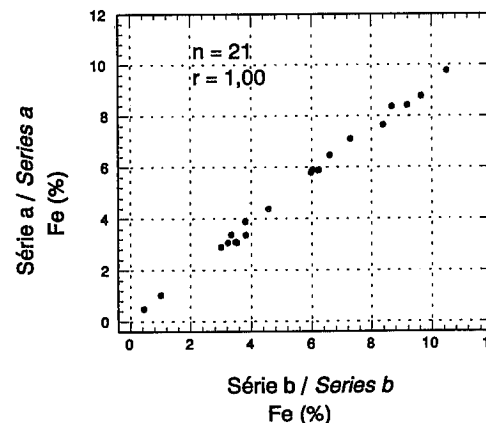
Histogramme de fréquence
Frequency Histogram

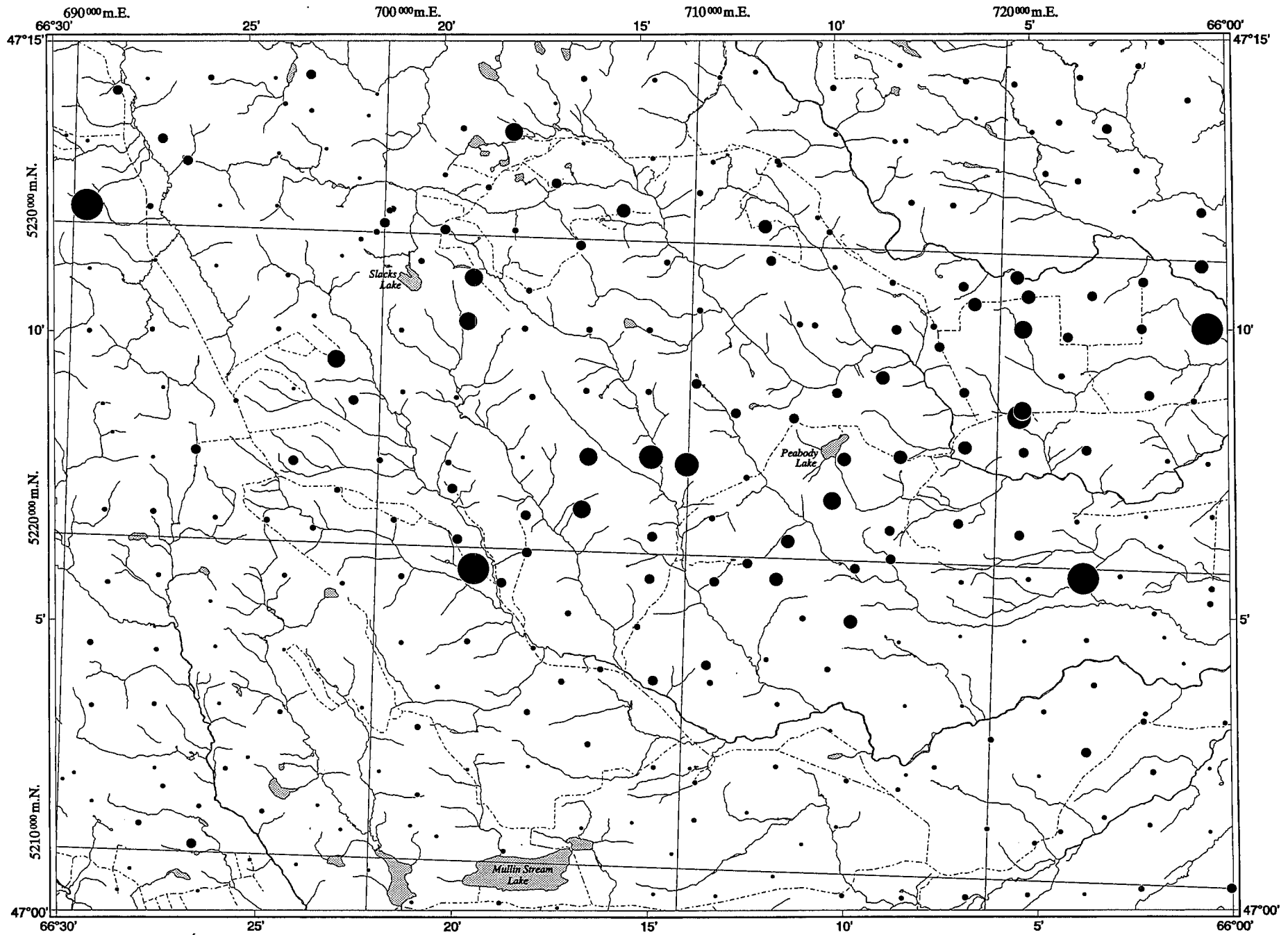


Courbe de fréquence cumulative
Cumulative Frequency Curve



Comparaison de 2 séries de résultats d'analyse
Comparison of 2 sets of Analytical Results





Fer dans la fraction <0,063 mm du till
Iron in the <0.063 mm fraction of till

Fe

Big Bald Mountain
21-0/1

Géochimie du till / *Till Geochemistry*

Hafnium / *Hafnium*

Fraction / *Fraction*: <0.063 mm
 Seuil de détection / *Detection limit*: 0.5 ppm
 Méthode d'analyse / *Analytical method*: AANI / INAA

Légende de la carte / *Map Legend*

Hf (ppm)

	Min.	Max.	#Ech.	%Tile
	Min.	Max.	#Samp.	%Tile
•	5.6	9.1	79	25.6
•	9.1	10.5	76	50.2
•	10.5	12.3	76	74.8
•	12.3	14.8	48	90.3
•	14.8	17.2	14	94.8
•	17.2	20.1	9	97.7
•	20.1	22.6	3	98.7
•	22.6	33.5	4	100

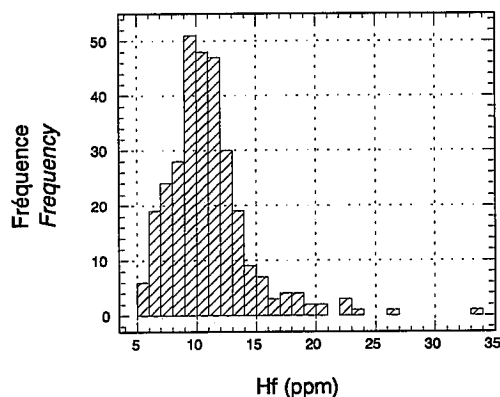
Nombre d'échantillons / *Number of samples*: 309
 Minimum / *Minimum*: 5.6
 Maximum / *Maximum*: 33.5
 Moyenne / *Mean*: 11.1
 Médiane / *Median*: 10.5
 Mode / *Mode*: 11.4

Écart-type / *Standard deviation*: 3.4

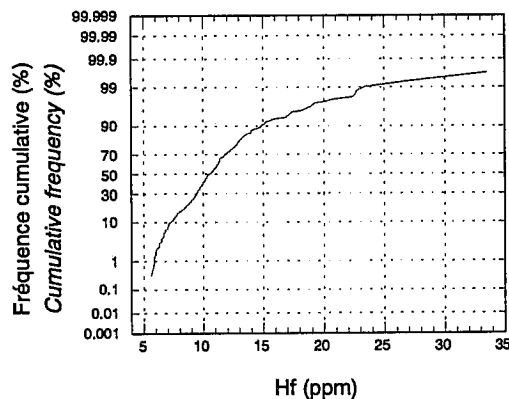
Coefficient de variation / *Coefficient of variation*: 0.3

Échantillons < seuil de détection / *Samples < detection limit*: 0

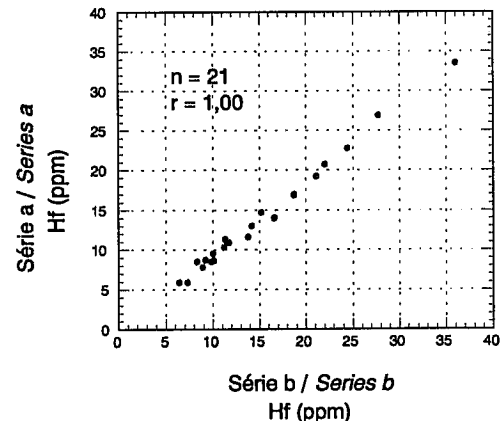
Histogramme de fréquence
Frequency Histogram

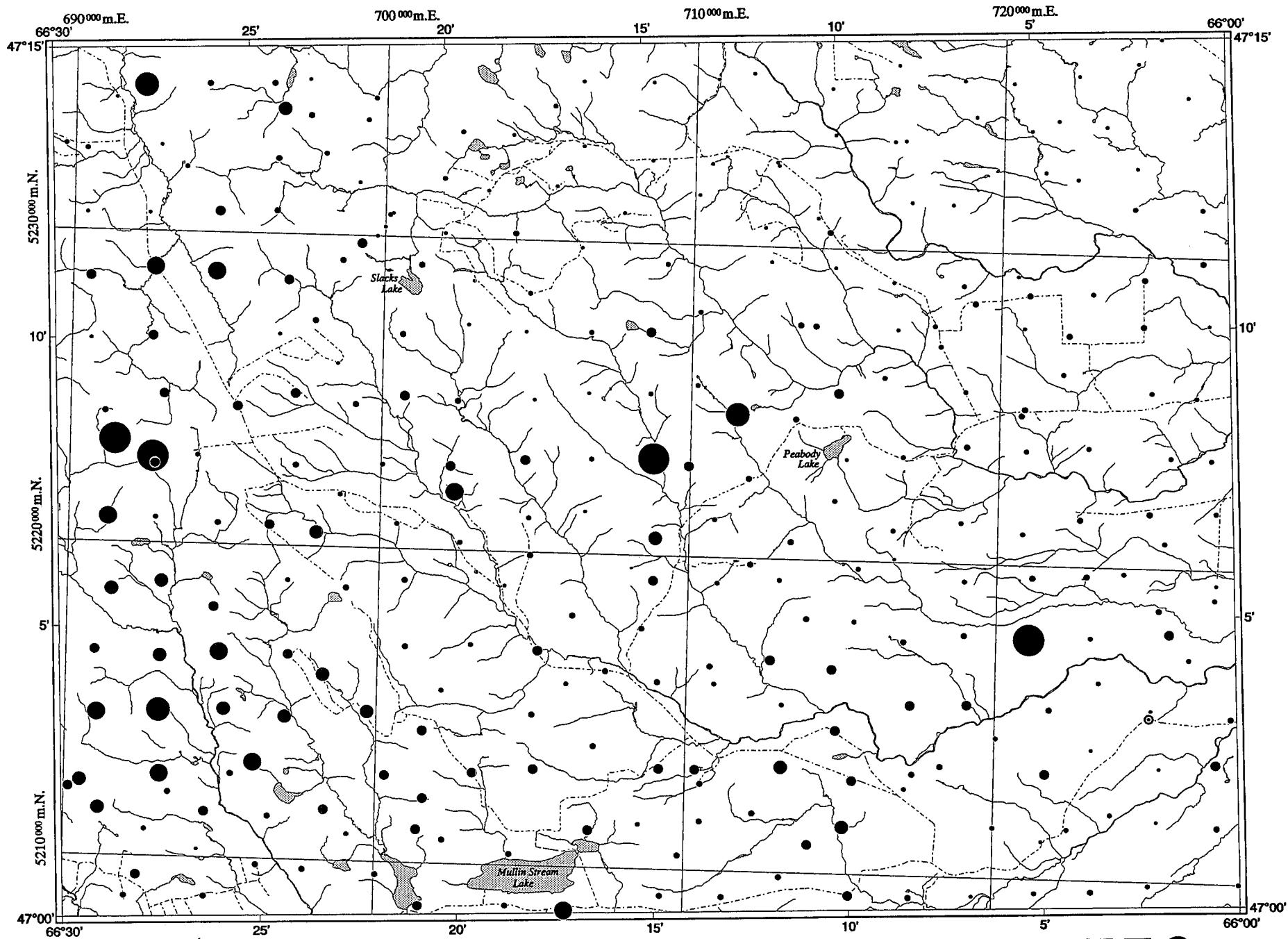


Courbe de fréquence cumulative
Cumulative Frequency Curve



Comparaison de 2 séries de résultats d'analyse
Comparison of 2 sets of Analytical Results





Scale Échelle
 Miles 1 0 1 2 3 Miles
 Metres 1000 0 1000 2000 3000 4000 Metres

Big Bald Mountain
 21-0/1

Hafnium dans la fraction <0,063 mm du till
 Hafnium in the <0.063 mm fraction of till

Hf

Géochimie du till / *Till Geochemistry*

Holmium / *Holmium*

Fraction / *Fraction*: <0.063 mm
 Seuil de détection / *Detection limit*: 0.5 ppm
 Méthode d'analyse / *Analytical method*: AANI / INAA

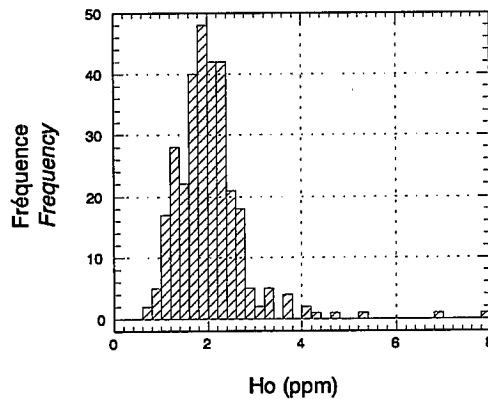
Nombre d'échantillons / *Number of samples*: 309
 Minimum / *Minimum*: 0.8
 Maximum / *Maximum*: 11
 Moyenne / *Mean*: 2.1
 Médiane / *Median*: 1.9
 Mode / *Mode*: 1.8
 Écart-type / *Standard deviation*: 0.9
 Coefficient de variation / *Coefficient of variation*: 0.4
 Échantillons < seuil de détection / *Samples < detection limit*: 0

Légende de la carte / *Map Legend*

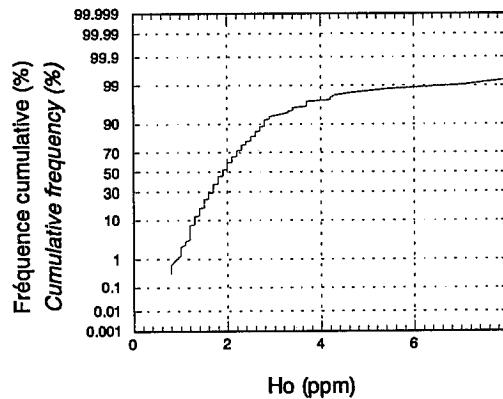
Ho (ppm)

Min.	Max.	#Ech.	%Tile
<i>Min.</i>	<i>Max.</i>	<i>#Samp.</i>	<i>%Tile</i>
0.8	1.5	74	23.9
1.5	1.9	88	52.4
1.9	2.3	75	76.7
2.3	2.7	38	89
2.7	3.2	17	94.5
3.2	3.7	9	97.4
3.7	4.7	4	98.7
4.7	11	4	100

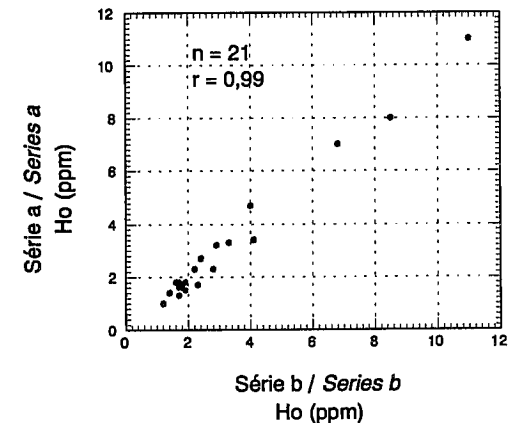
Histogramme de fréquence
Frequency Histogram

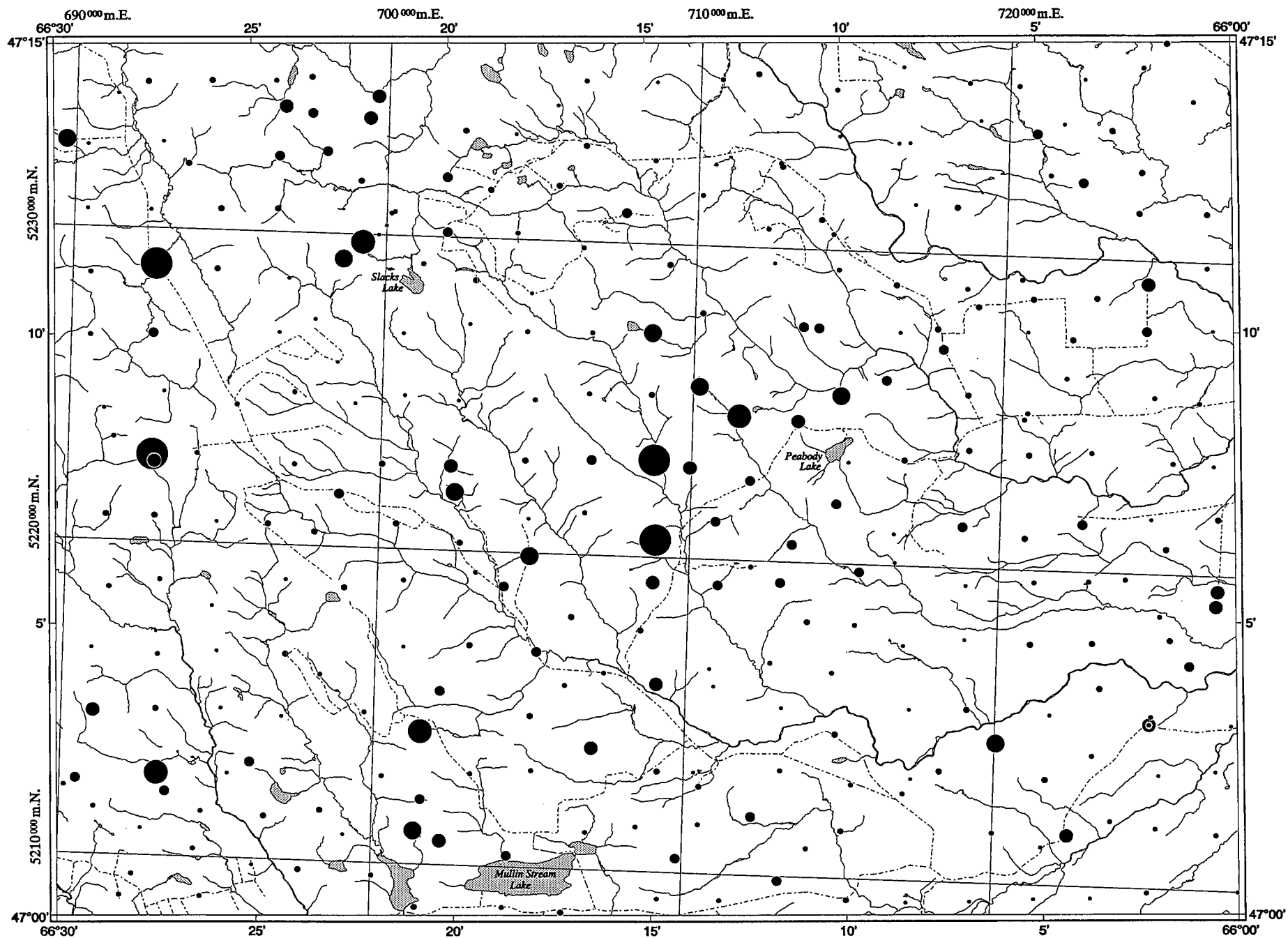


Courbe de fréquence cumulative
Cumulative Frequency Curve



Comparaison de 2 séries de résultats d'analyse
Comparison of 2 sets of Analytical Results





Scale Échelle
 Miles 1 0 1 2 3 Miles
 Metres 1000 0 1000 2000 3000 4000 Mètres

Big Bald Mountain
 21-0/1

Holmium dans la fraction <math><0,063\text{ mm}</math> du till
 Holmium in the <math><0.063\text{ mm}</math> fraction of till

Ho

Géochimie du till / *Till Geochemistry*

Lanthane / *Lanthanum*

Fraction / *Fraction*: <0.063 mm
 Seuil de détection / *Detection limit*: 2 ppm
 Méthode d'analyse / *Analytical method*: AANI / INAA

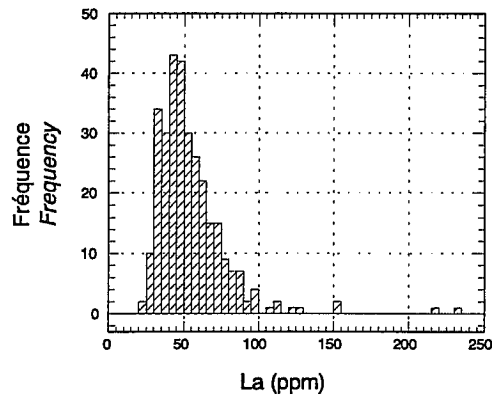
Nombre d'échantillons / *Number of samples*: 309
 Minimum / *Minimum*: 23.1
 Maximum / *Maximum*: 390.8
 Moyenne / *Mean*: 56.4
 Médiane / *Median*: 49.6
 Mode / *Mode*: 42.5
 Écart-type / *Standard deviation*: 32.8
 Coefficient de variation / *Coefficient of variation*: 0.6
 Échantillons < seuil de détection / *Samples < detection limit*: 0

Légende de la carte / *Map Legend*

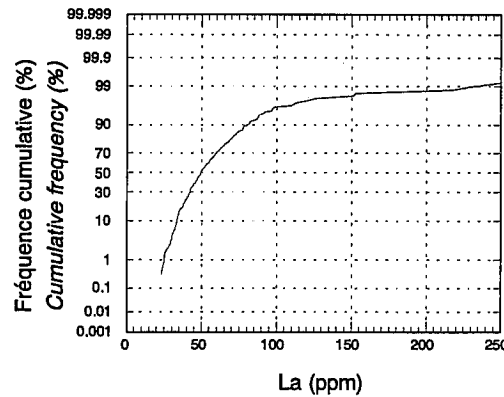
La (ppm)

Min.	Max.	#Ech.	%Tile	
<i>Min.</i>	<i>Max.</i>	<i>#Samp.</i>	<i>%Tile</i>	
•	23.1	40.2	77	24.9
•	40.2	49.5	77	49.8
•	49.5	62.8	77	74.8
•	62.8	80	47	90
•	80	91.4	15	94.8
•	91.4	120.9	9	97.7
•	120.9	152.5	3	98.7
•	152.5	390.8	4	100

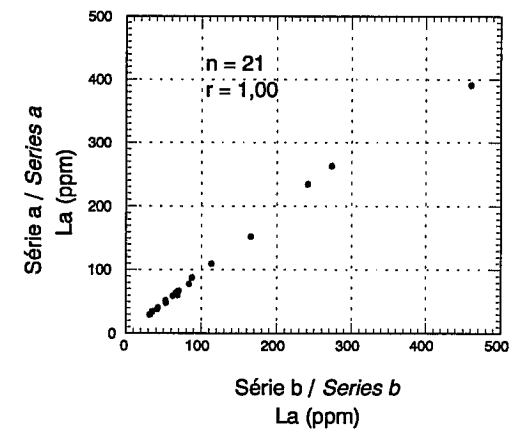
Histogramme de fréquence
Frequency Histogram

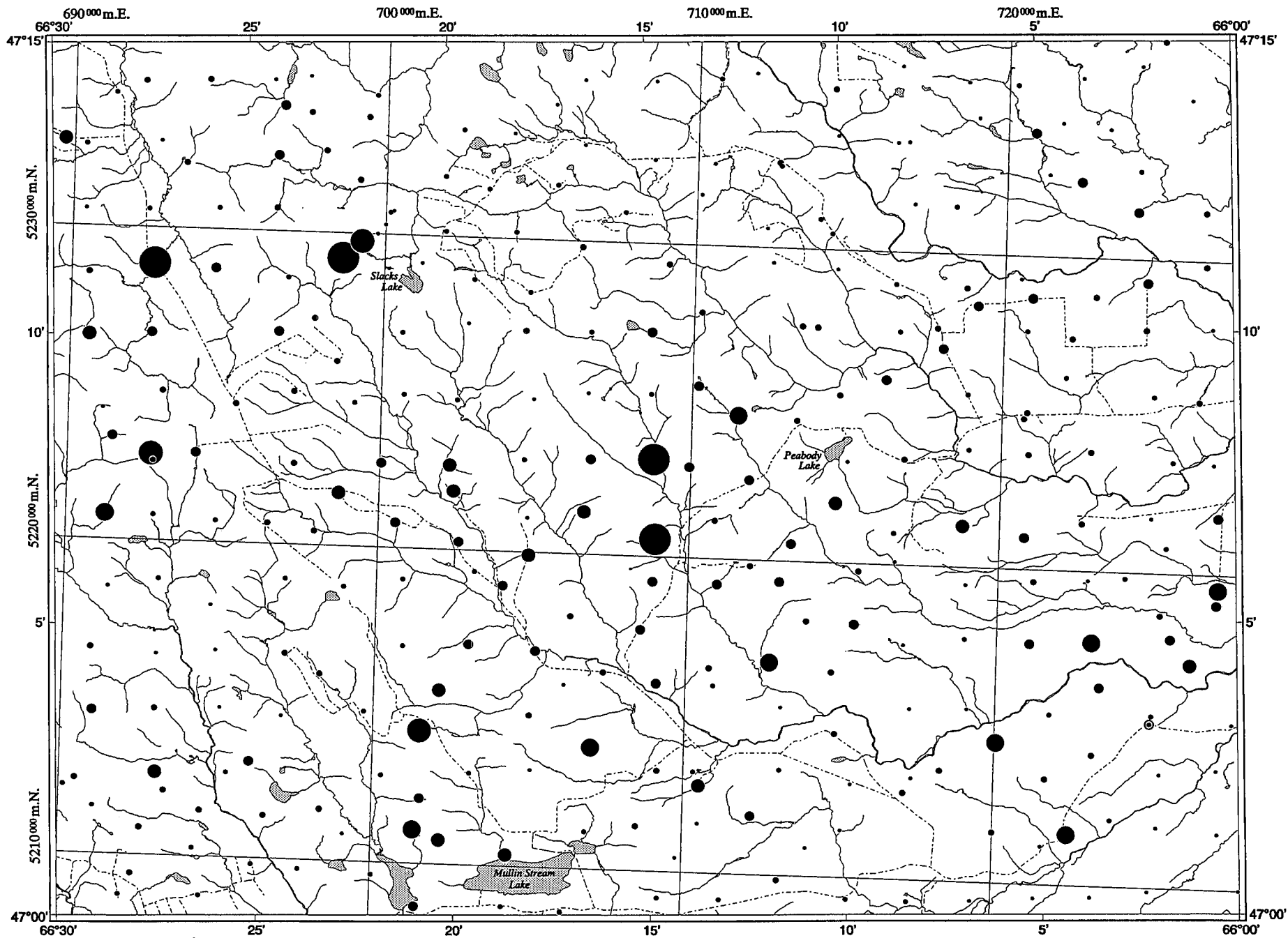


Courbe de fréquence cumulative
Cumulative Frequency Curve



Comparaison de 2 séries de résultats d'analyse
Comparison of 2 sets of Analytical Results





Lanthane dans la fraction <0,063 mm du till
 Lanthanum in the <0.063 mm fraction of till

La

Big Bald Mountain
 21-0/1

Géochimie du till / *Till Geochemistry*

Lutétium / *Lutetium*

Fraction / *Fraction*: <0.063 mm
 Seuil de détection / *Detection limit*: 0.1 ppm
 Méthode d'analyse / *Analytical method*: AANI / INAA

Nombre d'échantillons / *Number of samples*: 309
 Minimum / *Minimum*: 0.39
 Maximum / *Maximum*: 3.10
 Moyenne / *Mean*: 0.83
 Médiane / *Median*: 0.79
 Mode / *Mode*: 1

Écart-type / *Standard deviation*: 0.27

Coefficient de variation / *Coefficient of variation*: 0.32

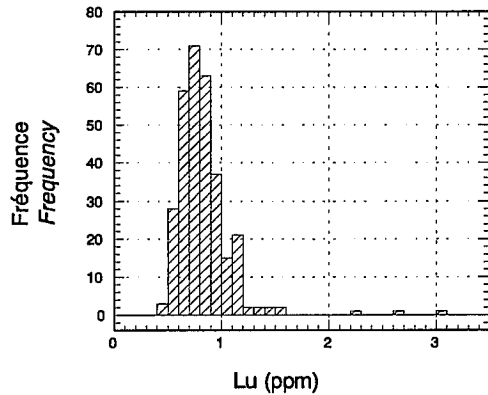
Échantillons < seuil de détection / *Samples < detection limit*: 0

Légende de la carte / *Map Legend*

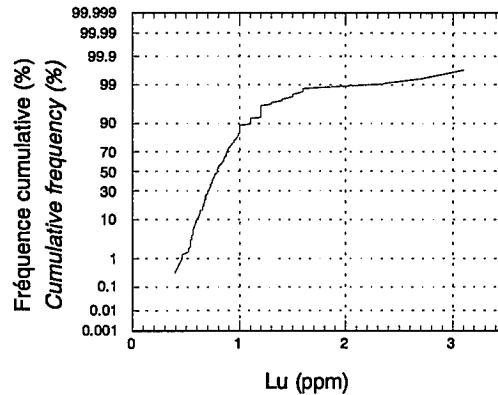
Lu (ppm)

	Min.	Max.	#Ech.	%Tile
	Min.	Max.	#Samp.	%Tile
•	0.39	0.68	79	25.6
•	0.68	0.79	82	52.3
•	0.79	0.91	71	75.3
•	0.91	1.00	44	89.6
•	1.00	1.20	21	96.4
•	1.20	1.40	4	97.7
•	1.40	1.60	4	99
•	1.60	3.10	3	100

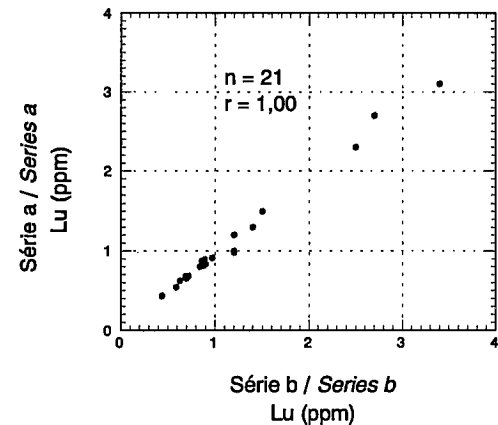
Histogramme de fréquence
Frequency Histogram

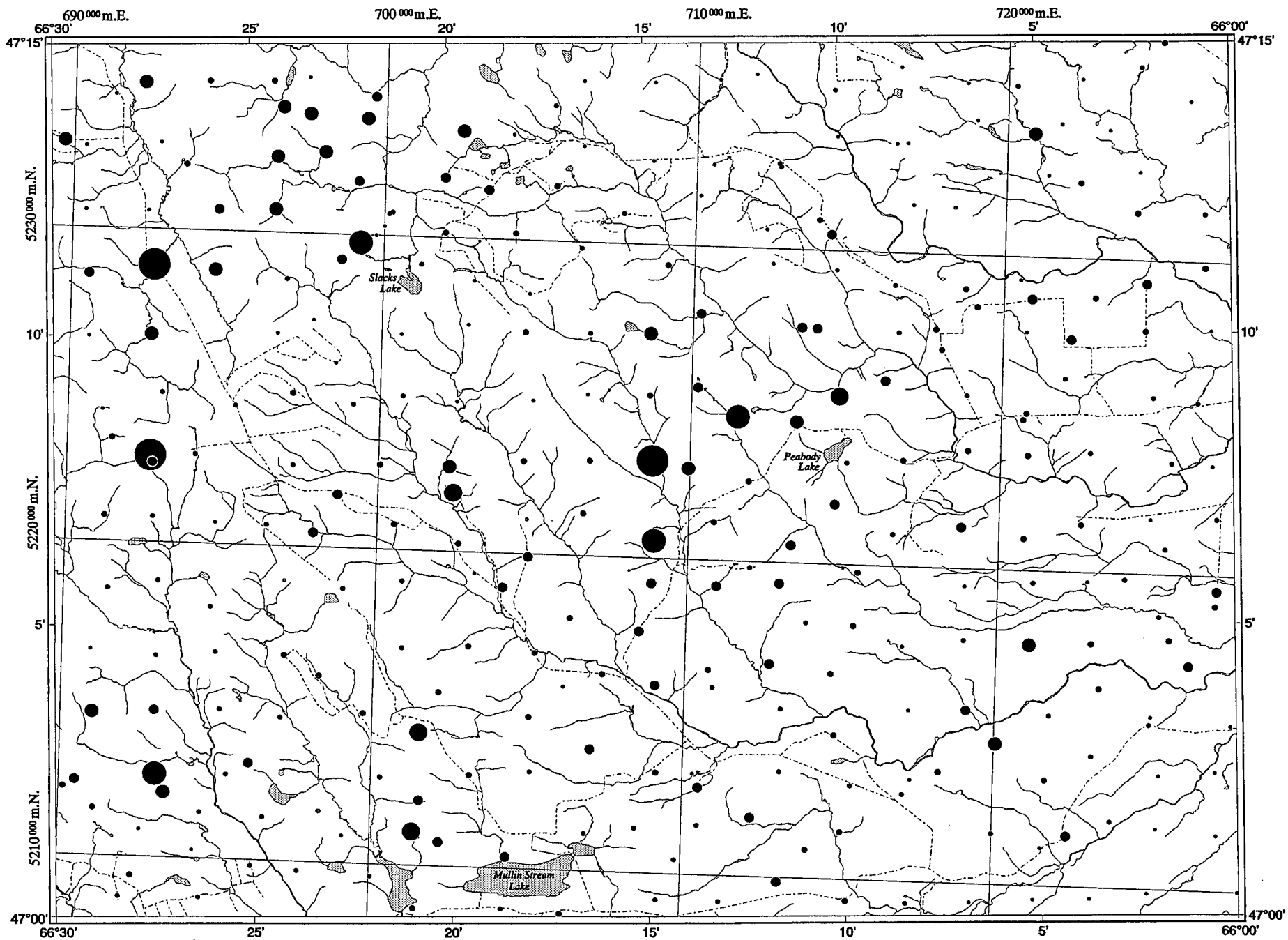


Courbe de fréquence cumulative
Cumulative Frequency Curve



Comparaison de 2 séries de résultats d'analyse
Comparison of 2 sets of Analytical Results





Lutétium dans la fraction <0,063 mm du till
Lutetium in the <0.063 mm fraction of till

Lu

Géochimie du till / *Till Geochemistry*

Molybdène / *Molybdenum*

Fraction / *Fraction*: <0.063 mm
 Seuil de détection / *Detection limit*: 1.0 ppm
 Méthode d'analyse / *Analytical method*: AANI / INAA

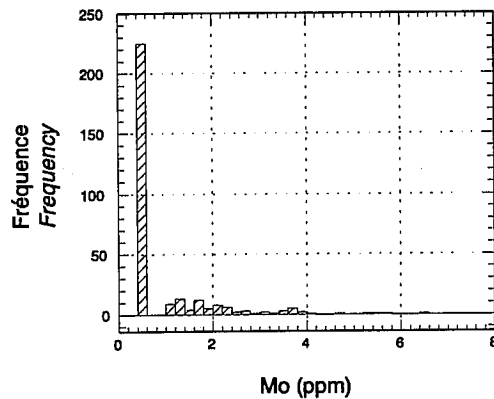
Nombre d'échantillons / *Number of samples*: 309
 Minimum / *Minimum*: <1
 Maximum / *Maximum*: 84
 Moyenne / *Mean*: 1.3
 Médiane / *Median*: 0.5
 Mode / *Mode*: 0.5
 Écart-type / *Standard deviation*: 4.7
 Coefficient de variation / *Coefficient of variation*: 3.8
 Échantillons < seuil de détection / *Samples < detection limit*: 225

Légende de la carte / *Map Legend*

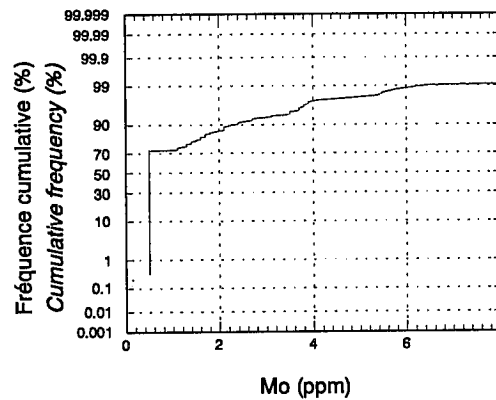
Mo (ppm)

	Min.	Max.	#Ech.	%Tile
	Min.	Max.	#Samp.	%Tile
•	<1	1	225	72.8
•	1	2	44	87.1
•	2	3	19	93.2
•	3	4	13	97.4
•	4	6	5	99
•	6	84	3	100

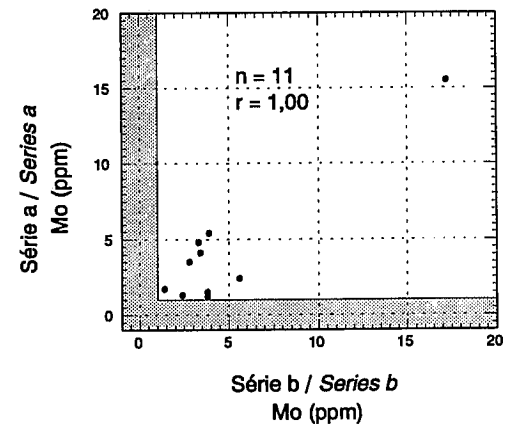
Histogramme de fréquence
Frequency Histogram

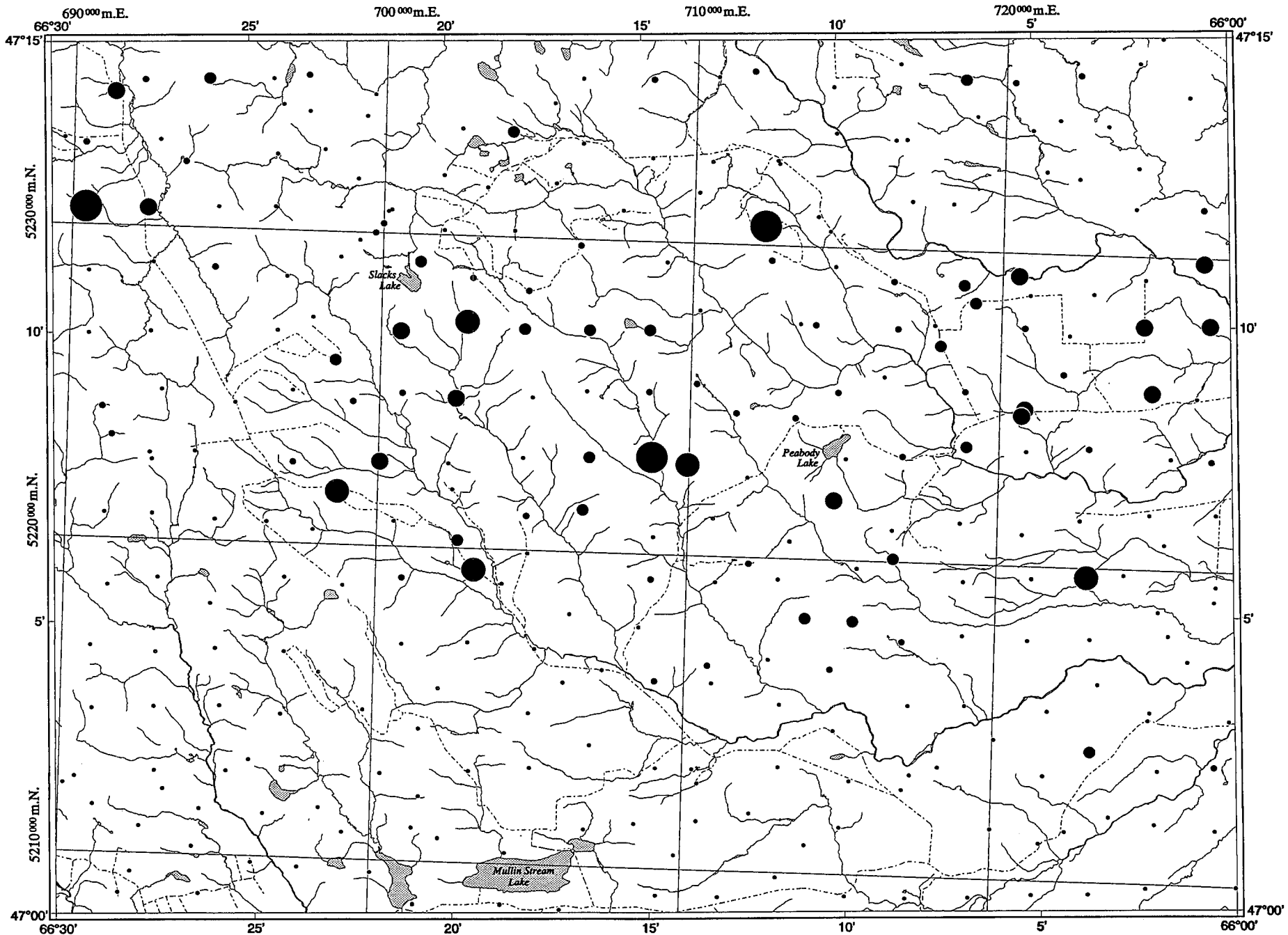


Courbe de fréquence cumulative
Cumulative Frequency Curve



Comparaison de 2 séries de résultats d'analyse
Comparison of 2 sets of Analytical Results





Scale Échelle
 Miles 0 1 2 3 Miles
 Metres 1000 0 1000 2000 3000 4000 Mètres

Big Bald Mountain
 21-0/1

Molybdène dans la fraction <0,063 mm du till
 Molybdenum in the <0.063 mm fraction of till

Mo

Géochimie du till / *Till Geochemistry*

Néodyme / Neodymium

Fraction / *Fraction*: <0.063 mm

Seuil de détection / *Detection limit*: 5 ppm

Méthode d'analyse / *Analytical method*: AANI / INAA

Nombre d'échantillons / *Number of samples*: 309
 Minimum / *Minimum*: 17.8
 Maximum / *Maximum*: 275.0
 Moyenne / *Mean*: 49.2
 Médiane / *Median*: 43.4
 Mode / *Mode*: 39.9

Écart-type / *Standard deviation*: 27.6

Coefficient de variation / *Coefficient of variation*: 0.6

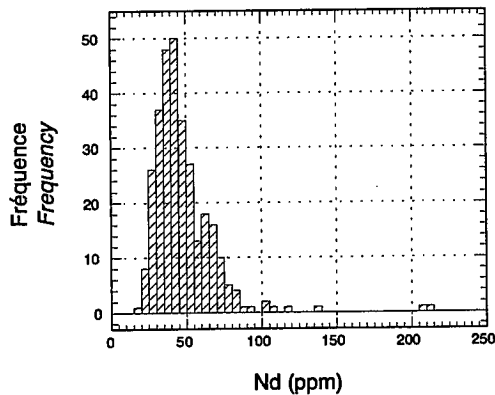
Échantillons < seuil de détection / *Samples < detection limit*: 0

Légende de la carte / *Map Legend*

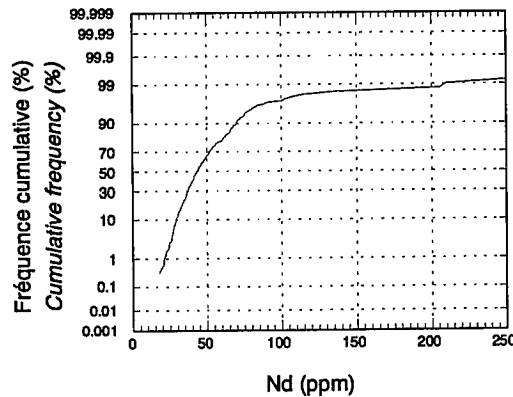
Nd (ppm)

Min.	Max.	#Ech.	%Tile	
<i>Min.</i>	<i>Max.</i>	<i>#Samp.</i>	<i>%Tile</i>	
•	17.8	35.8	78	25.2
•	35.8	43.3	76	49.8
•	43.3	54.3	77	74.8
•	54.3	69.7	47	90
•	69.7	76.9	15	94.8
•	76.9	102.6	9	97.7
•	102.6	138.5	3	98.7
•	138.5	275.0	4	100

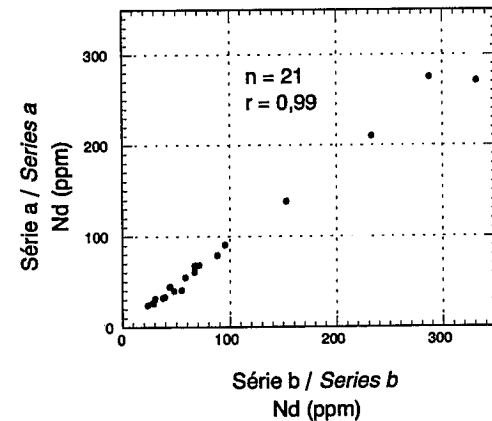
Histogramme de fréquence
Frequency Histogram

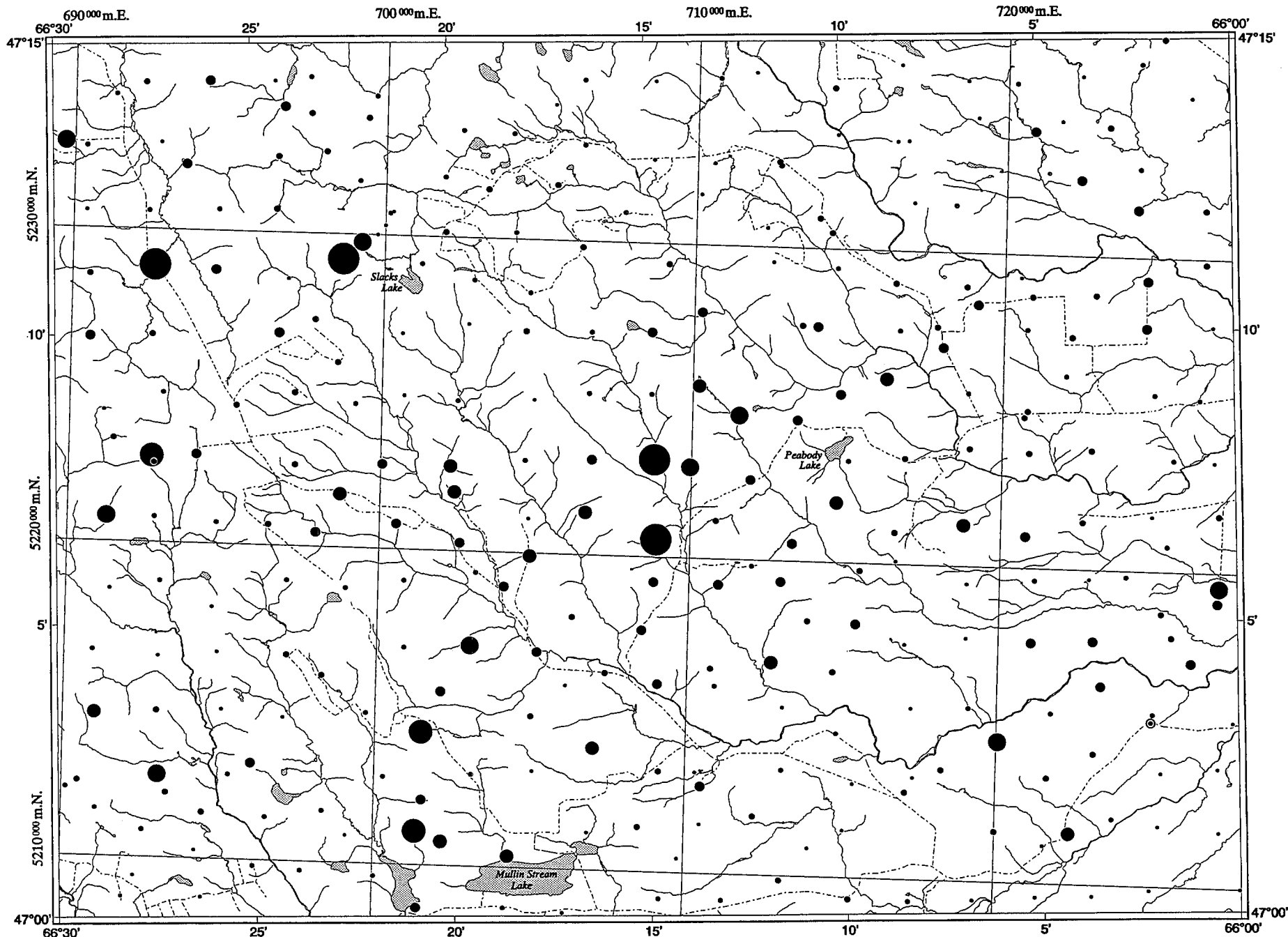


Courbe de fréquence cumulative
Cumulative Frequency Curve



Comparaison de 2 séries de résultats d'analyse
Comparison of 2 sets of Analytical Results





Néodyme dans la fraction <0,063 mm du till
Neodymium in the <0.063 mm fraction of till

Nd

Big Bald Mountain
21-0/1

Nickel / *Nickel*

Fraction / *Fraction*: <0.063 mm
 Seuil de détection / *Detection limit*: 50 ppm
 Méthode d'analyse / *Analytical method*: AANI / INAA

Légende de la carte / *Map Legend*

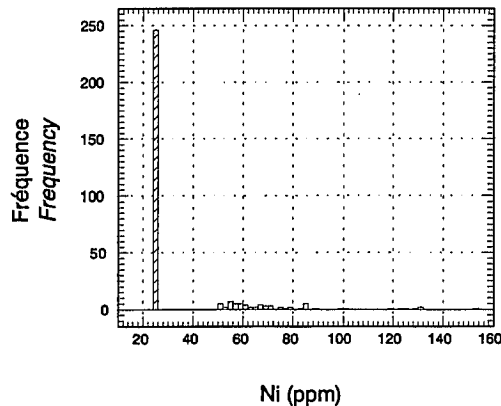
Ni (ppm)

Min.	Max.	#Ech.	%Tile
<i>Min.</i>	<i>Max.</i>	<i>#Samp.</i>	<i>%Tile</i>
<50	50	246	79.6
50	66	32	90
66	79	14	94.5
79	101	10	97.7
101	125	3	98.7
125	154	4	100

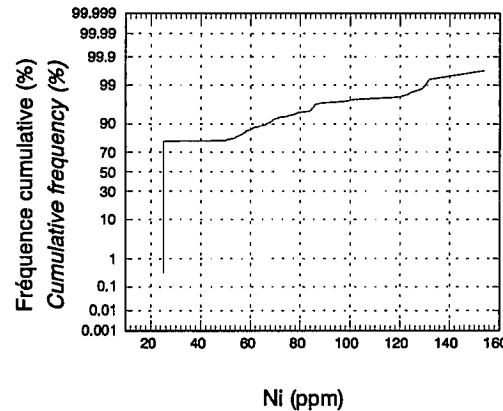


Nombre d'échantillons / *Number of samples*: 309
 Minimum / *Minimum*: <50
 Maximum / *Maximum*: 154
 Moyenne / *Mean*: 35
 Médiane / *Median*: 25
 Mode / *Mode*: 25
 Écart-type / *Standard deviation*: 22
 Coefficient de variation / *Coefficient of variation*: 0.6
 Échantillons < seuil de détection / *Samples < detection limit*: 246

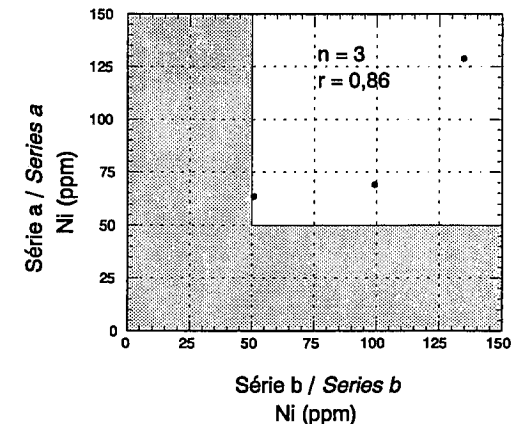
Histogramme de fréquence
Frequency Histogram

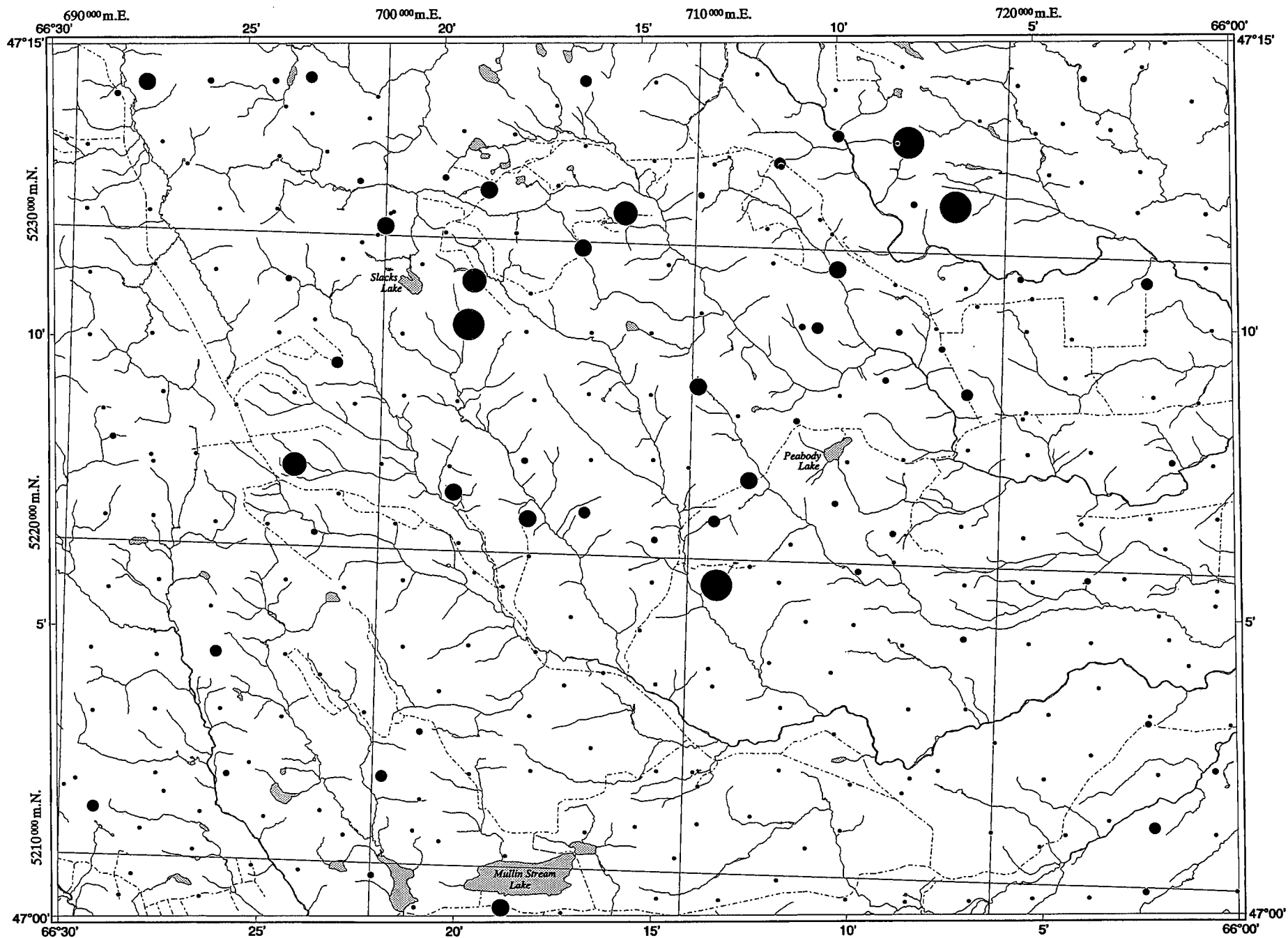


Courbe de fréquence cumulative
Cumulative Frequency Curve



Comparaison de 2 séries de résultats d'analyse
Comparison of 2 sets of Analytical Results





Scale Échelle
 Miles 1 0 1 2 3 Miles
 Metres 1000 0 1000 2000 3000 4000 Metres

Big Bald Mountain
 21-0/1

Nickel dans la fraction <0,063 mm du till
 Nickel in the <0.063 mm fraction of till

Ni

Géochimie du till / *Till Geochemistry*

Rubidium / *Rubidium*

Fraction / *Fraction*: <0.063 mm
 Seuil de détection / *Detection limit*: 5 ppm
 Méthode d'analyse / *Analytical method*: AANI / INAA

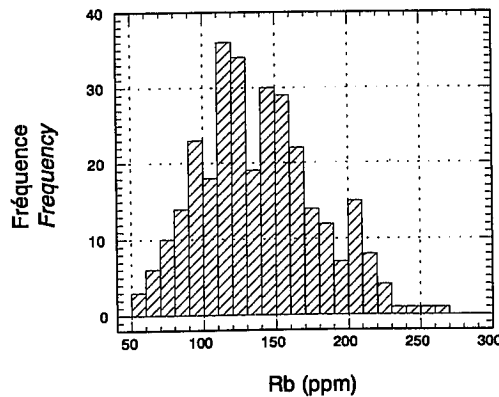
Nombre d'échantillons / *Number of samples*: 309
 Minimum / *Minimum*: 52
 Maximum / *Maximum*: 275
 Moyenne / *Mean*: 139
 Médiane / *Median*: 135
 Mode / *Mode*: 115
 Écart-type / *Standard deviation*: 41
 Coefficient de variation / *Coefficient of variation*: 0.3
 Échantillons < seuil de détection / *Samples < detection limit*: 0

Légende de la carte / *Map Legend*

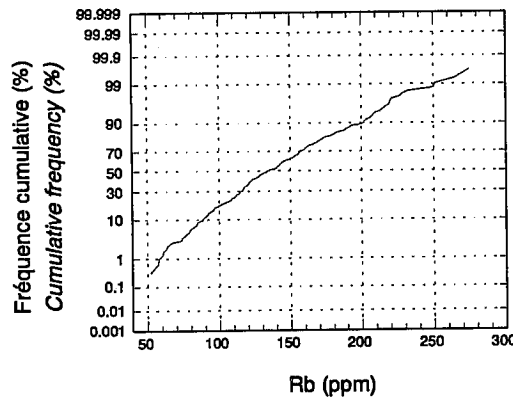
Rb (ppm)

	Min.	Max.	#Ech.	%Tile
	<i>Min.</i>	<i>Max.</i>	<i>#Samp.</i>	<i>%Tile</i>
•	52	111	76	24.6
•	111	134	78	49.8
•	134	162	76	74.4
•	162	210	62	94.5
•	210	212	0	94.5
•	212	221	9	97.4
•	221	233	4	98.7
•	233	275	4	100

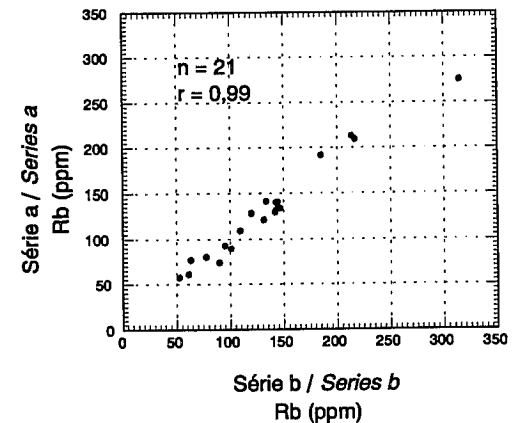
Histogramme de fréquence
Frequency Histogram

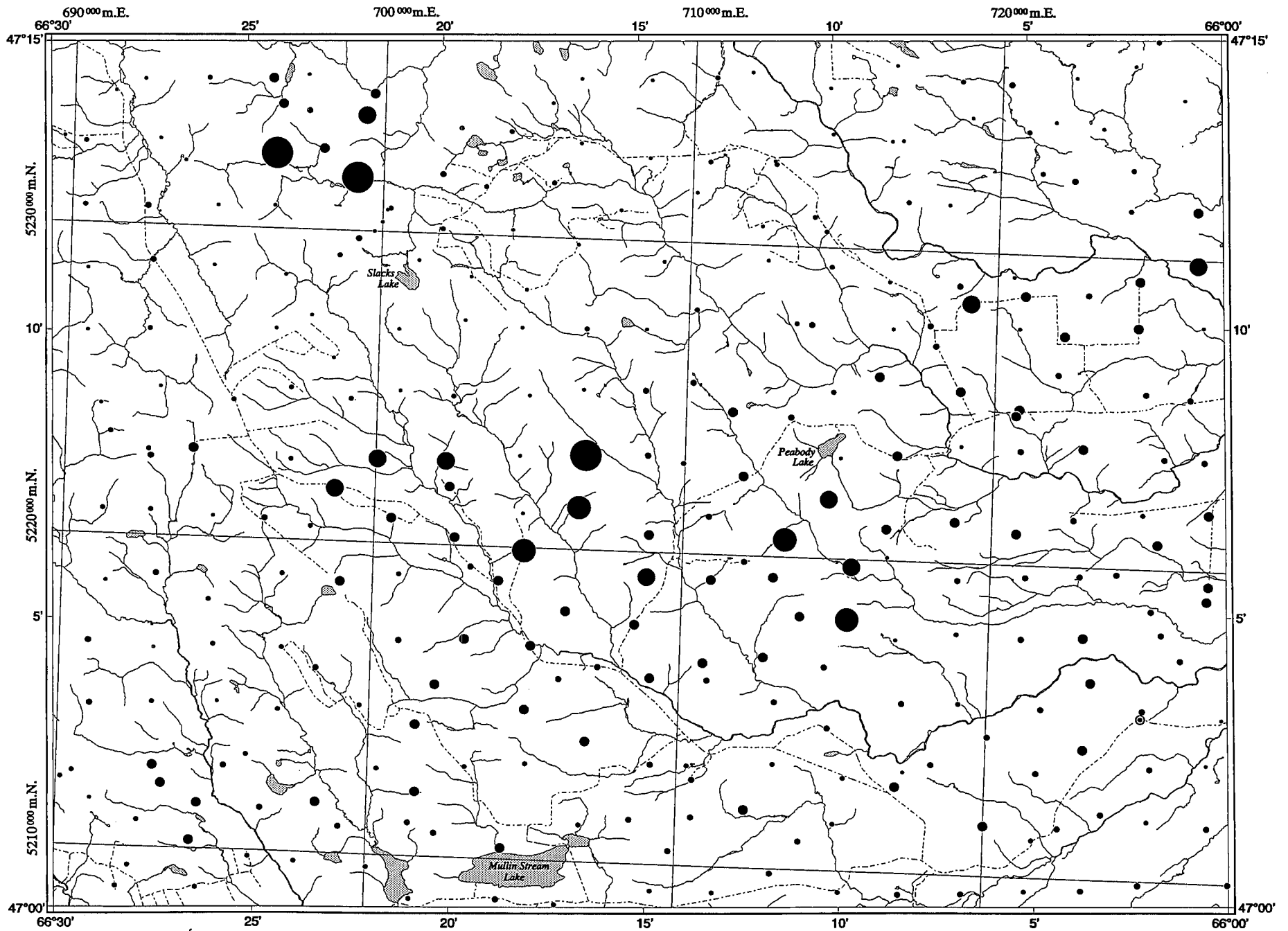


Courbe de fréquence cumulative
Cumulative Frequency Curve



Comparaison de 2 séries de résultats d'analyse
Comparison of 2 sets of Analytical Results





Rubidium dans la fraction <0,063 mm du till
 Rubidium in the <0.063 mm fraction of till

Rb

Big Bald Mountain
 21-0/1

Géochimie du till / *Till Geochemistry*

Antimoine / Antimony

Fraction / *Fraction*: <0.063 mm
 Seuil de détection / *Detection limit*: 0.1 ppm
 Méthode d'analyse / *Analytical method*: AANI / INAA

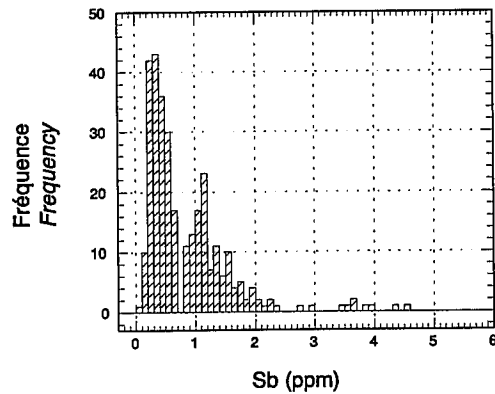
Légende de la carte / *Map Legend*

Sb (ppm)

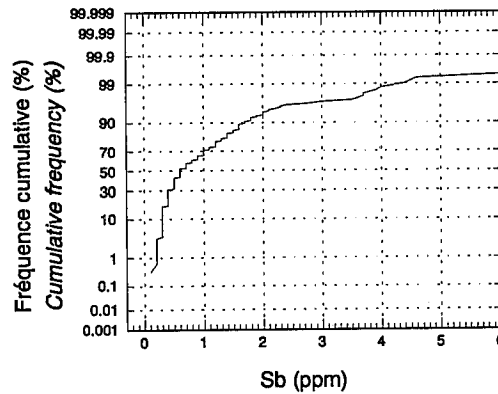
	Min.	Max.	#Ech.	%Tile
	Min.	Max.	#Samp.	%Tile
•	0.1	0.4	96	31.1
•	0.4	0.6	66	52.4
•	0.6	1.1	66	73.8
•	1.1	1.6	49	89.6
•	1.6	2	15	94.5
•	2	3.6	10	97.7
•	3.6	3.9	3	98.7
•	3.9	8.2	4	100

Nombre d'échantillons / *Number of samples*: 309
 Minimum / *Minimum*: 0.1
 Maximum / *Maximum*: 8.2
 Moyenne / *Mean*: 0.9
 Médiane / *Median*: 0.6
 Mode / *Mode*: 0.4
 Écart-type / *Standard deviation*: 0.8
 Coefficient de variation / *Coefficient of variation*: 0.9
 Échantillons < seuil de détection / *Samples < detection limit*: 0

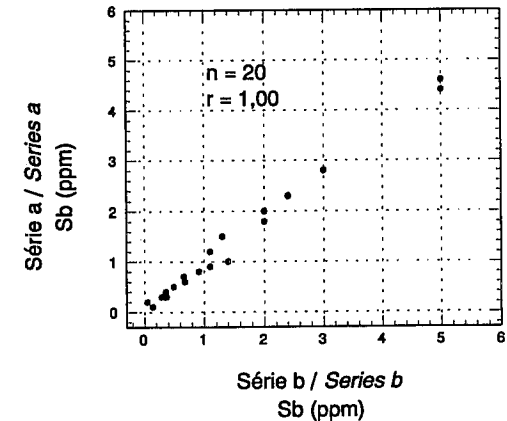
Histogramme de fréquence
Frequency Histogram

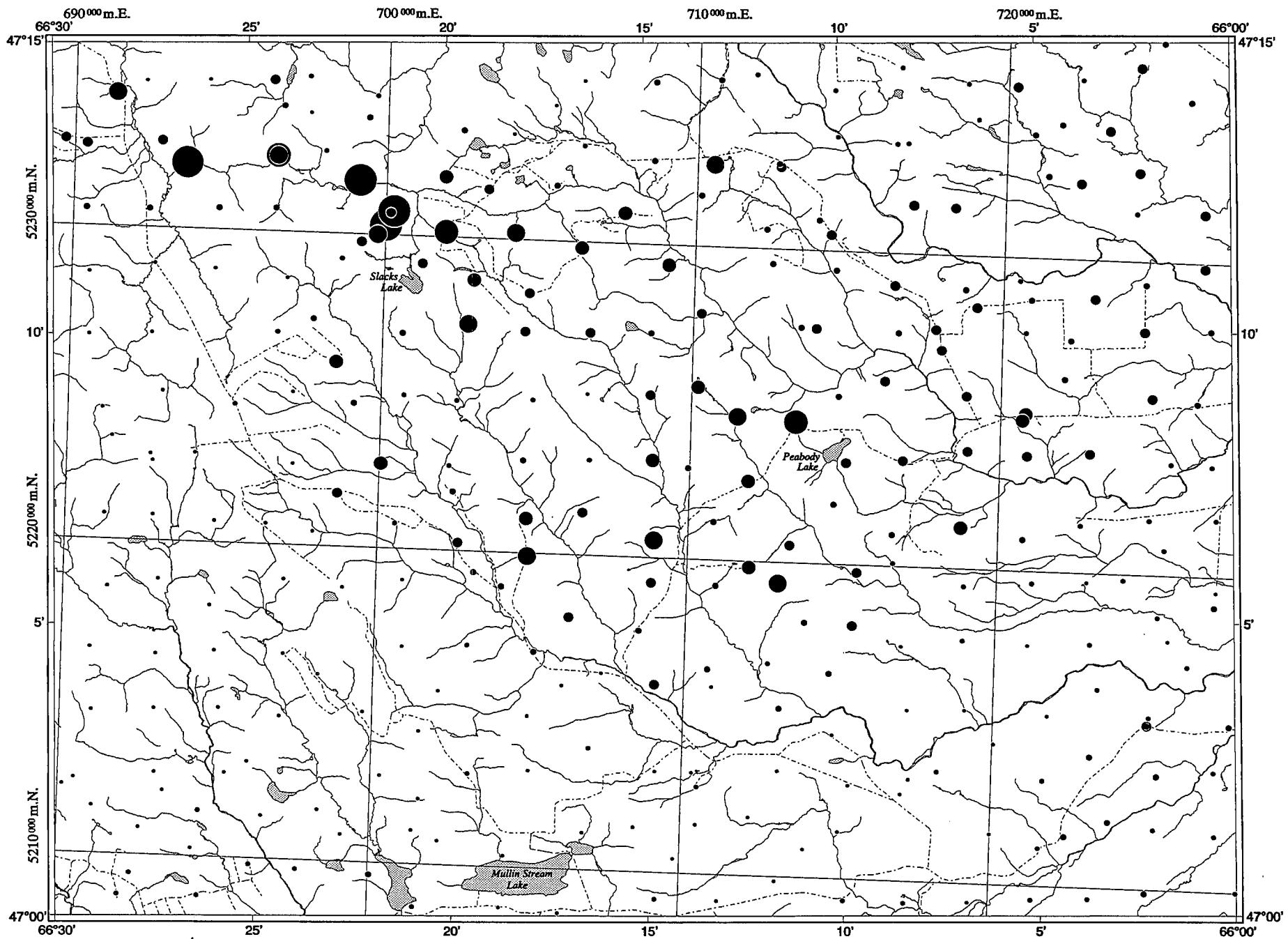


Courbe de fréquence cumulative
Cumulative Frequency Curve



Comparaison de 2 séries de résultats d'analyse
Comparison of 2 sets of Analytical Results





Scale Échelle
 Miles 1 0 1 2 3 Miles
 Metres 1000 0 1000 2000 3000 4000 Metres
 Big Bald Mountain
 21-0/1

Antimoine dans la fraction <0,063 mm du till
 Antimony in the <0.063 mm fraction of till

Sb

Géochimie du till / *Till Geochemistry*

Scandium / Scandium

Fraction / *Fraction*: <0.063 mm
 Seuil de détection / *Detection limit*: 0.2 ppm
 Méthode d'analyse / *Analytical method*: AANI / INAA

Nombre d'échantillons / *Number of samples*: 309
 Minimum / *Minimum*: 6.6
 Maximum / *Maximum*: 31.1
 Moyenne / *Mean*: 17.9
 Médiane / *Median*: 17.7
 Mode / *Mode*: 15.9

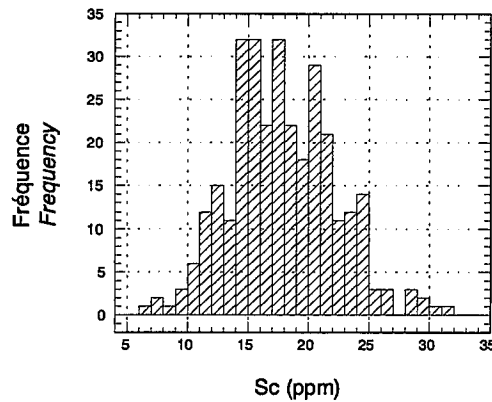
Écart-type / *Standard deviation*: 4.3
 Coefficient de variation / *Coefficient of variation*: 0.2
 Échantillons < seuil de détection / *Samples < detection limit*: 0

Légende de la carte / *Map Legend*

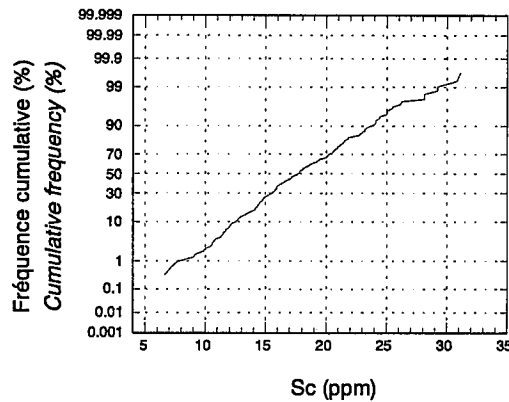
Sc (ppm)

	Min.	Max.	#Ech.	%Tile
	<i>Min.</i>	<i>Max.</i>	<i>#Samp.</i>	<i>%Tile</i>
•	6.6	14.8	78	25.2
•	14.8	17.7	78	50.5
•	17.7	20.8	75	74.8
•	20.8	23.5	47	90
•	23.5	24.8	14	94.5
•	24.8	26.3	10	97.7
•	26.3	28.1	3	98.7
•	28.1	31.1	4	100

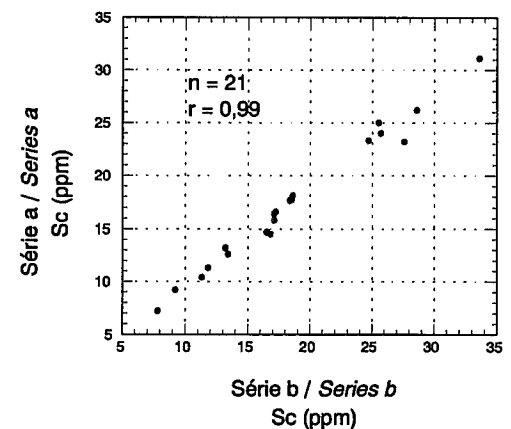
Histogramme de fréquence
Frequency Histogram

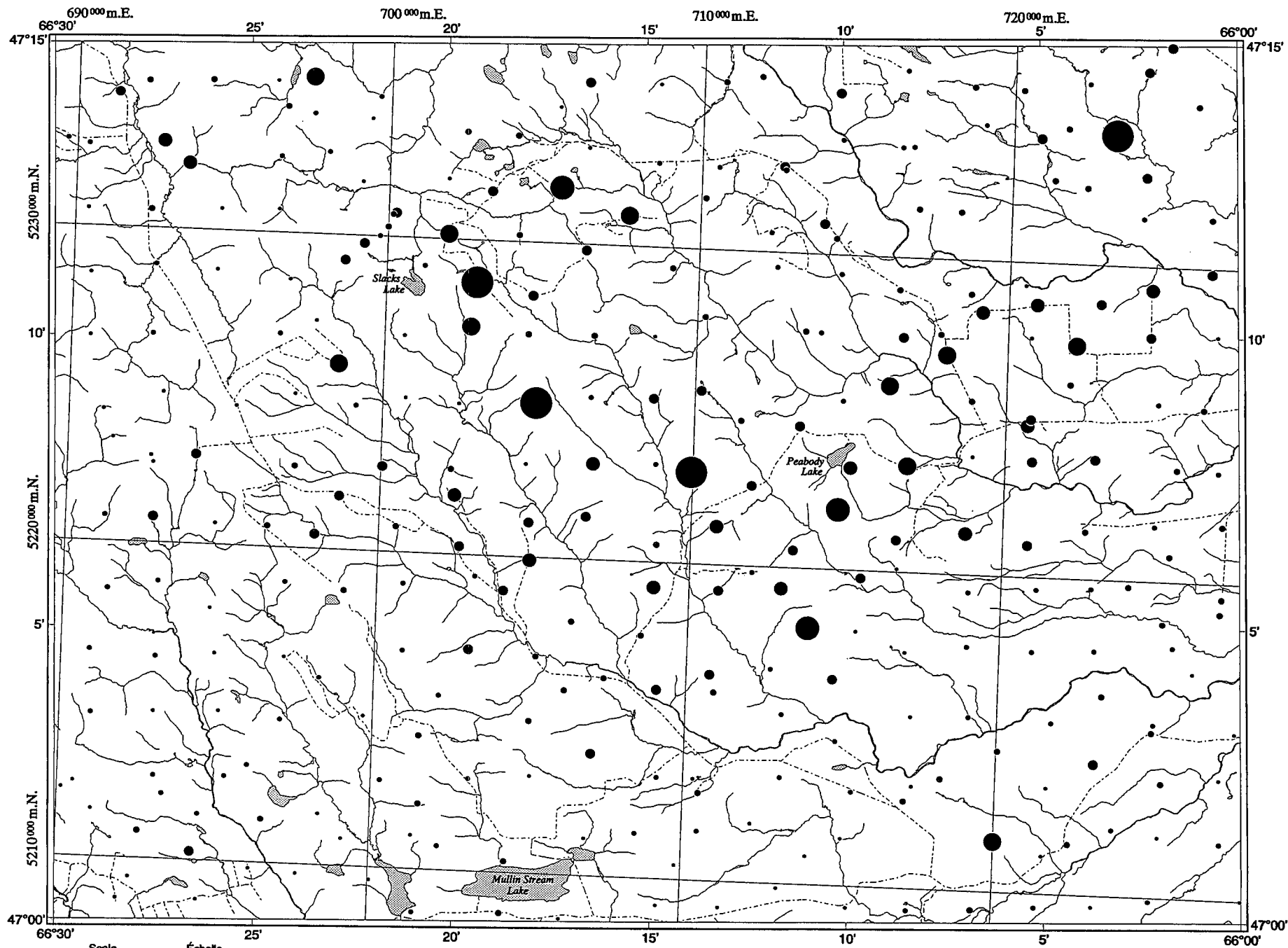


Courbe de fréquence cumulative
Cumulative Frequency Curve



Comparaison de 2 séries de résultats d'analyse
Comparison of 2 sets of Analytical Results





Scandium dans la fraction <0,063 mm du till
Scandium in the <0.063 mm fraction of till

Sc

Big Bald Mountain
21-0/1

Géochimie du till / *Till Geochemistry*

Samarium / *Samarium*

Fraction / *Fraction*: <0.063 mm
 Seuil de détection / *Detection limit*: 0.1 ppm
 Méthode d'analyse / *Analytical method*: AANI / INAA

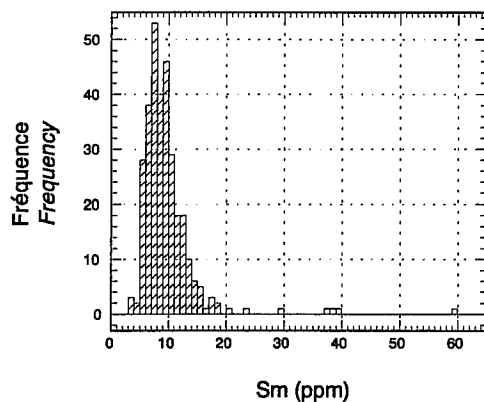
Nombre d'échantillons / *Number of samples*: 309
 Minimum / *Minimum*: 3.6
 Maximum / *Maximum*: 59.8
 Moyenne / *Mean*: 9.7
 Médiane / *Median*: 8.7
 Mode / *Mode*: 9.6
 Écart-type / *Standard deviation*: 5.1
 Coefficient de variation / *Coefficient of variation*: 0.5
 Échantillons < seuil de détection / *Samples < detection limit*: 0

Légende de la carte / *Map Legend*

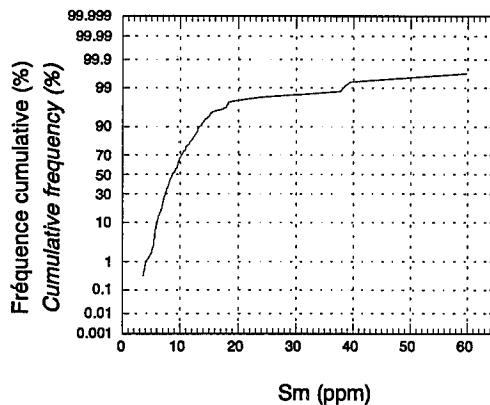
Sm (ppm)

Min.	Max.	#Ech.	%Tile	
<i>Min.</i>	<i>Max.</i>	<i>#Samp.</i>	<i>%Tile</i>	
•	3.6	7.1	77	24.9
•	7.1	8.6	76	49.5
•	8.6	10.8	78	74.8
•	10.8	13.1	47	90
•	13.1	15.1	15	94.8
•	15.1	18.3	9	97.7
•	18.3	29.7	3	98.7
•	29.7	59.8	4	100

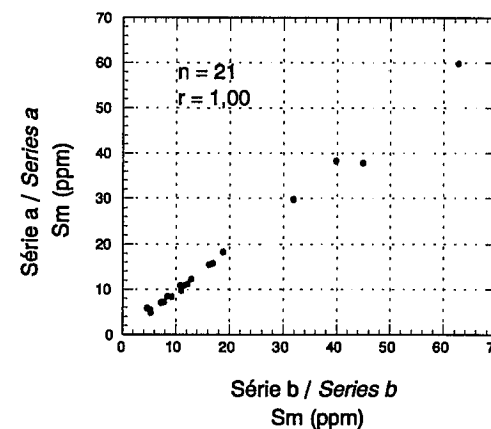
Histogramme de fréquence
Frequency Histogram

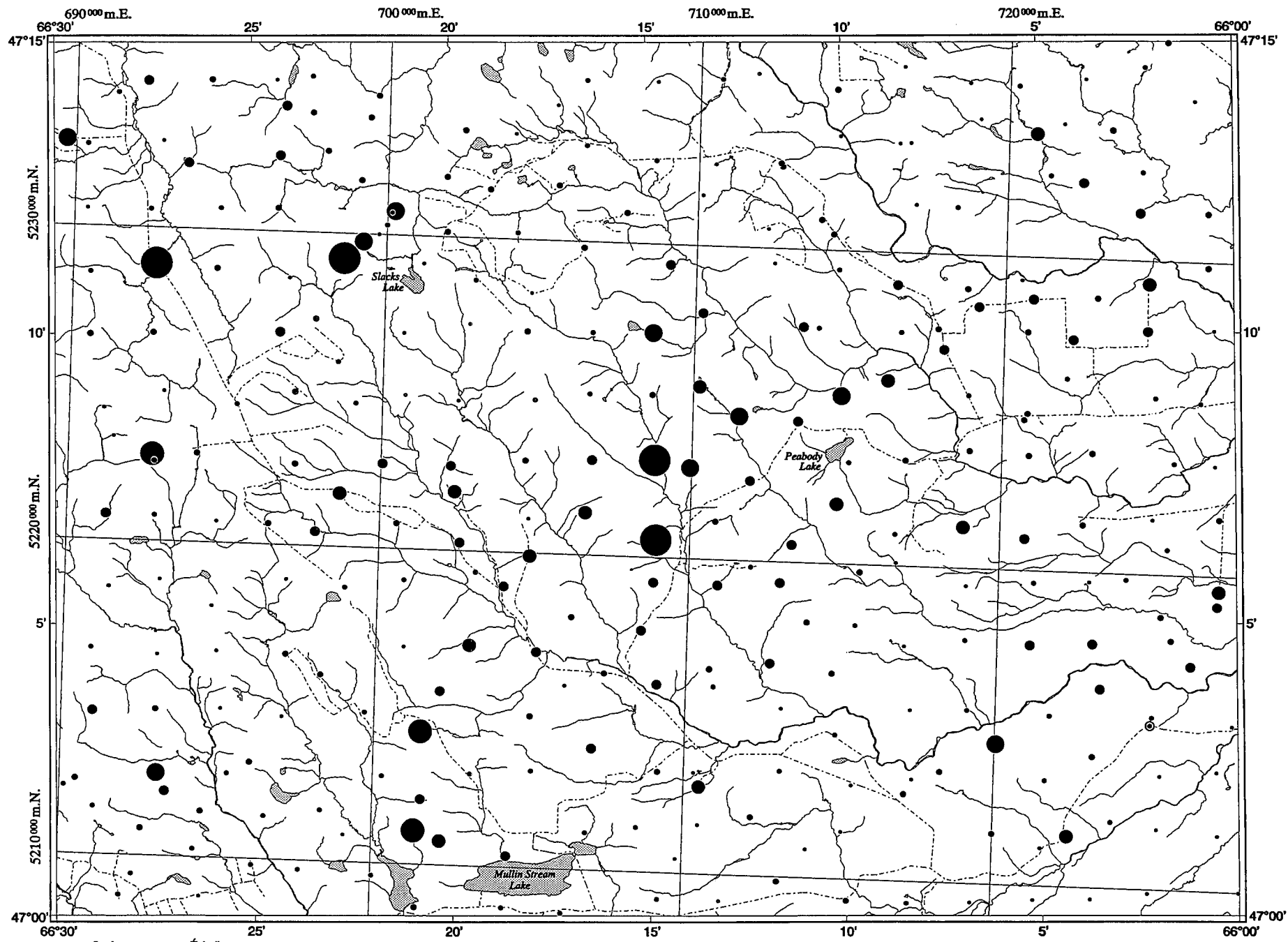


Courbe de fréquence cumulative
Cumulative Frequency Curve



Comparaison de 2 séries de résultats d'analyse
Comparison of 2 sets of Analytical Results





Scale Échelle
 Miles 1 0 1 2 3 Miles
 Metres 1000 0 1000 2000 3000 4000 Mètres

Big Bald Mountain
 21-0/1

Samarium dans la fraction <0,063 mm du till
 Samarium in the <0.063 mm fraction of till

Sm

Géochimie du till / *Till Geochemistry*

Tantale / *Tantalum*

Fraction / *Fraction*: <0.063 mm
 Seuil de détection / *Detection limit*: 0.5 ppm
 Méthode d'analyse / *Analytical method*: AANI / INAA

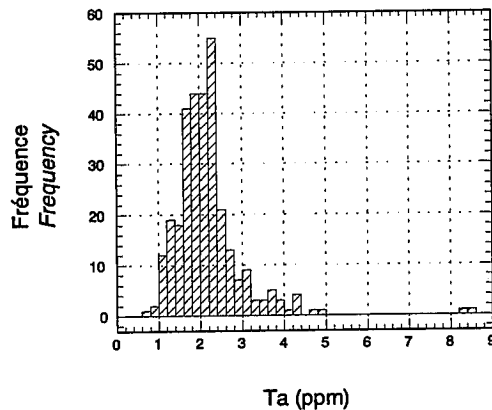
Nombre d'échantillons / *Number of samples*: 309
 Minimum / *Minimum*: 0.8
 Maximum / *Maximum*: 8.6
 Moyenne / *Mean*: 2.2
 Médiane / *Median*: 2
 Mode / *Mode*: 1.9
 Écart-type / *Standard deviation*: 0.9
 Coefficient de variation / *Coefficient of variation*: 0.4
 Échantillons < seuil de détection / *Samples < detection limit*: 0

Légende de la carte / *Map Legend*

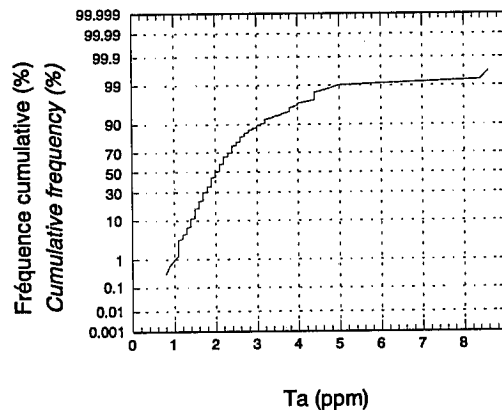
Ta (ppm)

Min.	Max.	#Ech.	%Tile	
<i>Min.</i>	<i>Max.</i>	<i>#Samp.</i>	<i>%Tile</i>	
•	0.8	1.6	69	22.3
•	1.6	2	88	50.8
•	2	2.4	79	76.4
•	2.4	3	41	89.6
•	3	3.7	16	94.8
•	3.7	4.2	8	97.4
•	4.2	4.4	4	98.7
•	4.4	8.6	4	100

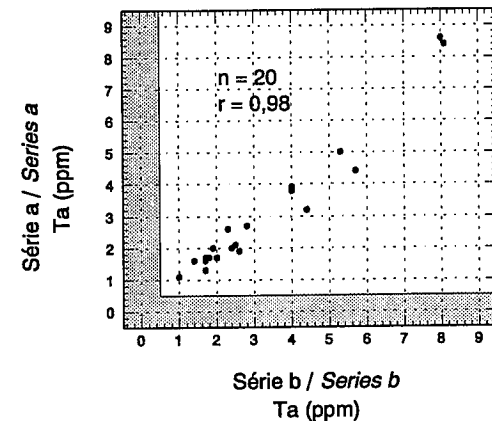
Histogramme de fréquence
Frequency Histogram

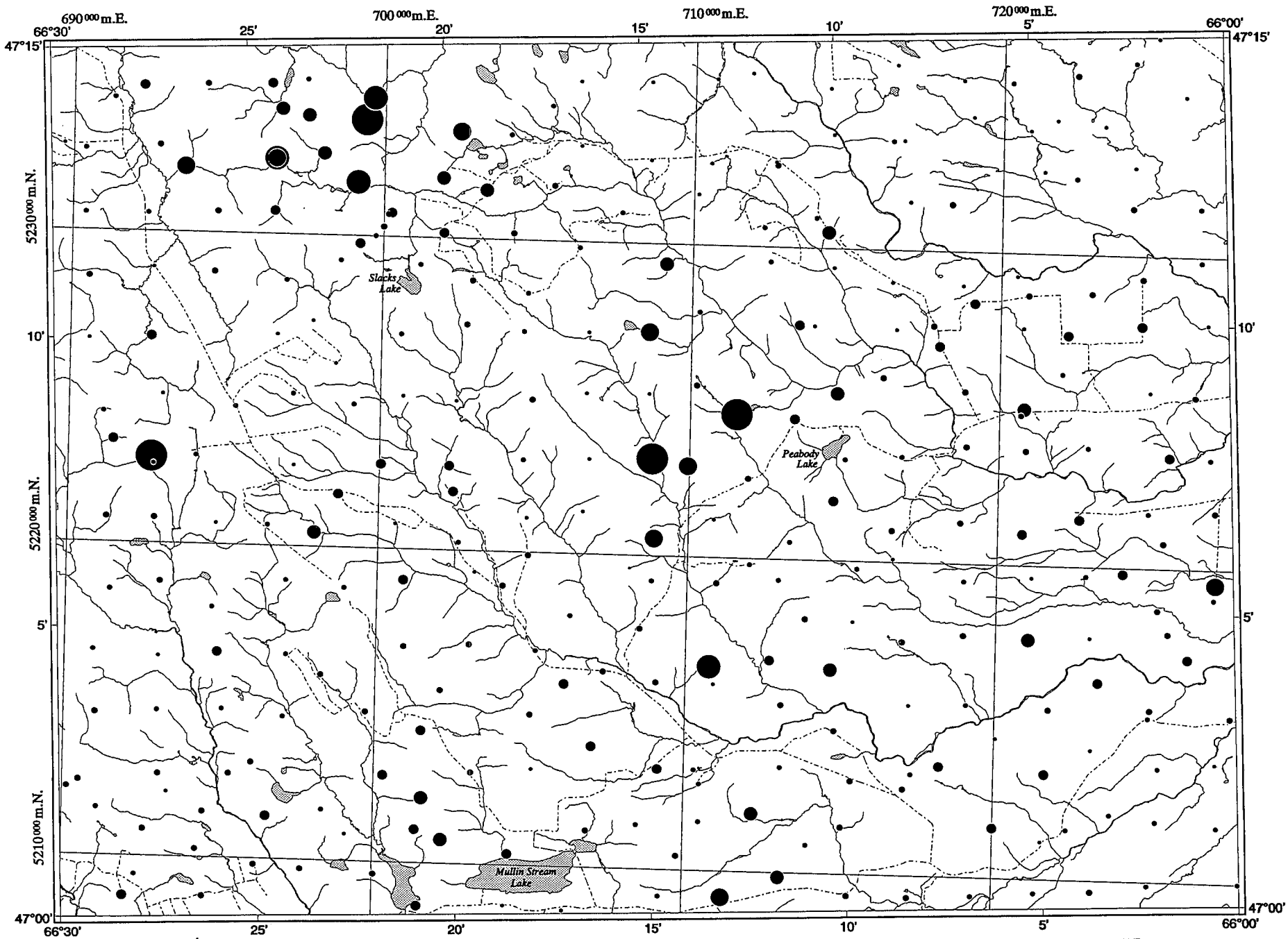


Courbe de fréquence cumulative
Cumulative Frequency Curve



Comparaison de 2 séries de résultats d'analyse
Comparison of 2 sets of Analytical Results





Scale Échelle
 Miles 1 0 1 2 3 Miles
 Metres 1000 0 1000 2000 3000 4000 Mètres
 Big Bald Mountain
 21-0/1

Tantale dans la fraction $<0,063\text{ mm}$ du till
 Tantalum in the $<0.063\text{ mm}$ fraction of till

Ta

Géochimie du till / *Till Geochemistry*

Terbium / *Terbium*

Fraction / *Fraction*: <0.063 mm
 Seuil de détection / *Detection limit*: 0.2 ppm
 Méthode d'analyse / *Analytical method*: AANI / INAA

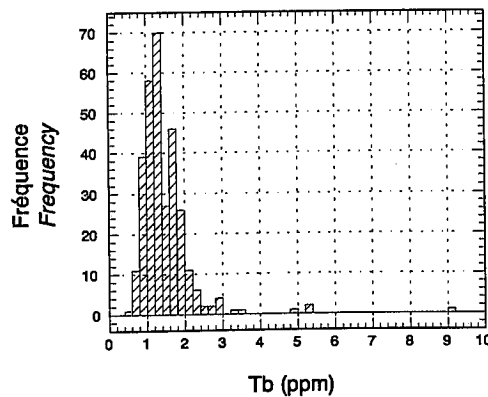
Nombre d'échantillons / *Number of samples*: 309
 Minimum / *Minimum*: 0.5
 Maximum / *Maximum*: 9.1
 Moyenne / *Mean*: 1.5
 Médiane / *Median*: 1.4
 Mode / *Mode*: 1.3
 Écart-type / *Standard deviation*: 0.7
 Coefficient de variation / *Coefficient of variation*: 0.5
 Échantillons < seuil de détection / *Samples < detection limit*: 0

Légende de la carte / *Map Legend*

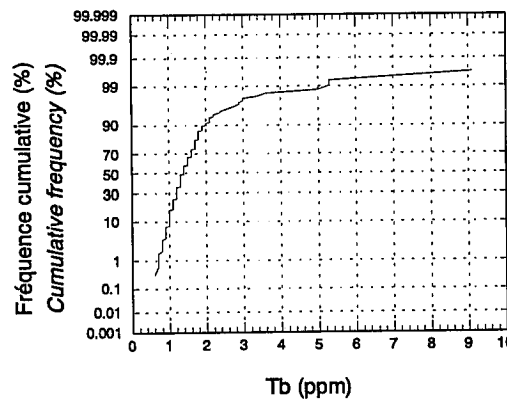
Tb (ppm)

	Min.	Max.	#Ech.	%Tile
	Min.	Max.	#Samp.	%Tile
•	0.5	1.1	77	24.9
•	1.1	1.3	73	48.5
•	1.3	1.6	79	74.1
•	1.6	1.9	49	90
•	1.9	2.3	15	94.8
•	2.3	2.9	8	97.4
•	2.9	3.6	4	98.7
•	3.6	9.1	4	100

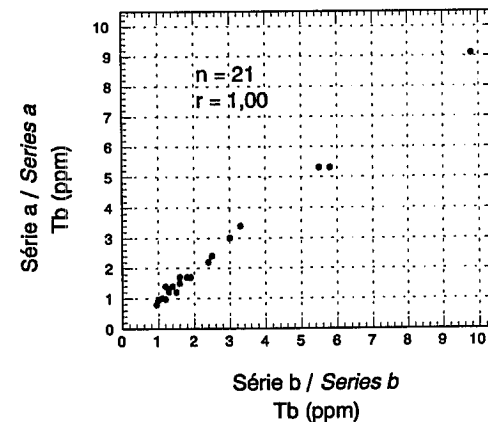
Histogramme de fréquence
Frequency Histogram

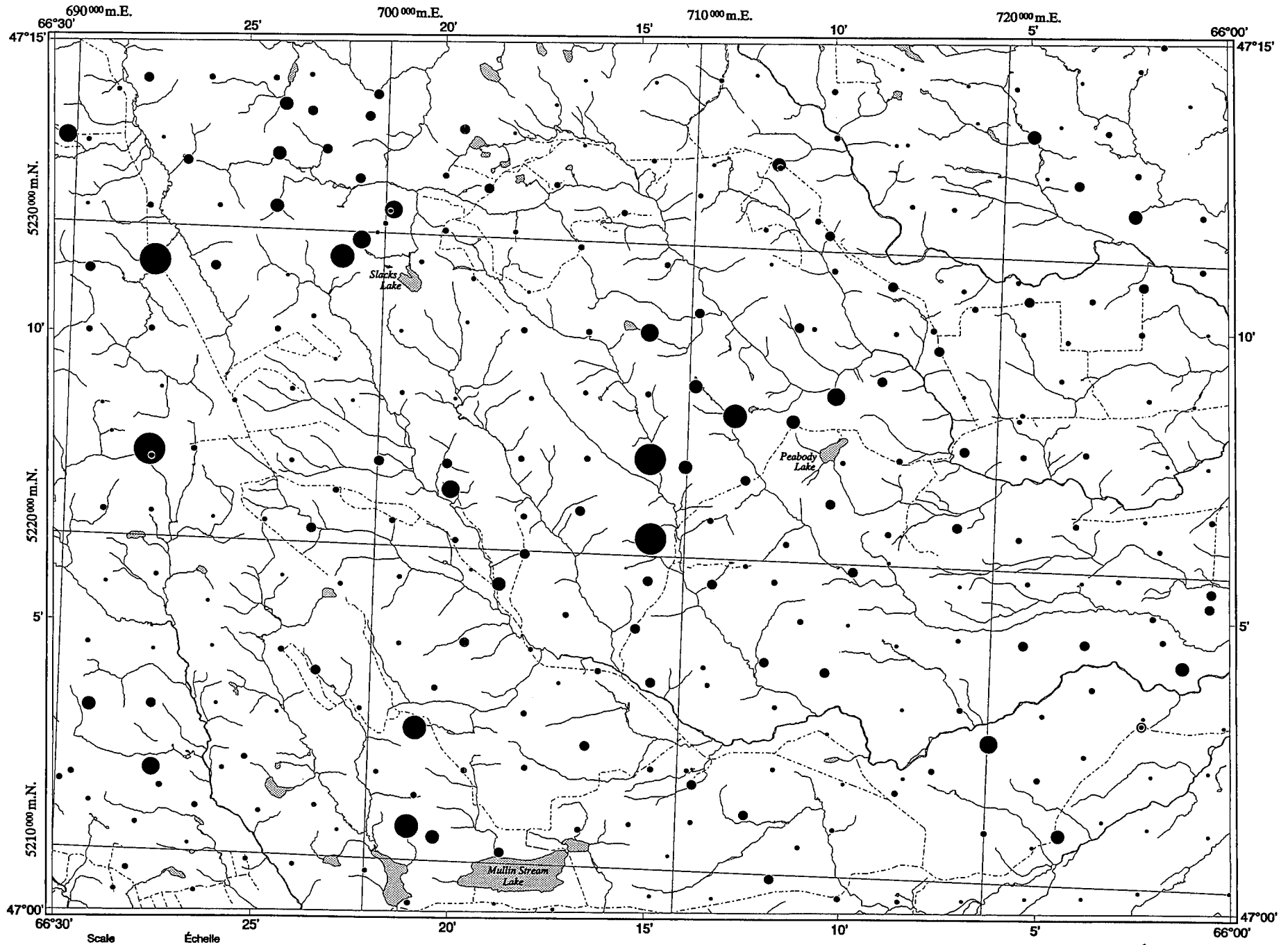


Courbe de fréquence cumulative
Cumulative Frequency Curve



Comparaison de 2 séries de résultats d'analyse
Comparison of 2 sets of Analytical Results





Scale Échelle
 Miles 0 1 2 3 Miles
 Metres 1000 0 1000 2000 3000 4000 Metres

Big Bald Mountain
 21-0/1

Terbium dans la fraction <math><0,063\text{ mm}</math> du till
 Terbium in the <math><0.063\text{ mm}</math> fraction of till

Tb

Géochimie du till / *Till Geochemistry*

Thorium / Thorium

Fraction / *Fraction*: <0.063 mm
 Seuil de détection / *Detection limit*: 0.2 ppm
 Méthode d'analyse / *Analytical method*: AANI / INAA

Légende de la carte / *Map Legend*

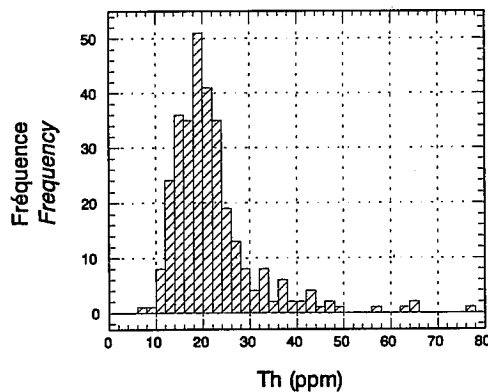
Th (ppm)

	Min.	Max.	#Ech.	%Tile
	Min.	Max.	#Samp.	%Tile
•	7.6	16.4	78	25.2
•	16.4	19.9	76	49.8
•	19.9	23.9	77	74.8
•	23.9	32.2	47	90
•	32.2	38.4	15	94.8
•	38.4	47.3	9	97.7
•	47.3	56.9	3	98.7
•	56.9	77.9	4	100

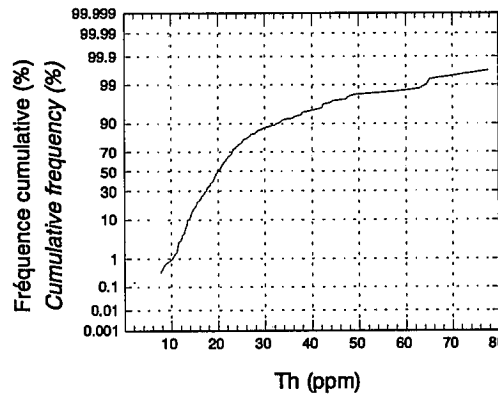
Nombre d'échantillons / *Number of samples*: 309
 Minimum / *Minimum*: 7.6
 Maximum / *Maximum*: 77.9
 Moyenne / *Mean*: 22.0
 Médiane / *Median*: 20.0
 Mode / *Mode*: 20.9

Écart-type / *Standard deviation*: 9.1
 Coefficient de variation / *Coefficient of variation*: 0.4
 Échantillons < seuil de détection / *Samples < detection limit*: 0

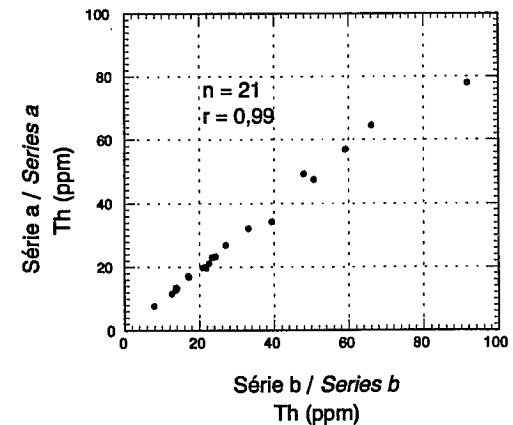
Histogramme de fréquence
Frequency Histogram

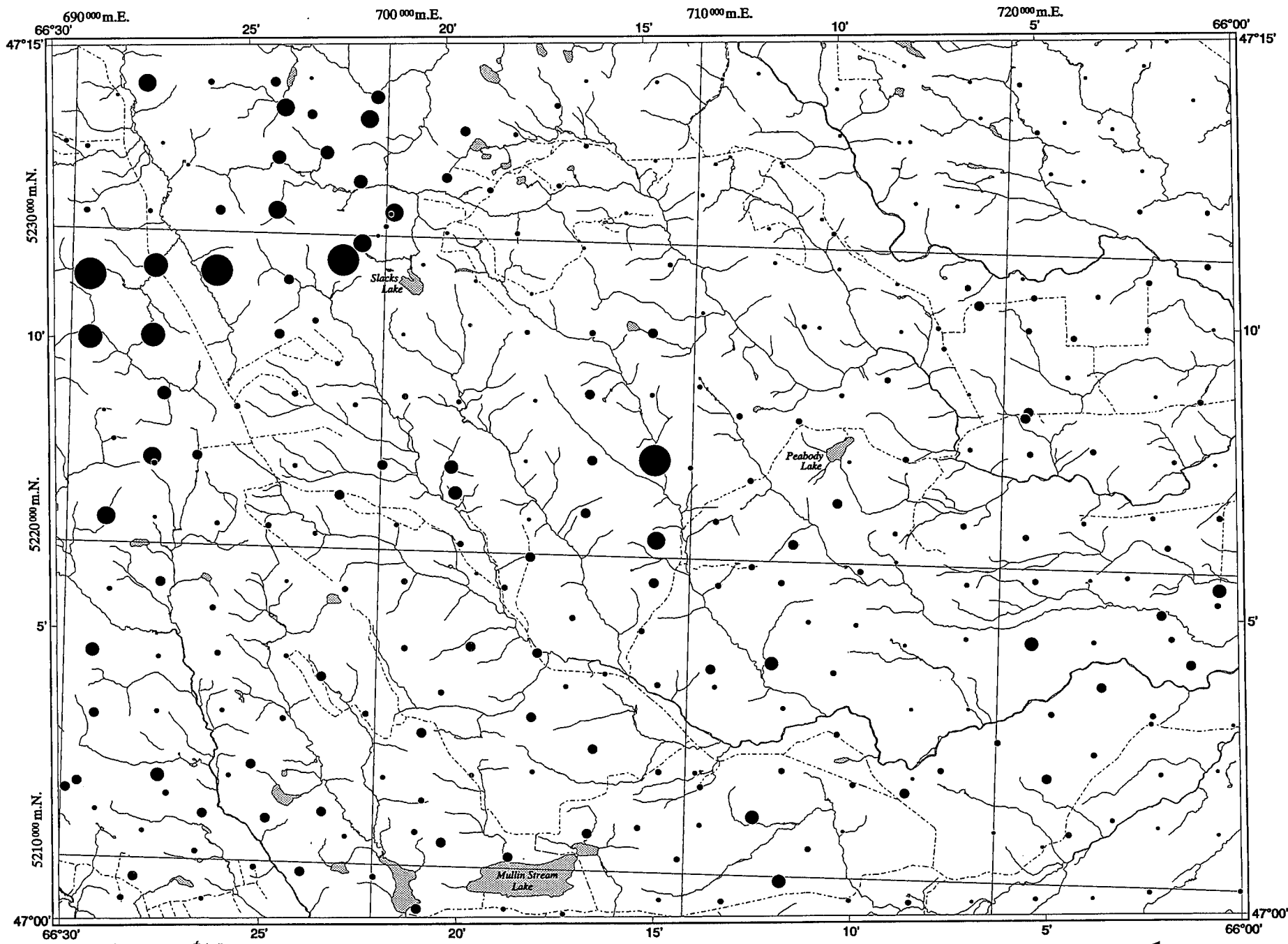


Courbe de fréquence cumulative
Cumulative Frequency Curve



Comparaison de 2 séries de résultats d'analyse
Comparison of 2 sets of Analytical Results





Scale Échelle
 Miles 1 0 1 2 3 Miles
 Metres 1000 0 1000 2000 3000 4000 Mètres

Big Bald Mountain
 21-0/1

Thorium dans la fraction <0,063 mm du till
 Thorium in the <0.063 mm fraction of till

Th

Géochimie du till / *Till Geochemistry*

Uranium / Uranium

Fraction / *Fraction*: <0.063 mm
 Seuil de détection / *Detection limit*: 0.5 ppm
 Méthode d'analyse / *Analytical method*: AANI / INAA

Légende de la carte / *Map Legend*

U (ppm)

	Min.	Max.	#Ech.	%Tile
	Min.	Max.	#Samp.	%Tile
•	2.4	4.8	79	25.6
•	4.8	5.7	79	51.1
•	5.7	6.7	72	74.4
•	6.7	8.9	46	89.3
•	8.9	10.6	17	94.8
•	10.6	14.3	9	97.7
•	14.3	16.8	3	98.7
•	16.8	32.4	4	100

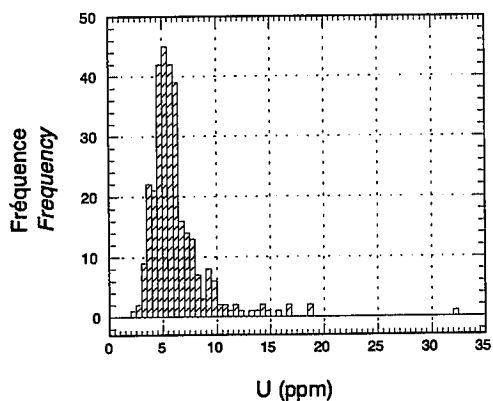
Nombre d'échantillons / *Number of samples*: 309
 Minimum / *Minimum*: 2.4
 Maximum / *Maximum*: 2.4
 Moyenne / *Mean*: 6.3
 Médiane / *Median*: 5.7
 Mode / *Mode*: 5.5

Écart-type / *Standard deviation*: 2.9

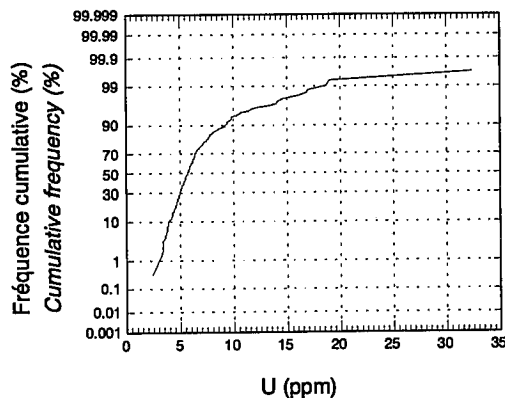
Coefficient de variation / *Coefficient of variation*: 0.5

Échantillons < seuil de détection / *Samples < detection limit*: 0

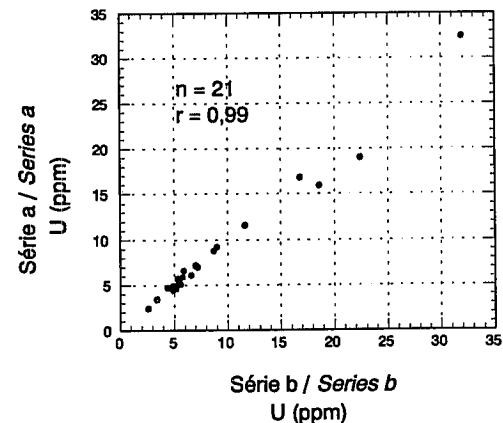
Histogramme de fréquence
Frequency Histogram

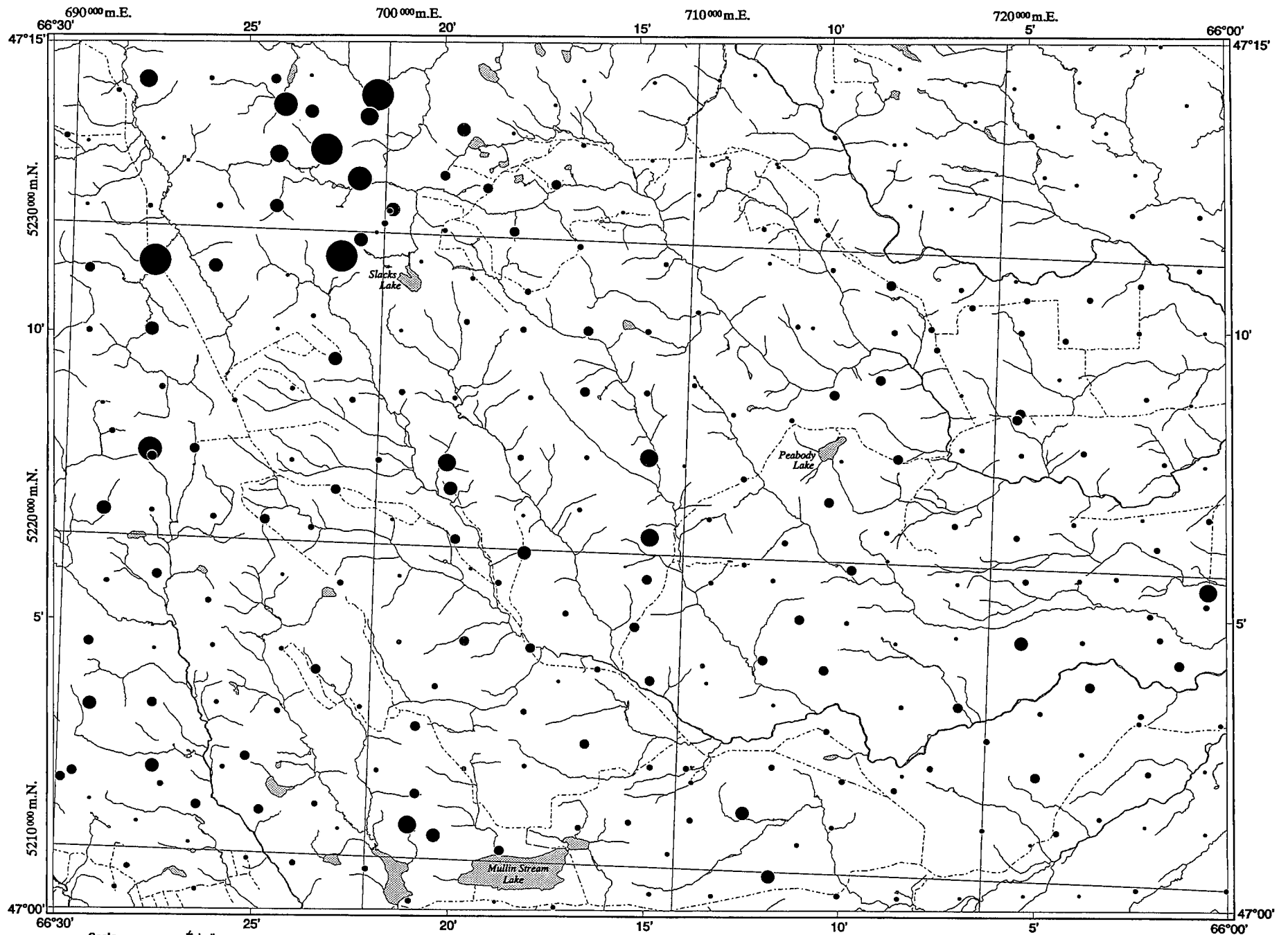


Courbe de fréquence cumulative
Cumulative Frequency Curve



Comparaison de 2 séries de résultats d'analyse
Comparison of 2 sets of Analytical Results





Scale Échelle
 Miles 1 0 1 2 3 Miles
 Metres 1000 0 1000 2000 3000 4000 Mètres

Big Bald Mountain
 21-0/1

Uranium dans la fraction <math><0,063\text{ mm}</math> du till
 Uranium in the <math><0.063\text{ mm}</math> fraction of till

U

Géochimie du till / *Till Geochemistry*

Tungstène / Tungsten

Fraction / *Fraction*: <0.063 mm
 Seuil de détection / *Detection limit*: 1 ppm
 Méthode d'analyse / *Analytical method*: AANI / INAA

Nombre d'échantillons / *Number of samples*: 309
 Minimum / *Minimum*: <1
 Maximum / *Maximum*: 14
 Moyenne / *Mean*: 3
 Médiane / *Median*: 3
 Mode / *Mode*: 3
 Écart-type / *Standard deviation*: 1
 Coefficient de variation / *Coefficient of variation*: 0.4
 Échantillons < seuil de détection / *Samples < detection limit*: 2

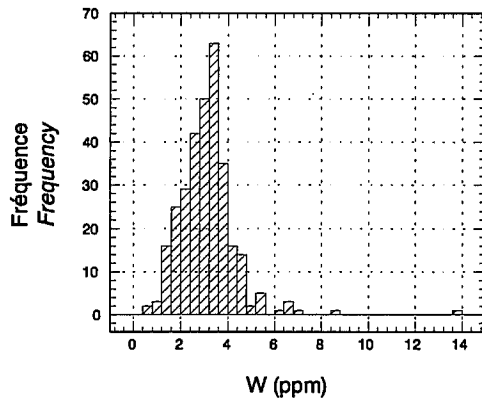
Légende de la carte / *Map Legend*

W (ppm)

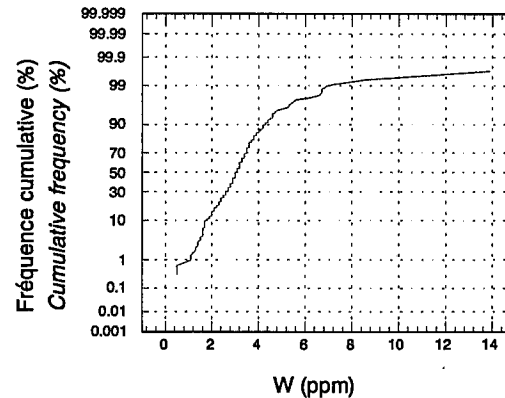
Min.	Max.	#Ech.	%Tile
Min.	Max.	#Samp.	%Tile
<1	2	46	14.9
2	3	108	49.8
3	4	113	86.4
4	5	29	95.8
5	6	6	97.7
6	7	5	99.4
7	14	2	100



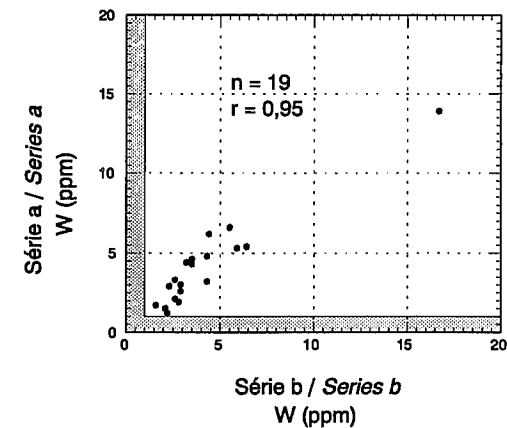
Histogramme de fréquence
Frequency Histogram

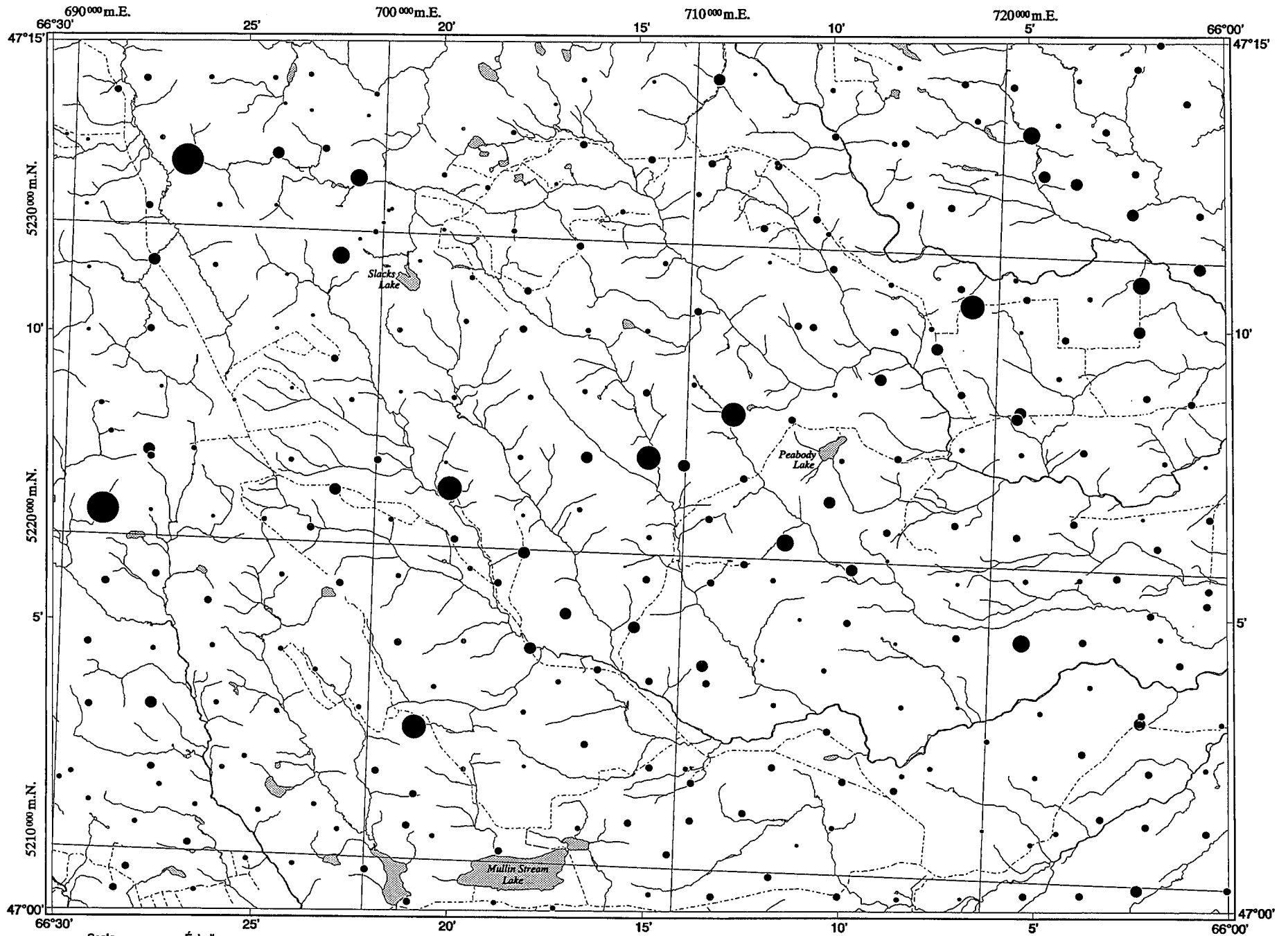


Courbe de fréquence cumulative
Cumulative Frequency Curve



Comparaison de 2 séries de résultats d'analyse
Comparison of 2 sets of Analytical Results





Scale Échelle
 Miles 1 0 1 2 3 Miles
 Metres 1000 0 1000 2000 3000 4000 Metres

Big Bald Mountain
 21-0/1

Tungstène dans la fraction <0.063 mm du till
 Tungsten in the <0.063 mm fraction of till

W

Géochimie du till / *Till Geochemistry*

Ytterbium / *Ytterbium*

Fraction / *Fraction*: <0.063 mm
 Seuil de détection / *Detection limit*: 0.2 ppm
 Méthode d'analyse / *Analytical method*: AANI / INAA

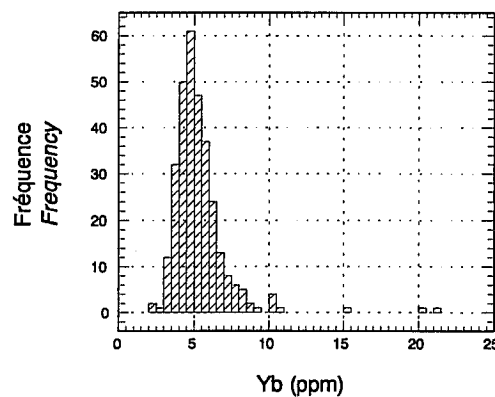
Légende de la carte / *Map Legend*

Yb (ppm)

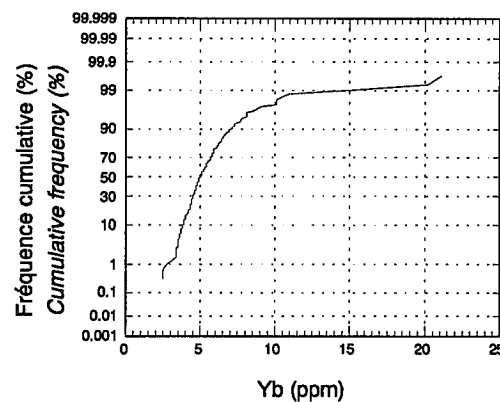
Min.	Max.	#Ech.	%Tile	
<i>Min.</i>	<i>Max.</i>	<i>#Samp.</i>	<i>%Tile</i>	
•	2.5	4.4	85	27.5
•	4.4	5	73	51.1
•	5	5.8	70	73.8
•	5.8	6.9	50	90
•	6.9	8	15	94.8
•	8	9.1	8	97.4
•	9.1	10.4	4	98.7
•	10.4	21.1	4	100

Nombre d'échantillons / *Number of samples*: 309
 Minimum / *Minimum*: 2.5
 Maximum / *Maximum*: 21.1
 Moyenne / *Mean*: 5.4
 Médiane / *Median*: 5.0
 Mode / *Mode*: 4.4
 Écart-type / *Standard deviation*: 1.9
 Coefficient de variation / *Coefficient of variation*: 0.4
 Échantillons < seuil de détection / *Samples < detection limit*: 0

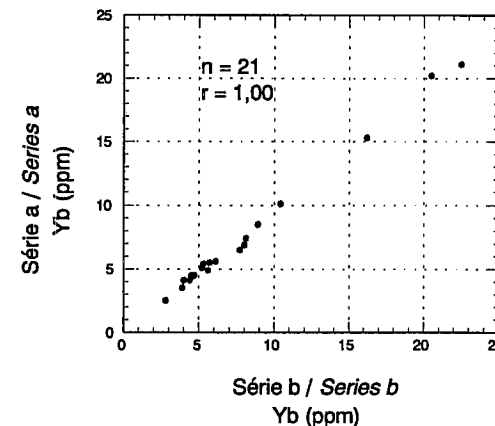
Histogramme de fréquence
Frequency Histogram

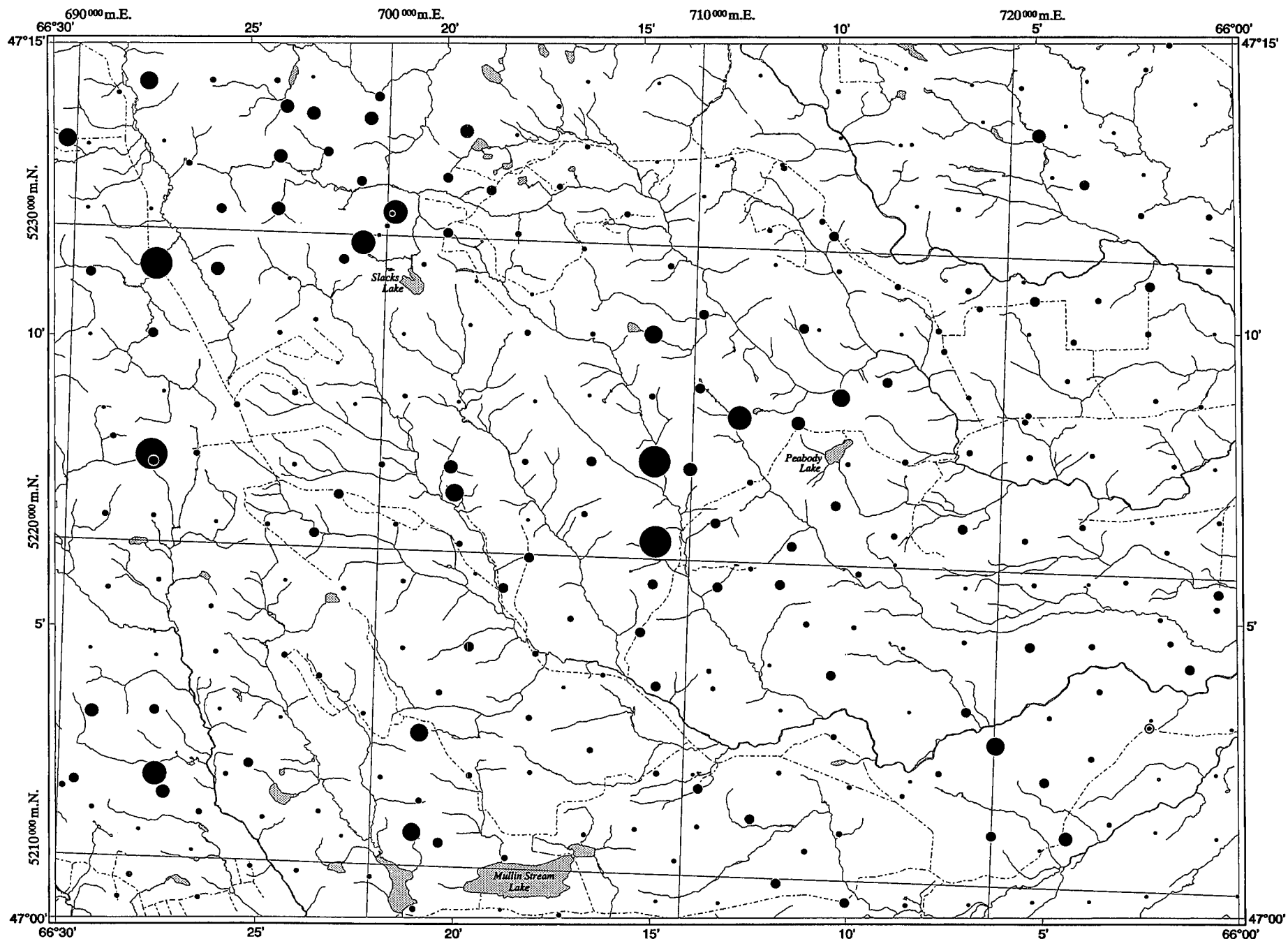


Courbe de fréquence cumulative
Cumulative Frequency Curve



Comparaison de 2 séries de résultats d'analyse
Comparison of 2 sets of Analytical Results





Scale Échelle
 Miles 1 0 1 2 3 Miles
 Metres 1000 0 1000 2000 3000 4000 Mètres
Big Bald Mountain
 21-0/1

Ytterbium dans la fraction <0,063 mm du till
 Ytterbium in the <0.063 mm fraction of till

Yb

Zirconium / *Zirconium*

Fraction / *Fraction*: <0.063 mm
 Seuil de détection / *Detection limit*: 200 ppm
 Méthode d'analyse / *Analytical method*: AANI / INAA

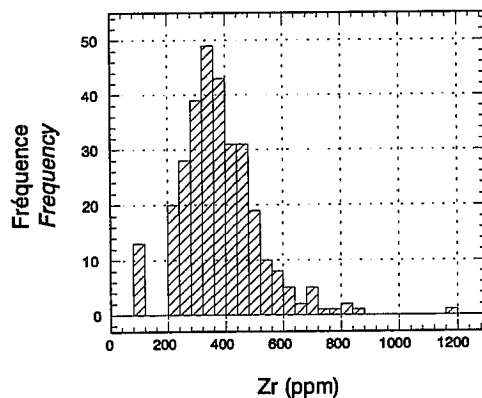
Nombre d'échantillons / *Number of samples*: 309
 Minimum / *Minimum*: <200
 Maximum / *Maximum*: 1190
 Moyenne / *Mean*: 381
 Médiane / *Median*: 367
 Mode / *Mode*: 100
 Écart-type / *Standard deviation*: 140
 Coefficient de variation / *Coefficient of variation*: 0.4
 Échantillons < seuil de détection / *Samples < detection limit*: 13

Légende de la carte / *Map Legend*

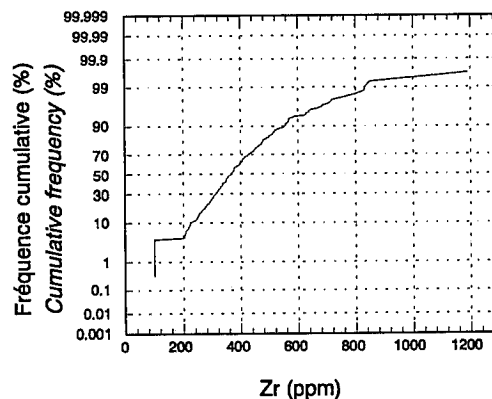
Zr (ppm)

	Min.	Max.	#Ech.	%Tile
	<i>Min.</i>	<i>Max.</i>	<i>#Samp.</i>	<i>%Tile</i>
•	<200	297	77	24.9
•	297	367	77	49.8
•	367	449	77	74.8
•	449	550	47	90
•	550	627	15	94.8
•	627	713	8	97.4
•	713	797	4	98.7
•	797	1190	4	100

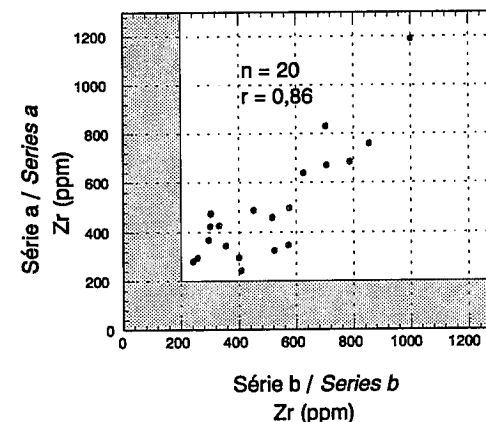
Histogramme de fréquence
Frequency Histogram

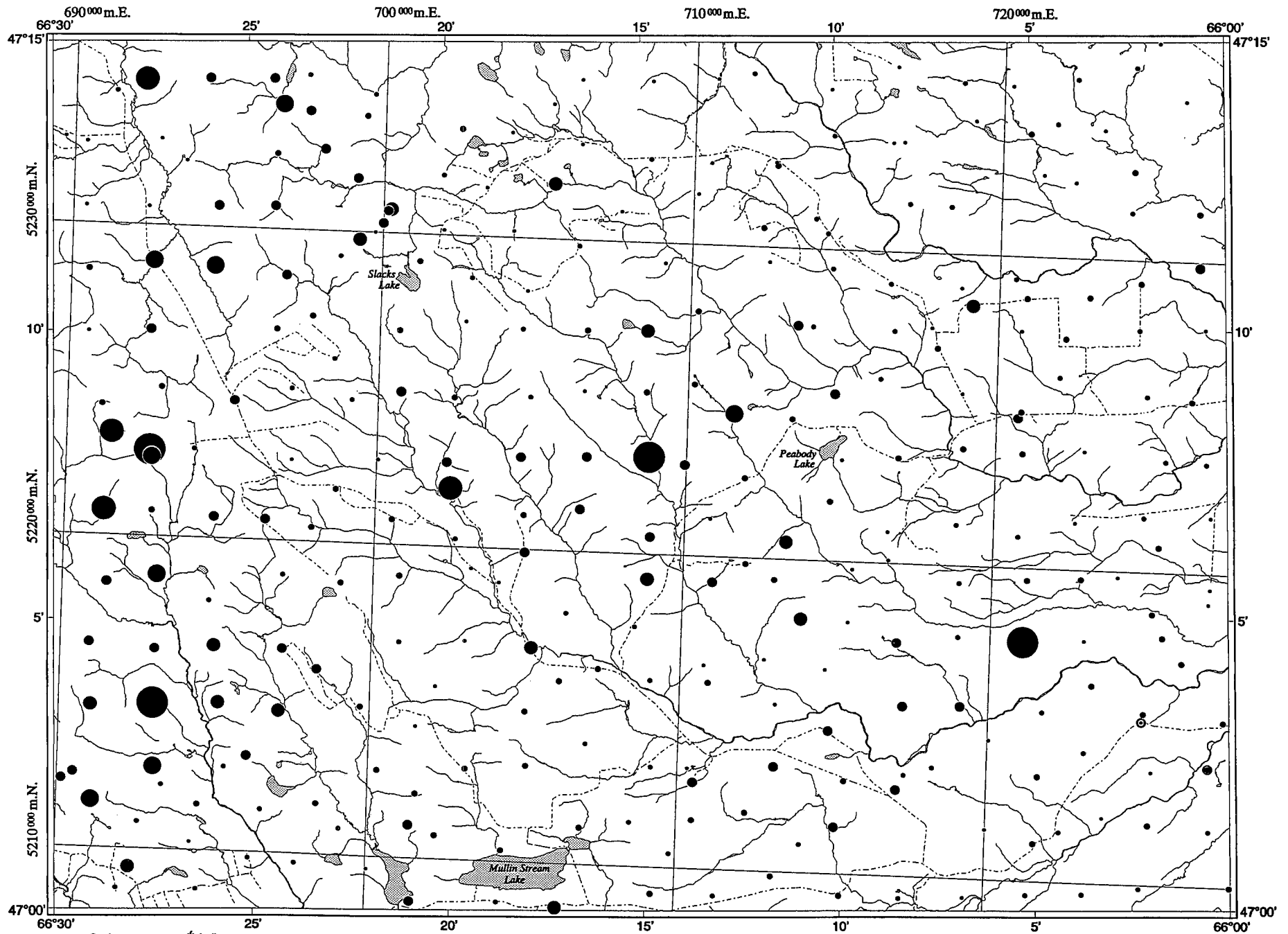


Courbe de fréquence cumulative
Cumulative Frequency Curve



Comparaison de 2 séries de résultats d'analyse
Comparison of 2 sets of Analytical Results





Scale Échelle
 Miles 0 1 2 3 Miles
 Metres 1000 0 1000 2000 3000 4000 Mètres

Big Bald Mountain
 21-0/1

Zirconium dans la fraction <0,063 mm du till
 Zirconium in the <0.063 mm fraction of till

Zr